



الفيزياء

الصف الثاني عشر - كتاب الطالب

الفصل الدراسي الثاني

12

فريق التأليف

موسى عطا الله الطراونة (رئيساً)

خلدون سليمان المصاروة

أ.د. محمود إسماعيل الجاغوب

موسى محمود جرادات

د. إبراهيم ناجي غبار



الناشر: المركز الوطني لتطوير المناهج

يسر المركز الوطني لتطوير المناهج، استقبال آرائكم وملحوظاتكم على هذا الكتاب عن طريق العنوانين الآتية:

📞 06-5376262 / 237 📧 06-5376266 📩 P.O.Box: 2088 Amman 11941

🌐 @nccdjor 🎙 feedback@nccd.gov.jo 🌐 www.nccd.gov.jo

قررت وزارة التربية والتعليم تدريس هذا الكتاب في مدارس المملكة الأردنية الهاشمية جميعها، بناءً على قرار المجلس الأعلى للمركز الوطني لتطوير المناهج في جلسته رقم (7/2022)، تاريخ 8/11/2022 م، وقرار مجلس التربية والتعليم رقم (111/2022)، تاريخ 6/12/2022 م، بدءاً من العام الدراسي 2022 / 2023 م.

© HarperCollins Publishers Limited 2022.

- Prepared Originally in English for the National Center for Curriculum Development. Amman - Jordan
- Translated to Arabic, adapted, customised and published by the National Center for Curriculum Development. Amman - Jordan

ISBN: 978 - 9923 - 41 - 326 - 5

المملكة الأردنية الهاشمية

رقم الإيداع لدى دائرة المكتبة الوطنية:

(2022/4/2001)

375,001

الأردن. المركز الوطني لتطوير المناهج

الفيزياء: الصف الثاني عشر: كتاب الطالب (الفصل الدراسي الثاني) / المركز الوطني لتطوير المناهج.- عمان: المركز، 2022

.ص. (148)

ر. إ. : 2022/4/2001

الواصفات: / تطوير المناهج / المقررات الدراسية / مستويات التعليم / المناهج /

يتحمل المؤلف كامل المسؤلية القانونية عن محتوى مصنفه، ولا يعبر هذا المصنف عن رأي دائرة المكتبة الوطنية.



All rights reserved. No part of this publication may be reproduced, sorted in retrieval system, or transmitted in any form by any means, electronic, mechanical, photocopying, recording or otherwise , without the prior written permission of the publisher or a license permitting restricted copying in the United Kingdom issued by the Copyright Licensing Agency Ltd, Barnard's Inn, 86 Fetter Lane, London, EC4A 1EN.

British Library Cataloguing -in- Publication Data

A catalogue record for this publication is available from the Library.

م 2022 - 1443 هـ

الطبعة الأولى (التجريبية)

قائمة المحتويات

الصفحة	الموضوع
5	المقدمة
7	الوحدة الخامسة: الحث الكهرمغناطيسي وأشباه الموصلات
9	تجربة استهلالية: طرائق توليد تيار كهربائي حثّي
10	الدرس الأول: التدفق المغناطيسي والثث الكهرمغناطيسي
29	الدرس الثاني: دارات التيار الكهربائي المتردد
42	الدرس الثالث: أشباه الموصلات
59	الوحدة السادسة: الفيزياء الحديثة
61	تجربة استهلالية: استقصاء إشعاع الجسم الأسود
62	الدرس الأول: الطبيعة الجسيمية للضوء
78	الدرس الثاني: التركيب الذري
97	الوحدة السابعة: الفيزياء النووية
99	تجربة استهلالية: استقصاء التفاعل المتسلسل
100	الدرس الأول: تركيب النواة وخصائصها
112	الدرس الثاني: الإشعاع النووي
127	الدرس الثالث: التفاعلات النووية
142	مسرد المصطلحات
146	قائمة المراجع

المقدمة

انطلاقاً من إيمان المملكة الأردنية الهاشمية الراسخ بأهمية تنمية قدرات الإنسان الأردني، وتسلیحه بالعلم والمعرفة؛ سعى المركز الوطني لتطوير المناهج، بالتعاون مع وزارة التربية والتعليم، إلى تحدیث المناهج الدراسية وتطويرها؛ لتكون معيناً للطلبة على الارتقاء بمستواهم المعرفي، ومجاراة أقرانهم في الدول المتقدمة.

يُعد هذا الكتاب واحداً من سلسلة كتب المباحث العلمية التي تُعنی بتنمية المفاهيم العلمية، ومهارات التفكير وحل المشكلات، ودمج المفاهيم الحياتية والمفاهيم العابرة للمواد الدراسية، والإفادة من الخبرات الوطنية في عمليات الإعداد والتأليف وفق أفضل الطرائق المتّبعة عالمياً؛ لضمان انسجامها مع القيم الوطنية الراسخة، وتلبيتها لحاجات أبنائنا الطلبة والمعلّمين.

وقد روعي في تأليفه تقديم المعلومة العلمية الدقيقة وفق منهجية تقوم على السلامة في العرض، والوضوح في التعبير، إضافة إلى الربط بين الموضوعات المطروحة في المراحل الدراسية السابقة واللاحقة، واعتماد منهجية التدرج في عرض موضوعات المادة، واستهلال وحداتها بأسئلة تُظهر علاقة علم الفيزياء بالظواهر من حولنا؛ ما يحفز الطالب على الإفادة مما يتعلّمه في غرفة الصف في تفسير مشاهدات يومية وظواهر طبيعية قد تحدث أمامه، أو يشاهدها في التلفاز، أو يسمع عنها. وقد تضمنّت كل وحدة إثراً يعتمد منحى STEAM في التعليم الذي يستعمل لدمج العلوم والتكنولوجيا والهندسة والفن والعلوم الإنسانية والرياضيات.

ويتألّف الكتاب من ثلاث وحدات دراسية، هي: الحثُّ الكهرومغناطيسي وأشباه الموصلات، والفيزياء الحديثة، والفيزياء النووية. وقد أُلحق به كتاب لأنشطة التجارب العملية، يحتوي على التجارب والأنشطة جميعها الواردة في كتاب الطالب؛ ليساعده على تفريغها بسهولة، بإشراف المعلم، ومشاركة زملائه فيها، بما في ذلك رصد القراءات، وتحليلها، ثم مناقشتها، وصولاً إلى استنتاجات مبنية على أسس علمية سليمة. ويتضمن أيضاً أسئلة تفكير؛ بهدف تعزيز فهم الطالب موضوعات المادة، وتنمية التفكير الناقد لديه.

ونحن إذ نُقدّم هذه الطبعة من الكتاب، فإنّا نأمل أن يُسهم في تحقيق الأهداف والغايات النهائية المنشودة لبناء شخصية المتعلّم، وتنمية اتجاهات حُبّ التعلّم ومهارات التعلّم المستمرّ، إضافة إلى تحسين الكتاب بإضافة الجديد إلى محتواه، وإثراء أنشطته المتنوّعة، والأخذ بمحاذطات المعلّمين.

والله ولّي التوفيق

المركز الوطني لتطوير المناهج



الحث الكهرمغناطيسي وأشباه الموصلات

Electromagnetic Induction and Semiconductors

الوحدة

5



أتأمل الصورة

الحث الكهرمغناطيسي

تُستخدم المولّدات الكهربائية في محطات الطاقة الكهربائية لتزويدنا بالطاقة الكهربائية. ومهما كان مصدر الطاقة المستخدمة في تشغيل هذه المحطات، سواءً أكان الفحم أم الرياح أم الوقود النووي أم غيرها، فإنّ توليد الطاقة الكهربائية يعتمد على الحث الكهرمغناطيسي. ويُستثنى من ذلك الخلايا الشمسية، التي تحول ضوء الشمس مباشرة إلى طاقة كهربائية.

فما الحث الكهرمغناطيسي؟ وكيف تُزودنا المولّدات الكهربائية بالطاقة الكهربائية؟

الفكرة العامة:

يعتمد مبدأ عمل تقنيات كهربائية عدّة على الحث الكهرمغناطيسي، منها: المولدات الكهربائية، والمحولات الكهربائية، وذاكرة الحاسوب، وغيرها. وأدى اكتشاف الخصائص الكهربائية لأشباه الموصلات إلى إحداث ثورة تقنية نلمس آثارها في حياتنا اليومية.

الدرس الأول: التدفق المغناطيسي والثث الكهرمغناطيسي

Magnetic Flux and Electromagnetic Induction

الفكرة الرئيسية: يرتبط تولّد قوّة دافعة كهربائية حثّية وتيار كهربائي حثّي في دارة مغلقة بتغيير التدفق المغناطيسي الذي يخترقها، يُحسب مقداره باستخدام قانون فارادي، ويُحدّد اتجاهه باستخدام قانون لنز.

الدرس الثاني: دارات التيار الكهربائي المتردّ

Alternating Electric Current Circuits

الفكرة الرئيسية: ظهرت محطّات توليد الطاقة الكهربائية مع نهاية القرن التاسع عشر، وكان بعضها يولّد تياراً مستمراً، وبعضها الآخر يولّد تياراً متردّداً. لكن الآن يمكن القول إنّ المحطّات جميعها يولّد تياراً متردّداً، وبوجود أجهزة كهربائية كثيرة تعمل على التيار المستمر، اقتضت الحاجة إلى أجهزة تحولّ أيّاً من التيارين إلى الآخر.

الدرس الثالث: أشباه الموصلات

Semiconductors

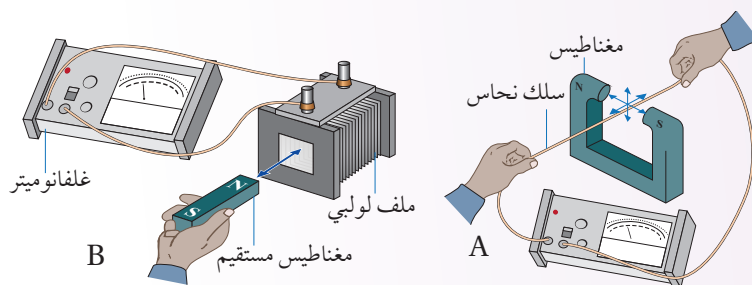
الفكرة الرئيسية: نتاج عن تطوير علم أشباه الموصلات تصميم مكوّنات إلكترونية جديدة أسهمت في إحداث قفزة نوعيّة في عالم الاتصالات والمعلومات.

تجربة استهلاكية

طريق توليد تيار كهربائي حثّي

المواد والأدوات: سلك نحاس طوله (30 cm)، مغناطيس على شكل حرف C، غلفانوميتر، ملف لولبي، مغناطيس مستقيم، أسلاك توصيل.

إرشادات السلامة: الحذر من طرفي السلك الحادين، ومن سقوط الأدوات على أرضية المختبر.



خطوات العمل:

بالتعاون مع أفراد مجموعتي أُنفذ الخطوات الآتية:

1 أصل طرفي السلك بطرف الغلفانوميتر، وأمسك بجزء من السلك مشدوداً بين قطبي المغناطيس دون تحريكه، على نحو ما هو موضح في الشكل A.

2 **الاحظ:** أحرّك السلك المشدود بين قطبي المغناطيس في كل اتجاه من الاتجاهات الستة الموضحة في الشكل، وألاحظ قراءة الغلفانوميتر وجهاً انحراف مؤشره في كل حالة، وأدون ملاحظاتي.

3 أفصل طرفي السلك عن الغلفانوميتر، ثم أصل طرفي الملف اللولبي بالغلفانوميتر، على نحو ما هو موضح في الشكل B.

4 **الاحظ:** أحرّك القطب الشمالي للمغناطيس نحو طرف الملف، وأضعه داخل الملف، ثم أحرّكه مبتعداً عن الملف، وألاحظ قراءة الغلفانوميتر وجهاً انحراف مؤشره في كل حالة، وأدون ملاحظاتي.

5 أكرّ الخطوة السابقة، بتحريك القطب الجنوبي للمغناطيس بدلاً من القطب الشمالي، وأدون ملاحظاتي.

التحليل والاستنتاج:

1. **أستنتج:** في أي الحالات تولّد تيار كهربائي في السلك عند تحريكه بين قطبي المغناطيس؟ وفي أيها لم يتولّد تيار كهربائي؟ ماذا أستنتج؟

2. **أقارن:** هل انحراف مؤشر الغلفانوميتر بالاتجاه نفسه في الحالات التي تولّد فيها تيار كهربائي في السلك؟ أفسّر إجابتي.

3. **أستنتج:** استناداً إلى ملاحظاتي في الخطوتين 4 و5، متى يتولّد تيار كهربائي في الملف؟ وهل يعتمد اتجاهه على اتجاه حركة المغناطيس؟ أفسّر إجابتي.

4. **أتوقع:** هل يتولّد تيار كهربائي إذا ثبّت السلك أو الملف، وحرّكت المغناطيس؟

التدفق المغناطيسي والحق الكهرمغناطيسي

Magnetic Flux and Electromagnetic Induction

1

الدرس

التدفق المغناطيسي Magnetic Flux

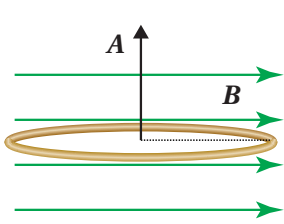
يمكن استخدام بطارية لإضاءة مصباح يدوّي، لكن إضاءة شارع أو مدينة تحتاج إلى مصدر طاقة كهربائية ذي قدرة أكبر، يعتمد في عمله على الحق الكهرمغناطيسي، الذي يرتبط بمفهوم التدفق المغناطيسي.

يوضح الشكل (1) ملفاً دائرياً من لفة واحدة مقدار مساحته (A)، موضوعاً في مجال مغناطيسي منتظم يخترقه عمودياً على مستوى المساحة، أي إن المجال المغناطيسي (B) يوازي متوجه المساحة (A). ولما كان التدفق المغناطيسي عبر مساحة محددة يتتناسب طردياً مع عدد خطوط المجال المغناطيسي التي تخترق هذه المساحة، ومقدار المجال المغناطيسي يتتناسب مع عدد خطوط المجال المغناطيسي التي تخترق عمودياً وحده المساحة، فإنه يمكن التعبير عن التدفق المغناطيسي (Φ_B) رياضياً بأنه ناتج الضرب القياسي لمتوجه المجال المغناطيسي (B) ومتوجه المساحة (A)، ويُعبر عن مقداره بالعلاقة الآتية:

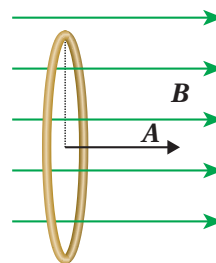
$$\Phi_B = B \cdot A = BA \cos \theta$$

حيث (θ) هي الزاوية المحصورة بين متوجهي المجال المغناطيسي والمساحة عندما يبدأ المتوجهان من النقطة نفسها، أما مقدار متوجه المساحة فيساوي مساحة سطح الملف، واتجاهه يكون عمودياً على السطح، خارجاً منه.

والأحظ من العلاقة السابقة أن التدفق المغناطيسي كمية قياسية، يُقاس بوحدة ($T.m^2$), تسمى وير (Wb) بحسب النظام الدولي للوحدات.
في الشكل (1)، خطوط المجال المغناطيسي موازية لمتوجه المساحة ($A = 0^\circ$), فيكون مقدار التدفق المغناطيسي ($\Phi_B = BA$), وهي أكبر قيمة



الشكل (2): التدفق المغناطيسي عبر الملف يساوي صفرًا لأن $\cos 90^\circ = 0$.



الشكل (1): مجال مغناطيسي منتظم يخترق عمودياً المساحة الممحصورة بالملف.

الفكرة الرئيسية:
يرتبط تولّد قوة دافعة كهربائية حثّية وتيار كهربائي حثّي في دارة مغلقة بتغيير التدفق المغناطيسي الذي يخترقها، يُحسب مقداره باستخدام قانون فارادي، ويُحدّد اتجاهه باستخدام قانون لنز.

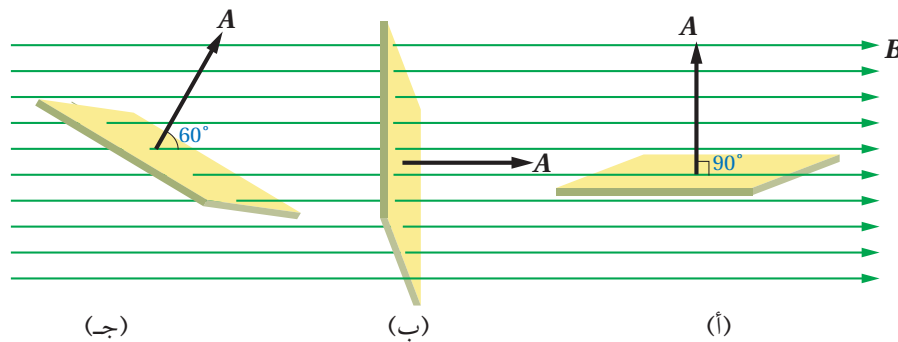
- نماذج التعلم:**
- أصف التدفق المغناطيسي عبر سطح عن طريق التعبير عنه بمعادلة.
 - أنفذ استقصاءً عملياً؛ لاستنتاج طرائق توليد قوة دافعة كهربائية حثّية في دارة كهربائية باستخدام مجال مغناطيسي.
 - أوظف قانوني لنز وفارادي في الحقّ؛ لأحسب مقدار القوة الدافعة الكهربائية الحثّية في دارة كهربائية.
 - اطور علاقة رياضية؛ لأنّ توصل إلى العوامل التي تحدد معامل الحقّ الذاتيّ لملف لولبي.
 - أصمّ نموذج محول كهربائيّ يعمل على خفض الجهد الكهربائيّ أو رفعه.
 - أشرح آلية عمل المحول الكهربائيّ، ودوره في رفع كفاءة نقل الطاقة الكهربائية من مكان إنتاجها إلى أماكن استهلاكها.

المفاهيم والمصطلحات:

التدفق المغناطيسي	Magnetic Flux
القوة الدافعة الكهربائية الحثّية	Induced Electromotive Force
قانون فارادي في الحقّ	Faraday's Law of Induction
معامل الحقّ الذاتيّ	Lenz's Law
معامل الحقّ الذاتيّ	Self Induction
Coefficient of Self Induction	Coefficient of Self Induction



الشكل (3): سطح يصنع زوايا مختلفة مع اتجاه خطوط المجال المغناطيسي.

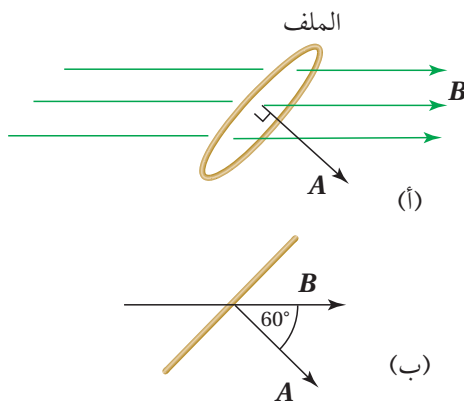


ممكنة. أمّا في الشكل (2)، فإنّ خطوط المجال المغناطيسي عموديّة على متّجه المساحة (خطوط المجال موازية لسطح الملف): ($\theta = 90^\circ$)، لذا لا تخترق الملف، والتدفق المغناطيسي عبر مساحة الملف يساوي صفرًا.

استنتج مما سبق، أنّ التدفق المغناطيسي عبر مساحة محدّدة يعتمد على: مقدار المجال المغناطيسي، ومقدار المساحة التي أحسب التدفق عبرها، وجب تمام الزاوية المحصورة بين متّجهي المجال المغناطيسي والمساحة.

أتحقق: يوضّح الشكل (3) ثلاثة سطوح متماثلة موضوعة في المجال المغناطيسي نفسه. فأيُّ السطوح يخترقه أكبر تدفق مغناطيسي؟ وأيّها يخترقه أقلّ تدفق مغناطيسي؟

المثال ١



الشكل (4):

(أ) حلقة دائريّة مغمورة في مجال مغناطيسيي.

ج. عندما يكون مستوى الحلقة عموديًّا على اتجاه المجال المغناطيسيي.

ب. عندما يكون مستوى الحلقة عموديًّا على اتجاه المجال المغناطيسيي.

(ب) الزاوية بين متّجهي المجال المغناطيسيي والمساحة.

حلقة دائريّة مساحتها ($3.0 \times 10^{-4} \text{ m}^2$)، موضوعة في مجال مغناطيسيي متّظم مقداره (120 mT) على نحو ما هو موضّح في الشكل (أ/4). ويوضّح الشكل (ب/4) منظراً جانبيًّا للحلقة، حيث الزاوية المحصورة بين متّجهي المجال المغناطيسيي والمساحة (60°). أحسب التدفق المغناطيسيي عبر الحلقة:

أ. على نحو ما هي موضّحة في الشكل (أ/4).

المعطيات: $A = 3.0 \times 10^{-4} \text{ m}^2$, $B = 120 \times 10^{-3} \text{ T}$, $\theta_1 = 60^\circ$, $\theta_2 = 0^\circ$, $\theta_3 = 90^\circ$.

المطلوب: $\Phi_B = ?$

الحلّ:

أ. الزاوية بين متجهي المجال المغناطيسي والمِساحة (60°)، وأحسب التدفق المغناطيسي على النحو الآتي:

$$\begin{aligned}\Phi_B &= BA \cos \theta \\ &= 120 \times 10^{-3} \times 3.0 \times 10^{-4} \times \cos 60^\circ \\ &= 1.8 \times 10^{-5} \text{ Wb}\end{aligned}$$

ب. عندما يكون مستوى الحلقة عمودياً على اتجاه المجال المغناطيسي تكون الزاوية بين متجهي المجال المغناطيسي والمِساحة (0°)، وأحسب التدفق المغناطيسي على النحو الآتي:

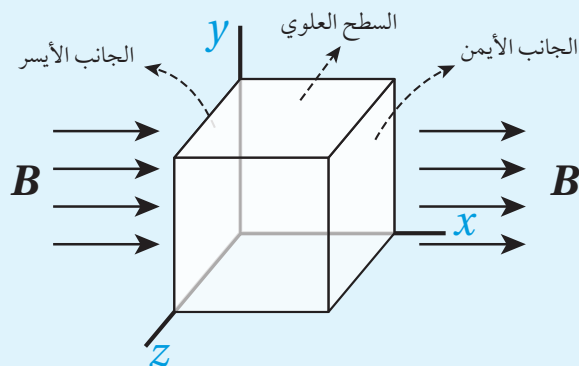
$$\begin{aligned}\Phi_B &= BA \cos \theta \\ &= 120 \times 10^{-3} \times 3.0 \times 10^{-4} \times \cos 0^\circ \\ &= 3.6 \times 10^{-5} \text{ Wb}\end{aligned}$$

ج. عندما يكون مستوى الحلقة موازياً لاتجاه المجال المغناطيسي تكون الزاوية بين متجهي المجال المغناطيسي والمِساحة (90°)، وأحسب التدفق المغناطيسي على النحو الآتي:

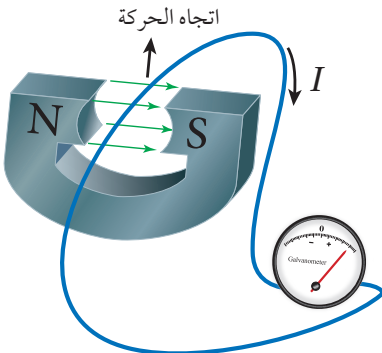
$$\begin{aligned}\Phi_B &= BA \cos \theta \\ &= 120 \times 10^{-3} \times 3.0 \times 10^{-4} \times \cos 90^\circ = 0 \\ &\quad \text{يكون التدفق المغناطيسي صفرًا لأن } \cos 90^\circ = 0\end{aligned}$$

لقد

مكعب طول ضلعه (2.0 cm)، موضوع في مجال مغناطيسي منتظم مقداره (1.5 T) على نحو ما هو موضح في الشكل (5). أحسب التدفق المغناطيسي الكلي عبر المكعب.

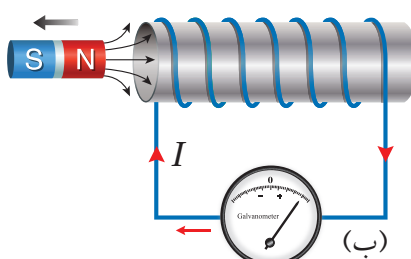
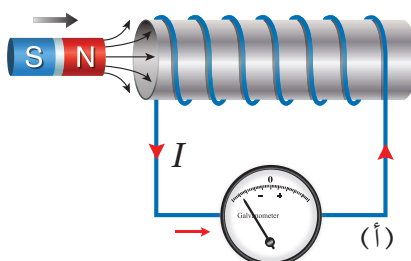


الشكل (5): سطح مغلق على شكل مكعب في مجال مغناطيسي منتظم.



الشكل (6): يتولّد تيار كهربائيٌّ حثيٌّ في سلك عند تغيير التدفق المغناطيسيِّ الذي يخترق الدارة المغلقة التي يُعدُّ السلك جزءاً منها.

هل يتولّد تيار كهربائيٌّ حثيٌّ في السلك عند تحريكه بموازاة طوله؟



الشكل (7): يتولّد تيار كهربائيٌّ حثيٌّ في أثناء حركة المغناطيس مقترباً من ملفٍ (أ)، أو مبتعداً عنه (ب).

الحث الكهرمغناطيسي Electromagnetic Induction

درستُ في الوحدة السابقة أنَّ مرور تيار كهربائيٍّ في موصل يولّد حوله مجالاً مغناطيسياً. فهل يُمكن عكس هذه العملية؛ أيْ هل يُمكن توليد تيار كهربائيٍّ في موصل باستخدام مجال مغناطيسيٍّ؟

اكتشف العالمان الأمريكي جوزيف هنري والإنجليزي مايكل فارادي عام (1831م) بشكل مستقل أنَّه يُمكن توليد تيار كهربائيٍّ في دارة كهربائية مغلقة عند تغيير التدفق المغناطيسيِّ الذي يخترقها، وتُسمى هذه العملية الحث الكهرمغناطيسيٍّ، ويُسمى التيار الكهربائيٍّ المتولَّد في هذه الحالة التيار الكهربائيٍّ الحثيٌّ Induced current. وما نفذته في التجربة الاستهلالية، شبيه بالتجارب التي نفذها العالمان هنري وفارادي، ومنها أستنتاج أنه يمكن توليد تيار كهربائيٍّ حثيٌّ في دارة مغلقة عند:

1. تحريك سلك موصل إلى الأعلى وإلى الأسفل في دارة مثل المبينة في الشكل (6)، بحيث يقطع الموصل خطوط المجال المغناطيسيِّ.
2. تقريب مغناطيس من ملف أو إبعاده عنه على نحو ما هو مبين في الشكل (7). إنَّ مرور تيار كهربائيٍّ في دارة يتطلب مصدر فرق جهد، مثل البطارية. فكيف تولَّد التيار الكهربائيٍّ في الحالتين السابقتين دون وجود بطارية؟ لأعرف الإجابة؛ أدرس القوة الدافعة الكهربائية الحثية.

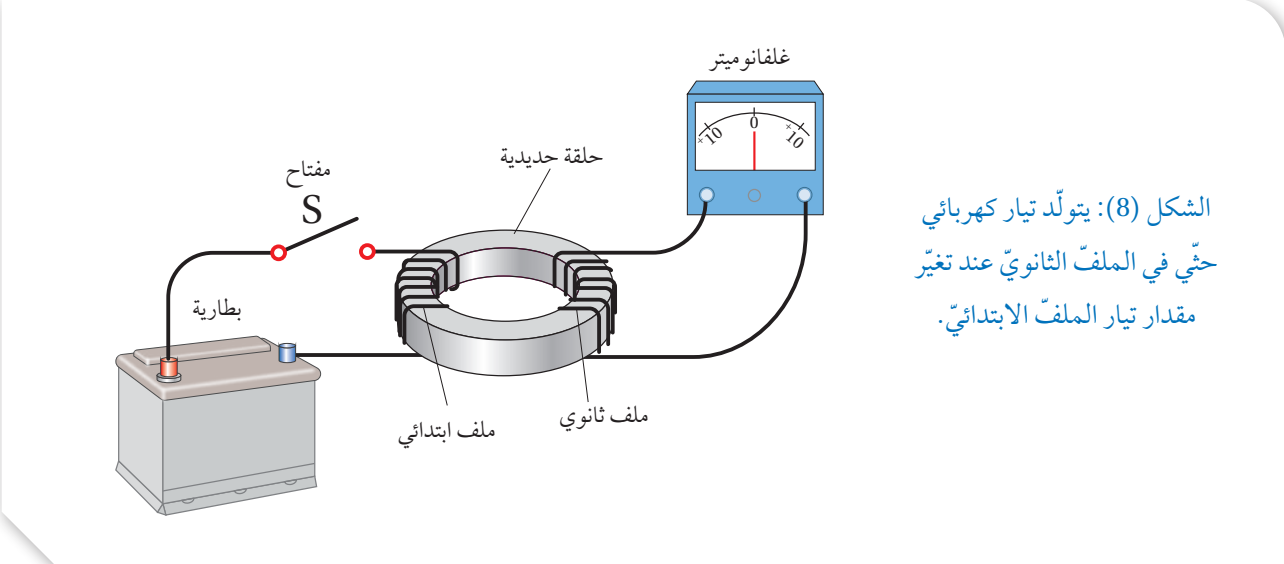
أتحقق: ما المقصود بالتيار الكهربائيٍّ الحثيٌّ؟

القوة الدافعة الكهربائية الحثية Induced Electromotive Force

القوة الدافعة الكهربائية الحثية في ملفٍ موصل

تولَّد قوة دافعة كهربائية حثية (ϵ) وتيار كهربائيٌّ حثيٌّ في ملفٍ عند تغيير التدفق المغناطيسيِّ الذي يخترقه. وتغيير التدفق المغناطيسيِّ الذي يخترق الملف ينتج عن تغيير في أيٍّ من مقدار المجال المغناطيسيِّ، أو المساحة التي يخترقها المجال المغناطيسيِّ، أو الزاوية المحصورة بين اتجاهي المجال المغناطيسيِّ والمساحة.

يوضّح الشكل (7) ملفاً موصولاً بغلفانوميتر، ومغناطيس مستقيم. عند تحريك المغناطيس نحو الملف، ينحرف مؤشر الغلفانوميتر في اتجاه معين، دالاً على تولَّد قوة دافعة كهربائية حثية وسريان تيار كهربائيٍّ حثيٌّ في الملف، أتمَّل الشكل (أ). أمّا عند إبعاد المغناطيس عن الملف، فإنَّ مؤشر الغلفانوميتر ينحرف في اتجاه معاكس لاتجاه انحرافه في الحالة السابقة، دالاً على تولَّد قوة دافعة كهربائية حثية، وسريان تيار كهربائيٍّ حثيٌّ في الملف باتجاه معاكس. أتمَّل الشكل (ب). وأحصل على النتائج نفسها عند ثبيت المغناطيس وتحريك الملف.



الشكل (8): يتولّد تيار كهربائيّ حُثّي في الملف الثانويّ عند تغيير مقدار تيار الملف الابتدائيّ.

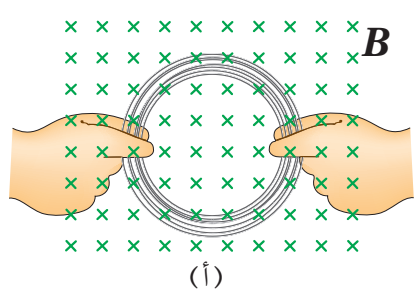
يمكن أيضًا توليد قوّة دافعة كهربائية حُثّية، وتيار كهربائيّ حُثّي بتنفيذ تجربة مماثلة لتجربة العالم فارادي، على نحو ما هو موضّح في الشكل (8). إذا لفّ سلكٌ حول جزء من حلقة حديديّة، ثم وصل طرفاً به بفتح (S) وبطارية، مكوّناً الملف الابتدائيّ Primay coil، ثم لفّ سلكٌ آخر حول جزء آخر من الحلقة نفسها، ووصل طرفاً بغلفانوميتر فقط، مكوّناً الملف الثانويّ Secondary coil. لحظة إغلاق المفتاح (S) ينحرف مؤشر الغلفانوميتر المتصل بالملف الثانوي باتجاه معين، ثم يعود إلى الصفر. ويتكرر ذلك لحظة فتح المفتاح، لكن انحراف المؤشر يكون باتجاه معاكس للحالة السابقة. ولا ينحرف مؤشر الغلفانوميتر عند ثبات مقدار التيار الكهربائي في الملف الابتدائي.

وأفسّر المشاهدات السابقة، أنه عند إغلاق المفتاح (S) يسري تيار كهربائيّ في الملف الابتدائيّ مولّداً مجالاً مغناطيسيّاً يخترق الملف الثانويّ، فيتغيّر التدفق المغناطيسيّ الذي يخترقه من صفر إلى قيمة معينة خلال مدة زمنية معينة، وهذا التغيّر في التدفق المغناطيسيّ مع الزمن يولّد قوّة دافعة كهربائية حُثّية وتياراً كهربائيّاً حُثّياً في الملف الثانويّ. الأمر نفسه يحدث عند فتح دارة الملف الابتدائيّ، إذ يتلاشى التيار الكهربائيّ المارّ فيه، وتبعًا لذلك يتناقص التدفق المغناطيسيّ الذي يخترق الملف الثانويّ، فتتولّد فيه قوّة دافعة كهربائية حُثّية وتيار كهربائيّ حُثّي خلال مدة تلاشي تيار الملف الابتدائيّ.

أفْكَرْ: في الشكل (7)، هل ينحرف مؤشر الغلفانوميتر عند تحريك المغناطيس والملف معًا بالاتجاه نفسه بمقدار السرعة نفسه؟ أناقش أفراد مجموعة للتوصيل إلى إجابة عن السؤال.

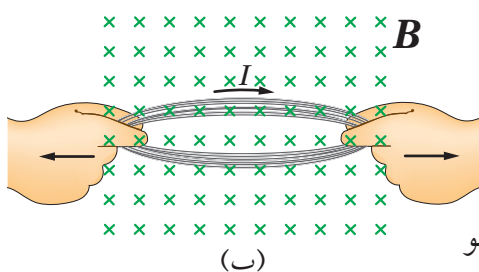
أَنْحِقَّ: ما طرائق توليد قوّة دافعة كهربائية حُثّية في ملفٍ من سلك موصل؟ ✓

المثال 2



يوضح الشكل (9/أ) ملفاً دائرياً مغموراً في مجال مغناطيسيٍ منتظم عموديًّا على سطح الملف. هل يتولد تيار كهربائيٌّ حثّي: أ. عند تحريك الملف نحو اليسار أو نحو اليمين مع بقائه داخل المجال على نحو ما في الشكل (9/أ)؟

ب. في أثناء تغيير شكل الملف على نحو ما في الشكل (9/ب)؟



المعطيات: الشكلان (9/أ) و(9/ب).

المطلوب: تفسير متى يتولد تيار كهربائيٌّ حثّي.

الحلّ:

- أ. لا يتولد تيار كهربائيٌّ حثّي عند تحريك الملف داخل المجال نحو اليسار أو اليمين بسبب ثبات التدفق المغناطيسي.

الشكل (9):

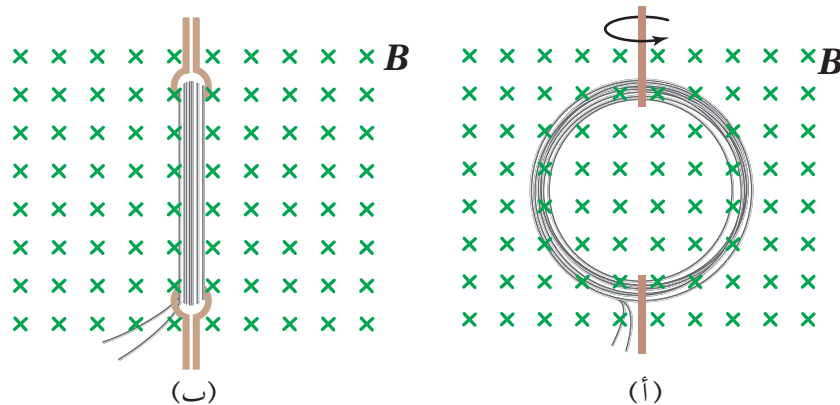
(أ) ثبات التدفق المغناطيسي الذي يخترق الملف.

(ب) إنفاس مساحة الملف.

ب. عند شد الملف يتغير شكله بحيث تقل مساحة سطحة، فيقل التدفق المغناطيسي الذي يخترقه، ما يؤدي إلى تولّد قوة دافعة كهربائية حثّية، وتيار كهربائيٌّ حثّي.

للتدرّب

يوضح الشكل (10/أ) ملفاً دائرياً مغموراً في مجال مغناطيسيٍ منتظم عموديًّا على سطح الملف. أُفسِّر ما يحدث في أثناء تدوير الملف في المجال المغناطيسيٍّ ، على نحو ما هو موضّح في الشكل (10/ب).



الشكل (10): تدوير ملفٍ في مجال مغناطيسيٍ منتظم من الوضع (أ) إلى الوضع (ب).

قانون فارادي في الحث Faraday's Law of Induction

صاغ العالم فارادي نتائج الاستقصاءات السابقة على شكل قانون، سُمي بـ **قانون فارادي في الحث Faraday's law of induction**، الذي ينص على أن:

“مقدار القوة الدافعة الكهربائية الحية المترسبة في دارة كهربائية تتناسب طردياً مع المعدل الزمني لتغير التدفق المغناطيسي الذي يخترقها”. ويعبر عنه رياضياً على النحو الآتي:

$$\bar{\epsilon} = - \frac{d\Phi_B}{dt} = - \frac{d}{dt} (BA \cos \theta)$$

وإذا كانت الدارة مكونة من (N) لفة، فإن قانون فارادي في الحث يعبر عنه

$$\bar{\epsilon} = -N \frac{d\Phi_B}{dt}$$

والمعنى الفيزيائي للإشارة السالبة سيتضح عند دراسة قانون لenz.
وعندما يحدث التغير في التدفق المغناطيسي ($\Delta\Phi_B$) خلال مدة زمنية (Δt),
فإنه يمكن كتابة قانون فارادي في الحث على النحو الآتي لحساب القوة الدافعة

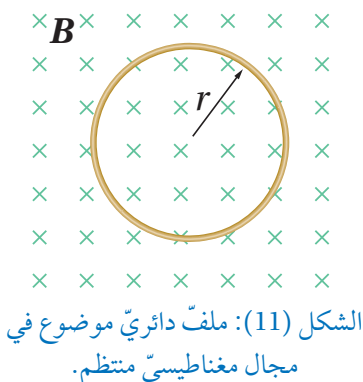
$$\text{الكهربائية الحية المتوسطة: } \bar{\epsilon} = -N \frac{\Delta\Phi_B}{\Delta t}$$

وعندما يكون الملف جزءاً من دارة كهربائية مغلقة، فإنه يسري فيها تيار كهربائي حيّ، يُحسب مقداره باستخدام قانون أوم على النحو الآتي:

$$I = \left| \frac{\bar{\epsilon}}{R} \right|$$

✓ **أتحقق:** علام ينص قانون فارادي في الحث؟

المثال 3



الشكل (11): ملف دائري موضوع في مجال مغناطيسي منتظم.

ملف دائري عدد لفاته (20) لفة، ومتسط نصف قطر اللفة الواحدة (1.0 cm) موضوع في مجال مغناطيسي منتظم مقداره (120 mT)، على نحو ما هو موضح في الشكل (11). سُحب الملف خارج المجال المغناطيسي خلال زمن مقداره (0.20 s)،
أحسب القوة الدافعة الكهربائية الحية المتوسطة المترسبة في الملف.

المُعطيات: $N = 20$ turns, $r = 1.0 \times 10^{-2}$ m, $B = 120 \times 10^{-3}$ T, $\theta = 0.0^\circ$, $\Delta t = 0.20$ s.

المطلوب: $\bar{\epsilon} = ?$

الحل:

بداية، أحسب مساحة المقطع العرضي للملف.

$$A = \pi r^2$$

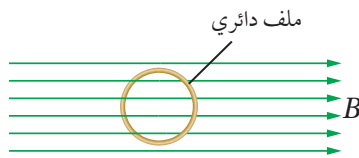
$$= \pi \times (1.0 \times 10^{-2})^2 = 3.14 \times 10^{-4} \text{ m}^2$$

أحسب القوة الدافعة الكهربائية الحثّية المتوسطة المتولدة في الملف على النحو الآتي، مع ملاحظة أنَّ التدفق المغناطيسي النهائي يساوي صفرًا، حيث المجال المغناطيسي الذي يخترق الملف يساوي صفرًا:

$$\begin{aligned}\bar{\varepsilon} &= -N \frac{\Delta \Phi_B}{\Delta t} = -N \frac{(\Phi_{B,f} - \Phi_{B,i})}{\Delta t} \\ &= -N \frac{(0 - BA \cos \theta)}{\Delta t} = -20 \times \left(\frac{0 - 120 \times 10^{-3} \times 3.14 \times 10^{-4} \cos 0.0^\circ}{0.20} \right) \\ &= 3.77 \times 10^{-3} \text{ V}\end{aligned}$$

المثال 4

ملف دائري عدد لفاته (100) لفة، ومساحة مقطعه العرضي ($1.2 \times 10^{-4} \text{ m}^2$)، موضوع في مجال مغناطيسي منتظم مقداره (1.0 T)، على نحو ما هو موضح في الشكل (12). بداية، مستوى الملف موازٍ لخطوط المجال المغناطيسي، ثم دار الملف بزاوية مقدارها (90°) حول محور رأسٍي بحيث أصبح مستوى عمودياً على اتجاه المجال المغناطيسي خلال (0.50 s). أحسب ما يأتي:



الشكل (12): ملف دائري في مجال مغناطيسي منتظم.

أ. التغيير في التدفق المغناطيسي عبر مقطع الملف.

ب. القوة الدافعة الكهربائية الحثّية المتوسطة المتولدة في الملف.

ج. التيار الكهربائي الحثّي المتوسط المار في الملف، إذا علمت أنَّ المقاومة الكهربائية للملف (4.0 Ω).

المعطيات: $N = 100$ turns, $A = 1.2 \times 10^{-4} \text{ m}^2$, $B = 1.0 \text{ T}$, $\theta_i = 90.0^\circ$, $\theta_f = 0.0^\circ$, $\Delta t = 0.50 \text{ s}$, $R = 4.0 \Omega$.

المطلوب: $\Delta \Phi_B = ?$, $\bar{\varepsilon} = ?$, $I = ?$.

الحلّ:

أ. أحسب التغيير في التدفق المغناطيسي عبر مقطع الملف على النحو الآتي:

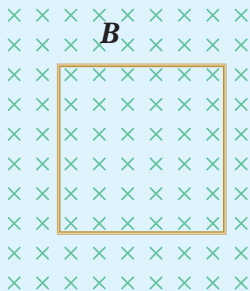
$$\begin{aligned}\Delta \Phi_B &= \Phi_{B,f} - \Phi_{B,i} \\ &= BA \cos \theta_f - BA \cos \theta_i = 1.0 \times 1.2 \times 10^{-4} \times (\cos 0.0^\circ - \cos 90.0^\circ) \\ &= 1.2 \times 10^{-4} \text{ Wb}\end{aligned}$$

ب. أحسب القوة الدافعة الكهربائية الحثّية المتوسطة المتولدة في الملف على النحو الآتي:

$$\begin{aligned}\bar{\varepsilon} &= -N \frac{\Delta \Phi_B}{\Delta t} = -100 \times \frac{1.2 \times 10^{-4}}{0.50} \\ &= -2.4 \times 10^{-2} \text{ V}\end{aligned}$$

ج. أستخدم قانون أوم لحساب التيار الكهربائي الحثّي المتوسط المار في الملف على النحو الآتي:

$$I = \left| \frac{\bar{\varepsilon}}{R} \right| = \left| \frac{2.4 \times 10^{-2}}{4.0} \right| = 6 \times 10^{-3} \text{ A} = 6 \text{ mA}$$



الشكل (13): حلقة موصولة مربعة
الشكل في مجال مغناطيسي منتظم.

حلقة مربعة الشكل مقاومتها ($10\ \Omega$)، موضوعة في مجال مغناطيسي منتظم، حيث مستواها عموديًّا على اتجاه المجال المغناطيسي على نحو ما هو موضح في الشكل (13). إذا تغير التدفق المغناطيسي الذي يخترق الحلقة من قيمة ابتدائية (0.10 Wb) إلى (0.15 Wb) خلال (0.01 s)، أحسب ما يأتي:

أ. القوة الدافعة الكهربائية الحثّية المتوسطة المتولدة في الحلقة.

ب. التيار الكهربائي الحثّي المتوسط المار في الحلقة.

القوة الدافعة الكهربائية الحثّية في موصل متجرك Motional EMF

يوضح الشكل (14/أ) موصلًا يتحرك باتجاه محور ($+x$) عموديًّا على طوله، وعلى اتجاه مجال مغناطيسي منتظم (باتجاه محور $+z$). تتحرك الإلكترونات الحرة في الموصل معه باتجاه محور ($+x$) عموديًّا على اتجاه المجال المغناطيسي قاطعة خطوط المجال المغناطيسي، فتتأثر بقوة مغناطيسية باتجاه محور ($+y$) حسب قاعدة اليد اليمنى. ونتيجة لذلك تتجمع شحنات سالبة عند طرف السلك (a)، تاركة خلفها شحنات موجبة عند الطرف (b)، فيصبح جهد الطرف (b) أكبر من جهد الطرف (a)، أي يتولّد فرق في الجهد الكهربائي بين طرفيه، يُسمّى القوة الدافعة الكهربائية الحثّية (\mathcal{E}) Induced electromotive force.

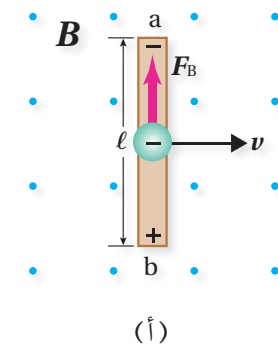
القوة الدافعة الكهربائية الحثّية المتوسطة المتولدة في هذا الموصل بالعلاقة الآتية:

$$\mathcal{E} = Blv$$

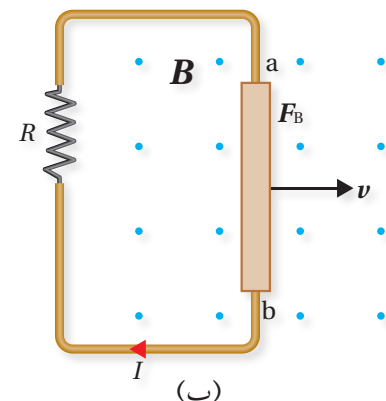
حيث (B) مقدار المجال المغناطيسيي، (l) طول الموصل المتجرك ضمن المجال المغناطيسيي، و (v) مقدار سرعة حركة الموصل.

وعندما يكون الموصل جزءًا من دارة كهربائية مغلقة، على نحو ما هو موضح في الشكل (14/ب)، فإنه يسري فيها تيار كهربائي حثّي، إذ يعمل الموصل عمل بطارية قطبهما الموجب عند الطرف (b). ويستمر سريان التيار الكهربائي في الدارة الكهربائية ما دام الموصل متجركًا.

أتحقق: علام يعتمد مقدار القوة الدافعة الكهربائية الحثّية المتوسطة بين طرفي موصل يتجرك عموديًّا على طوله وعلى اتجاه المجال المغناطيسي؟



(أ)



(ب)

الشكل (14):

(أ) في أثناء قطع موصل خطوط مجال مغناطيسيي يتولّد بين طرفيه قوة دافعة كهربائية حثّية.

(ب) ويسري فيه تيار كهربائي حثّي عندما يصبح جزءًا من دارة كهربائية مغلقة.

المثال 5

يتقابل القطبان الشمالي N والجنوبي S لمغناطيسين، طول كلاً منهما ($h = 6.00 \text{ cm}$)، وارتفاع كلاً منهما ($\ell = 20.0 \text{ cm}$)، وبينهما مجال مغناطيسي منتظم مقداره (54.0 mT). أتمّل الشكل (15/أ). حُرّك سلك مسدودٌ موصولٌ ببلي أمير من الطرف السفلي للمغناطيسين إلى الطرف العلوي عمودياً على اتجاه خطوط المجال المغناطيسي خلال مدة زمنية مقدارها (0.200 s)، على نحو ما هو موضح في الشكل (15/ب). أحسب ما يأتي:

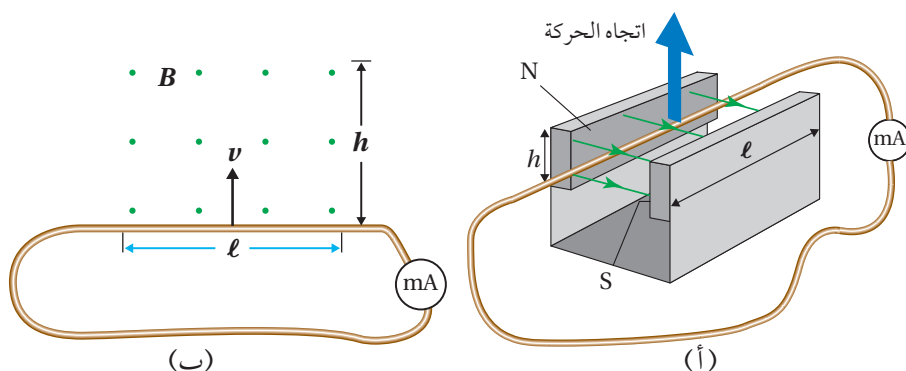
أ. القوة الدافعة الكهربائية الحشيشة المتولدة في السلك.

ب. التيار الكهربائي المار في الملي أمير إذا علمت أن المقاومة الكهربائية للدارة (2.0Ω).

الشكل (15):

(أ) تحريك سلك عمودياً على اتجاه خطوط المجال المغناطيسي منتظم.

(ب) منظر جانبي من جهة اليمين لحركة السلك داخل المجال المغناطيسي.



المعطيات: $\ell = 20.0 \text{ cm}$, $h = 6.00 \text{ cm}$, $B = 54.0 \times 10^{-3} \text{ T}$, $\Delta t = 0.200 \text{ s}$, $R = 2.0 \Omega$.

المطلوب: $\dot{\epsilon} = ?$, $I = ?$

الحل:

أ. طول السلك داخل المجال المغناطيسي يساوي طول أي من المغناطيسين. أحسب القوة الدافعة الكهربائية الحشيشة المتولدة فيه على النحو الآتي، علماً بأن $(v = \frac{\Delta y}{\Delta t})$

$$\dot{\epsilon} = B\ell v$$

$$= 54.0 \times 10^{-3} \times 20.0 \times 10^{-2} \times \frac{h}{\Delta t}$$

$$= 108 \times 10^{-4} \times \frac{6.00 \times 10^{-2}}{0.200}$$

$$= 3.24 \times 10^{-3} \text{ V}$$

ب. أحسب التيار الكهربائي المار في الدارة على النحو الآتي:

$$I = \left| \frac{\dot{\epsilon}}{R} \right| = \left| \frac{3.24 \times 10^{-3}}{2.0} \right|$$

$$= 1.62 \times 10^{-3} \text{ A} = 1.62 \text{ mA}$$

قانون لنز Lenz's Law

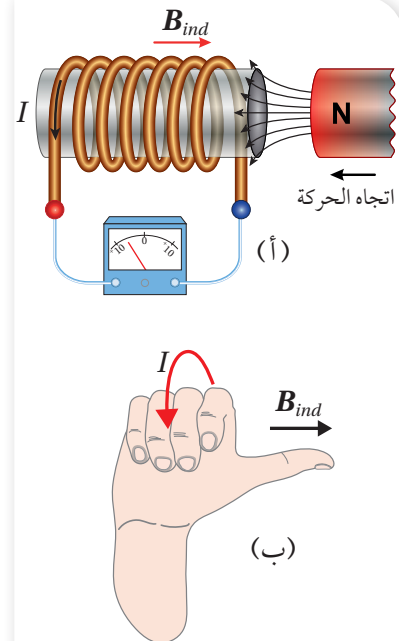
يُشير قانون فارادي إلى أن إشارتي القوة الدافعة الكهربائية الحثّية والتغيير في التدفق المغناطيسي متعاكستان. لاحظت في طائق توليد القوة الدافعة الكهربائية الحثّية والتيار الكهربائي الحثّي السابقة أن مؤشر الغلفانوميتر أو الأميتر ينحرف باتجاه معين عند تقريب أحد قطبي مغناطيس من ملف، وأن اتجاه الانحراف يعكس عند إبعاد القطب نفسه عن الملف. فما دلالة هذه المشاهدات؟ وكيف أُحدّد اتجاه التيار الكهربائي الحثّي المتولّد؟

فسّر العالم الروسي لنز هذه المشاهدات من خلال قانون أصبح يُعرف باسم **قانون لنز Lenz's law** الذي ينصّ على أنّ "القوة الدافعة الكهربائية الحثّية المتولدة تكون في الاتجاه الذي يُقاوم التغيير في التدفق المغناطيسي الذي يؤدّي إلى توليدتها". وهذا يفسّر وجود الإشارة السالبة في قانون فارادي.

لتحديد اتجاه التيار الكهربائي الحثّي المتولّد، أتأمل الشكل (16/أ) الذي يوضح تقريب القطب الشمالي لمغناطيس من أحد طرفي ملف. ونتيجة لذلك يزداد التدفق المغناطيسي الذي يخترق الملف، فتتوّلد قوة دافعة كهربائية حثّية بين طرفيه، تؤدّي إلى مرور تيار كهربائيٍّ حثّيًّا في الاتجاه الذي يولّد مجالًا مغناطيسيًا يقاوم الزيادة في التدفق المغناطيسي. وهذا يعني أنّ طرف الملف القريب من المغناطيس يصبح قطبًا مغناطيسيًا شمالياً، فيتنافر مع القطب الشمالي للمغناطيس. ولاحدّد اتجاه التيار الكهربائي الحثّي، أستخدم قاعدة اليد اليمنى على نحو ما هو موضّح في الشكل (16/ب) حيث يُشير الإبهام إلى اتجاه المجال المغناطيسي الناتج عن الملف (B_{ind})، في حين يُشير اتجاه انحصار بقية الأصابع إلى اتجاه التيار الكهربائي الحثّي في لفّات الملف.

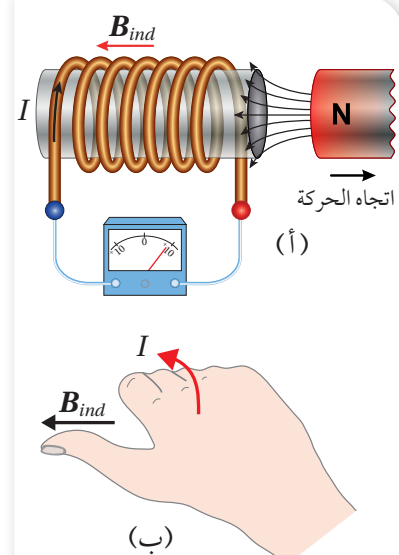
أمّا عند إبعاد القطب الشمالي للمغناطيس عن طرف الملف الموضّح في الشكل (17/أ) يقلّ التدفق المغناطيسي الذي يخترقه، فتتوّلد قوة دافعة كهربائية حثّية بين طرفيه تؤدّي إلى مرور تيار كهربائيٍّ حثّيًّا في الاتجاه الذي يولّد مجالًا مغناطيسيًا اتجاهه نحو اليسار (يُصبح طرف الملف القريب من المغناطيس قطبًا مغناطيسيًا جنوبًا)، كي يُقاوم النقص في التدفق المغناطيسي، فتشدّ قوة تجاذب بين القطبين تقاوم ابتعاد القطب الشمالي عن الملف. وأُحدّد اتجاه التيار الكهربائي الحثّي المتولّد باستخدام قاعدة اليد اليمنى على نحو ما هو موضّح في الشكل (17/ب).

أَنْتَ حَقِيقَةً: علام ينصّ قانون لنز؟ وكيف أُحدّد اتجاه التيار الكهربائي الحثّي المتولّد في ملفٍ عند تغيير التدفق المغناطيسي الذي يخترقه؟



الشكل (16):

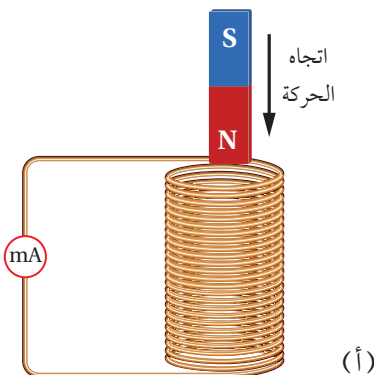
- (أ) تقريب القطب الشمالي لمغناطيس من أحد طرفي ملف.
- (ب) أستخدم قاعدة اليد اليمنى لتحديد اتجاه التيار الكهربائي الحثّي في الملف.



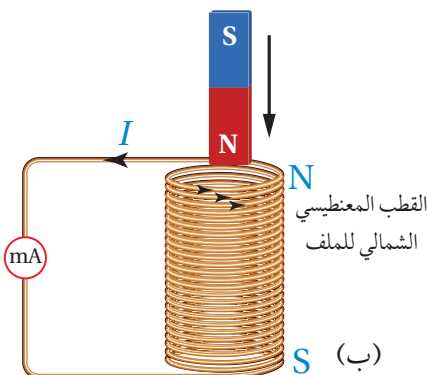
الشكل (17):

- (أ) إبعاد القطب الشمالي لمغناطيس عن أحد طرفي ملف.
- (ب) أستخدم قاعدة اليد اليمنى لتحديد اتجاه التيار الكهربائي الحثّي في الملف.

المثال 6



يقرب القطب الشمالي لمغناطيس من ملف، فيتحرك مؤشر الملي أمير المتصل به. ويوضح الشكل (18/أ) منظراً جانبياً للمغناطيس في أثناء اقترابه من الملف. كيف أحّدد اتجاه التيار الكهربائي الحثي المتولّد في الملف وما اتجاهه عند النظر إلى الملف من الأعلى؟



المعطيات: الشكل (18).

المطلوب: تحديد اتجاه التيار الكهربائي الحثي.

: الشكل (18)

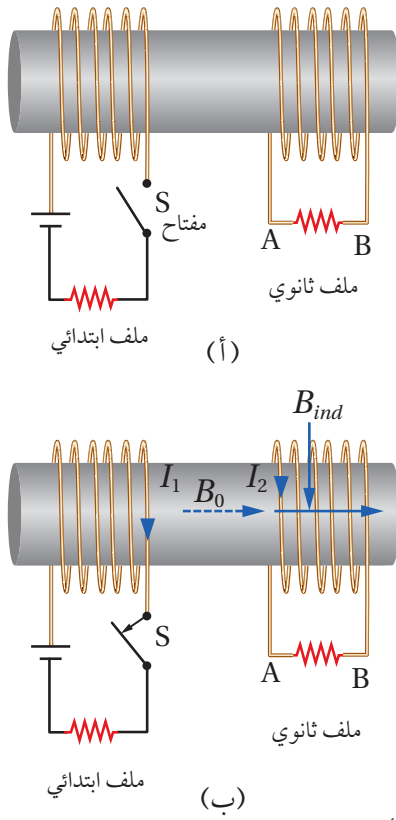
(أ) منظر جانبي لتقرير القطب الشمالي لمغناطيس من أحد طرفي ملف.

(ب) اتجاه التيار الكهربائي الحثي المتولّد في الملف واتجاه المجال المعنطيسي الناتج.

: الحل

بحسب قانون لترز، يكون اتجاه التيار الكهربائي الحثي المتولّد في الملف في الاتجاه الذي ينشأ عنه مجال مغناطيسي حثي يقاوم التغيير في التدفق المغناطيسي المسبب في تولیده. وفي هذا الشكل، يكون اتجاه التيار الكهربائي الحثي في الملف، بحيث يولّد مجالاً مغناطيسيّاً داخلاً الملف إلى الأعلى؛ باستخدام قاعدة اليد اليمنى أستنتج أنَّ اتجاه التيار الكهربائي الحثي المتولّد في الملف يكون بعكس اتجاه حركة عقارب الساعة عند النظر إليه من الأعلى، أي يكون الطرف العلوي للملف قطباً مغناطيسيّاً شمالياً؛ كي يقاوم اقتراب القطب الشمالي للمغناطيس المؤدي إلى تولیده. أتمّل الشكل (18/ب).

المثال 7



الشكل (19):

- (أ) ملفان ملفوفان حول القلب الحديدي نفسه.
- (ب) اتجاه المجال المغناطيسي الناتج عن الملف الابتدائي يكون باتجاه اليمين.

لُفّ ملفان عدد لفات كُلّ منها (100) لفة، ومساحة المقطع العرضي لكلّ منها ($3.0 \times 10^{-4} \text{ m}^2$)، على قلب حديدي على نحو ما هو موضح في الشكل (19/أ). عند إغلاق مفتاح دارة الملف الابتدائي ينولّد مجال مغناطيسي داخله مقداره ($B_0 = 180 \text{ mT}$) يتّقلّ عبر القلب الحديدي، على نحو ما هو موضح في الشكل (19/ب)، وعند فتح الدارة الكهربائية يتلاشى هذا المجال المغناطيسي خلال (0.10 s).

أجيب عما يأتي:

- أ. أحسب القوة الدافعة الكهربائية الحثّية المتوسطة المتولّدة في الملف الثانوي لحظة فتح المفتاح S.
- ب. أحدّد اتجاه سريان التيار الكهربائي الحثّي في المقاومة الكهربائية في الملف الثانوي لحظة فتح المفتاح S.

المُعطيات:

$$N = 100 \text{ turns}, A = 3.0 \times 10^{-4} \text{ m}^2, \\ B_0 = 180 \times 10^{-3} \text{ T}, \Delta t = 0.10 \text{ s}.$$

المطلوب: $\vec{\epsilon} = ?$

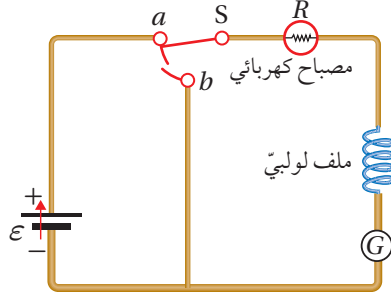
الحلّ:

- أ. التغيير في التدفق المغناطيسي ناتج عن تغيير مقدار المجال المغناطيسي الذي يخترق حلقات الملف الثانوي، وأحسب القوة الدافعة الكهربائية الحثّية المتوسطة المتولّدة في الملف على النحو الآتي:

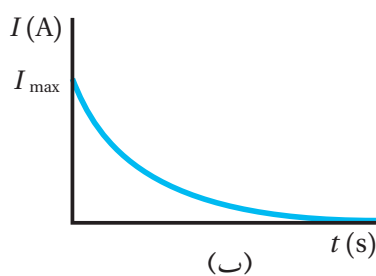
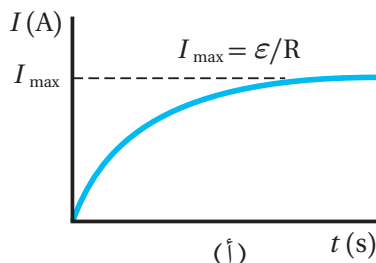
$$\begin{aligned} \vec{\epsilon} &= -N \frac{\Delta \Phi_B}{\Delta t} = -N \left(\frac{\Phi_{B,f} - \Phi_{B,i}}{\Delta t} \right) \\ &= -N \left(\frac{B_f A \cos 0.0^\circ - B_i A \cos 0.0^\circ}{\Delta t} \right) = -NA \left(\frac{B_f - B_i}{\Delta t} \right) \\ &= -100 \times 3.0 \times 10^{-4} \times \left(\frac{0 - 180 \times 10^{-3}}{0.10} \right) = 5.4 \times 10^{-2} \text{ V} \end{aligned}$$

- ب. المجال المغناطيسي الناتج عن الملف الابتدائي يكون نحو اليمين ويتّقلّ عبر القلب الحديدي، وعند فتح دارة الملف الابتدائي، يقلّ التدفق المغناطيسي الذي يخترق الملف الثانوي، فتّولّد قوة دافعة كهربائية حثّية بين طرفيه تؤدي إلى مرور تيار كهربائي حثّي في الملف في الاتجاه الذي يجعله يقاوم النقص في التدفق المغناطيسي؛ أيًّا يكون المجال المغناطيسي الحثّي في الملف المغناطيسي نفسه. وبنطبيق قاعدة اليد اليمنى نجد أن اتجاه التيار الكهربائي الحثّي المار في المقاومة يكون من B إلى A عبر المقاومة.

الحث الذاتي Self Induction



الشكل (20): تزداد إضاءة المصباح تدريجياً عند وصل المفتاح S بالنقطة (a)، وتلاشى إضاءة المصباح تدريجياً عند وصل المفتاح S بالنقطة (b).



الشكل (21):

(أ) معدل نمو التيار الكهربائي في دارة تحوي محثاً ومصباحاً لحظة توصيل المفتاح S بالنقطة (a).

(ب) معدل تلاشى التيار الكهربائي لحظة توصيل المفتاح S بالنقطة (b) في الدارة نفسها.

أولاً: في الشكل (21/ب)، لماذا يتلاشى التيار الكهربائي تدريجياً ولا يصل مقداره إلى الصفر مباشرة؟ أناقش أفراد مجموعتي، للتوصل إلى إجابة عن السؤال.

أتأمل الشكل (20) الذي يوضح دارة كهربائية تحوي بطارية ومقاومة (مصابح مثلًا) وملفًا ولوبيًا وغلفانوميتر ومفتاح (S). عند إغلاق المفتاح (S) بوصله بالنقطة (a) تزداد شدة إضاءة المصباح تدريجياً حتى تثبت، ما يعني أن التيار لا يصل إلى قيمته العظمى لحظياً، بل ينمو تدريجياً من الصفر إلى قيمته العظمى، على نحو ما هو مبين في الشكل (21/أ).

وأفسر ما سبق بأنّ وجود الملف اللولي قد أعاد نمو التيار الكهربائي الناتج عن البطارية. فعند إغلاق المفتاح (S) يسري التيار الكهربائي في الدارة الكهربائية، فيتولّد مجال مغناطيسي في الملف اللولي، ويزداد التدفق المغناطيسي الذي يخترقه. وبحسب قانون لنز، ينشأ فيه قوة دافعة كهربائية حثية ذاتية Self-induced electromotive force للبطارية، ما يؤدي إلى نمو التيار الكهربائي إلى قيمته العظمى تدريجياً وليس لحظياً.

يُسمى الملف اللولي محث Inductor، أمّا هذا التأثير فيُسمى **الحث الذاتي Self induction**، ويُعرف بأنه تولّد قوة دافعة كهربائية حثية ذاتية في دارة كهربائية مغلقة نتيجة تغيير التدفق المغناطيسي بسبب تغيير مقدار تيار الدارة نفسها. ويوضح الشكل (21/ب) أنّ التيار الكهربائي يتلاشى تدريجياً لحظة توصيل المفتاح (S) بالنقطة (b) في الدارة الكهربائية الموضحة في الشكل (20)، حيث لا يصل مقداره إلى الصفر مباشرة. وألاحظ أنّ البطارية في هذه الحالة لم تعد جزءاً من الدارة الكهربائية.

وأحسب القوة الدافعة الكهربائية الحثية الذاتية المتولدة في المحث باستخدام قانون فارادي على النحو الآتي:

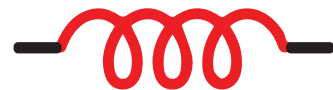
$$\mathcal{E} = -N \frac{d\Phi_B}{dt}$$

ونظراً إلى أنّ التدفق المغناطيسي يتناسب طردياً مع مقدار المجال المغناطيسي، الذي بدوره يتناسب طردياً مع مقدار التيار الكهربائي الماز في الملف، فإنّ القوة الدافعة الكهربائية الحثية الذاتية (\mathcal{E}_L) تتناسب طردياً مع المعدل الزمني للتغير في مقدار التيار الكهربائي، وأعبر عن ذلك رياضياً على النحو الآتي:

$$\mathcal{E}_L = -L \frac{dI}{dt}$$

حيث (L) ثابت التناوب، ويُسمى **معامل الحث الذاتي Coefficient of self induction** للمحث أو محاثة Inductane اختصاراً، ويُعرف بأنه نسبة القوة الدافعة

الكهربائية الحية الذاتية المترولة بين طرفي محت إلى المعدل الزمني للتغير في مقدار التيار الكهربائي المار فيه، وهو مقياس لممانعة المحت للتغير في مقدار التيار الكهربائي المار فيه، ووحدة قياسه هي (V.s/A)، وتسمى هنري (H) حسب النظام الدولي للوحدات، وذلك تكريماً لجهود العالم جوزيف هنري في مجال الحث الكهرومغناطيسي. وأُعرّف وحدة الهنري (H) بأنّها محاة محت تولّد بين طرفيه قوة دافعة كهربائية حية ذاتية مقدارها (1 V)، عندما يكون المعدل الزمني للتغير في مقدار التيار الكهربائي المار فيه (1 A/s). ويوضح الشكل (22) رمز المحت في الدارات الكهربائية. وتعتمد محاة محت على أبعاد المحت الهندسية، وعدد لفاته، ونوع مادة قلب المحت.



الشكل (22): رمز المحت في الدارات الكهربائية.

أتحقق: ما المقصود بمعامل الحث الذاتي لمحت؟ وما وحدة قياسه؟

محاة ملف لولي Inductance of a Solenoid

كي أوصل إلى العوامل التي يعتمد عليها معامل الحث الذاتي لمحت (ملف لولي)، أتأمل الشكل (23) الذي يوضح محت طوله (ℓ)، ومساحة مقطعه العرضي (A)، وعدد لفاته (N) في دارة كهربائية. لحظة غلق المفتاح يتزايد مقدار التيار الكهربائي المار في الدارة تدريجياً من الصفر إلى (I) خلال مدة زمنية (Δt)، ويتجاوز مقدار التدفق المغناطيسي الذي يخترق المحت من الصفر إلى (Φ_B) خلال المدة الزمنية (Δt) نفسها. فيتولّد بين طرفي المحت قوة دافعة كهربائية حية ذاتية، وبحسب قانون فارادي في الحث، يُعبّر عن مقدارها المتوسط بالعلاقة الآتية:

$$\mathcal{E}_L = -N \frac{\Delta \Phi_B}{\Delta t}$$

ويُعبّر أيضاً عن مقدارها المتوسط بالعلاقة الآتية:

$$\mathcal{E}_L = -L \frac{\Delta I}{\Delta t}$$

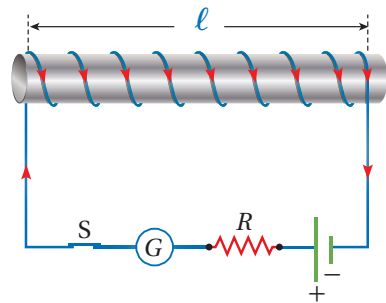
وبمساواة العلاقات السابقتين، وتعويض ($\Phi_{B,i} = 0$) عندما ($I_i = 0$)، أحصل

على ما يأتي:

$$LI = N\Phi_B$$

ولمّا كانت خطوط المجال المغناطيسي داخل المحت عمودية على مساحة مقطعه العرضي، فإن التدفق المغناطيسي الذي يخترقه يساوي ($\Phi_B = BA$). وبالتعويض عن مقدار المجال المغناطيسي داخل المحت بالعلاقة ($B = \frac{\mu IN}{\ell}$)، يمكن كتابة العلاقة السابقة على النحو الآتي:

$$LI = NBA = NA \times \frac{\mu IN}{\ell}$$



الشكل (23): محت في دارة كهربائية.

ومنها أجد أن معامل الحث الذاتي لمحث لوولي يعبر عنه بالعلاقة الآتية:

$$L = \frac{\mu N^2 A}{\ell}$$

أتحقق: ما العوامل التي يعتمد عليها معامل الحث الذاتي لمحث لوولي؟ ✓

استنتج من هذه العلاقة أن معامل الحث الذاتي ثابت للمحث نفسه، وهو يعتمد على طول المحث (ℓ)، ومساحة مقطعه العرضي (A)، وعدد لفاته (N)، والنفاذية المغناطيسية لمادة قلب المحث (μ). وإذا كان قلب المحث هواءً أستخدم النفاذية المغناطيسية للهواء (μ_0).

المثال 8

إذاعلمت أن طول المحث الموضح في الشكل (23) يساوي (20.0 cm)، ومساحة مقطعه العرضي ($2.5 \times 10^{-5} m^2$)، وعدد لفاته (200) لفة، والمحث ملفوف حول أنبوب كرتوني يملؤه الهواء، ويسري فيه تيار كهربائي (5.0 A)، أحسب ما يأتي:

أ. معامل الحث الذاتي للمحث.

ب. التدفق المغناطيسي الذي يخترق المحث.

ج. القوة الدافعة الكهربائية الحثية الذاتية المتوسطة المتولدة في المحث إذا عكست اتجاه التيار الكهربائي المار فيه خلال (0.10 s).

المعطيات: $N = 200$ turns, $\ell = 20.0 \times 10^{-2} m$, $A = 2.5 \times 10^{-5} m^2$, $I = 5.0 A$, $\Delta t = 0.10 s$, $\mu_0 = 4\pi \times 10^{-7} T.m/A$.

المطلوب: $L = ?$, $\Phi_B = ?$, $\dot{\epsilon}_L = ?$

الحل:

أ. أستخدم العلاقة الآتية لحساب معامل الحث الذاتي للمحث مع استخدام النفاذية المغناطيسية للهواء:

$$L = \frac{\mu_0 N^2 A}{\ell} = \frac{4\pi \times 10^{-7} \times (200)^2 \times 2.5 \times 10^{-5}}{20.0 \times 10^{-2}}$$

$$= 6.28 \times 10^{-6} H \approx 6.3 \times 10^{-6} H$$

ب. أحسب التدفق المغناطيسي باستخدام العلاقة الآتية:

$$LI = N\Phi_B$$

أعيد ترتيبها يجعل (Φ_B) موضوع القانون على النحو الآتي:

$$\Phi_B = \frac{LI}{N}$$

$$= \frac{6.3 \times 10^{-6} \times 5.0}{200} = 1.58 \times 10^{-7} Wb$$

ج. أستخدم العلاقة الآتية لحساب القوة الدافعة الكهربائية الحثية الذاتية المتوسطة المتولدة في المحث.

$$\dot{\epsilon}_L = -L \frac{\Delta I}{\Delta t} = -6.3 \times 10^{-6} \times \frac{(-5.0 - 5.0)}{0.10}$$

$$= 6.3 \times 10^{-4} V$$

المحول الكهربائي ونقل الطاقة

The Transformer and Power Transmission

تعلّمتُ سابقاً أنَّ القدرة الكهربائية المستهلكة في موصل يُعبّر عنها بالعلاقة: $P = I^2R$, أيْ إنّها تتناسب طردياً مع كُلّ من المقاومة ومرجع التيار. عند نقل الطاقة الكهربائية إلى مسافات كبيرة تؤدي المقاومة الكهربائية للأُسلاك الناقلة إلى فقد كبير في الطاقة الكهربائية. وللتقليل من هذه الطاقة المفقودة في أثناء عملية النقل، يُستخدم المحول الكهربائي Transformer.

يعتمد المحول الكهربائي في عمله على الحث الكهرومغناطيسي، وهو يتكون من ملفين من الأُسلاك الموصلة ملفوفين على قلب حديدي مشترك، على نحو ما هو مبيّن في الشكل (24)، يُسمى الملف الأول بالملف الابتدائي، ويتكوّن من (N_1) لفة، ويحصل بمصدر فرق جهد متغير مقداراً واتجاهًا، يُسمى مصدر فرق الجهد المتردد، ويُرمز إليه بالرمز المبيّن على الشكل. في حين يتكون الملف الثاني من (N_2) لفة، ويحصل بجهاز مستهلك للطاقة، مثل مقاومة أو مصباح، ويُسمى الملف الثاني.

يولّد مصدر فرق الجهد المتردد تياراً كهربائياً متربّداً، أي متغيّراً في المقدار والاتجاه، فيتولّد في الملف الابتدائي مجال مغناطيسي متغيّر مع الزمن داخل الملف، ما يؤدّي إلى تغيير في التدفق المغناطيسي، وبتطبيق قانون فارادي في الحث، فإن فرق الجهد يُعبّر عنه بالعلاقة:

$$\Delta V_1 = -N_1 \frac{d\Phi}{dt}$$

يعمل القلب الحديدي على زيادة المجال المغناطيسي داخل الملف الابتدائي، وتتدفق أكبُر عدد ممكِن من خطوط المجال المغناطيسي إلى الملف الثاني، وبافتراض عدم وجود طاقة مفقودة كما هو الحال في المحول المثالى، فإنَّ هذا التدفق يولّد فرق جهد كهربائي في الملف الثاني، يُعبّر عنه بالعلاقة:

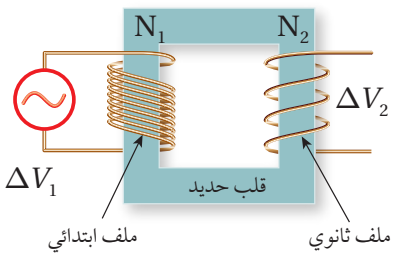
$$\Delta V_2 = -N_2 \frac{d\Phi}{dt}$$

وبتعويض التغيير في التدفق من العلاقة الأولى في الثانية نحصل على:

$$\frac{\Delta V_1}{N_1} = \frac{\Delta V_2}{N_2} \Rightarrow \frac{\Delta V_1}{\Delta V_2} = \frac{N_1}{N_2}$$

عندما يكون عدد اللفات (N_2) في الملف الثاني أكبر من عدد اللفات (N_1) في الملف الابتدائي، فإن $\Delta V_1 > \Delta V_2$ ، ويكون المحول رافعاً للجهد، في حين يكون المحول خافضاً للجهد ($\Delta V_2 > \Delta V_1$) إذا كان عدد اللفات في الملف الثاني أقل منه في الابتدائي. وفي المحول المثالى تكون القدرة الداخلة في الملف الابتدائي مساوية للقدرة الناتجة عن الملف الثاني، حسب العلاقة:

$$P_1 = P_2 \rightarrow I_1 \Delta V_1 = I_2 \Delta V_2$$



الشكل (24): محول كهربائي يتكون من ملفين ابتدائي وثانوي.



أصمّم باستعمال برنامج السكراتش (Scratch) عرضاً يُوضح نموذجاً لمحول كهربائي رافعاً للجهد، ولمحول كهربائي خافضاً للجهد، على أن يتضمن العرض مقارنة بين عدد لفات الملفين الابتدائي والثانوي، ومقارنة بين فرق الجهد الكهربائي على طرف الملفين لكلا المحولين، ثم أشارك فيه زملائي / زميلاتي في الصف.

أفـٰخـٰ: توجد نهاية قصوى لرفع الجهد الكهربائي، عند نقل الطاقة الكهربائية، يؤدي تجاوزها إلى تأين جزيئات الهواء. مما الذي يتوج عن تأين الهواء حول خطوط النقل (الأُسلاك)؟

عند نقل الطاقة عبر مسافات طويلة تستخدم شركات توليد الكهرباء أسلاك توصيل ذات مقطع عرضي صغير نسبياً لتقليل الكلفة المالية، لكن هذا يؤدي إلى مقاومة كبيرة، لذلك يجب خفض قيمة التيار لتقليل الطاقة المفقودة. ولتحقيق ذلك، يستخدم محول رافع للجهد في محطات توليد الطاقة لرفع الجهد إلى نحو (230 kV)؛ ما يؤدي إلى خفض قيمة التيار الكهربائي في خطوط نقل الطاقة، ثم تُستخدم محولات خاضعة للجهد حتى تصل قيمة فرق الجهد في الأحياء السكنية إلى (230 V). والمحولات المستخدمة عملياً لا تكون مثالية، إذ إن القدرة التي تحصل عليها من الملف الثانوي تكون أقل من القدرة التي يُزود بها الملف الابتدائي للمحول.

أتحقق: أوضح كيف تنتقل الطاقة الكهربائية بين ملفي المحول.

المثال 9

محول كهربائي مثالي خاضع للجهد يتصل ملفه الابتدائي بمصدر فرق جهد (240 V)، ويتصل ملفه الثانوي بمصباح كهربائي مقاومته (2Ω)، وعدد لفات الملف الابتدائي (1200) لفة، ولفات الملف الثانوي (30) لفة.

- أحسب فرق الجهد بين طرفي الملف الثانوي.
- أحسب التيار في الملف الابتدائي.

المعطيات: $\Delta V_1 = 240 \text{ V}$, $R = 2 \Omega$, $N_1 = 1200$, $N_2 = 30$

المطلوب: $\Delta V_2 = ?$, $I_1 = ?$

الحل:

أ.

$$\frac{\Delta V_1}{N_1} = \frac{\Delta V_2}{N_2}$$

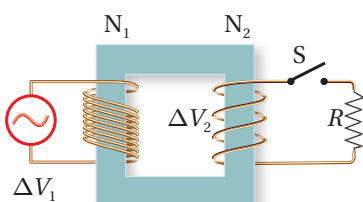
$$\frac{240}{1200} = \frac{\Delta V_2}{30} \rightarrow \Delta V_2 = 6 \text{ V}$$

ب. التيار الكهربائي المار في الملف الابتدائي:

$$I_2 = \frac{\Delta V_2}{R} = \frac{6}{2} = 3 \text{ A}$$

$$I_1 \Delta V_1 = I_2 \Delta V_2$$

$$I_1 = \frac{I_2 \Delta V_2}{\Delta V_1} = \frac{3 \times 6}{240} = 0.075 \text{ A}$$

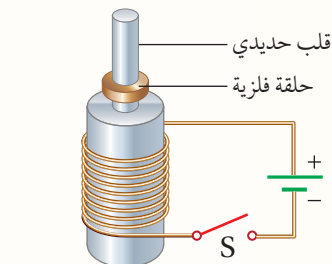


الشكل (25): محول خاضع للجهد يتصل ملفه الثانوي بمقاومة.

مراجعة الدرس

1. **الفكرة الرئيسية:** ما المقصود بالتدفق المغناطيسي؟ ومتى يتولد تيار كهربائي حيّي وقوة دافعة كهربائية حيّة في دارة كهربائية؟

2. **أحلّ وأستنتج:** يستخدم النيوديميوم لصنع مغناطيس قويّة. لدى قطعنا نيوديميوم متماثلتان، إحداهما ممغنطة والأخرى غير ممغنطة، وأنبوب نحاسي طوله (l). عندما أمسك بالقطعة الممغنطة على ارتفاع معين فوق الأنابيب النحاسي، ثم أسلقها بداخله فإنّها تستغرق زمناً (t) لتخرج من فوقه المقابلة. إذا سقطت قطعة النيوديميوم غير الممغنطة خلال الأنابيب نفسه، فهل تستغرق زمناً أكبر من الزمن (t) أم أقل منه لتخرج من فوقه المقابلة؟ أفسّر إجابتي.



3. **أحلّ وأستنتاج:** ملفّ لولي ملفوّف على قلب حديدي، وفوقه حلقة فلزية حرّة الحركة، على نحو ما هو موضّح في الشكل المجاور. عند إغلاق المفتاح (S) تقفز الحلقة الفلزية إلى أعلى. أفسّر هذا السلوك للحلقة.

4. **أتوقع:** يوضّح الشكل المجاور دارة كهربائية مغلقة. أتوقع ما يحدث لإضاءة المصباح في أثناء:

- أ. تقرّب القطب الشمالي للمغناطيس من المخت.
- ب. تقرّب القطب الجنوبي للمغناطيس من المخت.

5. **أحلّ وأستنتاج:** يبيّن الشكل المجاور دارتين موضوعتين في مجال مغناطيسي منتظم مقداره (B)، الموصّل المستقيم في الدارة (1) طوله ($2l$) وفي الدارة (2) طوله (l). الموصلان المستقيمان تحرّكا بمقدار السرعة نفسه (v)، فتولّد في الدارة (1) تيار كهربائي حيّي باتجاه حرّكة عقارب الساعة. أجيّب عمّا يأتي:

- أ. اتجاه المجال المغناطيسي (B)؟
- ب. اتجاه التيار الكهربائي الحيّي في الدارة (2)؟

ج. هل مقدار القوة الدافعة الكهربائية الحيّة المتولّدة في الدارة (1)، أكبر أم أقل أم مساوياً لمقدار القوة الدافعة الكهربائية الحيّة المتولّدة في الدارة (2)؟ أفسّر إجابتي.

6. **أحسب:** متحّ معامل حّة الذاتي ($4.0 \times 10^{-4} \text{ H}$ ، موصول بدارة كهربائية. إذا تغيّر مقدار التيار الكهربائي المارّ فيها من (0.0 A) إلى (8.0 A) خلال (0.10 s)، أحسب مقدار القوة الدافعة الكهربائية الحيّة الذاتية المتولّدة المتنبّعة في المخت.

7. **أستخدم المتغيرات:** يُستخدم في شبكات توزيع الكهرباء محول خافض للجهد، عدد لفات ملفّه الابتداي (الثانوي 6900)، وما مقدار فرق الجهد بين طرفي ملفّه الثانوي، إذا كان فرق الجهد بين طرفي الملف الابتداي (230 kV)؟

الفكرة الرئيسية:

ظهرت محطات توليد الطاقة الكهربائية مع نهاية القرن التاسع عشر، وكان بعضها يولد تياراً مستمراً، وبعضها الآخر يولد تياراً متردداً. لكن الآن يمكن القول إن المحطات جميعها تولد تياراً متردداً، وبوجود أجهزة كهربائية كثيرة تعمل بالتيار المستمر، اقتضت الحاجة إلى أجهزة تحول آياً من التيارين إلى الآخر.

نتائج التعلم:

- أقارن بين التيار المتردد والتيار المستمر من حيث الخصائص ومصادر كلّ منها.
- أحدّد العوامل التي تؤثر في توليد القوة الدافعة الكهربائية الحثّية بين طرفي المولد.
- أحلّل رسمًا تخطيطيًّا لدارة تيار متردد تشتمل على: مقاومة فقط، محثٌّ مثالٍّ فقط، مواسع فقط، مقاومة ومحثٌّ ومواسع تتصل على التوالي.
- أصمّم نموذجاً أشرح فيه آلية الاتصال عبر أجهزة الاتصال اللاسلكية.
- أتعرّف تركيب دارة الرنين، وأحدّد العوامل التي يعتمد عليها تردد الرنين لدارة على التوالي.

المفاهيم والمصطلحات:

فرق الجهد المتردد

Alternating Potential Difference

التيار المتردد

القيمة العظمى

القيمة الفعالة

المعاوقة المحسنة

المعاوقة الموسعة

تردد الرنين

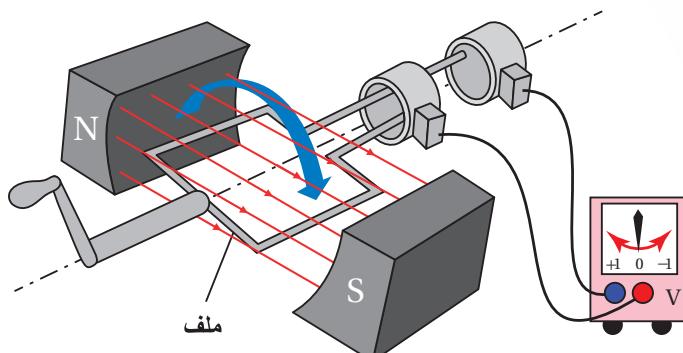
التيار الكهربائي المتردد

Alternating Electric Current

تعمل أغلب الأجهزة الكهربائية التي نستخدمها؛ مثل الثلاجة والمكيف والمدفأة الكهربائية بالتيار المتردد الذي تزودنا به محطات توليد الطاقة الكهربائية.

ونحصل على التيار المتردد من المولد الكهربائي الذي يتكون في أبسط أشكاله من ملفٍ أحاديٍّ مصنوع من سلك فلزّي معزول، يدور داخل مجال مغناطيسي. وعندما يدور الملف تتغير الزاوية المحسورة بين متّجه مساحته واتّجاه المجال المغناطيسي، ما يؤدّي إلى تغيّر في التدفق المغناطيسي خلال الملف، فتتولّد قوة دافعة كهربائية حثّية بين طرفيه الموصولين بفولتميتر، على نحو ما هو موضح في الشكل (26).

عند دوران الملف يتذبذب مؤشر الفولتميتر يميناً ويساراً على جانبي الصفر، ما يعني أن القوة الدافعة الكهربائية الحثّية المتولدة في الملف تغيّر مقدارها واتجاهها باستمرار، فيكون أحد طرفي الملف موجباً، والأخر سالباً خلال نصف الدورة الأولى، ثم تتعكس قطبته خلال النصف الثاني من الدورة.



الشكل (26): مولد كهربائي يتصل طرفا ملفه بفولتميتر.

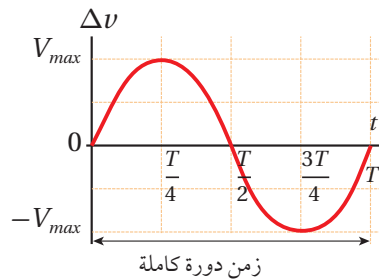


فرق الجهد الكهربائي المتردد Alternating Potential Difference

عند توصيل طرفي المولّد الكهربائي بجهاز راسم الموجات Oscilloscope، وتدوير ملفه بتردد زاوي ثابت، يظهر على شاشة راسم الموجات شكل اقتران جيبى، على نحو ما هو موضح في الشكل (27)، أستنتج منه أنّ مقدار القوة الدافعة الكهربائية الحية المترددة يتغير بالنسبة إلى الزمن باستمرار، وأنّ اتجاهها يتغيّر كل نصف دورة. في أثناء دوران الملف في المجال المغناطيسي تغيير الزاوية بين متوجهي المجال المغناطيسي والمساحة، ما يجعل التدفق المغناطيسي عبر الملف يتغير باستمرار. وبتطبيق قانون فارادي في الحث على الملف في أثناء دورانه، أجده أنّ القوّة الدافعة الكهربائية الحية تتغيّر وفق علاقه جيبية، لذا فإنّ فرق الجهد بين طرفي الملف يتغيّر مع الزمن، ويُسمى فرق جهد متردد Alternating potential difference.

$$\Delta v = V_{\max} \sin \omega t$$

حيث السعة (V_{\max})، هي القيمة العظمى لفرق الجهد، ويعتمد مقدار فرق الجهد على مقدار المجال المغناطيسي ومساحة مقطع الملف وعدد لفاته، وعلى التردد الزاوي (ω). فعند دوران الملف بتردد (f) وزمن دوري (T)، فإن $\frac{2\pi}{T} = 2\pi f = \omega$.



الشكل (27): تغيير فرق الجهد المتردد بين طرفي الملف مع الزمن وفقاً لاقتران جيبى.

الربط بالحياة

في محطّات توليد الطاقة الكهربائية تدور المولّدات بسرعات كبيرة جداً، وتستمدّ دورانها من توربينات ضخمة تعمل بالبخار، فتتّجّق قوّة دافعة كهربائية حيّة بآلاف الفولتات، ثم تُوزَّع من خلال شبكات وطنية.

المثال 10

يُزوّدنا مولّد كهربائي بفرق جهد متردد، قيمته العظمى تساوي (310 V) وتتردّه (50 Hz). أكتب معادلة فرق الجهد المتردد، ثم أجده مقدار فرق

الجهد عند اللحظة ($t = \frac{1}{600}$ s).

المعطيات: $t = \frac{1}{600}$ s, $V_{\max} = 310$ V, $f = 50$ Hz

المطلوب: $\Delta v = ?$

الحل:

أحسب (ω) باستخدام العلاقة:

$$\omega = 2\pi f = 2\pi \times 50 = 100\pi \text{ rad/s}$$

ثم أكتب معادلة فرق الجهد:

$$\Delta v = V_{\max} \sin \omega t = 310 \sin 100\pi t$$

أجد مقدار فرق الجهد عند اللحظة ($t = \frac{1}{600}$ s).

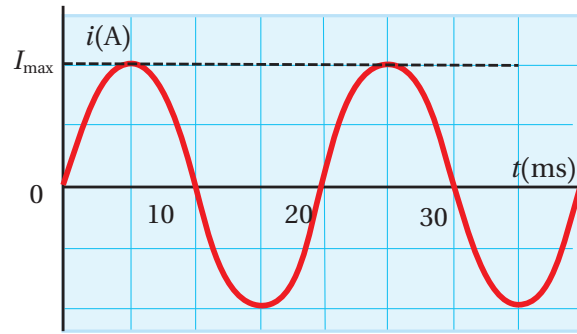
$$\Delta v = 310 \sin \left(100\pi \times \frac{1}{600} \right) = 155 \text{ V}$$

أفهم: لماذا لا أحظ تغيير سطوع إضاءة مصباح كهربائي مع الزمن، عندما يعمل باستخدام تيار متردد؟

تحقق: أصنف فرق الجهد الكهربائي المتردد، موضحاً ما يميّزه عن فرق الجهد الذي أحصل عليه من البطارية.



(ب) : علاقـة التـيار المستـمر بالـزمن.



(أ) : علاقـة التـيار المترـدد بالـزمن.

الشكل (28) : مقارنة بين التـيار المترـدد والتـيار المستـمر من حيث المقدار والاتـجاه.

المقارنة بين التـيار الكـهربـائي المـترـدد والتـيار الكـهربـائي المـسـتمـر (المـباـشـر)

Comparing Alternating and Direct Currents

ملاحظة:
سوف نستخدم الرمز (i) للإشارة إلى التـيار المترـدد.

يزوـدـنا المـولـدـ الكـهـربـائـيـ بـتـيـارـ مـتـرـددـ (AC) وـتـزوـدـناـ الـبـطـارـيـاتـ بـمـخـتـلـفـ أـنـوـاعـهـاـ بـتـيـارـ كـهـربـائـيـ مـسـتـمـرـ (DC). ويـبـيـنـ الرـسـمـ الـبـيـانـيـ فـيـ الشـكـلـ (28/A) أـنـ مـقـدـارـ التـيـارـ المـتـرـددـ يـتـغـيـرـ باـسـتـمـارـ معـ الزـمـنـ، وـيـتـغـيـرـ أـيـضـاـ اـتـجـاهـ سـرـيـانـهـ كـلـ نـصـفـ دـورـةـ ؟ بـسـبـبـ تـغـيـرـ اـتـجـاهـ القـوـةـ الدـافـعـةـ الـكـهـربـائـيـةـ الـمـسـبـبـةـ لـهـ. فـيـ حـينـ يـبـيـنـ الشـكـلـ (28/B) أـنـ التـيـارـ المـسـتـمـرـ ثـابـتـ فيـ المـقـدـارـ وـفـيـ الـاتـجـاهـ.

تـزوـدـ شـرـكـاتـ الـكـهـربـاءـ الـمنـازـلـ وـالـمـبـانـيـ بـالـطاـقةـ الـكـهـربـائـيةـ عـلـىـ شـكـلـ تـيـارـ مـتـرـددـ، وـنـحـصـلـ عـلـىـ التـيـارـ المـتـرـددـ مـنـ الـمـقـابـسـ الـكـهـربـائـيـةـ فـيـ الـمـنـازـلـ مـثـلاـ، وـلـمـاـ كـانـ كـثـيرـ مـنـ الـأـجـهـزـةـ الـكـهـربـائـيـةـ، مـثـلـ الـحـاسـوبـ وـالـتـلـفـازـ وـالـهـاتـفـ يـعـملـ بـالـتـيـارـ المـسـتـمـرـ، فـإـنـهـاـ تـكـوـنـ مـزـوـدـةـ بـدـارـةـ إـلـكـتـرـوـنـيـةـ لـتـحـوـيـلـ التـيـارـ المـتـرـددـ إـلـىـ تـيـارـ مـسـتـمـرـ(سـتـعـرـفـهـاـ فـيـ الـدـرـسـ الـلـاحـقـ)، فـيـ حـينـ أـنـ هـنـاكـ أـجـهـزـةـ أـخـرىـ تـعـمـلـ بـالـتـيـارـ المـتـرـددـ مـبـاشـرـةـ، كـالـغـسـالـةـ وـالـمـدـفـأـةـ.

أـتـحـقـقـ : أـقـارـنـ بـيـنـ التـيـارـ المـسـتـمـرـ وـالتـيـارـ المـتـرـددـ مـنـ حـيـثـ المـقـدـارـ وـالـاتـجـاهـ.

دورات التيار الكهربائي المتردد البسيطة

مقاومة في دارة تيار كهربائي متردد

تتكون دارة التيار المتردد في أبسط أشكالها من مصدر فرق جهد متردد ومقاومة (R)، على نحو ما يبيّن الشكل (29)، وبتطبيق قاعدة كيرشوف الثانية، فإن المجموع الجري للتغيرات في الجهد في الدارة المغلقة عند أي لحظة زمنية يساوي صفرًا، ومنه نتوصل إلى أن فرق الجهد بين طرفي المقاومة (Δv_R) يساوي فرق الجهد للمصدر ويعبر عنه بالعلاقة:

$$\Delta v_R = \Delta v = V_{\max} \sin \omega t$$

حيث (Δv_R): فرق الجهد بين طرفي المقاومة عند لحظة ما.

ونظرًا إلى أن $(\frac{\Delta v}{R} = i)$ ، لذا فإن التيار الكهربائي المار في المقاومة عند لحظة ما هو:

$$i_R = \frac{\Delta v_R}{R} = \frac{V_{\max}}{R} \sin \omega t = I_{\max} \sin \omega t$$

حيث (I_{\max}): القيمة العظمى للتيار؛ ($i = \frac{V_{\max}}{R} \sin \omega t$).

وبتعويض ($V_{\max} = I_{\max} R$)، فإنه يمكن التعبير عن فرق الجهد بين طرفي المقاومة بالعلاقة الآتية:

$$\Delta v_R = I_{\max} R \sin \omega t$$

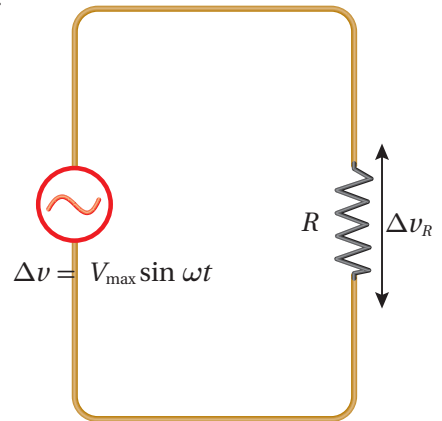
يمكن تمثيل التغيير في فرق الجهد بين طرفي المقاومة، والتغيير في التيار المار فيها بالنسبة إلى الزمن، على نحو ما هو مبيّن في الشكل (30).

القدرة المستهلكة في المقاومة

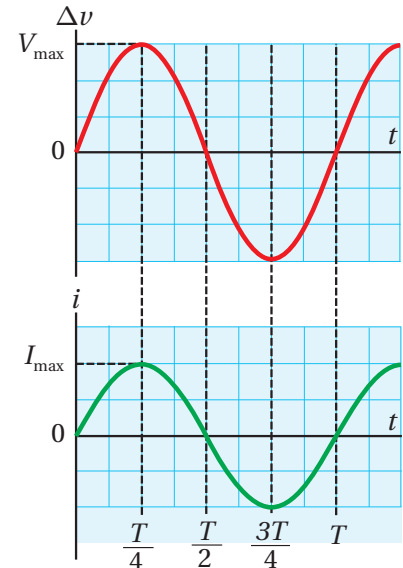
تعلّمت حساب القدرة المستهلكة في مقاومة عند سريان تيار كهربائي مستمر (I) فيها باستخدام العلاقة ($P = I^2 R$). وتُستخدم العلاقة نفسها لحساب القدرة المتوسطة (\bar{P}) المستهلكة في المقاومة عند سريان تيار متردد فيها، لكننا نحتاج إلى قيمة ثابتة للتيار تكافئ (I)؛ هذه القيمة يرمز إليها بالرمز (I_{rms})، ونُقرأ root-mean-square وتعني الجذر التربيعي للقيمة المتوسطة لمربع التيار، وسنطلق عليه اسم القيمة الفعالة، وتحسب باستخدام العلاقة:

$$I_{\text{rms}} = \frac{I_{\max}}{\sqrt{2}} = 0.71 I_{\max}$$

أي إن القدرة المتوسطة المستهلكة في مقاومة عند سريان تيار متردد فيها، هي القدرة المستهلكة نفسها الناتجة عن سريان تيار ثابت في المقاومة نفسها



الشكل (29): دارة تيار متردد تحتوي على مقاومة فقط.



الشكل (30): تغيير كل من فرق الجهد والتيار بالنسبة إلى الزمن في دارة تيار متردد تحتوي مقاومة فقط.



تُستخدم في السيارات الهجينية التي تعمل بالوقود والكهرباء، وفي السيارات الكهربائية، محركات كهربائية تحول الطاقة الكهربائية إلى طاقة حركية لتحريك السيارة. وفي المنحدرات وعند استخدام الكواكب، ينعكس عمل المحرك ليصبح مولداً كهربائياً يحول الطاقة الحركية للسيارة إلى طاقة كهربائية تخزن في البطارية.

قيمتها $\frac{I_{\max}}{\sqrt{2}}$. وبذلك فإنّ القدرة المتوسطة المستهلكة في المقاومة عند سريان تيار متعدد فيها تُحسب باستخدام العلاقة الآتية:

$$\bar{P} = I_{\text{rms}}^2 R$$

وبالمثل، يمكن حساب قيمة ثابتة لفرق الجهد المتعدد يُرمز إليها بـ (V_{rms}) ، ويُعبر عنها بالعلاقة:

$$V_{\text{rms}} = \frac{V_{\max}}{\sqrt{2}} = 0.71 V_{\max}$$

إنّ استخدام القيمتين (I_{rms}) و (V_{rms}) يسهل علينا دراسة دارات التيار المتردد، فأجهزة الأميتر والفولتميتر المستخدمة لقياس التيار وفرق الجهد تقرأ قيم (I_{rms}) و (V_{rms}) ، في حين يُستخدم جهاز راسم الذبذبات للحصول على منحنى (فرق الجهد المتردد-الزمن).

المثال ١١

أَفْكِر: كيف يمكن حساب القدرة الكهربائية التي تستهلكها مقاومة كهربائية عندما تعمل بتيار متعدد، ومقارنتها بقدرتها في حالة عملها بالتيار المستمر؟

جهاز كهربائي مقاومته (65Ω)، وصل بمصدر فرق جهد متعدد، إذا علمت أنّ القيمة العظمى لفرق الجهد المتردد بين طرفيه (325 V)، وتردداته (60 Hz)، أُحدد:

- الزمن الدورى لفرق الجهد المتردد.
- القيمة العظمى للتيار المتردد الذي يسري في الجهاز.
- الاقتران الذي يعبر عن التيار المتردد بدالة الزمن (t).

المعطيات: $V_{\max} = 325 \text{ V}$, $f = 60.0 \text{ Hz}$, $R = 65 \Omega$

المطلوب: $T = ?$, $I_{\max} = ?$, $i_R = ?$

الحل:

أ.

$$T = \frac{1}{f} = \frac{1}{60.0} = 0.017 \text{ s}$$

ب.

$$I_{\max} = \frac{V_{\max}}{R} = \frac{325}{65} = 5 \text{ A}$$

ج.

$$\omega = 2\pi f = 2\pi \times 60 = 120\pi$$

$$i_R = I_{\max} \sin (\omega t) = 5 \sin (120 \pi t)$$



تزود شركات الكهرباء في الأردن المنازل والمباني بالطاقة الكهربائية على شكل تيار متعدد، لذلك نحصل من المقابس الجدارية على فرق جهد متعدد، تردداته (50 Hz)، وقيمتها العظمى $V_{\max} = 324 \text{ V}$.

المثال 12

القيمة العظمى لمصدر فرق الجهد المتردد في دارة كهربائية (56 V)، والقيمة العظمى للتيار المتردد (2.8 A). أحسب القيمتين الفعاليتين (V_{rms} و I_{rms}) للجهد والتيار في الدارة، وما المقدار المتوقع لمقاومة الدارة؟

المعطيات: $I_{\text{max}} = 2.8 \text{ A}$, $V_{\text{max}} = 56 \text{ V}$

المطلوب: $I_{\text{rms}} = ?$, $V_{\text{rms}} = ?$, $R = ?$

الحل:

$$V_{\text{rms}} = 0.71 V_{\text{max}} = 0.71 \times 56 = 40 \text{ V}$$

$$I_{\text{rms}} = 0.71 I_{\text{max}} = 0.71 \times 2.8 = 2 \text{ A}$$

$$R = \frac{V_{\text{max}}}{I_{\text{max}}} = \frac{V_{\text{rms}}}{I_{\text{rms}}} = \frac{40}{2} = 20 \Omega$$

تحقق: ما القيمة الفعالة لفرق الجهد التي نحصل عليها من المقابس الجدارية في الأردن، علمًا أن القيمة العظمى لفرق الجهد 324 V

المثال 13

مذكرة كهربائية مقاومتها (Ω) 40 تعمال على فرق جهد متردد بوحدة الفولت مُعبر عنه بالعلاقة: $(310 \sin \omega t)$ ، حيث (t) بوحدة الثانية، أحسب:

أ. مقدار القيمة الفعالة للتيار الذي يسري في المذكرة.

ب. القدرة الكهربائية المتوسطة المستهلكة في مقاومة المذكرة.

المعطيات: $R = 40 \Omega$, $\Delta v = 310 \sin \omega t$

المطلوب: $I_{\text{rms}} = ?, \bar{P} = ?$

الحل:

أ. مقارنةً بالمعادلة $\Delta v = V_{\text{max}} \sin \omega t$ ، أجد أنّ:

$$V_{\text{max}} = 310 \text{ V}$$

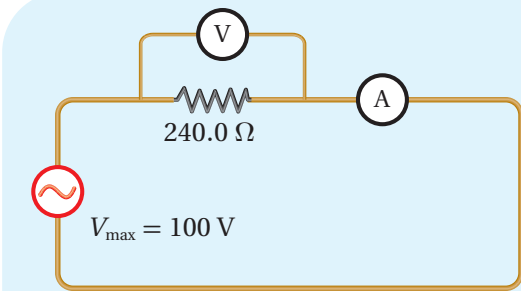
$$I_{\text{max}} = \frac{V_{\text{max}}}{R} = \frac{310}{40} = 7.75 \text{ A}$$

$$I_{\text{rms}} = 0.71 I_{\text{max}} = 0.71 \times 7.75 \approx 5.5 \text{ A}$$

$$\bar{P} = I_{\text{rms}}^2 R = 5.5^2 \times 40 = 1210 \text{ W}$$

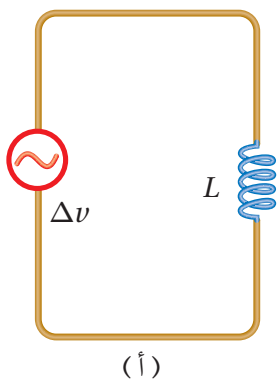
ب.



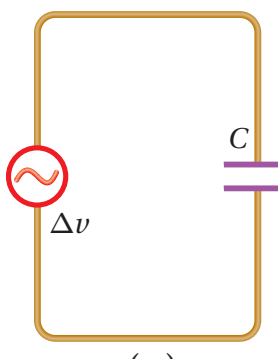


الشكل (31): مقاومة في دارة تيار كهربائي متعدد.

يبين الشكل (31) دارة كهربائية تتكون من مقاومة مقدارها (240.0Ω) ، وصلت بمصدر فرق جهد متعدد، حيث القيمة العظمى لفرق الجهد بين طرفيه (100 V) . أُستخدم أميتر وفولتميتر مثاليين لقياس التيار وفرق الجهد بين طرفي المقاومة. أحسب قراءة كلّ من الأميتر والفولتميتر.



(أ)



(ب)

الشكل (32): دارات التيار المتعدد

(أ) دائرة محث ومصدر فرق جهد متعدد.

(ب) دائرة مواسع ومصدر فرق جهد متعدد.

يبين الشكل (32) شكلين آخرین لدارات التيار الكهربائي المتعدد؛ إذ يبين الشكل (32/أ) دائرة تيار متعدد تحتوي على محث مصنوع من سلك عديم المقاومة محاثته (L)، والشكل (32/ب) يبين دائرة تيار متعدد تحتوي على مواسع مواسعته (C). Capacitor

يؤدي المحث والمواسع دوراً يشبه دور المقاومة من حيث؛ الممانعة التي تبديها هذه العناصر لمرور التيار الكهربائي المتعدد. فال مقاومة Resistance هي خاصية تعبر عن الممانعة التي يبديها الموصل لمرور التيار الكهربائي فيه، وبالمثل أعرف مفهوماً مشابهاً يُسمى **المعاوقة Reactance** يعبر عن الممانعة التي تبديها عناصر الدارة (محث أو مواسع) لمرور التيار الكهربائي فيها. ويرمز إلى المعاوقة بالرمز (X) وتقاس بوحدة قياس المقاومة نفسها، وهي الأوم (Ω). عند دراسة تغيرات فرق الجهد والتيار في الدارتين الموضحتين في الشكل (32)، ومقارنتها بتغيرات فرق الجهد والتيار في الدارة المبينة في الشكل (29)،

نتوصل إلى أنّ:

- الكمية (ωL) في دائرة المحث تؤدي دور المقاومة (R) في دائرة المقاومة، و تُسمى **المعاوقة المحاثية (Inductive reactance) (X_L)**
- الكمية $(\frac{1}{\omega C})$ في دائرة المواسع، تؤدي دور المقاومة (R) في دائرة المقاومة، و تُسمى **المعاوقة المواسعة (Capacitive reactance) (X_C)**
- في دائرة المقاومة نعبر عن القيمة العظمى للتيار بالعلاقة $(I_{\max} = \frac{V_{\max}}{R})$ ، والقيمة الفعالة للتيار بالعلاقة $(I_{\text{rms}} = \frac{V_{\text{rms}}}{R})$. وبالمثل يمكن التعبير عنها بعلاقات مشابهة في حالة المحث والمواسع باستخدام المعاوقة بدلاً من المقاومة، على نحو ما يتضح في الجدول (1).

أفخر: أصف اتجاه المجال المغناطيسي الذي يولّده مرور تيار متعدد في محث، وأقارنه بالمجال الذي يولّده مرور تيار مستمر فيه.

الجدول (1) .

عناصر الدارة	المقاومة/ المعاوقة	I_{max}	I_{rms}
مقاومة	R	$I_{\text{max}} = \frac{V_{\text{max}}}{R}$	$I_{\text{rms}} = \frac{V_{\text{rms}}}{R}$
محث	$X_L = \omega L$	$I_{\text{max}} = \frac{V_{\text{max}}}{X_L}$	$I_{\text{rms}} = \frac{V_{\text{rms}}}{X_L}$
مواسع	$X_C = \frac{1}{\omega C}$	$I_{\text{max}} = \frac{V_{\text{max}}}{X_C}$	$I_{\text{rms}} = \frac{V_{\text{rms}}}{X_C}$

أَفْكَر: ما مقدار معاوقة كُل من المحت والمواسع عندما يكون تردد التيار الكهربائي صفرًا، وعندما يكون تردد كبيراً جداً؟

يتضح من الجدول (1) أعلاه أن المعاوقة تتغير بتغيير التردد الزاوي لمصدر فرق الجهد، أي أن الممانعة التي يديها المحث أو المواسع لمرور التيار الكهربائي المتردد تعتمد على تردد المصدر، حيث تزداد معاوقة محث محتاته (L) بزيادة (ω)، وتقل معاوقة مواسع محتاته (C) بزيادة (ω).

أَنْتَ حَقِيقَة: ما العوامل التي تعتمد عليها المعاوقة المحتية للمحث؟ ✓

مقاومة ومحث ومواسع (RLC) على التوالي في دارة تيار كهربائي متزدّد The RLC Series AC Circuit

هذه الدارة تحتوي على العناصر الثلاثة التي تمت دراستها أعلاه، وهي مقاومة (R) ومحث (L) ومواسع (C) موصولة جماعتها على التوالي بمصدر فرق جهد متزدّد، على نحو ما يبيّن الشكل (33). ويرمز إلى المعاوقة الكلية للدارة بالرمز (Z), ويُعبّر عنها بدلاله معاوقات مكوناتها الثلاثة بالعلاقة:

$$Z = \sqrt{R^2 + (X_L - X_C)^2}$$

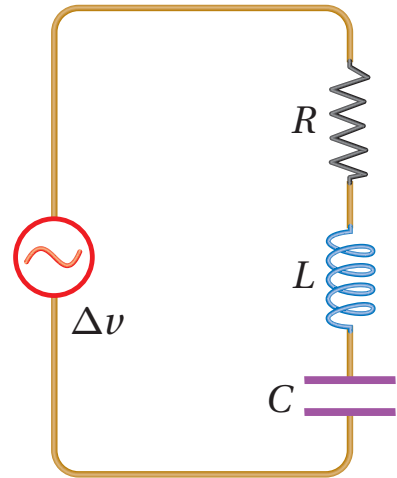
وبصورة مماثلة لدورات التيار المستمر، يمكننا استخدام القيمة الفعالة للتيار المتزدّد:

$$I_{\text{rms}} = \frac{V_{\text{rms}}}{Z}$$

وبتعويض المعاوقة الكلية (Z) نتوصل إلى أن:

$$I_{\text{rms}} = \frac{V_{\text{rms}}}{\sqrt{R^2 + (X_L - X_C)^2}}$$

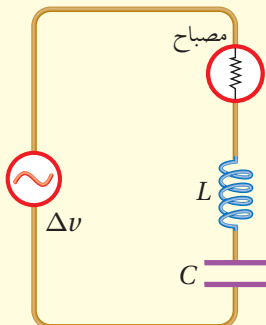
تبين هذه العلاقة أنّه يمكن الحصول على تيار فعال له أكبر قيمة ممكنة في الدارة، عندما تكون قيمة المقام أصغر ما يمكن، وهنا تكون الدارة في حالة تسمى بالرنين. ويتحقق ذلك عندما يكون:



الشكل (33): دارة تيار متزدّد تحتوي على مواسع ومقاومة ومحث موصولة على التوالي.

أَنْتَ حَقِيقَة: ماذا تمثل حالة الرنين في دارة مقاومة ومحث ومواسع؟ ✓

أفخر: في الدارة المبينة في الشكل، ما الشرط اللازم توافره كي يضيء المصباح بأكبر شدة ممكنة؟



$$X_L - X_C = 0 \rightarrow X_L = X_C$$

بتعويض معاوقة المحت ومعاوقة المواسع نتوصل إلى أن:

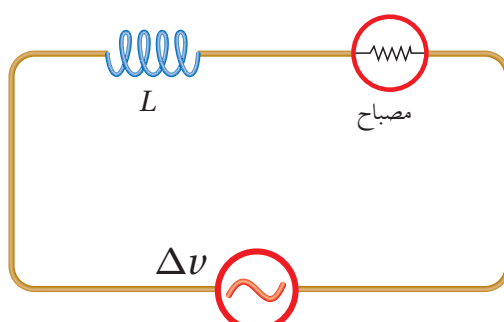
$$\omega_0 L = \frac{1}{\omega_0 C} \rightarrow (\omega_0)^2 = \frac{1}{LC}$$

$$\omega_0 = \frac{1}{\sqrt{LC}}$$

يشير الرمز (ω_0) إلى **تردد الرنين Resonance frequency**، وهو تردد مصدر فرق الجهد في دارة (RLC)، الذي يحدث عنده الرنين، وتكون قيمة التيار الفعال عند أكبر ما يمكن. ويتحدد مقدار تردد الرنين للمصدر بناءً على التردد الطبيعي للدارة الذي يعتمد على قيمة كلٍ من مواسعة الموسوعة ومحاثة المحت (L, C).

المثال 14

يبين الشكل (34) دارة يتصل فيها محتٌ ومصباح بمصدر فرق جهد متزدّد، ماذا يحدث لإضاءة المصباح عند نقصان تردد المصدر مع بقاء القيمة العظمى لفرق الجهد ثابتة.



الشكل (34): مصباح ومحث في دارة تيار متزدّد.

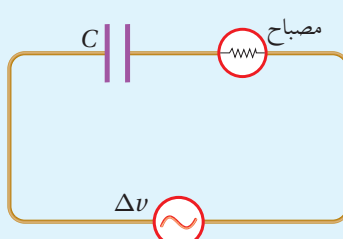
المعطيات: V_{max} ثابتة، (ω) قلت.

المطلوب: كيف تتغير إضاءة المصباح؟

الحل:

وفقاً للعلاقة ($X_L = \omega L$)، فإن نقصان تردد المصدر يؤدي إلى نقصان معاوقة المحت؛ فتقل الممانعة التي يديها المحت لمرور التيار. ما يعني زيادة مقدار التيار المار في الدارة، ومن ثم زيادة القدرة المستهلكة في المصباح فتزداد الإضاءة.

للمزيد



يبين الشكل (35) دارة يتصل فيها موسوعة ومصباح بمصدر فرق جهد متزدّد، ماذا يحدث لإضاءة المصباح عند نقصان تردد المصدر مع بقاء القيمة العظمى لفرق الجهد ثابتة؟ أفسّر إجابتي.

الشكل (35): موسوعة ومصباح في دارة تيار متزدّد.

المثال 15

دارة (AC) تحتوي على مصدر فرق جهد متعدد قيمته الفعالة (150 V) وتردد (60 Hz)، يتصل على التوالي بمقاومة (420Ω) ومحث محيّثه (1.8 H)، ومواسع مواسته ($7 \mu\text{F}$). أجد كلاً من:

- المعاوقة المحيّثة، والمعاوقة المواسعية، والمعاوقة الكلية للدارة.
- القيمة الفعالة لتيار المتعدد.

المُعطيات:

$$C = 7 \times 10^{-6} \text{ F}, V_{\text{rms}} = 150 \text{ V}, f = 60 \text{ Hz}, R = 420 \Omega, L = 1.8 \text{ H}$$

المطلوب:

$$I_{\text{rms}} = ?, X_C = ?, X_L = ?, Z = ?$$

الحل:

$$\omega = 2\pi f = 2\pi \times 60 = 377 \text{ rad/s}$$

أ.

$$X_L = \omega L = 377 \times 1.8 = 679 \Omega$$

$$X_C = \frac{1}{\omega C} = \frac{1}{377 \times 7 \times 10^{-6}} = 379 \Omega$$

$$Z = \sqrt{R^2 + (X_L - X_C)^2}$$

$$Z = \sqrt{(420)^2 + (679 - 379)^2}$$

$$Z = \sqrt{176400 + 90000} = 516 \Omega$$

$$V_{\text{rms}} = I_{\text{rms}} Z$$

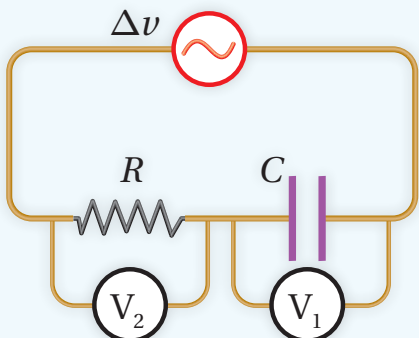
ب . القيمة الفعالة لتيار المتعدد:

$$I_{\text{rms}} = \frac{V_{\text{rms}}}{Z} = \frac{150}{516} = 0.29 \text{ A}$$

التجربة ١

استنتاج العلاقة بين تردد فرق الجهد والمعاوقة الموسعيّة

المواد والأدوات: مقاومة (Ω) 1000، مواسع (0.1 mF)، مصدر طاقة متعدد (AC) منخفض الجهد وقابل للضبط، فولتميتر عدد 2، أسلاك توصيل.



إرشادات السلامة: الحذر عند التعامل مع مصدر الطاقة الكهربائية والوصلات الكهربائية.

خطوات العمل:

بالتعاون مع أفراد مجموعتي؛ أنفذ الخطوات الآتية:

1. أصل الدارة على نحو ما هو مبين في الشكل المجاور، على أن تتصل المقاومة والموسوع ومصدر الطاقة جميعها على التوالي، وأصل فولتميتر بين طرفي المقاومة وآخر بين طرفي المواسع.

2. أضبط مخرج مصدر الطاقة المتعدد على قيمة منخفضة، ولتكن بين (1.0 V–5.0 V).

3. **أضبط المتغيرات:** أضبط مصدر الطاقة على تردد (400 Hz)، ثم أقيس فرق الجهد بين طرفي المقاومة باستخدام الفولتميتر (V_1)، وفرق الجهد بين طرفي المواسع باستخدام الفولتميتر الثاني (V_2)، وأدون القراءات في الجدول.

4. أرفع تردد مصدر الطاقة إلى القيم (600, 800, 1000, 1200, 1400 Hz)، وفي كل مرة أكرر الخطوة السابقة، وأدون النتائج في الجدول.

التحليل والاستنتاج:

1. **أحسب** القيمة الفعالة للتيار المتردد (I_{rms}) الذي يسري في الدارة عند كل محاولة بقسمة فرق الجهد بين طرفي المقاومة (Δv_R) على مقدار المقاومة (R)، وأدون النتائج في جدول البيانات.

2. أحدد عملياً المعاوقة الموسعيّة للمواسع (X_C) بقسمة فرق الجهد بين طرفيه على التيار، وأدون النتائج في جدول البيانات.

3. **أرسم بيانياً** العلاقة بين مقلوب التردد الزاوي على محور (x) والمعاوقة الموسعيّة على محور (y)، ثم أجد ميل المنحنى، وأستخرج موسعة المواسع من الميل، ثم أقارن النتيجة بالقيمة المكتوبة على المواسع.

4. **أحسب** المعاوقة الموسعيّة بمعرفة التردد الزاوي للجهد وموسعة المواسع حسب العلاقة ($X_C = \frac{1}{\omega C}$).

5. **أقارن** بين القيمتين النظرية والعملية للمعاوقة الموسعيّة، وأفسّر الاختلاف إن وجد.

تطبيقات تكنولوجية

جهاز كشف الفلزات

تُستخدم في المطارات بوابات للكشف عن الفلزات، عندما يمر المسافر خلالها فإنّها تصدر إشارة إذا كان المسافر يخفى أداة فلزية. ويحتوي إطار الباب المبين في الشكل (36) على ملفٍ من سلكٍ نحاسيٍ يمثل محثًا في دارة (RLC)، وتكون الدارة متصلة بمصدر فرق جهدٍ متعدد، قد يُضبط ترددُه لإحداث حالة الرنين، وعند اقتراب جسم فلزيٍ من المحث، فإنه يؤدّي إلى زيادة في محااته، فينعدم الرنين في الدارة، وينخفض التيار الفعال فيها عن أكبر قيمة له، ثم تحول دارة إلكترونية ذلك التغيير في التيار إلى إشارة تحذيرية مسموعة وأخرى مرئية.

أجهزة المذياع والاتصال اللاسلكي

دارات الاستقبال في أجهزة المذياع وأجهزة الاتصال اللاسلكي، تُعد مثالاً مهماً على دارة الرنين، فمحطات الإذاعة تبث برامجها على شكل موجات كهرمغناطيسية، ولكل إذاعة ترددات محددة. عندما يُضبط أحدُنا مفتاح الموجة في المذياع على إذاعة معينة، فإنه يغيّر من مواسعة المواسع في دارة الرنين داخل المذياع، ما يغيّر من تردد الرنين لدائرة الاستقبال ليصبح مطابقاً لتردد موجات الإذاعة، ثم تُمرر هذه الموجات بعد تكبيرها إلى مكّبِر الصوت في المذياع فنسمعها بوضوح، في حين تتلاشى موجات الإذاعات الأخرى التي يختلف ترددُها عن تردد الرنين.

وبالطريقة نفسها تعمل أجهزة الاتصال اللاسلكية التي تتكون من دارتي إرسال واستقبال، على نحو ما هو مبين في الشكل (37)، تُستخدم في مجالات كثيرة، مثل التواصل بين دوريات السير، واتصال الطائرات وال_boats بالمراكم الأرضية، وغير ذلك الكثير من الاستخدامات.



الشكل (36): بوابة أمنية لكشف الفلزات في الجسم.



الشكل (37): أجهزة الاتصال اللاسلكي، كل جهاز يحتوي دارة إرسال ودارة استقبال.

المثال 16

تتكون دارة استقبال (RLC) في جهاز مذيع من مقاومة ومحث محااته (1.4 mH) ومواسع. أجد مواسعة المواسع المستخدم لضبط المذيع على استقبال موجات محطة إذاعة عمان (FM) وترددُها (99 MHz).

المُعطيات: $L = 1.4 \times 10^{-3} \text{ H}$, $f_0 = 9.9 \times 10^7 \text{ Hz}$

المطلوب: $C = ?$

الحل:

$$\omega_0 = 2\pi f_0 = 2 \times 3.14 \times 9.9 \times 10^7 = 6.2 \times 10^8 \text{ rad/s}$$

$$\omega_0^2 = \frac{1}{LC} \rightarrow C = \frac{1}{L\omega_0^2}$$

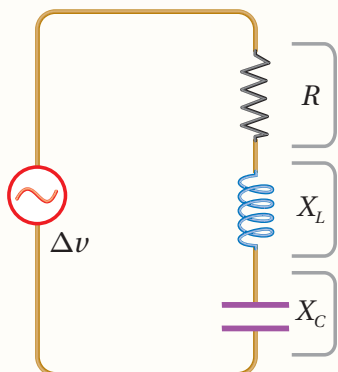
$$C = \frac{1}{1.4 \times 10^{-3} \times 3.8 \times 10^{17}} = 1.88 \times 10^{-15} \text{ F}$$

مراجعة الدرس

1. **الفكرة الرئيسية:** أوضح المقصود بكلٌّ من؛ المعاوقة المحشية والمعاوقة الموسعة، وأبيّن العوامل التي تؤثر في كلٌّ منها.

2. أوضح المقصود بالقيمة العظمى والقيمة الفعالة لفرق الجهد المتردد.

3. **تفكير ناقد:** أوضح لماذا ينعدم التيار المتردد في دارة (AC) تحتوي على مواضع فقط عند الترددات المنخفضة جدًا. وأوضح لماذا ينعدم التيار في دارة (AC) تحتوي على محتَ فقط عند الترددات العالية جدًا.



4. **أفسر:** عند مضاعفة تردد مصدر فرق الجهد إلى مثلثه، في دارة تيار متردد تحتوي (RLC)، على نحو ما هو مبيّن في الشكل، ماذا يحدث لكلٌّ من: R, X_L, X_C ؟

5. **استخدم المتغيرات:** ما القيمة العظمى للتيار المتردد في دارة (AC) تحتوي على مواضع مواسعته ($5 \mu F$)، ومصدر فرق جهد قيمته العظمى ($111 V$) وتردداته ($86 Hz$)؟

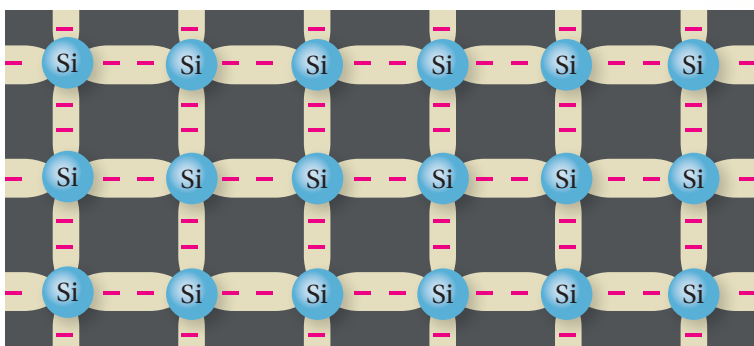
6. **أحسب:** عند أيِّ تردد زاويٍ تساوى المعاوقة المحشية لمحتَ ($57 \mu H$) مع المعاوقة الموسعة لمواضع ($57 \mu F$) في دارة تيار متردد؟ وماذا يُسمى هذا التردد؟

7. **استخدم المتغيرات:** دارة (RLC) تتكون من مقاومة (80Ω)، ومواضع ($5 \mu F$)، ومحث، موصولة على التوالي بمصدر فرق جهد متردد، جهده الفعال ($12 V$)، وتردداته الزاوي ($2000 rad/s$). أجد محاثة المحث التي تجعل للتيار الفعال أكبر قيمة، ثم أجد أكبر قيمة للتيار الفعال.

المواد الموصلة والعزلة وشبه الموصلة Conductors, Insulators and Semiconductors

تعلّمتُ سابقاً أنَّ الذرّات هي وحدات البناء الأساسية للمواد، وتتكوّن الذرّة من نواة موجبة الشحنة تتحرّك حولها إلكترونات سالبة تتوزّع في مستويات (أغلفة) طاقة. وتُسمّى الإلكترونات الموجودة في آخر مستوى طاقة بـ**إلكترونات التكافؤ** Valence electrons، تُحدّد كثيراً من خصائص المادة، مثل التوصيل الكهربائي والتوصيل الحراري. وتُصنّف المواد من حيث قابليةها لتوصيل الكهرباء إلى الأنواع الآتية:

- مواد عازلة Insulators:** عدد إلكترونات التكافؤ لها أكثر من أربعة، وترتبط بذرات المادة بقوى كهربائية كبيرة، لذلك، لديها عدد قليل من الإلكترونات الحرّة ما يجعلها مادة عازلة للكهرباء. وعادة توجد على شكل مركبات، مثل المطاط والميكا والزجاج.
- مواد موصلة Conductors:** عدد إلكترونات التكافؤ لها أقل من أربعة، لكن قوى ارتباطها بالذرات ضعيفة، لذلك، لديها الكثير من الإلكترونات الحرّة ما يجعلها موصلات جيدة للتيار الكهربائي، وتوجد في العادة على شكل عناصر منفردة، مثل الحديد والنحاس والفضة.
- مواد شبه موصلة Semiconductors:** تقع بين المواد الموصلة للكهرباء والمواد العازلة من حيث قدرتها على توصيل التيار الكهربائي. ومن الأمثلة على المواد شبه الموصلة الجermanيوم (Ge) والسليلكون (Si)، وهما من أهمّ أشباه الموصلات المستخدمة في التطبيقات الإلكترونية. لكل ذرّة من ذرات السليكون أو الجermanيوم أربعة إلكترونات تكافؤ. فمثلاً، ترتبط كل ذرة من ذرات السليكون بأربع ذرّات مجاورة لها بروابط تساهمية، وتشكّل بذلك بلورة السليكون، وعند درجة حرارة الصفر المطلق (0 K) تكون جميع إلكترونات التكافؤ للسليكون النقي مقيدة نتيجة للروابط التساهمية، ولا يوجد إلكترونات حرّة على نحو ما يبيّن الشكل (38).



الفكرة الرئيسية:
ناتج عن تطور علم أشباه الموصلات تصميم أدوات جديدة أسهمت في إحداث ثورة نوعية في عالم الاتصالات والمعلومات.

- نتائج التعلم:**
- أصنّف المواد إلى مواد موصلة وعزلة وشبه موصلة.
 - أشرح تركيب الثنائي البلوري.
 - أمثل العلاقة بين الجهد والتيار في الثنائي البلوري.
 - أصمّم تجربة أستخدم فيها الثنائي البلوري بوصفه مقوماً للتيار المتردد.
 - أشرح تركيب الترانزستور.
 - أستقصي استخدامات الترانزستور، مثل تضخيم التيار والجهد والمفتاح الكهربائي والبوابات المنطقية.

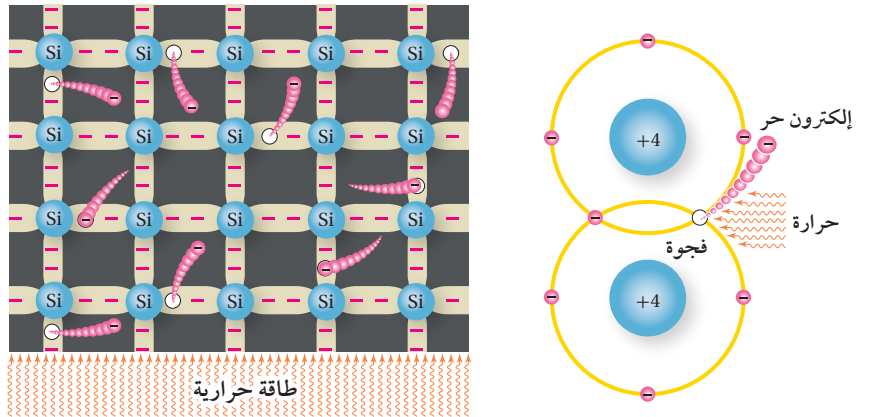
المفاهيم والمطلقات:
إلكترونات التكافؤ

Valence Electrons

Insulators	مواد عازلة للكهرباء
Conductors	مواد موصلة
Semiconductors	مواد شبه موصلة
Doping	الإشبابة

الشكل (38): بلورة السليكون عند درجة حرارة الصفر المطلق.

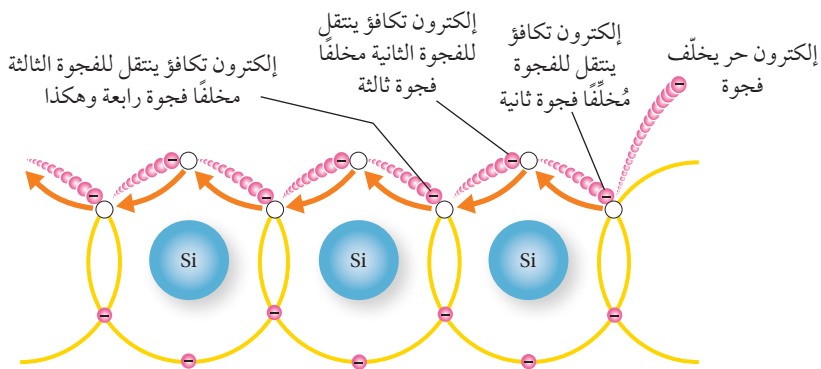
الشكل (39): الإلكترونات
الحرارة والفجوات في بلورة
السليكون.



أمّا عند درجة حرارة الغرفة (20°C) مثلاً، تمتّص بعض الإلكترونات طاقة حرارية تؤدي إلى كسر الروابط التساهمية، وتحرير الإلكترونات تُسمى الإلكترونات التوصيل Conduction electrons. عندما يغادر الإلكترون الرابطة التساهمية يصبح الإلكترون حراً، ويترك خلفه فراغاً يطلق عليه اسم فجوة Hole، أتّمّل الشكل (39). تبدو الفجوة وكأنّها شحنة موجبة ناتجة للنقص في الشحنة السالبة الكلية على الذرة عند ترك الإلكترون موقعه. وبذلك يكون عدد الفجوات يساوي عدد الإلكترونات التوصيل في بلورة السليكون النقيّة، وهو ما يُسمى بزوج إلكترون-فجوة Electron–Hole pair.

تسهم الفجوات في التوصيل الكهربائي مثل الإلكترونات التوصيل، فحين تتكوّن فجوة ناتجة لإنفلات الإلكترون عند كسر رابطة تساهمية يصبح من السهل لـإلكترون ذرة مجاورة الانتقال إلى تلك الفجوة تاركاً خلفه فجوة جديدة، يتنتقل إليها إلكترون من ذرة أخرى مجاورة وهكذا دواليك. فيبدو وكأنّ الفجوات عبارة عن شحنات موجبة تتحرك بعكس اتجاه حركة الإلكترونات. وعليه، يمكن افتراض أنّ الفجوات عبارة عن تيار كهربائي يسري بعكس اتجاه حركة الإلكترونات على نحو ما يوضّح الشكل (40).

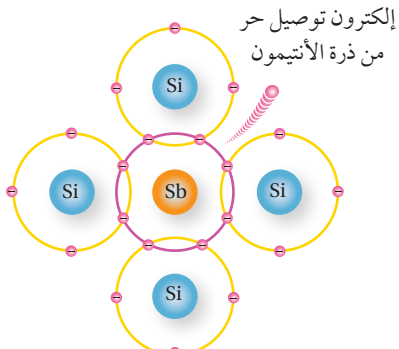
الشكل (40): التيار الناتج
عن الفجوات.



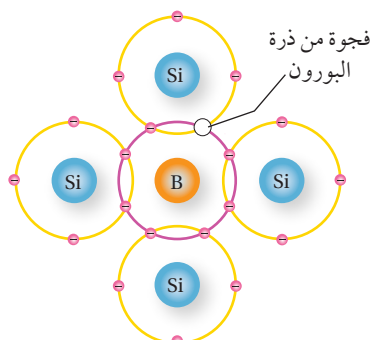
أشبه الموصلات من النوع n والنوع p

n -type and p -type Semiconductors

أشبه الموصلات النقية لا توصل التيار الكهربائي جيداً، لكن يمكن زيادة موصليتها الكهربائية بإضافة بعض المواد إليها تسمى شوائب Impurities، ويطلق على تلك العملية اسم الإشابة Doping، حيث تضاف مادة إلى بلورة السليكون النقية تزيد من عدد الإلكترونات الحرّة؛ فيتّج عن ذلك ما يسمى بالبلورة السالبة؛ نوع (n) أو تضاف مادة تزيد من عدد الفجوات ليتّج عن ذلك بلورة موجبة نوع (p).
لزيادة عدد الإلكترونات الحرّة في بلورة السليكون النقية، يُضاف إليها عنصر خماسي التكافؤ (يملك خمسة إلكترونات تكافؤ في غلافه الأخير) مثل، الأنتيمون أو الفسفور أو الزرنيخ. وفي هذه الحالة تحل ذرة أنتيمون (Sb) محل ذرة سليكون مركزية، وتكون أربع روابط تساهمية مع أربع ذرات سليكون مجاورة لها، ويبقى إلكترون التكافؤ الخامس حرّاً على نحو ما يظهر في الشكل (41). ونتيجة لذلك يزداد عدد الإلكترونات التوصيل في بلورة السليكون النقية، ويصبح أكثر من عدد الفجوات. وتحتّم البلورة في هذه الحالة بالبلورة السالبة أو بلورة من النوع (n).



الشكل (41): إضافة عنصر خماسي التكافؤ مثل ذرة أنتيمون (Sb) إلى بلورة السليكون. يصبح الإلكترون الزائد إلكتروناً حرّاً.



الشكل (42): إضافة ذرة بورون (B) إلى بلورة السليكون وتكوين فجوة.

أمّا لزيادة عدد الفجوات في بلورة السليكون، فيُضاف عنصر ثالثي التكافؤ (يملك ثلاثة إلكترونات تكافؤ في غلافه الأخير) كالغاليلوم أو البورون. وفي هذه الحالة تحل ذرة البورون محل ذرة سليكون مركزية؛ فترتبط بأربع ذرات سليكون مجاورة لها، وتشارك إلكتروناتها الثلاثة لتكوين ثلاث روابط تساهمية مع ثلات ذرات سليكون، أمّا الرابطة الرابعة فينقصها إلكترون واحد، فتشكل فجوة على نحو ما يوضح الشكل (42). ما يعني أنّ كلّ ذرة بورون تضاف إلى بلورة السليكون تُتّج فجوة جديدة؛ فيزداد بذلك عدد الفجوات في بلورة السليكون، ويصبح عددها أكبر من عدد الإلكترونات التوصيل. وتحتّم البلورة في هذه الحالة بالبلورة الموجبة، أو بلورة من النوع (p).

عند توصيل البلورة الموجبة (p) أو السالبة (n) بفرق جهد فإنّ تياراً كهربائياً يسري فيها، وهذا التيار يتّج عن حركة الفجوات والإلكترونات، وتسمى الفجوات والإلكترونات بناقلات التيار Current carriers. ولما كان عدد الإلكترونات أكبر

في البلورة السالبة، فإنّها تسمى الناقلات الأغلبية Majority carriers، وتسمى الفجوات فيها الناقلات الأقلية Minority carriers. وبالمقابل، فإنّه في البلورة الموجبة تكون الفجوات هي الناقلات الأغلبية، والإلكترونات هي الناقلات الأقلية. وتجدر الإشارة هنا إلى أنّ الشحنة الكلية للبلورة السالبة أو البلورة الموجبة تساوي صفرًا؛ لأنّ عدد الشحنات الموجبة فيها يساوي عدد الشحنات السالبة.

أفخر: إنّ حاجز الجهد للثنائي المصنوع من السليكون أكبر منه لل الثنائي المصنوع من الجermanيوم. أناقش أفراد مجموعتي في ذلك اعتماداً على التركيب الذري لكلّ منها. حيث تحتوي ذرة الجermanيوم المتعادلة على عدد أكبر من الإلكترونات.

تحقق: أوضح المقصود بناقلات التيار الأغلبية، وناقلات التيار الأقلية في البلورة الموجبة (p) والبلورة السالبة (n).

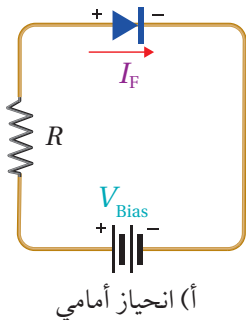
الشكل (43): تركيب الثنائي ورمزه في الدارات الكهربائية.



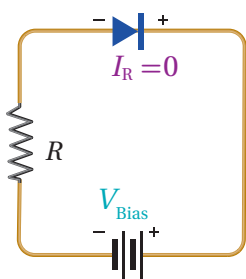
(أ) رسمًا توضيحيًا للثنائي.

(ج) الثنائي الأكثر استخداماً في الدارات الكهربائية، حيث يمثل الطرف الذي رسم عليه خط أبيض الكاثود.

(ب) رمز الثنائي.



أ) انحصار أمامي



ب) انحصار عكسي

الشكل (44): وصلتنا الثنائي، الانحصار الأمامي والعكسي.



أصمّم باستعمال برنامج

السکراتش (Scratch) عرضاً يوضح مقارنة بين توصيلية الثنائي بوضعية الانحصار الأمامي ووضعية الانحصار العكسي، مع توصيل أميتر يبين في أي الحالتين يسري تيار كهربائي. ثم أشارك فيه زملائي / زميلاتي في الصف.

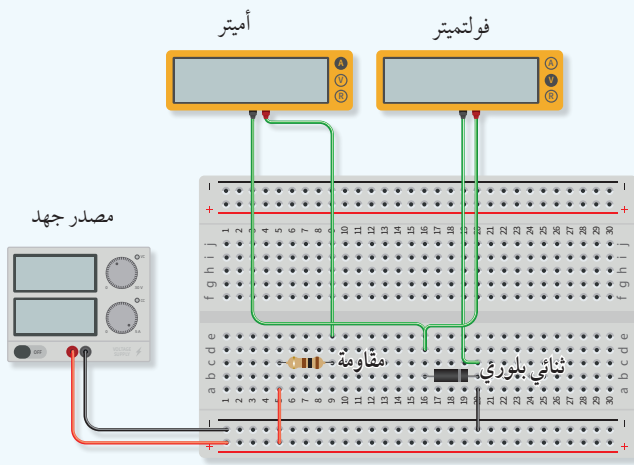
الثاني البلوري Diode
يُسمى التركيب الناتج من تلامس البلورتين السالبة (n) والموجلة (p) بالثنائي Diode. والشكل (43/أ) يوضح رسمًا توضيحيًا له، ويرمز إليه في الدارات الكهربائية بالرمز الموضح في الشكل (43/ب). حيث يُسمى طرف الثنائي من النوع (n) بالمهبط (K), وطرفه من النوع (p) بالمتصعد (A).

ويُظهر الشكل (43/ج) شكل الثنائي الأكثر استخداماً في الدارات الكهربائية. يُسمى توصيل الثنائي بمصدر جهد ثابت الانحصار. وللانحصار حالتان؛ الأولى: انحصار أمامي Forward bias، حيث يوصل الثنائي بمصدر فرق جهد (بطارية مثلاً)، على أن يوصل القطب الموجب للبطارية بمتصعد الثنائي، ويوصل القطب السالب للبطارية بممهبط الثنائي على نحو ما في الشكل (44/أ) فينشأ تيار كهربائي (I_F) عندما يكون فرق جهد المصدر (V_{Bias}) أكبر من فرق جهد معين يُسمى حاجز الجهد للثنائي، تعتمد قيمته على مادة البلورة؛ فعند درجة حرارة 25°C ، يكون (0.7 V) في بلورة السليكون، في حين يساوي (0.3 V) في بلورة الجermanيوم. ويجب توصيل الثنائي بمقاومة لمنع سريان تيار كبير فيه ما يؤدي إلى تلفه.

والحالة الثانية لتوصيل الثنائي هي الانحصار العكسي Reverse bias، وهنا يوصل القطب الموجب للمصدر بممهبط الثنائي، ويوصل قطبه السالب بمتصعد الثنائي على نحو ما في الشكل (44/ب)، وتصبح مقاومة الثنائي كبيرة جدًا، ولا يسمح بعبور تيار كهربائي ($I_R = 0$). وإذا زاد فرق جهد المصدر على قيمة معينة، يُسمى جهد الانهيار (V_{BR}) Breakdown voltage، فإن مقاومة الثنائي تنها، ويُسري فيه تيار كبير يؤدي إلى تلف الثنائي البلوري.

دراسة الجهد والتيار الكهربائي في الثنائي البُلوري

المواد والأدوات: ثنائي بُلوري (Diode 1N4004) أو ما يكافئه، مصدر فرق جهد مستمر (0 – 15 V)، مصدر طاقة متعدد (AC) منخفض الجهد وقابل للضبط، جهاز راسم الذبذبات، فولتميتر رقمي، أميتر رقمي، مقاومة (10 kΩ)، أسلاك توصيل، لوح تثبيت وتوصيل المكونات الإلكترونية يُسمى (Breadboard).



إرشادات السلامة: الحذر عند التعامل مع مصادر التيار الكهربائي.

خطوات العمل:

بالتعاون مع أفراد مجموعيتي أنفذ الخطوات الآتية:

- أركب الدارة على نحو ما هو موضح في الشكل.
الاحظ أن مهبط الثنائي متصل بالقطب السالب لمصدر الجهد.

2. **الاحظ:** أبدأ من فرق جهد يساوي صفرًا، ثم أرفع فرق الجهد تدريجيًّا بزيادة 0.1 V في كل مرّة حتى أصل إلى فرق جهد 2 V.

3. أدوّن قراءات الفولتميتر والأميتر في الجدول.

4. أعيد مصدر الجهد إلى وضع الصفر.

5. أعكس توصيل أقطاب المصدر ليتصل القطب الموجب للمصدر بمهبط الثنائي.

6. أعيد ضبط الأميتر حتى يستطيع قراءة تيار بالميكرو أميتر.

7. أرفع فرق جهد المصدر من (0) إلى 10 V بزيادة 1 V في كل مرّة، وأدوّن قراءة الفولتميتر والأميتر في الجدول.

8. أستبدل مصدر الطاقة المتعدد (AC) منخفض الجهد بمصدر فرق الجهد المستمر.

9. أصلّ طرف في جهاز راسم الذبذبات بطرف مصدر الطاقة المتعدد (AC) منخفض الجهد ، وألاحظ شكل الإشارة الناتجة.

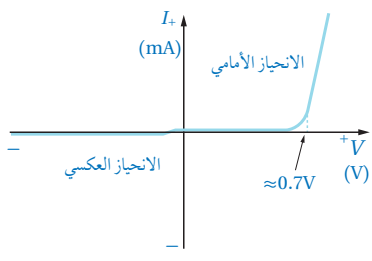
10. أصلّ طرف في جهاز راسم الذذبذبات بطرف في المقاومة، وألاحظ شكل الإشارة الناتجة.

التحليل والاستنتاج:

1. **أتوقع:** في أي الحالتين كان توصيل الثنائي في وضعية الانحياز الأمامي؟ وفي أيها كان في وضعية الانحياز العكسي؟

2. **أمثل بيانياً** العلاقة بين التيار الكهربائي وفرق الجهد على أن يكون التيار الكهربائي على المحور I ، وفرق الجهد على المحور V باستخدام برمجية (Excel)، أو على ورق رسم بياني.
3. **أحدّد قيمة حاجز فرق الجهد من منحنى (I-V).**
4. **أحلّ:** اختيار من منحنى (I-V) نقطة جهدتها أكبر من حاجز الجهد (0.75 V) وأرسم مماساً لها، ثم أحسب ميل المماس. ماذا يمثل ميل المماس؟ وما مقدار مقاومة الثنائي في هذه الحالة؟
5. **أحلّ:** أحسب مقدار مقاومة الثنائي في وضعية الانحياز العكسي باستخدام فرق الجهد والتيار المقيس في الخطوة (7).
6. **أقارن** بين مقاومة الثنائي في وضعية الانحياز الأمامي والانحياز العكسي.
7. **أقارن** بين شكل الإشارة في الخطوتين (9) و (10).
8. **أتوقع** مصادر الخطأ المحتملة في التجربة.

يوضح الشكل (45) التمثيل البياني لعلاقة التيار الكهربائي بفرق الجهد على طرفي ثنائي السليكون في منحنى (I-V)، وهو مشابه لما حصلت عليه في التجربة السابقة.لاحظ أن التيار يكون صغيراً عندما يكون فرق الجهد على طرفي الثنائي أقل من جهد الحاجز، وهو (0.7 V) للثنائي المصنوع من السليكون. وبزيادة فرق جهد المصدر إلى قيمة أعلى من حاجز الجهد، فإن زيادة قليلة في فرق الجهد تؤدي إلى زيادة كبيرة في التيار الكهربائي، ما يعني أن مقاومة الثنائي في وضعية الانحياز الأمامي صغيرة جداً. في حين أنه في وضعية الانحياز العكسي، يكون التيار الكهربائي صغيراً جداً (بالميكرو أمبير)، ما يعني أن مقاومة الثنائي كبيرة جداً.

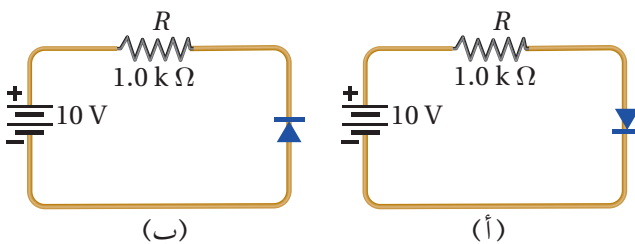


الشكل (45): منحنى (I-V) للثنائي البلوري المصنوع من السليكون.
هل تُعدّ مقاومة الثنائي مقاومةً أو مية؟
ولماذا؟

أتحقق: أقارن بين توصيل الثنائي بوضعية الانحياز الأمامي ووضعية الانحياز العكسي من حيث التوصيل بمصدر فرق الجهد، والتيار الكهربائي المار في كل حالة. ✓

المثال 17

اعتماداً على الدارة في الشكل (46)، علماً أن الثنائي مصنوع من مادة السليكون، والمقاومة الداخلية لمصدر فرق الجهد مهملة، أجد لكلاً من الشكلين (أ) و (ب)، فرق الجهد على طرفي الثنائي، وفرق الجهد على طرفي المقاومة ΔV_R ، والتيار الكهربائي المارّ في المقاومة.



الشكل (46): مثال (17)

المطلوب: $\Delta V_D = ?$, $\Delta V_R = ?$, $I = ?$

الحل:

الشكل (46/أ). نظراً إلى أن مهبط الثنائي متصل بالقطب السالب للبطارية، وجهد البطارية أكبر من حاجز الجهد للثنائي، فإن الثنائي في حالة انحصار أمامي، ويكون فرق الجهد على طرفيه ($\Delta V_D = 0.7 \text{ V}$) على نحو ما هو موضح في الشكل (47)؛ لأن الثنائي مصنوع من السليكون. باستخدام قاعدة كيرتشوف الثانية أجد أن

$$\Delta V_R = 10 - 0.7 = 9.3 \text{ V}$$

$$I = \frac{10 - 0.7}{R} = \frac{9.3}{1.0 \times 10^3} = 9.3 \text{ mA}$$

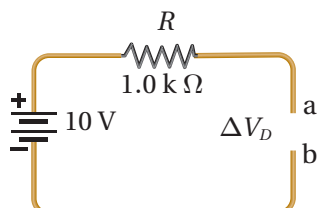
الشكل (47/ب)، ونظراً إلى أن مصدر الثنائي متصل بالقطب السالب للبطارية، فإن الثنائي في حالة انحصار عكسي، ويعمل عمل مفتاح مفتوح (وكانه مقاومة لانهائيّة)؛ كونه لا يمرر تياراً كهربائياً، وأمثل الدارة على نحو ما هو موضح في الشكل (48).

$$\Delta V_D = V_a - V_b = 10 \text{ V}$$

$$\Delta V_R = 0$$

$$I = 0$$

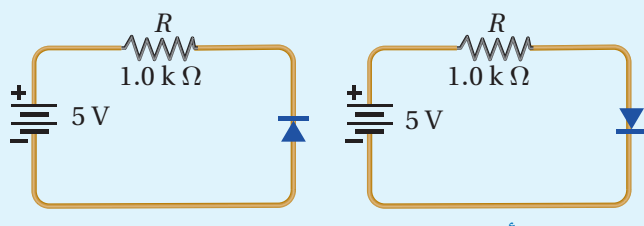
الشكل (47): تمثيل الثنائي في حالة الانحصار الأمامي.



الشكل (48): تمثيل الثنائي في حالة الانحصار العكسي.

تمرين

اعتماداً على الدارة الموضحة في الشكل (49) حيث إن الثنائي مصنوع من مادة الجermanيوم، وبإهمال المقاومة الداخلية للبطارية، أجد لكلاً من الشكلين (أ) و (ب) :



الشكل (49)

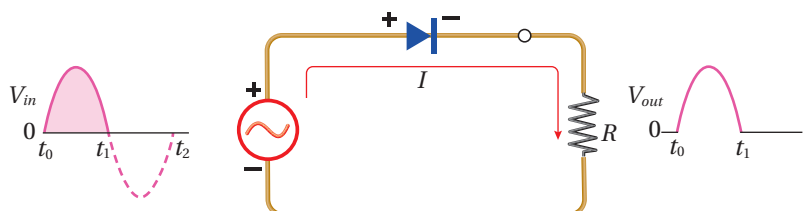
1. فرق الجهد على طرفي الثنائي .
2. فرق الجهد على طرفي المقاومة.
3. التيار المارّ في المقاومة.

الثائي بوصفة مقومًا للتيار المتردد



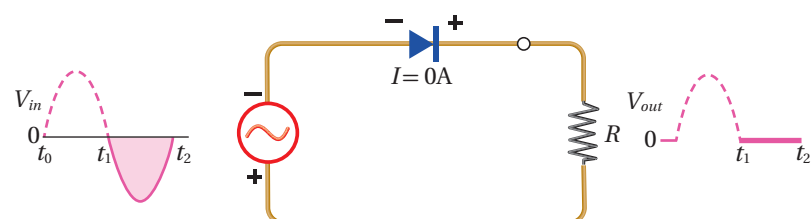
أصمّم باستعمال برنامج السكراتش (Scratch) عرضاً يوضح كيفية استخدام الثنائي البلوري كمقوم للتيار المتردد. ثم أشارك فيه زملائي / زميلاتي في الصف.

تعلمت سابقاً، أنّ المقابس في المنازل تزودنا بتيار متردد، وبعض الأجهزة الكهربائية تعمل على تيار ثابت. فكيف أحول التيار المتردد إلى تيار مستمر؟ عند توصيل الثنائي بمصدر تيار متردد على نحو ما في الشكل (50)، فإنه يسمح لنصف الموجة التي تمثل جهداً موجباً بالعبور؛ لأنّ وصلة الثنائي تكون في حالة الانحياز الأمامي على نحو ما هو في الشكل (50/أ). أمّا النصف الثاني من الموجة، فيمثل جهداً سالباً وتكون وصلة الثنائي في حالة انحياز عكسي، وال الثنائي لا يسمح للنصف السالب من الموجة بالعبور على نحو ما هو في الشكل (50/ب). لذلك تكون الإشارة الناتجة على شكل موجة نصف جيبية باتجاه واحد (موجبة فقط) على نحو ما هو في الشكل (50/ج)، وتُسمى الدارة في الشكل (50) بدارة تقويم نصف موجة. Half wave rectifier. وفي هذه الحالة يكون تردد الموجة الناتجة مساوياً لتردد الموجة الداخلة.

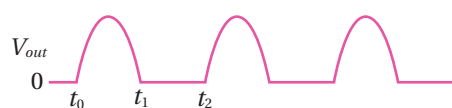


أ) خلال الجزء الموجب من الإشارة المدخلة، يكون الثنائي في حالة انحياز أمامي ويمرّر الموجة كما هي.

الشكل (50): الثنائي
البلوري بوصفة مقوم
نصف موجة.

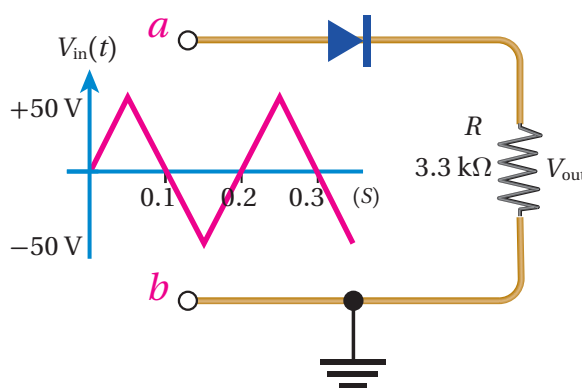


ب) خلال الجزء السالب من الإشارة المدخلة، يكون الثنائي في حالة انحياز عكسي ولا يمرّر الإشارة.



ج) الشكل النهائي للإشارة الناتجة.

المثال 18



الشكل (51)

يمثل الشكل (51) دارة مقوم نصف موجة، إذا كانت الموجة الكهربائية الداخلة مثالية الشكل على نحو ما هو موضح في الشكل، بإهمال فرق الجهد على الثنائي أجيب عما يأتي:
أ. في أي الفترات الزمنية يكون الثنائي في حالة انحياز أمامي؟ وفي أيها يكون في حالة انحياز عكسي؟
ب. أرسم شكل الموجة الناتجة على المقاومة (R).

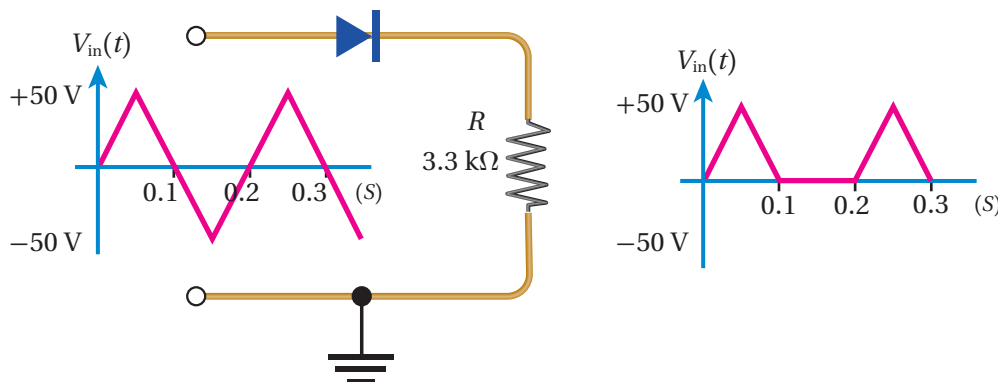
المعطيات: الشكل (51).

المطلوب: شكل الموجة الخارجة.

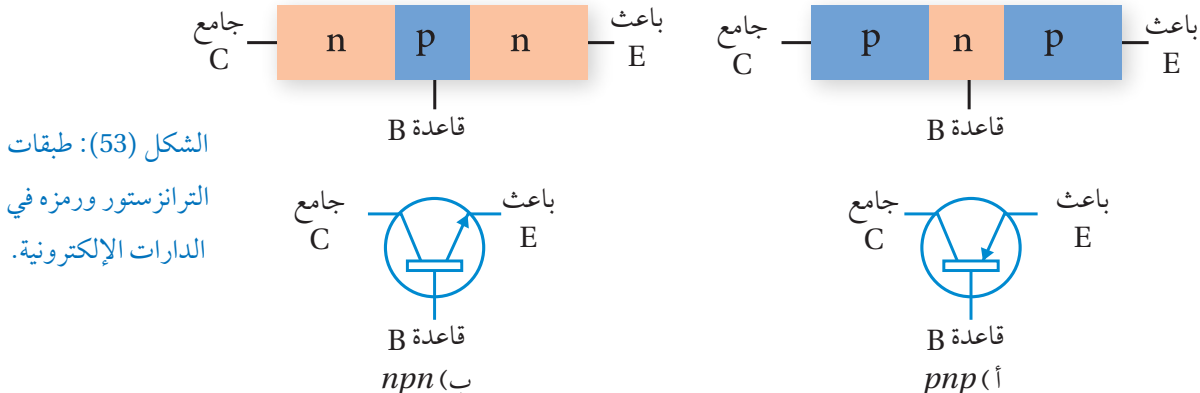
الحل:

أ . في الفترة الزمنية (s 0–0.1) والفترة (0.2–0.3) يكون جهد النقطة (a) أكبر من جهد النقطة (b)، أي إن جهد مصعد الثنائي أكبر من جهد مهبطه، لذلك يكون الثنائي في حالة انحياز أمامي.
أما في الفترة الزمنية (0.1–0.2 s) فيكون جهد النقطة (a) أقل من جهد النقطة (b)، أي إن جهد مصعد الثنائي أقل من جهد مهبطه، لذلك يكون الثنائي في حالة انحياز عكسي.

ب . في الفترة التي يكون فيها الثنائي في حالة انحياز أمامي يمرر الموجة الكهربائية، وأما في الفترة التي يكون فيها الثنائي في حالة انحياز عكسي فلا يمرر الموجة الكهربائية، ويكون شكل الموجة الخارجة على نحو ما هو موضح في الشكل (52).

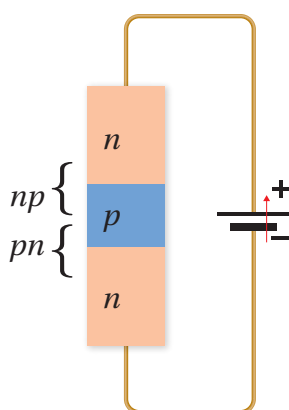


الشكل (52)



الترانزستور Transistor

الترانزستور Transistor هو أحد أهم عناصر الدارات الإلكترونية، ويدخل في تركيب الأجهزة الإلكترونية كلها. فالهاتف النقال يحوي مئات الآلاف من الترانزستورات. ويُصنع الترانزستور من مواد شبه موصلة مثل، السليكون أو الجermanيوم. ويُتَّخِذ الترانزستور مُضخماً للتيار الكهربائي أو الجهد الكهربائي أو القدرة الكهربائية، أو مفتاحاً سريعاً لفتح والإغلاق. يوجد نوعان رئيسيان من الترانزستورات، هما: الترانزستور ثنائي القطبية (BJT)، Bipolar Junction Transistor (BJT)، وترانزستور تأثير المجال (FET). وسأدرس هنا الترانزستور ثنائي القطبية.



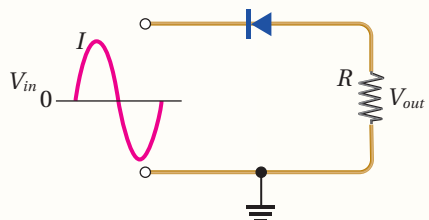
الشكل (54): يتكون الترانزستور من ثنائين، وتكون الطبقة الوسطى رقيقة. الرسم توضيحي لا يعبر عن الأبعاد الحقيقية للترانزستور.

يتكون الترانزستور ثنائي القطبية من ثلاث طبقات شبه موصلة، حيث تختلف الطبقة الوسطى في النوع عن الطبقتين الأخريين. فعندما تكون الطبقة الوسطى من النوع (n) والطبقتان الأخريان من النوع (p)، يكون نوع الترانزستور (pnp). وإذا كانت الطبقة الوسطى من النوع (p) يكون نوع الترانزستور (n-p-n). ويوضح الشكل (53) طبقات الترانزستور ورموزه في الدارات الإلكترونية. وتُسمى الطبقة الوسطى للترانزستور القاعدة Base ويرمز إليها بالرمز (B)، وتشمل الطبقتان الأخريان بالجامع Collector ورموزه (C)، والباعث Emitter ورموزه (E).

الألاحظ في الشكل (53) أن اتجاه السهم يشير إلى اتجاه التيار الأصطلاحى الموجب، فيكون السهم خارجاً من القاعدة (B) باتجاه الباعث (E) في الترانزستور (pnp)، في حين يكون اتجاه السهم من الباعث نحو القاعدة في الترانزستور (n-p-n). ويمكن تخيل الترانزستور بأنه يتكون من ثنائين على نحو ما هو مبين في الشكل (54)، حيث البلورة الوسطى (القاعدة) من النوع (p) تكون رقيقة، وتركيز الفجوات فيها قليل.

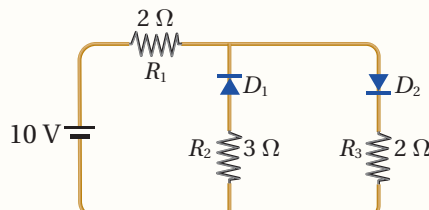
مراجعة الدرس

1. **الفكرة الرئيسية:** أوضح المقصود بكلٌ من: المواد شبه الموصلية، والإشارة، والثاني البلوري.



2. **أحلل:** اعتماداً على الدارة الموضحة في الشكل، أرسم شكل الموجة الناتجة إذا عُكس الثنائي؟ أفسّر إجابتي.

3. **أحلل:** اعتماداً على الشكل، وبإهمال فرق الجهد على طرفي الثنائي في حالة الانحياز الأمامي:

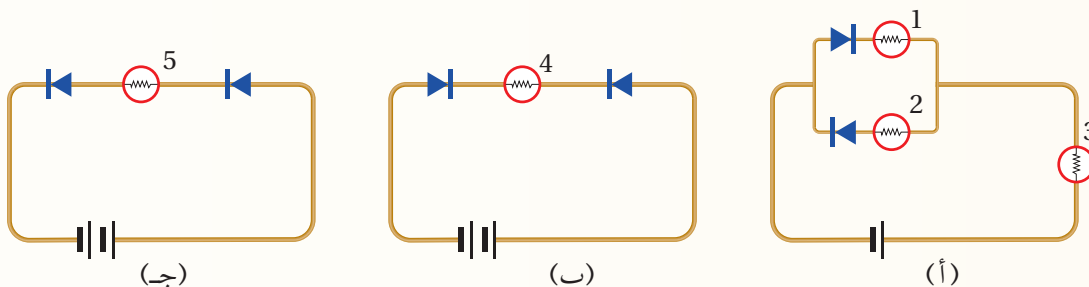


أ. أي الثنائيين في حالة انحياز أمامي؟ وأيهما في حالة انحياز عكسي؟

ب. أجد التيار المارّ في كل مقاومة.

ج. إذا عُكست أقطاب البطارية أجد التيار المارّ في كل مقاومة.

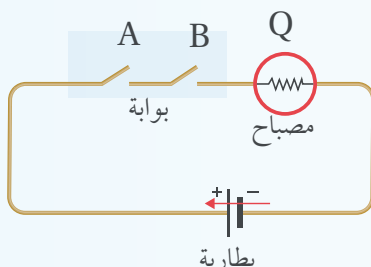
4. **أحلل:** اعتماداً على الشكل المجاور أي المصايد يضيء، وأيها لا يضيء؟



5. **التفكير الناقد:** أرادت الطالبة سماح تصميم دارة تحوي مصباحين صغيرين على أن يُضيئاً ويُطفئاً على التناوب، وكان من ضمن القطع الإلكترونية التي تحتاج إليها ترانزستوران، فهل يجب استخدام الترانزستورين بوصفهما مُضخّمين أم بوصفهما مفتاحين، ولماذا؟

الإثراء والتوسيع

البوابات المنطقية Logic Gates



تمثيل بسيط لبوابة رقمية.

جدول الحقيقة للدارة السابقة.

Input		Output
A	B	Q
0	0	0
0	1	0
1	0	0
1	1	1

A	B	Q
0	0	0
0	1	0
1	0	0
1	1	1



بوابة AND رمزها وجدول الحقيقة لها.

البوابات المنطقية عبارة عن دارات إلكترونية يستخدم فيها الترانزستور بوصفه مفتاحاً سريعاً لفتح والإغلاق. ولتبسيط مبدأ عملها سندرس الدارة الموضحة في الشكل المجاور، وسنرمز إلى المفتاح المفتوح بالرمز (0)، وإلى المفتاح المغلق بالرمز (1)، وإضاءة المصباح (Q) بالرمز (1)، وعدم إضاءة المصباح بالرمز (0). ويمكن أن نعد المفتاحين (A) و (B) معاً بوابة منطقية. لن يضيء المصباح إلا إذا أغلق المفتاحان معاً، ويمكن تلخيص ذلك في الجدول المجاور، ويسمى مثل هذا الجدول بجدول الحقيقة Truth table. وهذا السلوك للدارة السابقة يوصف بالسلوك المنطقي Logic، حيث يعبر عن المدخلات والمخرجات بالرموز (1) و (0).

صمم العديد من الدارات الإلكترونية التي يستخدم فيها ترانزستور أو أكثر بالإضافة إلى عناصر إلكترونية أخرى (مثل، الموساعات والمقاومات) لتتصرّف تصرّفاً منطقياً على نحو ما في الدارة السابقة التي تُعدّ تبسيطاً لبوابة منطقية تسمى بوابة (AND)، ويرمز إليها بالرمز الموضح في الشكل المجاور. ومن الأمثلة الأخرى البوابة العاكسة (NOT)، Inverter gate (A) ومخرج واحد (Q). وهذه

البوابة تعطي جهداً مرتفعاً (في الغالب 5V). ومن الأمثلة الأخرى على البوابات المنطقية الأساسية بوابة (OR). يتضح مما سبق أن البوابة المنطقية Logic gate عبارة عن مجموعة ترانزستورات ومقاومات وعناصر إلكترونية أخرى تقوم بعملية منطقية على مدخل واحد أو أكثر، وتخرج مخرجاً منطقياً واحداً.

الأجهزة الإلكترونية المعتمدة في تصمييمها على البوابات المنطقية تسمى إلكترونيات رقمية، حيث تأخذ القيم (1) أو (0) لمدخلاتها ومخرجاتها. وتمتاز أنظمة الإلكترونيات الرقمية كونها أسهل نسبياً في التصميم وإمكانية برمجتها، ومناعتتها ضد الضوضاء والتشویش، وسهولة تخزينها للبيانات، وسهولة تصنيعها على شكل دارة متكاملة (IC) Integrated circuit، ما يؤدي إلى تصميم دارات تقوم بوظائف أكثر تعقيداً وبحجم أصغر.

مراجعة الوحدة

1. أضع دائرة حول رمز الإجابة الصحيحة لكل جملة مما يأتي:

1. وحدة قياس معامل الحث الذاتي لمحث حسب النظام الدولي للوحدات، هي:

د. $V.s/A$

ج. $V.A.s$

ب. $A.s/V$

أ. $V.A/s$

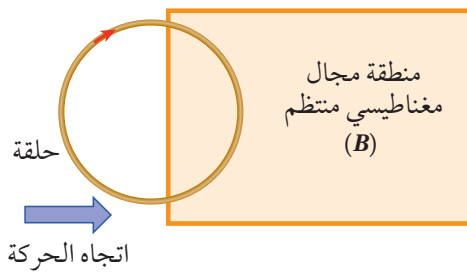
2. ملف مستطيل الشكل يتكون من لفة واحدة ومساحة سطحه (A)، مغمور في مجال مغناطيسي (B)، بحيث تكون الزاوية بين مستوى الملف وخطوط المجال (30°). إذا تضاعف مقدار المجال المغناطيسي خلال مدة زمنية مقدارها (Δt)، فإن التغير في التدفق المغناطيسي الذي يخترق الملف خلال تلك المدة يساوي:

د. $2BA \cos 60^\circ$

ج. $BA \cos 60^\circ$

ب. $2BA \cos 30^\circ$

أ. $BA \cos 30^\circ$



3. في أثناء دخول الحلقة المبيبة في الشكل إلى منطقة مجال مغناطيسي منتظم (B) يتولد في الحلقة تيار كهربائي حيّ بالاتجاه المبين في الشكل، فيكون المجال المغناطيسي (B) باتجاه محور:

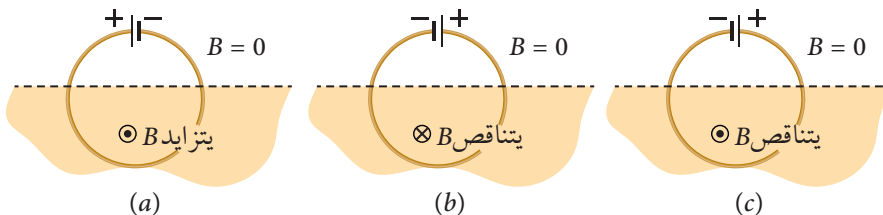
ب. $-z$

أ. $+z$

د. $-x$

ج. $+x$

4. يبين الشكل المجاور حلقة تتصل ببطارية، ونصفها السفلي موضوع في مجال مغناطيسي منتظم؛ اتجاهه قد يكون عمودياً على الصفة للداخل أو للخارج، ومقداره قد يتزايد أو يتناقص. في أي الحالات الثلاث يكون اتجاه القوة الدافعة الكهربائية الحية المتولدة في الحلقة باتجاه القوة الدافعة الكهربائية للبطارية؟

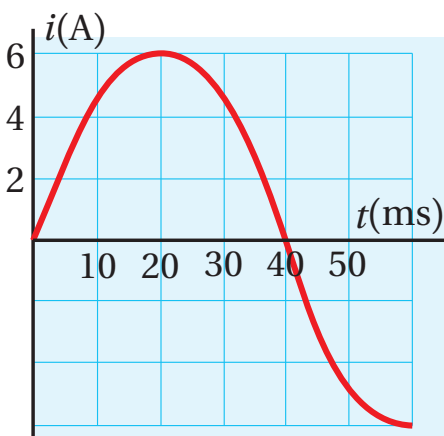


د. (b) و (c)

ج. (a) و (b)

ب. (c) فقط

أ. (b) فقط



5. الشكل البياني المجاور يمثل تغير التيار المتردد بالنسبة إلى الزمن، إن التيار الحظي يُعبر عنه بالعلاقة الآتية:

$$i = 6 \sin 40 t$$

$$i = 6 \sin 40 \pi t$$

$$i = 6 \sin 12.5 \pi t$$

$$i = 6 \sin 25 \pi t$$

6. يُعبر عن فرق الجهد المتردّد بالعلاقة ($\Delta V = V_{\max} \sin 3\pi t$). عند أي لحظة زمنية تكون القيمة اللحظية لفرق

الجهد المتردّد متساوية لنصف قيمته العظمى؟

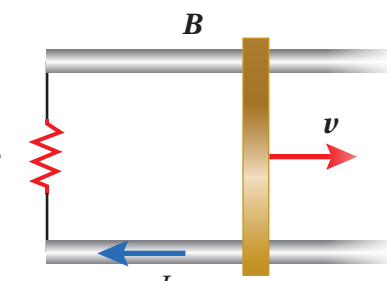
د . $\frac{6}{18}$ s

ج . $\frac{3}{18}$ s

ب . $\frac{2}{18}$ s

أ . $\frac{1}{18}$ s

7. موصل مستقيم طوله (ℓ) مغمور داخل مجال مغناطيسي منتظم. عند سحب الموصل بسرعة ثابتة مقدارها (v) على مجرى فلزّي باتجاه محور ($+x$), يمرّ في المقاومة (R) تيار كهربائي حثّي (I) بالاتجاه المبين في الشكل. إنّ مقدار المجال المغناطيسي واتجاهه:



ب . $\frac{IR}{\ell v}$ ، باتجاه ($+z$)

أ . $\frac{\ell v}{IR}$ ، باتجاه ($+z$)

د . $\frac{IR}{\ell v}$ ، باتجاه ($-z$)

ج . $\frac{\ell v}{IR}$ ، باتجاه ($-z$)

8. عند توصيل طرفي فولتميتر بطرفين مصدر فرق جهد متردّد قيمته العظمى (310 V)، فإنّ قراءة الفولتميتر تساوى:

ب . 155 V

أ . 31 V

د . 310 V

ج . 220 V

9. ما مقدار مقاومة متصلة بمصدر فرق جهد متردّد قيمته العظمى (69 V)، عندما يسري فيها تيار متردّد قيمته الفعالة (3.5 A)؟

د . 28Ω

ج . 20Ω

ب . 14Ω

أ . 7Ω

10. المواد النقيّة التي لها العدد الأكبر من الإلكترونات الحرّة هي:

أ . المواد العازلة. ب . المواد الموصلية. ج . المواد شبة الموصلية. د . بلورة من النوع (p).

11. عند إشارة بلورة السليكون بعنصر خماسي التكافؤ يتتجّ:

أ . بلورة من نوع (p) ب . بلورة من نوع (n) ج . ثنائّي بلوري د . ترانزستور.

12. حتى يكون الثنائي البلوري في حالة انحياز أمامي، يجب أن:

أ . يُطبّق فرق جهد خارجي موجب على مصعده، وآخر سالب على مهبطه.

ب . يُطبّق فرق جهد خارجي سالب على مصعده، وآخر موجب على مهبطه.

ج . يكون جهد مصعده أقلّ من جهد مهبطه.

د . يكون جهد مصعده أكبر من جهد مهبطه بما لا يزيد على (0.1 V).

مراجعة الوحدة



2. **أفسر:** حلقة موصولة وضعت بالقرب من سلك موصول مستقيم يسري فيه تيار كهربائي (I) لجهة اليسار على نحو ما هو مبين في الشكل المجاور. أُحدد لكل حالة من الحالات الآتية، هل يمر تيار كهربائي حثّي في الحلقة أم لا ؟ وأحدّد اتجاهه.
- عندما تتحرك الحلقة رأسياً إلى الأسفل باتجاه السلك.
 - أثناء إنفاس التيار الكهربائي المار في السلك مع بقاء الحلقة ثابتة.
 - عندما تتحرك الحلقة أفقياً بموازاة طول السلك لجهة اليسار .

3. **أحسب:** حلقة دائرية موصولة نصف قطرها (0.10 m)، موضوعة في مجال مغناطيسي منتظم مقداره (0.15 T)، على أن يكون مستواها عمودياً على اتجاه المجال المغناطيسي. سحبت الحلقة من طرفين متقابلين فيها، فتغير شكلها، وأصبحت مساحتها $3.0 \times 10^{-2} \text{ m}^2$. أحسب القوة الدافعة الكهربائية الحثّية المتوسطة المتولدة في الحلقة خلال هذه المدّة الزمنية.

4. **أحلّ وأستنتج:** حلقة فلزية مستطيلة الشكل تقع في المستوى yx ، وتتحرك باتجاه محور $x +$ بسرعة متوجّلة ثابتة، فتدخل منطقة مجال مغناطيسي منتظم باتجاه محور $-z$ ، على نحو ما هو موضح في الشكل المجاور. وتحتّل الرموز a و b و c مرحلة دخول الحلقة منطقة المجال المغناطيسي، ومرحلة حركتها بداخله، ومرحلة خروجها من منطقة المجال المغناطيسي، على الترتيب. أجيّب عمّا يأتي:
- أيّ المراحل الثلاث يتولّد فيها قوة دافعة كهربائية وتيار كهربائي حثّي في الحلقة؟ أفسّر إجابتي.
 - أُحدّد اتجاه التيار الكهربائي الحثّي المتولّد في كل مرحلة إن وجد، مفسّراً إجابتي.



5. **استخدم الأرقام:** تحلق إحدى طائرات الخطوط الجوية الملكية الأردنية أفقياً بسرعة مقدارها (200 m/s) في منطقة، المركبة الرأسية للمجال المغناطيسي الأرضي فيها تساوي ($50 \mu\text{T}$). أتأمل الشكل المجاور. إذا علمت أن طول جناحي الطائرة معًا يساوي (60 m)، فأحسب القوة الدافعة الكهربائية الحثّية المتوسطة المتولدة بين طرفي جناح الطائرة.

6. **استخدم الأرقام:** حلقة فلزية مساحة مقطعيها العرضي (10.0 cm^2)، موضوعة في مجال مغناطيسي منتظم على أن يكون مستواها عمودياً على اتجاه المجال المغناطيسي. إذا ازداد مقدار المجال المغناطيسي ازيداداً منتظمًا من (T) إلى (2.50 T) خلال (1.0 s)، فأحسبُ التيار الكهربائي الحثّي المتولّد في الحلقة إذا علمت أن مقاومتها (Ω) (1.0).

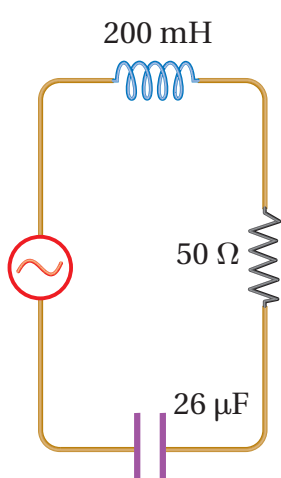
مراجعة الوحدة

7. **استخدم المتغيرات** ملف من سلك موصىل عدد لفاته (400)، و مقاومته الكهربائية ($50.0\ \Omega$)، و مساحة مقطعيه العرضي ($0.25\ m^2$). وضع الملف داخل مجال مغناطيسي منتظم مقداره ($2.0\ T$)، حيث مستوى الملف عمودي على اتجاه المجال المغناطيسي. فإذا تلاشى المجال المغناطيسي خلال ($0.50\ s$)، أحسب ما يأتي:

أ . القوة الدافعة الكهربائية الحية المتوسطة المترولة في الملف.

ب . التيار الكهربائي الحي المترول في الملف.

8. **أمثل البيانات:** القيمة الفعالة لفرق الجهد الكهربائي المتردد في الأردن ($230\ V$)، و تردد ($50\ Hz$). أمثل فرق الجهد المتردد بمنحنى بياني، مبينا عليه تدرج الزمن والقيمة العظمى لفرق الجهد.



9. **استخدم المتغيرات:** دارة (RLC) تحتوي على مقاومة ومحث ومواضع مبينة قيمها في الشكل المجاور، تتصل بمصدر فرق جهد متردد قيمته العظمى ($210\ V$)، و تردد ($50\ Hz$). أحسب:

أ . المعاوقة المحية والمعاوقة الموسعة والمعاوقة الكلية للدارة.

ب . القيمة العظمى للتيار المتردد.

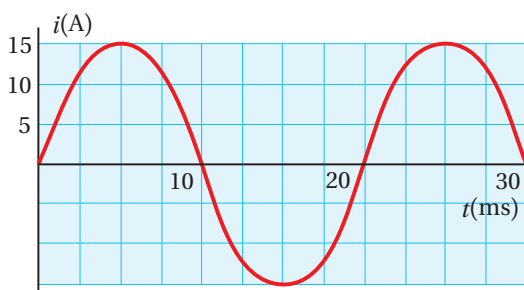
10. **أحل:** تحتوي دارة استقبال في جهاز مذيع على مقاومة ($120\ \Omega$)، ومحث محاثة ($0.2\ mH$)، ومواضع متغير الموسعة. يمكن ضبط الدارة لكي تستقبل موجات بترددات مختلفة، عن طريق إحداث الرنين. أحدد مجال القيم التي تتغير بينها موسعة المواسع لاستقبال مدى الترددات ($550\ kHz - 1650\ kHz$).

11. **استخدم الأرقام:** تحتوي دارة (RLC) على مقاومة ($150\ \Omega$) ومحث ($460\ mH$) ومواضع ($21\ \mu F$) موصولة على التوالي بمصدر فرق جهد متردد قيمته الفعالة ($120\ V$)، و تردد ($60\ Hz$)، أحسب:

أ . مقدار المعاوقة الكلية للدارة.

ب . التردد الطبيعي للدارة الذي يحدث عنده الرنين.

12. **أحل البيانات:** معتمداً على العلاقة البيانية المجاورة لتغيير التيار الذي يسري في دارة مقاومة فقط مقدارها ($40\ \Omega$)، أجد:



أ . القيمتين العظمى والفعالة للتيار.

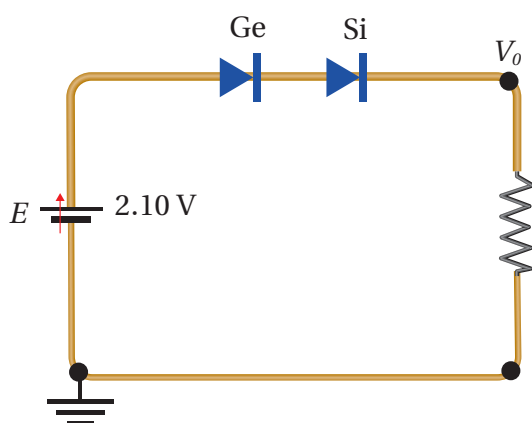
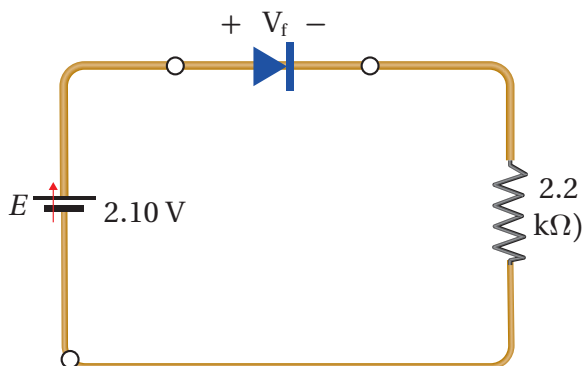
ب . التردد الزاوي للتيار.

ج . القيمة الفعالة لفرق الجهد.

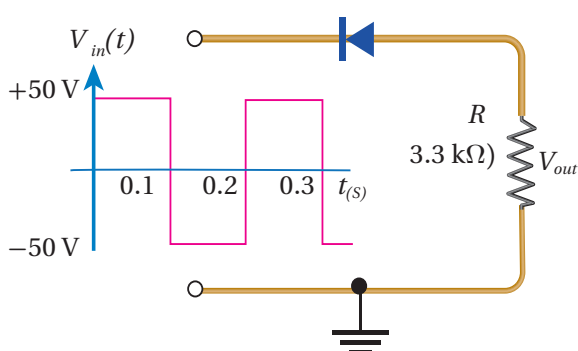
د . القدرة الكهربائية المستهلكة في المقاومة.

مراجعة الوحدة

13. أحسب: يسري تيار متعدد في مقاومة (Ω) 200، إذا كانت قيمته العظمى (A) 2.8 A، فما القدرة المتوسطة المستهلكة في هذه المقاومة؟



16. أحلّ: أحضر باسم دارة متكاملة تستخدم للتوقيت تنتج إشارة مربعة، وقام هو وأفراد مجتمعه بتوصيلها بثنائي ومقاومة على نحو ما هو مبين في الشكل المجاور، اعتماداً على البيانات الموضحة على الشكل:



أ . أناقش وأفراد مجمعتي الإشارة الخارجية، وأمثل بيانياً (V_{out}) بالنسبة إلى الزمن.

ب . إذا استخدمت بدلاً من المقاومة مصباحاً له نفس مقدار المقاومة، أناقش وأفراد مجمعتي عدد المرات التي سيضيء فيها المصباح في الثانية الواحدة. (على افتراض أنَّ المصباح لا يعمل بمجرد انقطاع التيار عنه).

17. أذكر عدد الطبقات التي يتكون منها الترانزستور، واستخداماته في الدارات الكهربائية.



الوحدة

6

الفيزياء الحديثة

Modern Physics

أتأمل الصورة

الفيزياء والطاقة

تحول الخلايا الشمسية الطاقة الشمسية إلى طاقة كهربائية. والشكل أعلاه يبيّن محطة شمس معان للطاقة الشمسية، التي أُنشئت في مدينة معان عام 2016، وهي من أكبر مشروعات الطاقة الشمسية في الأردن، وفي المرتبة الثانية على مستوى الشرق الأوسط من حيث إنتاج الطاقة بقدرة 52.2 ميجاواط، واستُخدم في تصميمها 600 ألف لوح من الخلايا الشمسية. هل يوجد شروط يجب توافرها في المناطق التي تُبني فيها محطات الطاقة الشمسية؟ وما القوانين الفيزيائية التي ترتبط بهذه التكنولوجيا؟

الفكرةُ العامةُ:

لتطور علم الفيزياء أثر كبير في تفسير ظواهر ذات أهمية في حياتنا أدت إلى تطوير تكنولوجيا جديدة، سهلت لنا سبل الحياة. وفي هذه الوحدة سأعرّف أهمَّ الظواهر التي أسهمت في بزوغ ثورة علمية أدت إلى علم الفيزياء الحديثة (فيزياء الكم).

الدرسُ الأولُ: الطبيعة الجُسيمية للضوء

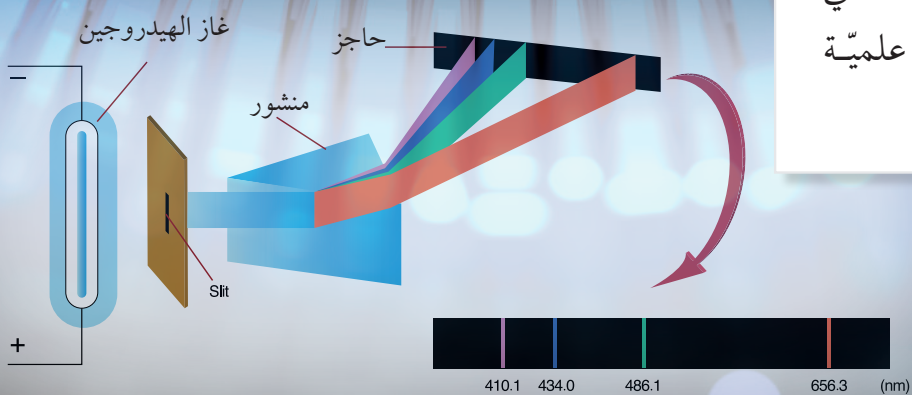
Particle Nature of Light

الفكرةُ الرئيسةُ: للضوء طبيعة جُسيمية إضافة إلى طبيعته الموجية، وفهمنا للطبيعة الجُسيمية للضوء مكّننا من فهم أعمق للظواهر المتعلقة بالجُسيمات الذرّية دون الذرّية (دون الجاهريّة).

الدرسُ الثاني: التركيب الذري

Atomic Structure

الفكرةُ الرئيسةُ: تتكون الذرة من نواة موجبة الشحنة، تتحرّك حولها إلكترونات سالبة الشحنة، تحتلّ مستويات طاقة غير متصّلة (مُكمّاة)، وفهمنا لهذا التركيب أدى إلى تطوير تكنولوجيا متقدّمة أسهمت في تسهيل سبل الحياة، واكتشافات علمية جديدة.



تجربة استهلاكية

استقصاء إشعاع الجسم الأسود

المواد والأدوات: موقد بنسن، سلك فلزّي، ملقط، قفازان سميكان، نظارة واقية للعينين.

إرشادات السلامة: ارتداء القفازين واستخدام النظارات الواقية للعينين، والحذر عند استخدام الغاز وموقد بنسن.

خطوات العمل:

بالتعاون مع أفراد مجموعيتي أنفذ الخطوات الآتية:

1. أشعل موقد بنسن بمساعدة معلمٍ / معلّمي، وأحمل السلك الفلزّي بالملقط، ثم أضعه فوق الموقد.

2. **الاحظ** لون الوهج الصادر عن السلك في أثناء تسخينه حتى أحصل على وهج لونه أبيض.

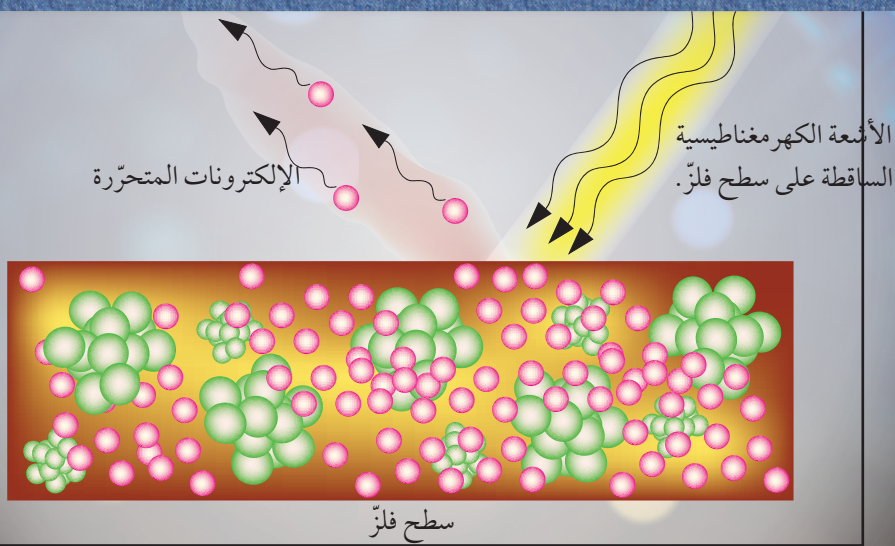
3. **أدون** لون الوهج الصادر عن السلك مع مرور الزمن حتى الحصول على وهج لونه أبيض.

التحليل والاستنتاج:

1. ما ألوان الوهج الصادرة عن السلك التي شاهدتها؟

2. **أحلل البيانات وأفسّرها:** لماذا تغيّر لون الوهج مع مرور الزمن؟ وهل لذلك علاقة بدرجة حرارة الجسم؟

3. **أناقش** مع أفراد مجموعيتي صحة نموذج رايلي - جينز حيث يتوقع انبعاث ضوء مرئي، بالإضافة إلى الأشعة تحت الحمراء عند درجة حرارة الغرفة.



The Need for Modern Physics

تطور علم الفيزياء الكلاسيكية على يد كثيرون من العلماء، مثل غاليليو Galileo الذي اهتم بدراسة الأجسام الساكنة والمتحركة، ونيوتن Newton الذي وضع ثلاثة قوانين في الحركة؛ حيث يصف الأول والثاني منها حركة الأجسام الجاهريّة Macroscopic Objects (مثل كرة، سيارة، طائرة، كوكب،... وغيرها) تحت تأثير قوى خارجية تتحرك بسرعات أقل بكثير من سرعة الضوء. أمّا القانون الثالث، فيصف القوى المتبادلة بين تلك الأجسام، وهذا ما درسته في صفوف سابقة. وتُعد النظرية الكهرمغناطيسية من مجالات الفيزياء الكلاسيكية المهمة، طورها العالم الإنجليزي ماكسويل Maxwell، وتصف الضوء بأنه موجات كهرمغناطيسية، ونجح هذه النظرية في تفسير كثيرون من الظواهر المتعلقة بالضوء كالحيود، والتدخل، والانعكاس، والانكسار.

لكن في بدايات القرن التاسع عشر اكتُشفت ظواهر فيزيائية جديدة لم تستطع الفيزياء الكلاسيكية تفسيرها؛ مثل إشعاع الجسم الأسود، والظاهرة الكهرضوئية، وتأثير كومبتون، وتركيب الذرات والأطياف الخطية المنبعثة عنها على نحو ما سأدرس لاحقاً في هذه الوحدة. إن الحاجة إلى تفسير هذه الظواهر أدى إلى نشوء علم الفيزياء الحديثة، ويندرج تحتها علم فيزياء الكم الذي يعني بدراسة أنظمة الجُسيمات الذريّة دون الذريّة (دون الجاهريّة) ضمن مجالات منها الفيزياء الذريّة والفيزياء النووية وأشباه الموصلات.

إشعاع الجسم الأسود

عند درجات حرارة أكبر من الصفر المطلق تُشعُّ الأجسام طاقة على شكل أشعة كهرمغناطيسية، ويعتمد إشعاع جسم للطاقة على درجة حرارته وطبيعة سطحه. وقد لاحظت في التجربة الاستهلالية أنَّ السلك المتوجّح بعث أشعة كهرمغناطيسية، بدءاً من اللون الأحمر مروراً بالأصفر وانتهاءً باللون الأبيض بارتفاع درجة حرارته. ولفهم الإشعاع الحراري المُنبث من جسم، طور العلماء مفهوم **الجسم الأسود Blackbody**، وهو عبارة عن جسم مثاليٍّ يتمتصّ الأشعة الكهرمغناطيسية الساقطة عليه كلها بغضّ النظر عن تردداتها، ويُشعّها أيضاً بالكفاءة نفسها، ويعتمد انتشار الأشعة منه على درجة حرارته فقط. وأطلق عليه اسم الجسم الأسود؛ لأنَّ الجسم الذي يتمتصّ الأشعة الساقطة عليه كلها يكون أسود اللون. والشكل (1) يوضح تصوّراً للجسم الأسود بأنه

الفكرة الرئيسية:

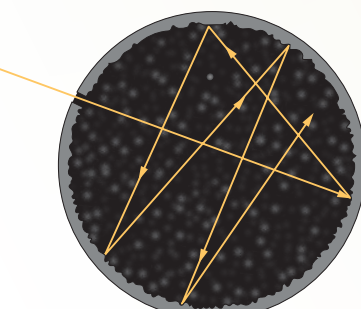
للضوء طبيعة جُسيمية إضافة إلى طبيعته الموجية، وفهمنا للطبيعة الجُسيمية للضوء مكّنا من فهم أعمق للظواهر المتعلقة بالجُسيمات الذريّة دون الذريّة (دون الجاهريّة).

نتائج التعلم:

- أصف الإشعاع الحراري للجسم الأسود.
- أشرح الظاهرة الكهرضوئية.
- أفسّر العلاقة بين الطاقة الحرارية العظمى للإلكترونات المتحركة من سطح الفلز وتردد الضوء الساقط عليه.
- أشرح تجربة كومبتون.
- أحـل مسائل حسابية على الظاهرة الكهرضوئية وتأثير كومبتون.

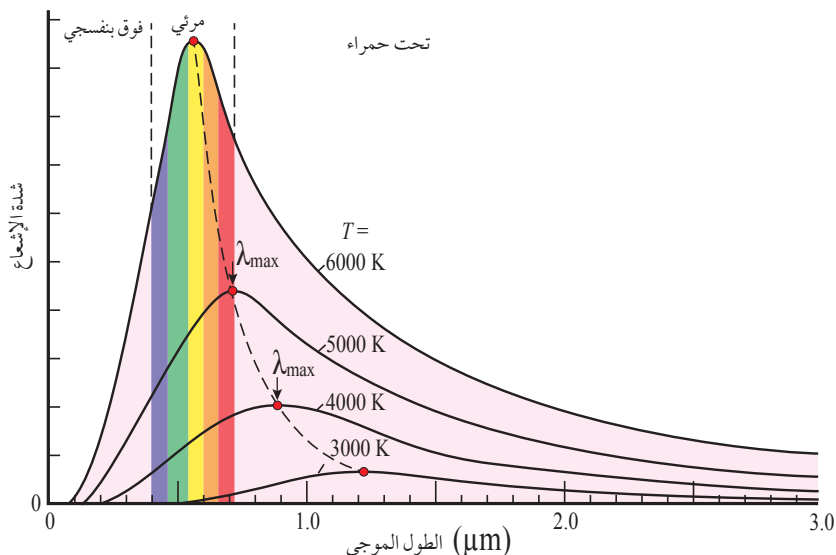
الآفاق والمصطلحات:

Black Body	الجسم الأسود
	الظاهرة الكهرضوئية
	Photoelectric Effect
	إلكترونات الضوئية
Stopping Potential (V_s)	جهد الإيقاف
Threshold Frequency	تردد العتبة
	اقتران الشغل للفلز
	Work Function



الشكل (1): الجسم الأسود يتمتص الأشعة الساقطة عليه كافية.

الشكل (2): شدة الإشعاع المنبعث من الجسم الأسود مع طول موجة الإشعاع المنبعث منه عند درجات حرارة مختلفة.

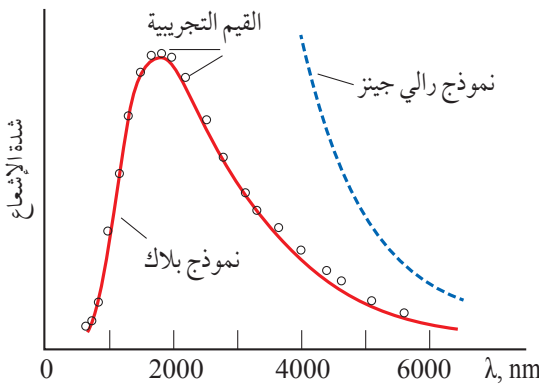


ثقب صغير في صندوق جدرانه الداخلية سوداء، والأشعة التي تدخل الصندوق من خلال الثقب تُمتصّص امتصاصاً كاملاً. وحيث إنّه لا يوجد جسم في الطبيعة يمتصّ الأشعة الساقطة عليه كلها ، فإنّ الجسم الأسود جسم مثالي. ويوضح الشكل (2) علاقة شدّة الإشعاع المنبعث من الجسم الأسود بالطّول الموجي للاشعة المنبعثة منه عند درجات حرارة مختلفة. ولوحظ أنّ قمة منحنى شدّة الإشعاع تتزاح نحو الترددات العالية بارتفاع درجة حرارة الجسم الأسود.

استخدم العالمان رايلى وجينز Rayleigh and Jeans الفيزياء الكلاسيكية لتفسير سلوك شدّة الإشعاع المنبعث من الجسم الأسود بناءً على قوانين الفيزياء الكلاسيكية التي ترتكز على أنّ الأجسام تُشعّ الطاقة، وتمتصّها بأيّ مقدار وعند أيّ تردد؛ أيّ إنّ امتصاص الطاقة يكون متصلًا Continuous، وأنّ الطاقة التي تحملها الموجة تعتمد على سعتها لا على تردد़ها. وقد أظهر نموذج رايلى - جينز توافقاً مقبولاً مع النتائج التجريبية في منطقة الأطوال الموجية الكبيرة (الأشعة تحت الحمراء)، في حين أظهر عدم توافق في منطقة الأطوال الموجية القصيرة (الأشعة فوق البنفسجية) على نحو ما يظهر في الشكل (3)، حيث تؤول شدّة الإشعاع حسب نموذج رايلى - جينز إلى الlanهية عندما يؤول الطّول الموجي إلى الصفر، في حين تشير النتائج التجريبية بأنّها (شدّة الإشعاع) تؤول إلى الصفر، وهذا ما عُرف في تاريخ الفيزياء باسم كارثة الأشعة فوق البنفسجية Ultraviolet catastrophe. فلو كان تفسير رايلى - جينز صحيحاً لشتّت الأجسام ضوءاً مرئياً حتى عند درجة حرارة الغرفة، وهذا يتعارض مع ما لاحظته سابقاً، حيث لم يتوجه السلك باللون الأحمر إلا بعد تسخينه.

أتحقق: في أيّ مناطق الطيف نجح نموذج رايلى - جينز في تفسير إشعاع

الجسم الأسود؟



الشكل (3): مقارنة نموذج رالي-جيتر
ونموذج بلانك بالنتائج التجريبية لإشعاع
الجسم الأسود.

تفسير ماكس بلانك لإشعاع الجسم الأسود ومبدأ تكمية الطاقة

عام 1900 تمكّن العالم ماكس بلانك Max Planck من وضع صيغة رياضية تصف شدة الإشعاع المنبعث من الجسم الأسود، وتطابقت حساباته مع النتائج التجريبية تماماً، على نحو ما هو موضح في الشكل (3). وافتراض بلانك أنّ الأشعة الصادرة عن الأجسام ناتجة عن مُتنبِّذبات Oscillators (الإلكترونات في الذرات مثلاً)، وأنّ هذه المتنبِّذبات تشعّ الطاقة أو تمتصّها بكميات محدّدة وغير متصلة، وهذا يخالف تماماً الفيزياء الكلاسيكية التي تفترض أنّ تلك المتنبِّذبات تشعّ الطاقة أو تمتصّها بأيّ مقدار؛ أيّ على نحوٍ متّصل. ووفقاً لفرضية بلانك، فإنّ الطاقة التي تشعّها الأجسام أو تمتصّها عند تردد معين تكون عدداً صحيحاً من مضاعفات طاقة الحزمة (الكمة) الواحدة؛ وطاقة الكمة الواحدة يُعبّر عنها بالعلاقة الآتية:

$$E = hf$$

حيث h ثابت بلانك وقيمه (6.63×10^{-34} J.s)، و f تردد الموجة. وعند تردد معين، فإنّ طاقة الأشعة الكهرمغناطيسية التي يشعّها جسم أو يمتصّها يُعبّر عنها بالعلاقة الآتية:

$$E_n = nhf$$

حيث n عدد صحيح موجب. وبذلك، فإنّ طاقة الأشعة الصادرة عن جسم عند التردد f يمكن أن تأخذ قيمّاً، مثل:

$$hf, 2hf, 3hf, 4hf, \dots$$

وهذا ما يعرف بمبدأ تكمية الطاقة Energy quantization.

لم يكن من السهل حينئذ قبول مبدأ تكمية الطاقة حسب فرضية بلانك، ولكن صحة هذه الفرضية ترسّخت بنجاح العالم أينشتين Einstein عام 1905 في تفسير الظاهرة الكهرومغناطيسية، معتمدًا على فرضية بلانك في تكمية الإشعاع الكهرمغناطيسى، وأصبحت نقطةً مهمّة في انطلاق ما يُعرف في وقتنا الحالي بفيزياء الكم.

أَتَحْقَقَ: أذكر فرضية ماكس بلانك في تكمية الطاقة. ✓

الربط بعلوم الفضاء

درجة حرارة سطح الشمس تصل إلى K 6000 تقريباً، حيث إنّ الشمس تشعّ طاقة في مناطق الطيف الكهرمغناطيسى كافية، ولكن أكبر قيمة لشدة إشعاع الشمس تقع في منطقة الضوء المرئي على نحو ما هو واضح في الشكل (2). المساحة تحت المنحنى تمثّل معدل الطاقة الكلية المشعّة لكل وحدة مساحة لذا، فإنّ الشمس تشعّ 40% تقريباً من الطاقة في منطقة الضوء المرئي.

أَفْكَرْ: في التجربة الاستهلالية؛ مع زيادة درجة حرارة السلك بدأ يشع باللون الأحمر، ثم الأصفر، ثم الأبيض. فلماذا تغيّر لون التوهج إلى الأبيض؟

المثال ١

جسم ساخن بدرجة حرارة معينة، ومعظم الأشعة الصادرة عنه ترددتها يساوي ($f = 1 \times 10^{15} \text{ Hz}$) ، أجد طاقة الكمة الواحدة من الإشعاع عند هذا التردد.

المعطيات: $h = 6.63 \times 10^{-34} \text{ J.s}$, $f = 1 \times 10^{15} \text{ Hz}$

المطلوب: $E = ?$

الحل:

$$E = hf = 6.63 \times 10^{-34} \times 1 \times 10^{15} = 6.63 \times 10^{-19} \text{ J}$$

.Electronvolt هي الفيزياء الذرية هي الإلكترون فولت (eV) ومن الجدير بالذكر أن وحدة قياس الطاقة المستخدمة في الفيزياء الذرية هي الإلكترون فولت (eV) والإلكترون فولت هو الطاقة التي يكتسبها إلكترون عند تسريعه بفرق جهد مقداره (1V)، حيث

$$1 \text{ eV} = 1.6 \times 10^{-19} \text{ J}$$

وبذلك تصبح طاقة الكمة الواحدة تساوي:

$$E = 6.63 \times 10^{-19} \text{ J} \times \frac{1 \text{ eV}}{1.6 \times 10^{-19} \text{ J}} = 4.1 \text{ eV}$$

المثال ٢

أجد طاقة كمة أشعة سينية ترددتها ($4.2 \times 10^{18} \text{ Hz}$)

المعطيات: $f = 4.20 \times 10^{18} \text{ Hz}$, $h = 6.63 \times 10^{-34} \text{ J.s}$

المطلوب: طاقة الكمة الواحدة $E = ?$

الحل:

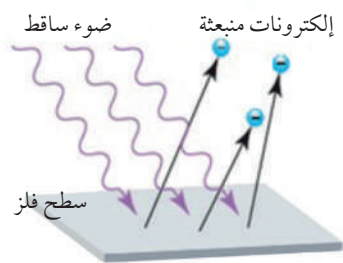
$$\begin{aligned} E &= hf = 6.63 \times 10^{-34} \times 4.20 \times 10^{18} \\ &= 2.78 \times 10^{-15} \text{ J} = 2.78 \times 10^{-15} \text{ J} \times \frac{1 \text{ eV}}{1.6 \times 10^{-19} \text{ J}} = 17.4 \text{ keV} \end{aligned}$$

لتدريج

إذا كان تردد موجة الضوء الأحمر يساوي ($4.6 \times 10^{14} \text{ Hz}$), أجد طاقة الكمة الواحدة له.

الظاهرة الكهرومagnetية Photoelectric Effect

لاحظ العالم هيرتز Hertz خلال تجربته، عام 1887م تحديداً، أن الشرارة الكهربائية تحدث على نحو أسرع في جهاز الإرسال الخاص به عند تعريضه لأشعة فوق البنفسجية. فيما بعد تبيّن أن سبب ذلك هو انبعاث الإلكترونات من سطح فلز عند سقوط إشعاع كهرومغناطيسي بتردد مناسب عليه، على نحو ما هو موضح في الشكل (4)، وسميت هذه الظاهرة بالظاهرة الكهرومagnetية Photoelectric effect، وتسمى الإلكترونات المنبعثة الإلكترونات الضوئية Photoelectrons. وحتى أتعرّفُ الظاهرة الكهرومagnetية على نحو أكثر أنسنة في التجربة الآتية:



الشكل (4): انبعاث الإلكترونات من سطح فلز عند سقوط إشعاع بتردد مناسب على سطحه.

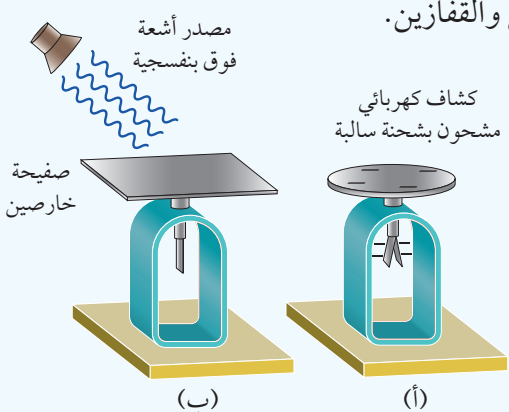
الظاهرة | الظاهرة

المواد والأدوات: صفيحة خارصين، كشاف كهربائي، مصدر أشعة فوق البنفسجية، مصدر ضوء أحمر، قضيب من الزجاج، قطعة من الحرير، ورق صنفرة، نظارة واقية، قفازان.

إرشادات السلامة: ارتداء المعطف واستخدام النظارة الواقية للعينين والقفازين.

خطوات العمل:

بالتعاون مع أفراد مجموعتي أُنفذ الخطوات الآتية:



1. أصلق صفيحة الخارصين باستخدام ورق الصنفرة.

2. **الاحظ:** أشحن الكشاف الكهربائي بالحث مستخدماً قضيب زجاج ذلك بقطعة من الحرير، وألاحظ انفراج ورقي الكشاف الكهربائي.

3. أضع صفيحة الخارصين فوق قرص الكشاف الكهربائي على نحو ما هو مبين في الشكل (ب).

4. **الاحظ:** أسلط الضوء الأحمر على صفيحة الخارصين، وأراقب ما يحدث لورقتي الكشاف الكهربائي.

5. **الاحظ:** أسلط كمية أكبر من الضوء الأحمر (باستخدام المصدر الإضافي للضوء الأحمر) على صفيحة الخارصين، وأراقب ما يحدث لورقتي الكشاف الكهربائي.

6. أعيد الخطوة (4) باستخدام الأشعة فوق البنفسجية.

التحليل والاستنتاج:

1. **أدون** ما حدث لورقتي الكشاف باستخدام المصدر الأول للضوء الأحمر.

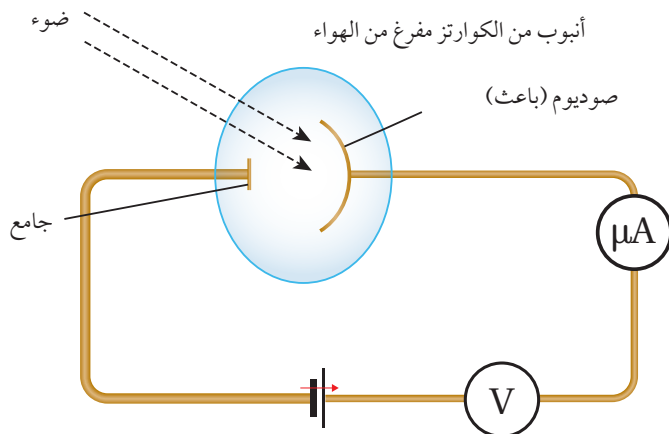
2. **أدون** ما حدث لورقتي الكشاف عند زيادة كمية الضوء (شدته) عند استخدام مصدر الضوء الأحمر معًا.

3. **أدون** ما حدث لورقتي الكشاف عند زيادة تردد الإشعاع الساقط (استخدام مصدر الأشعة فوق البنفسجية).

4. أبحث عن تردد الأشعة فوق البنفسجية وتردد الضوء الأحمر، باستخدام مصادر التعلم المختلفة الموثوق فيها.

5. **استنتج** لماذا لم يقل انفراج ورقي الكشاف عند سقوط الضوء الأحمر، حتى عند زيادة شدته؟

6. **استنتج** لماذا قلل انفراج ورقي الكشاف عند استخدام الأشعة فوق البنفسجية؟



الشكل (5): تجربة لينارد لظاهرة الكهرضوئية.

الاحظ من التجربة السابقة أنه عند سقوط الأشعة فوق البنفسجية على صفيحة الخارجيين قل انفراج ورقي الكشاف، ما يدل على تفريغ شحنة الكشاف السالبة، ويعود ذلك إلى تحرر الإلكترونات من سطح الخارجيين عند امتصاصها طاقةً من الأشعة فوق البنفسجية، أتأمل الشكل (ب) في التجربة.

الشكل (5) يبيّن رسمًا تخطيطيًّا لجهازٍ استخدمه العالم لينارد Lenard لإجراء كثيٍر من التجارب الخاصة بالظاهرة الكهرضوئية؛ ويتكوّن من أنبوب من زجاج الكوارتز مفرغ من الهواء تجنبًا لفقد الإلكترونات طاقةً حركيًّا نتيجة تصدامها بجسيمات الهواء. ويحتوي الجهاز أيضًا على قطبين فلزِين، أحدهما مصنوع من فلز الصوديوم يُسمى الباعث، موصول بالقطب الموجب لمصدر فرق جهد قابل للضبط، والآخر يُطلق عليه اسم الجامع يتصل بالقطب السالب لمصدر فرق الجهد. عند سقوط أشعة كهرمغناطيسية بتردد مناسب على الباعث تتحرر الإلكترونات من سطحه، وتنطلق نحو الجامع. ويُستدلّ على ذلك من خلال التيار الكهربائي الذي يقرؤه الميكرو أمبير (μA) الذي يُسمى التيار الكهرضوئي Photocurrent.

كلما ازدادت سالبيةً جهد الجامع، ازدادت قوة تناور الإلكترونات الكهربائية مع الجامع، فيقل التيار الكهرضوئي حيث لا يصل الجامع إلا الإلكترونات التي تمتلك طاقة حركيَّة كافية للتغلب على قوة التناور الكهربائية مع الجامع. ويُسمى فرق الجهد الذي يصبح عنده التيار الكهرضوئي صفرًا **جهد الإيقاف**

Stopping potential (V_s)، والذي يستطيع إيقاف الإلكترونات ذات الطاقة الحركيَّة العظمى (KE_{\max}) قبل وصولها إلى الجامع. ويرتبط جهد الإيقاف بالطاقة الحركيَّة العظمى للإلكترونات بالعلاقة الآتية:

$$KE_{\max} = e V_s$$

حيث e تساوي القيمة المطلقة لشحنة الإلكترون.

وقد لاحظ لينارد المشاهدات التجريبية الآتية للظاهرة الكهرومغناطيسية:

1. تتحرّر الإلكترونات من سطح الفلز فقط عندما يكون تردد الأشعة الساقطة على سطحه أكبر من تردد معين، يُسمى **تردد العتبة** **Threshold frequency**.
2. تبعت الإلكترونات الضوئية بطاقة حرارية متفاوتة تتراوح قيمها من صفر إلى قيمة عظمى (KE_{max}) .
3. القيمة العظمى للطاقة الحرارية للإلكترونات (KE_{max}) المبنية من سطح الفلز تناسب طرديًا مع تردد الأشعة الساقطة عليه، ولا تعتمد على شدة الأشعة.
4. يزداد عدد الإلكترونات المبنية بزيادة شدة الأشعة دون زيادة في الطاقة الحرارية العظمى للإلكترونات الضوئية.
5. تبعت الإلكترونات ابعاثاً فوريًا بمجرد سقوط الأشعة على سطح الفلز.

في حين تنبأ النظرية الكهرومغناطيسية، التي ترتكز على النموذج الموجي للضوء فيما يخص الظاهرة الكهرومغناطيسية، بما يأتي:

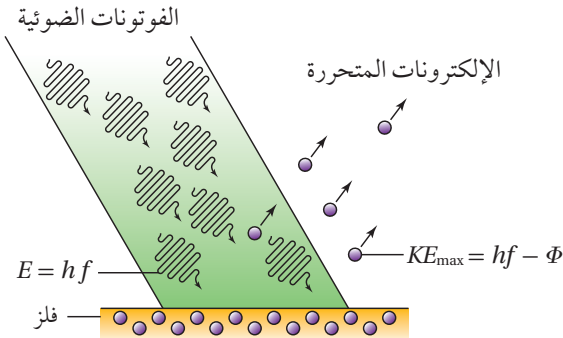
1. تبعت الإلكترونات عند أي تردد للأشعة الساقطة على سطح الفلز، لأنها تمتص الطاقة بأي مقدار وعند أي تردد وبشكل مستمر، وسقوط الأشعة على سطح الفلز مدة زمنية مناسبة سيُمكن الإلكترونات من امتصاص الطاقة اللازمة لتحريرها من سطح الفلز.
2. لا تبعت الإلكترونات الضوئية ابعاثاً فوريًا؛ لأنها تحتاج إلى وقت كافٍ لامتصاص الطاقة اللازمة من الأشعة الساقطة على الفلز لتتحرّر من سطحه.
3. زيادة شدة الأشعة تزيد من الطاقة الحرارية العظمى للإلكترونات الضوئية المتحرّرة.

من الواضح أن النسبات جميعها تخالف النتائج التجريبية، وبذلك شكّلت الظاهرة الكهرومغناطيسية دليلاً آخر على عجز الفيزياء الكلاسيكية بنموذجها الموجي للضوء عن تفسير سلوك الجسيمات دون الجاهريّة.

أنا حقّق: أذكر أسباب فشل الفيزياء الكلاسيكية في تفسير نتائج الظاهرة الكهرومغناطيسية.

أفكّ: هل يمكن أن تكون الطاقة الحرارية لجسم سالبة؟ ولماذا؟

الشكل (6): تصور أينشتين
للظاهرة الكهربائية.



الجدول (1): اقتران الشغل لبعض الفلزات.

Φ (eV)	الفلز
2.14	سيزيوم
2.28	صوديوم
2.30	بوتاسيوم
4.7	نحاس
4.55	تنغستون
5.10	ذهب

لتفسير الظاهرة الكهربائية استخدم أينشتين فرضية تكمية الطاقة لبيانك، وافتراض أن طاقة الأشعة الكهرومغناطيسية مرکزة في جسيمات أطلق على كل منها اسم فوتون، حيث طاقة الفوتون الواحد تساوي ($E = hf$)؛ أي إن الأشعة الكهرومغناطيسية طبيعة جسيمية إضافة إلى طبيعتها الموجية. لذا عند سقوط فوتون على إلكترونات الفلز، فإن الإلكترون الواحد منها، إما أن يتمتص طاقة الفوتون كاملة، وإما أنه لا يتمتصها أبداً، أتمثل الشكل (6).

وحتى يتحرر الإلكترون من سطح الفلز، يجب أن يمتلك طاقة كافية للتغلب على قوة التجاذب الكهربائي مع النوى الموجبة للفلز، وأقل طاقة كافية لتحرير الإلكترون من سطح الفلز تسمى **اقتران الشغل** (Φ)، وهو يعتمد على نوع الفلز على نحو ما هو مبين في الجدول (1). فإذا كانت طاقة الفوتون الذي يتمتصه الإلكترون (hf) أكبر من Φ ، فإن الإلكترون يتحرر ممتلكاً طاقة حرارية. ولا يتحرر إن كانت (hf) أقل من Φ . وتحسب الطاقة الحرارية العظمى للإلكترونات المتحركة (KE_{\max}) باستخدام العلاقة الآتية:

$$KE_{\max} = hf - \Phi$$

ويمكن إعادة كتابة العلاقة السابقة على النحو الآتي:

$$hf = \Phi + \frac{1}{2} mv_{\max}^2$$

حيث: m كتلة الإلكترون.

و v_{\max} السرعة العظمى للإلكترونات المتحركة.

$$KE_{\max} = \frac{1}{2} mv_{\max}^2$$

أما عندما تكون طاقة الفوتون مساوية لاقتران الشغل، فإن الإلكترون يتحرر بطاقة حرارية مساوية للصفر. ويُسمى تردد الأشعة الكهرومغناطيسية في هذه الحالة بتردد العتبة للفلز (f_0)، ويُعرف بأنه أقل تردد يتطلب تحرير إلكترونات ضوئية من سطح الفلز دون إخسارها طاقة حرارية. ويُحسب من اقتران الشغل للفلز حسب العلاقة:

$$f_0 = \frac{\Phi}{h}$$



أصمم باستعمال برنامج السكراتش (Scratch) عرضاً أووضح فيه سقوط مجموعة من الفوتونات على سطح فلز وتحرر الإلكترونات منه، وأبين تأثير زيادة عدد الفوتونات في عدد الإلكترونات المتحركة. ثم أعرضه على زملائي / زميلاتي في الصف.

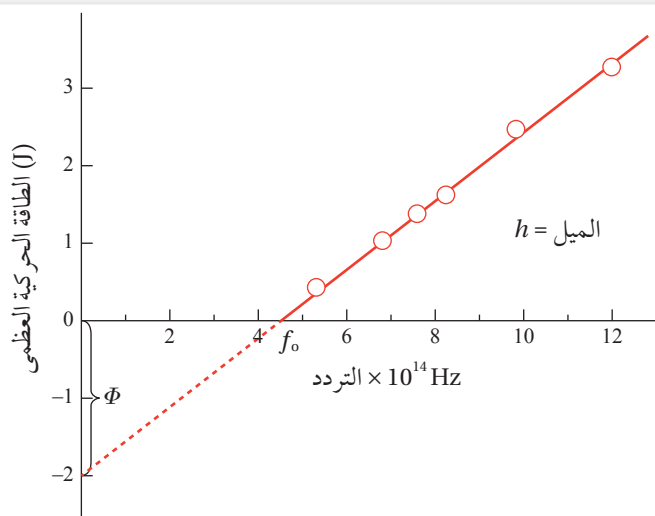


عام 1916 أجرى العالم ميليكان Millikan قياسات تجريبية للتحقق من علاقة أينشتين لظاهرة الكهرومغناطيسية، حيث استخدم ميليكان أشعة كهرمغناطيسية بترددات مختلفة، وقاس جهد الإيقاف عند كل تردد، ومثل العلاقة البيانية بين الطاقة الحركية العظمى للإلكترونات المتحركة وبين تردد الأشعة الساقطة على الباعث برسم بياني فكانت على نحو ما هي موضحة في الشكل (7). ومن الواضح أن العلاقة بين الطاقة الحركية العظمى للإلكترونات المتحركة وتردد الأشعة الساقطة على الباعث علاقة خطية، وهذا يتفق مع تفسير أينشتين لظاهرة الكهرومغناطيسية. ويمثل ميل الخط في الرسم ثابت بلانك، في حين يمثل تقاطع امتداد الخط مع محور الطاقة (Φ)، وتمثل نقطة تقاطع الخط مع محور التردد، تردد العتبة. وتمكن ميليكان أيضاً من إثبات أن التيار الكهرومغناطيسى يزداد بزيادة شدة الإشعاع الساقط على الباعث. وفسر أينشتين ذلك بأن زيادة شدة الأشعة الكهرمغناطيسية تعنى زيادة عدد الفوتونات الساقطة على الباعث في الثانية الواحدة، ونظرًا إلى أن كل فوتون يحرر إلكترونًا، لذا يجب أن يزداد عدد الإلكترونات المتحركة في الثانية الواحدة.

وعند إمعان النظر في العلاقة التي تربط الطاقة الحركية العظمى باقتران الشغل وتردد الأشعة الكهرمغناطيسية،لاحظ أن الطاقة الحركية العظمى تتتناسب طردياً مع تردد الأشعة لا مع شدتها.

و واستطاع النموذج الجسيمي للإشعاع تفسير الانبعاث الفوري للإلكترونات من سطح الفلز؛ لأنّه يفترض أن الطاقة مرکزة في الفوتون، وب مجرد امتصاص الإلكترون للفوتون، فإنه يكتسب طاقة تحرره من الفلز مهما كانت شدة الإشعاع، على أن يكون تردد الفوتون أكبر من تردد العتبة للفلز. واستطاع هذا

يعتمد مبدأ عمل كثير من الأجهزة والأدوات في وقتنا الحاضر على الظاهرة الكهرومغناطيسية، حيث تحول طاقة الفوتونات إلى طاقة كهربائية. وتعد الخلايا الشمسية من المصادر البديلة النظيفة للطاقة، أتأمل الشكل أدناه، حيث تعمل على تحويل الطاقة الشمسية إلى طاقة كهربائية. وقد تصل فاعلية الخلايا الشمسية المستخدمة للأغراض التجارية إلى نحو 20% تقريباً.



الشكل (7): العلاقة بين الطاقة الحركية العظمى للإلكترونات الضوئية، وتردد الأشعة الكهرمغناطيسية في الظاهرة الكهرومغناطيسية.

لماذا رسم امتداد الخط البياني عند قيم الطاقة السالبة مقطعاً ولم يرسم خطًا متصلًا؟

النموذج تفسير التفاوت في الطاقة الحرارية للإلكترونات المتبعة من صفر إلى طاقة حرکية عظمى، وذلك حسب طاقة ربط الإلكترون بذرات الفلز، إضافة إلى عمق موقع الإلكترون تحت سطح الفلز، فالإلكترونات ذات طاقة الرابط الأصغر والأقرب لسطح الفلز تتحرر بطاقة حرکية أكبر.

أتحقق: أذكر فرضية أينشتين التي استخدمها في تفسير نتائج الظاهرة الكهرومغناطيسية.

المثال ٣

إذا كان اقتران الشغل لفلز (2.0 eV)، وسقط على سطحه إشعاع كهرومغناطيسي طاقة الفوتون الواحد منه (6.0 eV).

أجد ما يأتي:

أ . تردد العتبة للفلز.

ب . الطاقة الحرکية العظمى للإلكترونات المنطلقة من سطح الفلز.

المعطيات:

$$\Phi = 2.0 \text{ eV}, hf = 6.0 \text{ eV}, h = 6.63 \times 10^{-34} \text{ J.s}$$

المطلوب:

$$f_0 = ?, KE_{\max} = ?$$

الحل:

أ . أحسب تردد العتبة من اقتران الشغل للفلز

$$hf_0 = \Phi$$

$$f_0 = \frac{\Phi}{h} = \frac{2.0 \times 1.6 \times 10^{-19}}{6.63 \times 10^{-34}} = 4.8 \times 10^{14} \text{ Hz}$$

ب . أحسب الطاقة الحرکية العظمى من العلاقة:

$$KE_{\max} = hf - \Phi = 6.0 - 2.0 = 4.0 \text{ eV} = 4.0 \times 1.6 \times 10^{-19} = 6.4 \times 10^{-19} \text{ J}$$

المثال 4

سقط إشعاع كهرومغناطيسي طول موجته (460 nm) على فلز اقترانُ الشغل له (2.2 eV)، أجد الطاقة الحركية العظمى للإلكترونات المتحرّرة من سطح الفلز بوحدة الجول (J).

المُعطيات: $c = 3 \times 10^8 \text{ m/s}$, $\Phi = 2.2 \text{ eV}$, $\lambda = 460 \text{ nm} = 460 \times 10^{-9} \text{ m}$, $h = 6.63 \times 10^{-34} \text{ J.s}$

المطلوب: $KE_{\max} = ?$

الحلّ:

أجد تردد الضوء الساقط على الفلز

$$f = \frac{c}{\lambda} = \frac{3.0 \times 10^8}{460 \times 10^{-9}} = 6.5 \times 10^{14} \text{ Hz}$$

أحول وحدة قياس اقتران الشغل من eV إلى وحدة جول (J)

$$\Phi = 2.2 \times 1.6 \times 10^{-19} = 3.5 \times 10^{-19} \text{ J}$$

ثمّ أعرض في العلاقة

$$KE_{\max} = hf - \Phi = 6.63 \times 10^{-34} \times 6.5 \times 10^{14} - 3.5 \times 10^{-19}$$

$$= 8.1 \times 10^{-20} \text{ J}$$

المثال 5

إذا كانت الطاقة الحركية العظمى للإلكترونات المتحرّرة من سطح النحاس تساوي (22.6 eV) عند سقوط أشعة فوق البنفسجية ترددُها ($6.60 \times 10^{15} \text{ Hz}$) على سطحه. أجد اقتران الشغل للنحاس بوحدة (eV).

المُعطيات: $KE_{\max} = 22.6 \text{ eV}$, $f = 6.60 \times 10^{15} \text{ Hz}$, $h = 6.63 \times 10^{-34} \text{ J.s}$

المطلوب: $\Phi = ?$

الحلّ:

أجد hf بوحدة (eV)

$$hf = 6.63 \times 10^{-34} \times 6.60 \times 10^{15} = 4.38 \times 10^{-18} \text{ J}$$

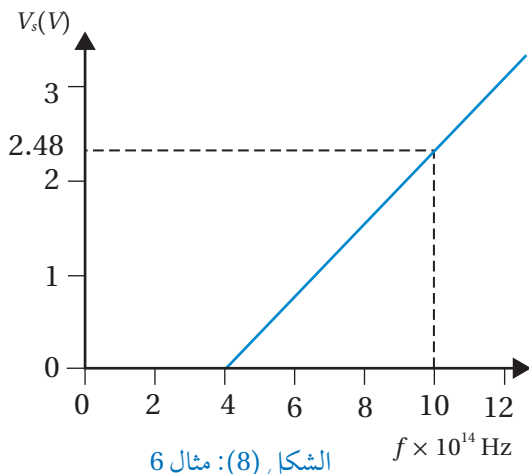
$$= 4.38 \times 10^{-18} \text{ J} \times \frac{1 \text{ eV}}{1.60 \times 10^{-19} \text{ J}} = 27.3 \text{ eV}$$

ثمّ أعرض في العلاقة

$$KE_{\max} = hf - \Phi$$

$$22.6 = 27.3 - \Phi \Rightarrow \Phi = 4.7 \text{ eV}$$

المثال 6



يمثل الرسم البياني في الشكل (8) العلاقة بين جهد الإيقاف وتردد الفوتونات الساقطة على مهبط خلية كهرضوئية، مستعيناً بالبيانات المبينة على الرسم، أحسب ما يأتي:

أ. مقدار ثابت بلانك.

ب. اقتران الشغل لمهبط الخلية.

ج. الطاقة الحركية العظمى (بالجول) للإلكترونات المنبعثة عند إسقاط أشعة ترددتها ($12 \times 10^{14} \text{ Hz}$) على مهبط الخلية.

ملاحظة: لحل الفرعين (ب) و(ج)، استخدم ثابت بلانك الذي حسبته في الفرع (أ).

المعطيات:

$$e = 1.6 \times 10^{-19} \text{ C}, c = 3 \times 10^8 \text{ m/s}$$

المطلوب:

$$\Phi = ?, KE_{\max} = ?$$

الحل:

أ. أجد ميل المنحنى حيث يمثل ثابت بلانك، مع الانتباه لوحدات القياس:

$$slope = \frac{\Delta V_s}{\Delta f} = \frac{2.48 - 0}{(10 - 4) \times 10^{14}} = 4.1 \times 10^{-15} \text{ V.s}$$

إن ميل الخط المستقيم يساوي $slope = \frac{h}{e}$ ، ومنه

$$h = slope \times e = 4.1 \times 10^{-15} \times 1.6 \times 10^{-19} = 6.6 \times 10^{-34} \text{ J.s}$$

ب. ألاحظ أن تقاطع الخط المستقيم مع محور التردد هو تردد العتبة $f_0 = 4 \times 10^{14} \text{ Hz}$

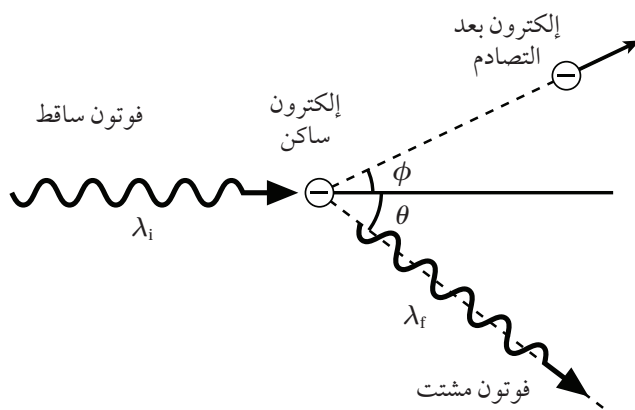
$$\Phi = hf_0 = 6.6 \times 10^{-34} \times 4 \times 10^{14} = 2.6 \times 10^{-19} \text{ J}$$

ج.

$$KE_{\max} = hf - \Phi = 6.63 \times 10^{-34} \times 12 \times 10^{14} - 2.6 \times 10^{-19} = 5.4 \times 10^{-19} \text{ J}$$

للمزيد

أرادت سارة قياس تردد العتبة لفلز في تجربة الظاهرة الكهرضوئية، فاستخدمت أشعة كهرمغناطيسية طول موجتها (300 nm)، ووجدت أن التيار الكهرضوئي يصبح صفرًا عند فرق جهد (2.1 V)، أجد تردد العتبة للفلز.



الشكل (9): ظاهرة كومبتون.

ظاهرة كومبتون Compton Effect

بعد نجاح أينشتين في تفسير الظاهرة الكهرومغناطيسية باستخدام النموذج الجسيمي للإشعاع الكهرومغناطيسى، جاءت ظاهرة كومبتون اختباراً لهذا النموذج. أسقط كومبتون أشعة سينية على هدف من الغرافيت، ونظرًا إلى أن الطاقة الكلية للإلكترونات في الجرافيت صغيرة جدًا مقارنة بطاقة فوتونات الأشعة السينية، فإن طاقة تلك الإلكترونات تهمل وتعد ساكنة. لاحظ كومبتون أن طول موجة الأشعة السينية المشتّتة (λ_e) أكبر من طول موجة الأشعة السينية الساقطة (λ_i).

لم يستطع النموذج الموجي للضوء تفسير زيادة الطول الموجي للأشعة المشتّتة في هذه الظاهرة، واستطاع كومبتون تفسير نتائج هذه الظاهرة بالاعتماد على قانوني حفظ الزخم الخطى والطاقة، وبافتراض أن الأشعة الكهرومغناطيسية تتفاعل مع الإلكترون بوصفها جسيمات طاقة كل منها hf ، ومقدار زخمها الخطى $\frac{E}{c} = \frac{h}{\lambda} = p$. وهذا الاستنتاج يتوافق مع الطبيعة الجسيمية للأشعة الكهرومغناطيسية التي استخدمها أينشتين في تفسير الظاهرة الكهرومغناطيسية. ونتيجة لتصادم الفوتون الساقط مع الإلكترون يكتسب الإلكترون طاقة، ويتحرك بمسار يصنع زاوية (ϕ) مع مسار الفوتون الساقط، في حين ينحرف اتجاه الفوتون المشتّت بزاوية (θ) على نحو ما هو موضح في الشكل (9)، ويستمر بالسرعة نفسها (c)، ولكن بطول موجي أكبر ($\lambda_e < \lambda_i$)، ويعبر عن الطاقة التي اكتسبها الإلكترون (E_e) بالعلاقة:

$$E_e = E_i - E_f$$

حيث (E_f) طاقة الفوتون المشتّت، في حين أن (E_i) طاقة الفوتون الساقط. ويختلف تفاعل الفوتون مع الإلكترون في ظاهرة كومبتون عن تفاعله مع الإلكترون في الظاهرة الكهرومغناطيسية. ففي ظاهرة كومبتون يعطي الفوتون جزءاً من طاقته للإلكترون، في حين يعطي طاقته كلها للإلكtron في الظاهرة الكهرومغناطيسية. ومرة أخرى فشلت الفيزياء الكلاسيكية بنموذجها الموجي للضوء في تفسير هذه الظاهرة، في حين نجح في ذلك النموذج الجسيمي للضوء.

أفكا: لماذا لم يستخدم كومبتون الضوء المرئي في تجربته؟



أصممت باستخدام برنامج (Scratch) عرضًاً أوضح فيه تصادم فوتون مع الإلكترون مبيناً التغيير الذي حدث لطول موجة الفوتون، ثم أعرضه على زملائي / زميلاتي في الصف.

تحقق: في تجربة كومبتون، أقارن بين الأشعة الساقطة والأشعة المشتّتة من حيث: الطول الموجي والتتردد والسرعة.

المثال 7

فوتون أشعة سينية تردد $(4.20 \times 10^{18} \text{ Hz})$. أجد طاقته ومقدار زخمته الخطّي.

المعطيات:

$$f = 4.20 \times 10^{18} \text{ Hz}, c = 3 \times 10^8 \text{ m/s}, h = 6.63 \times 10^{-34} \text{ J.s}$$

المطلوب:

$$E = ?, p = ?$$

الحلّ:

$$E = hf = 6.63 \times 10^{-34} \times 4.20 \times 10^{18}$$

$$= 2.78 \times 10^{-15} \text{ J} = 2.78 \times 10^{-15} \text{ J} \times \frac{1 \text{ eV}}{1.6 \times 10^{-19} \text{ J}} = 17.4 \text{ keV}$$

$$p = \frac{h}{\lambda} = \frac{hf}{c} = \frac{E}{c} = \frac{2.78 \times 10^{-15}}{3 \times 10^8} = 9.28 \times 10^{-24} \text{ kg m/s}$$

المثال 8

أجد طاقة وتردد فوتون مقدار زخمته الخطّي $(8.85 \times 10^{-26} \text{ kg m/s})$.

المعطيات:

$$h = 6.63 \times 10^{-34} \text{ J.s}, 1 \text{ eV} = 1.6 \times 10^{-19} \text{ J}, p = 8.85 \times 10^{-26} \text{ kg m/s}, c = 3.0 \times 10^8 \text{ m/s}$$

المطلوب:

$$E = ?, f = ?$$

الحلّ:

$$E = pc = 8.85 \times 10^{-26} \times 3 \times 10^8 = 2.7 \times 10^{-17} \text{ J}$$

$$= 2.7 \times 10^{-17} \text{ J} \times \frac{1 \text{ eV}}{1.6 \times 10^{-19} \text{ J}} = 1.7 \times 10^2 \text{ eV}$$

$$f = \frac{E}{h} = \frac{2.7 \times 10^{-17}}{6.63 \times 10^{-34}} = 4.1 \times 10^{16} \text{ Hz}$$

المثال ٩

سقط فوتون أشعة غاما طاقته (662 keV) على إلكترون ساكن، فاكتسب الإلكترون طاقة مقدارها (49 keV)، أجد ما يأتي:

أ. طول موجة الفوتون الساقط.

ب. طاقة الفوتون المشتّت.

ج. مقدار التغيير في الطول الموجي للفوتون.

المعطيات:

$$h = 6.63 \times 10^{-34} \text{ J.s}, 1 \text{ eV} = 1.6 \times 10^{-19} \text{ J}, c = 3 \times 10^8 \text{ m/s}, E_i = 662 \text{ keV}, E_e = 49 \text{ keV}$$

المطلوب:

$$\lambda_i = ?, E_f = ?, \Delta\lambda = ?$$

الحل:

أ. نحول طاقة الفوتون الساقط إلى وحدة جول، ثم نحسب الطول الموجي

$$E_i = 662 \text{ keV} = 662 \times 10^3 \text{ eV} \times \frac{1.6 \times 10^{-19} \text{ J}}{1 \text{ eV}} = 1.1 \times 10^{-13} \text{ J}$$

$$\lambda_i = \frac{c}{f} = \frac{hc}{E_i} = \frac{6.63 \times 10^{-34} \times 3.0 \times 10^8}{1.1 \times 10^{-13}} = 1.9 \times 10^{-12} \text{ m}$$

$$E_f = E_i - E_e = 662 - 49 = 613 \text{ keV} = 613 \times 10^3 \text{ eV} \times \frac{1.6 \times 10^{-19} \text{ J}}{1 \text{ eV}} = 9.8 \times 10^{-14} \text{ J} \quad \text{ب.}$$

ج. أجد طول موجة الفوتون المشتّت (بعد التصادم)

$$\lambda_f = \frac{6.63 \times 10^{-34} \times 3.0 \times 10^8}{9.8 \times 10^{-14}} = 2.0 \times 10^{-12} \text{ m}$$

$$\Delta\lambda = 2.0 \times 10^{-12} - 1.9 \times 10^{-12} = 0.1 \times 10^{-12} \text{ m}$$

تمرين

أجد مقدار الزخم الخطّي لكُلّ مما يأتي:

أ. فوتون أشعة مرئية طاقته ($J = 3.00 \times 10^{-19}$).

ب. فوتون أشعة فوق بنفسجية تردد (Hz) (5.4×10^{15}).

ج. فوتون أشعة سينية طول موجته (nm) (2.00 nm).

$$h = 6.63 \times 10^{-34} \text{ J.s}, 1 \text{ eV} = 1.6 \times 10^{-19} \text{ J}, c = 3 \times 10^8 \text{ m/s},$$

مراجعة الدرس

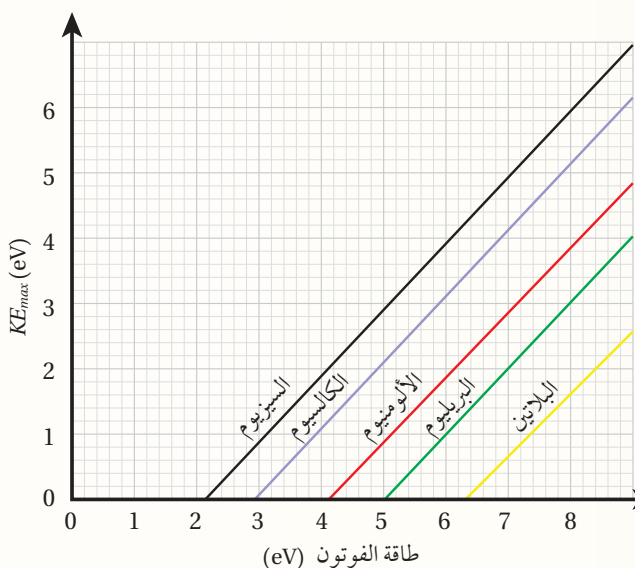
1. **الفكرة الرئيسية:** أوضح المقصود بكل من: الجسم الأسود، الظاهرة الكهرومagnetية، اقتران الشغل للفلز، تردد العتبة.

2. **أحسب:** سقط فوتون أشعة سينية مقدار زخمه الخطي ($4.3 \times 10^{-23} \text{ kg m/s}$) على إلكترون حرّ، فكان مقدار الزخم الخطي للفوتون بعد تشتته ($3.2 \times 10^{-23} \text{ kg m/s}$)، أجد الطاقة التي اكتسبها الإلكترون بوحدة (eV).

3. **استخدم المتغيرات:** سقط ضوء طول موجته (300 nm) على سطح فلز تردد العتبة له ($5.0 \times 10^{14} \text{ Hz}$), أجد:

أ . اقتران الشغل للفلز.

ب. الطاقة الحركية العظمى للإلكترونات المتحركة.



4. **أحل رسمًا بيانيًّا:** يمثل الرسم البياني المجاور العلاقة بين الطاقة الحركية العظمى للإلكترونات المتحركة من سطح الفلز وطاقة فوتون الإشعاع الكهرومغناطيسي الساقط على سطح الفلز، وذلك لفلزات عدّة.

أ . جميع الخطوط مستقيمة ومتوازية، أفسّر ذلك.

ب. أرتّب تردد العتبة للفلزات من الأصغر إلى الأكبر.

ج. إذا سقط ضوء طافته (10 eV) على البريليوم، أجد الطاقة الحركية العظمى للإلكترونات المتحركة منه.

د . إذا سقط ضوء طول موجته (350 nm)، فمن أيّ الفلزات يستطيع تحرير إلكترونات؟ ومن أيّها لا يستطيع؟ أيّ الفلزات تتحرّر منه إلكترونات بطاقةٍ حركية عظمى أكبر؟

5. **استخدم المتغيرات:** سقط إشعاع كهرومغناطيسي طول موجته (80 nm) على سطح فلز اقتران الشغل له (5.1 eV)، أجد أصغر (وأكبر) طاقة حرکية للإلكترونات المتحركة من سطح الفلز.

6. **أناقش:** بيّنت التجارب أنَّ زيادة شدة الضوء الساقط على سطح فلز لا تؤدي إلى زيادة الطاقة الحركية العظمى للإلكترونات المتحركة من سطحه. أناقش فشل الطبيعة الموجية للضوء في تفسير هذه المشاهدة.

نموذج بور لذرة الهيدروجين:

Bohr's Model of The Hydrogen Atom

ساد الاعتقاد أن الذرة أصغر مكونات المادة، لكن يثبت التجارب لاحقاً أن الذرة تتكون من جسيمات أصغر منها. إن تفسير بنية الذرة واستقرارها كان من أهم التحديات التي واجهت الفيزياء الكلاسيكية. بداية، افترض طومسون أن الذرة عبارة عن كرة مصممة موجبة الشحنة تتوزع فيها الإلكترونات سالبة الشحنة، وأن الذرة متعادلة كهربائياً، لأن مجموع الشحنة السالبة يساوي مجموع الشحنة الموجبة. لكن تجربة رذرфорد أثبتت عدم صحة هذا النموذج.

ففي تجربته الشهيرة عام 1911، أسقط رذرфорد **Rutherford** جسيمات ألغا على صفيحة رقيقة من الذهب، وافتراض، بناءً على مشاهداته التجريبية، أن الذرة تتكون من نواة موجبة الشحنة تشغل حيزاً صغيراً جداً، تتركز فيه غالبية كتلة الذرة، تدور حوله الإلكترونات سالبة الشحنة مثل دوران الكواكب حول الشمس. ولم يكتب لهذا النموذج النجاح؛ لأنّه لم يستطع تفسير استقرار الذرة، حيث إن الإلكترون جسيم مشحون يدور حول النواة، ويعتبر من اتجاه حركته بشكل مستمر، وبذلك يمتلك تسارعاً مركزياً، وحسب النظرية الكهرمغناطيسية فإنه سيُشبع (يفقد) طاقة بشكل متصل، ونتيجة فقدانه الطاقة؛ فإنه سينجذب نحو النواة ما يؤدي إلى انهيار الذرة. وهذا يخالف النتائج التجريبية، حيث الذرة مستقرة والطاقة التي تشعّها منفصلة ذات قيم محددة.

العالم بور كان مقتنعاً بصحّة نموذج رذرфорد، لكنه اختلف معه في كيفية إشعاع الإلكترون للطاقة، فافتراض أن الإلكترون يفقد الطاقة على شكل كمات محددة من الطاقة (فوتونات)، لا على شكل متصل. واستخدم بور مبدأ تكمية الطاقة، ونموذج رذرфорد إضافة إلى النموذج الجسيمي للإشعاع ليبني نموذجاً للذرة عُدّ فيما بعد أهم الإنجازات العلمية في ذلك الوقت.

فرضيات بور لذرة الهيدروجين:

1. يدور الإلكترون حول البروتون (النواة) في مسارات دائرية تحت تأثير قوة التجاذب الكهربائي.
2. توجد مدارات محددة (مستويات طاقة) مسموح للإلكترون بأن يحتلّها، وإذا بقي في مستوى الطاقة نفسه فلا يشعّ طاقة ولا يمتصّها.

الفكرة الرئيسية:

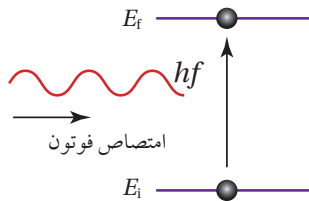
تتكون الذرة من نواة موجبة الشحنة تحرك حولها الإلكترونات سالبة الشحنة، تحتل مستويات طاقة غير متصلة (مكماً)، وفهمنا لهذا التركيب أدى إلى تطوير تكنولوجيا متقدمة أسهمت في تسهيل سبل الحياة، واكتشافات علمية جديدة.

نتائج التعلم:

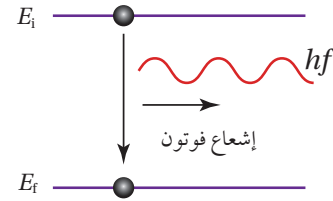
- أشرح الأسس التي اعتمد عليها بور في بناء نموذجه لذرة الهيدروجين، وأستقصي حدود هذا النموذج.
- أستنتج أن الإشعاع الكهرمغناطيسي المنبعث عن الذرات ينبع عن انتقال الإلكترونات بين مستويات الطاقة.
- أستقصي الطيف المنبعث من مصادر ضوئية مختلفة.
- أطبق بحل مسائل حسابية على نموذج بور لذرة الهيدروجين.

المفاهيم والمصطلحات:

- | | |
|---|---|
| طيف الامتصاص الخطي
Absorption Line Spectrum | طيف الانبعاث الخطي
Emission Line Spectrum |
| طاقة التأين
Ionization Energy | |



الشكل (10/ب): امتصاص الذرة لفوتون.
في هذه الحالة الذرة تكتسب طاقة.



الشكل (10/أ): إشعاع الذرة لفوتون.
في هذه الحالة الذرة تفقد طاقة.

3. يشعّ الإلكترون طاقة أو يمتصّها فقط إذا انتقل من مستوى طاقة إلى مستوى آخر. فعند انتقال الإلكترون من مستوى طاقة أعلى إلى مستوى طاقة أقلّ، فإنّه يشعّ فوتونًا طاقته تساوي الفرق بين طاقتى المستويين، أتأمل الشكل (10/أ). ويمكن أيضًا أن يمتصّ الإلكترون فوتونًا، وينتقل إلى مستوى طاقة أعلى عندما تكون طاقة الفوتون الممتصّ متساوية لفرق الطاقة بين المستويين، أتأمل الشكل (10/ب). وفي كلتا الحالتين فإنّ طاقة الفوتون (E) المنبئ أو الممتصّ يُعبّر عنها بالعلاقة:

$$E = |E_f - E_i| = hf$$

حيث

E_f : طاقة المدار (مستوى الطاقة) النهائي الذي انتقل إليه الإلكترون.

E_i : طاقة المدار (مستوى الطاقة) الابتدائي الذي انتقل منه الإلكترون.

f : تردد الفوتون المنبئ أو الممتصّ.

4. المدارات المسموح للإلكترون أن يحتلها هي تلك التي يكون فيها مقدار زخمه الزاوي $L = m_e vr$ يساوي عددًا صحيحًا من مضاعفات \hbar ، حيث $\hbar = \frac{h}{2\pi} = 1.05 \times 10^{-34} \text{ J.s}$

$$L = n \hbar = m_e v r$$

حيث

n : رقم المدار ويأخذ قيمًا صحيحة، 1, 2, 3, ..., وهكذا.

m_e : كتلة الإلكترون وتساوي $9.11 \times 10^{-31} \text{ kg}$

r : نصف قطر مدار الإلكترون.

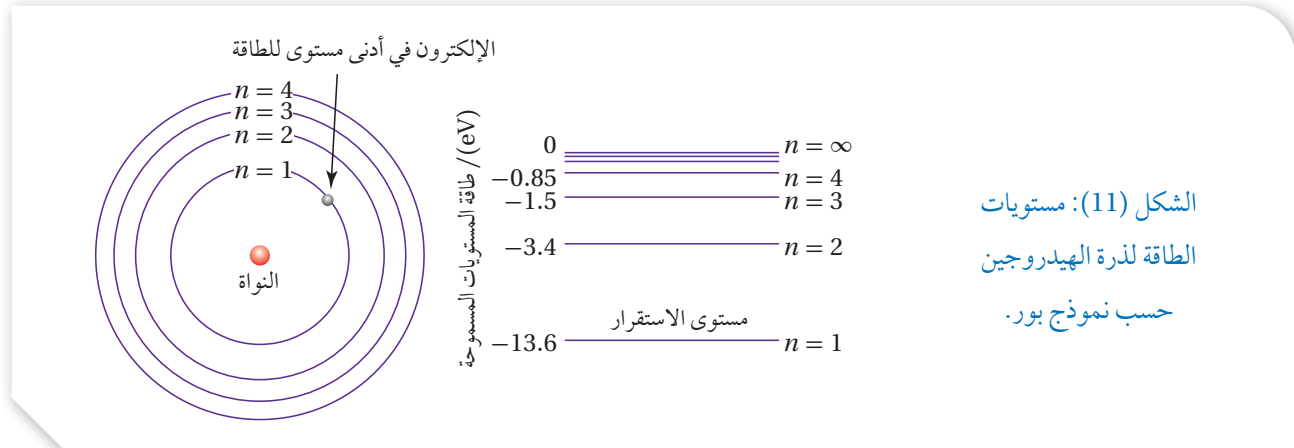
ففي المدار الأول ($n=1$) يكون الزخم الزاوي للإلكترون \hbar ، وفي المدار الثاني $2\hbar$ وهكذا.

ويُعبّر عن طاقة الإلكترون في مستوى الطاقة (n) في ذرة الهيدروجين بوحدة (eV) بالعلاقة الآتية:

$$E_n = -\frac{13.6}{n^2}$$



أصمّ باستخدام برنامج (Scratch) عرضًا لمستويي طاقة، أوّضح فيه ابعاث أو امتصاص فوتون عند انتقال الإلكترون بين المستويين. ثم أعرضه على زملايٍ / زميلاتي في الصف.



حيث ($n = 1, 2, 3, 4, \dots$) هو رقم المدار (مستوى الطاقة) ويُسمى الرقم الكمي. الاحظ من العلاقة السابقة أنَّ مستويات الطاقة غير متصلة (منفصلة) وتأخذ قيمًا محددة، أي إنها مكمأة، فمثلاً طاقة المستوى الأول (-13.6 eV) وطاقة المستوى الثاني (-3.40 eV). والشكل (11) يبيِّن مستويات الطاقة لذرة الهيدروجين، حيث يُمثل كل مستوى بخطٍّ أفقيٍّ مُبيِّناً بجانبه الرقم الكميُّ الرئيُّس (n)، وطاقةُ المستوى بوحدة (eV).

الاحظ من الشكل (11) أنَّ الإلكترون في مستوى الطاقة الأول يمتلك أقل طاقة وهي ($E_1 = -13.6 \text{ eV}$ ، ويُسمى مستوى الاستقرار Ground state)، مستويات الطاقة E_n حيث ($n > 1$)، فتُسمى مستويات الإثارة Excited states، يتنتقل إليها الإلكترون عندما يمتص فوتوناً ذا طاقة مناسبة. فمثلاً حتى يتنتقل الإلكترون من مستوى الطاقة الأول ($E_1 = -13.6 \text{ eV}$) إلى مستوى الطاقة الثاني ($E_2 = -3.4 \text{ eV}$) يجب أن يمتص فوتوناً طاقته تساوي الفرق بين طاقتين المستويين، أي (10.2 eV). أمَّا لنقل الإلكترون من مستوى الطاقة الأول ($n = 1$) إلى مستوى الطاقة ($n = \infty, E_{\infty} = 0$)، فيتطلب امتصاص فوتون طاقته (13.6 eV)، وتُسمى طاقة التأين Ionization energy؛ وهي أقل طاقة لازمة لتحرير الإلكترون من الذرة دون إكسابه طاقة حرارية. فالإشارة السالبة لطاقة المستوى n ($E_n = -\frac{13.6}{n^2} \text{ eV}$) تعني ضرورة تزويد الإلكترون بطاقة مقدارها $\frac{13.6}{n^2} \text{ eV}$ + لتحريره من الذرة.

الربط بالเทคโนโลยيا

معرفة مستويات الطاقة في الذرات المنفصلة أو المواد الصلبة، مكِّن العلماء من تطوير كثيرٍ من الأجهزة التي تسهل حياة البشر مثل؛ أنابيب الفلورسنت، والميكروويف، وأجهزة الهاتف المحمول والحواسوب، وتطوير تكنولوجيا الليزر المستخدمة في الطب والصناعة وتشكيل الصور ثلاثية الأبعاد (هولوغرام).

تحقق: أعد فرضيات بور لذرة الهيدروجين.

أفخر: ماذا يحدث للإلكترون إذا زادت طاقة الفوتون الذي يمتصه على طاقة التأين؟

الربط بالحياة

يُعد نظام تحديد المواقع العالمي (GPS) أحد أهم الأنظمة التي خدمت البشر، وسهلت حياتهم. وحتى يعمل هذا النظام بدقة، يحتاج إلى ساعات دقيقة جدًا، وهي الساعات الذرية. ويُستخدم الكوارتز في هذه الساعات الذرية، بالإضافة إلى ذرات عناصر أخرى مثل السيريوم - 133.

المثال 10

اعتماداً على الشكل (11)، أجد طاقة الفوتون المنبعث عند انتقال الإلكترون في ذرة الهيدروجين من مستوى الطاقة الثالث إلى مستوى الطاقة الثاني بوحدة eV، ثم أحوله إلى وحدة J.

المعطيات: $1 \text{ eV} = 1.6 \times 10^{-19} \text{ J}$, $E_3 = -1.50 \text{ eV}$, $E_2 = -3.40 \text{ eV}$

المطلوب: $E = ?$

$$\begin{aligned} E &= |\Delta E| = |E_2 - E_3| = |-3.40 - (-1.50)| \\ &= 1.9 \text{ eV} \\ &= 1.90 \text{ eV} \times \frac{1.6 \times 10^{-19} \text{ J}}{1 \text{ eV}} = 3.04 \times 10^{-19} \text{ J} \end{aligned}$$

المثال 11

اعتماداً على الشكل (11)، أجد طاقة الفوتون اللازمة لنقل الإلكترون في ذرة الهيدروجين من مستوى الاستقرار ($n = 1$) إلى مستوى الطاقة الثالث بوحدة eV.

المعطيات: $E_3 = -1.50 \text{ eV}$, $E_1 = -13.6 \text{ eV}$

المطلوب: $E = ?$

$$\begin{aligned} E &= |\Delta E| = |E_3 - E_1| = |-1.5 - (-13.6)| \\ &= 12.1 \text{ eV} \end{aligned}$$

المثال 12

لإلكترون في مستوى الطاقة الثاني لذرة الهيدروجين، أجد ما يأتي:

أ. الزخم الزاوي للإلكترون.

ب. طاقة الإلكترون.

المعطيات: $\hbar = 1.05 \times 10^{-34} \text{ J.s}$, $n = 2$

المطلوب: $L = ?$, $E_2 = ?$

الحل:

$$L = n \hbar = 2\hbar = 2 \times 1.05 \times 10^{-34} = 2.1 \times 10^{-34} \text{ Js} \quad \text{أ.}$$

$$E_2 = -\frac{13.6}{n^2} = -\frac{13.6}{2^2} = -3.4 \text{ eV} \quad \text{ب.}$$

المثال ١٣

أجد تردد الفوتون اللازم لنقل إلكترون في ذرة الهيدروجين من مستوى الطاقة الثاني إلى مستوى الطاقة الثالث.

المُعطيات : $h = 6.63 \times 10^{-34} \text{ J.s}$, $1 \text{ eV} = 1.6 \times 10^{-19} \text{ J}$, $n_i = 2$, $n_f = 3$

المطلوب : $f = ?$

الحل :

$$E = |E_f - E_i| = \left| \frac{-13.6}{n_f^2} - \frac{-13.6}{n_i^2} \right|$$

$$E = \left| \frac{-13.6}{3^2} - \frac{-13.6}{2^2} \right| = |-1.5 - (-3.4)| = 1.9 \text{ eV} = 1.9 \times 1.6 \times 10^{-19} = 3.0 \times 10^{-19} \text{ J}$$

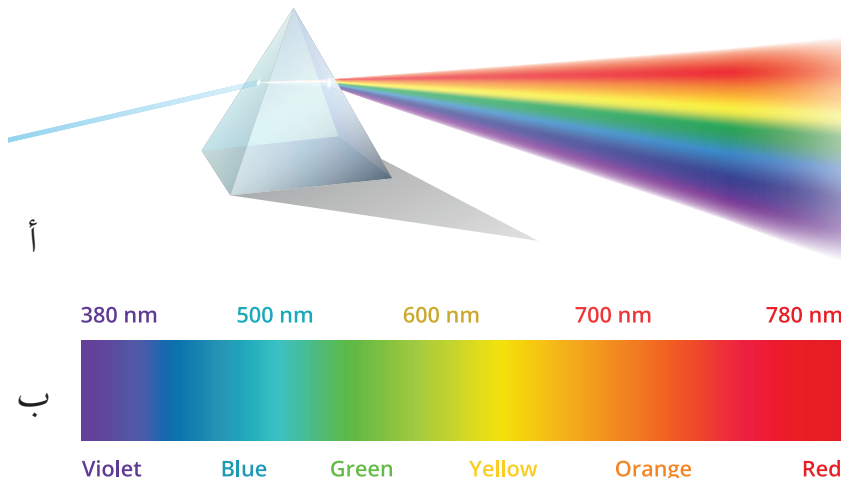
$$f = \frac{E}{h} = \frac{3.0 \times 10^{-19}}{6.63 \times 10^{-34}} = 4.5 \times 10^{14} \text{ Hz}$$

لِمْدِي

انتقل إلكترون ذرة الهيدروجين من مستوى الطاقة n_i إلى مستوى الطاقة الثاني، فانبعث فوتون بطاقة $(4.08 \times 10^{-19} \text{ J})$.

أجد قيمة رقم مستوى الطاقة n_i .

الشكل (12): تحليل ضوء الشمس الأبيض إلى ألوان الطيف المختلفة عن طريق منشور.



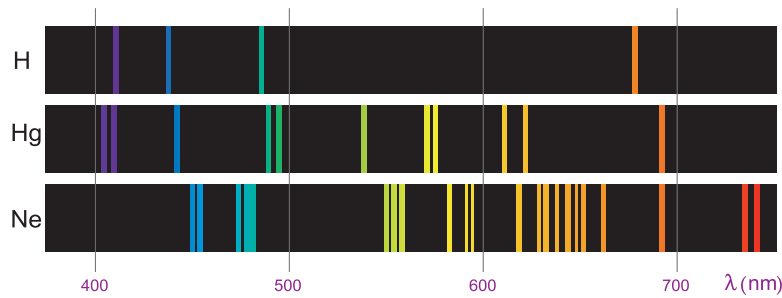
الأطيف الذري Atomic Spectra

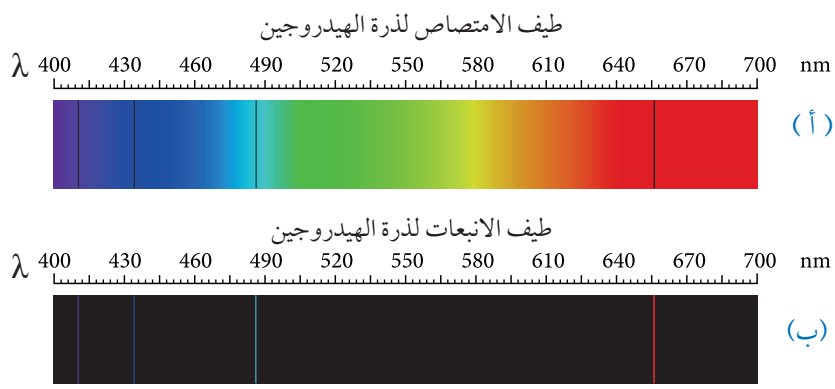
يوضح الشكل (12/أ) منشوراً يعمل على تحليل ضوء الشمس الأبيض إلى ألوان الطيف المتصل Continuous spectrum، وسمى متصلة لأنّه يحتوي الأطوال الموجية كافة بدءاً من اللون الأحمر وصولاً إلى اللون البنفسجي، أتمّل الشكل (12/ب). للذرات أيضاً أطيفاً ذريّاً، وبخلاف الطيف الشمسي فإنّ أطيف الذرات ليست متصلة. ولتفسير الطيف الذري غير المتصل Discontinuous spectrum، أفترض وجود ذرة هيدروجين في مستوى الاستقرار، وانتقل الإلكترون إلى مستوى طاقة أعلى نتيجة امتصاصه فوتوناً ذا طاقة معينة، هنا تصبح الذرة في مستوى إثارة، لكنّها تعود إلى مستوى الاستقرار ببعث فوتون طاقته (E) تساوي الفرق بين طاقتى المستويين اللذين يتقلّل بينهما.

وبذلك، فإنّ للأشعة المنبعثة طولاً موجياً (لوناً) محدداً. وكلّما تغيّر أحد المستويين أو كلاهما تتغيّر طاقة الفوتون المنبعث، ما يؤدّي إلى إشعاع الذرة ألواناً مختلفة تكون غير متصلة؛ لأنّ مستويات الطاقة غير متصلة أيضاً. والشكل (13) يوضح أطيف الانبعاث لذرات عناصر بعد إثارتها، منها عنصر الهيدروجين، كلّ منها يتكون من خطوط من الألوان غير المتصلة (المتنفصلة) على خلفية سوداء،

ويُسمى طيف الانبعاث الخطي Emission line spectrum.

الشكل (13): طيف الانبعاث الخطي لبعض العناصر.





الشكل (14):

- (أ) طيف الامتصاص الخطّي،
- (ب) طيف الانبعاث الخطّي لذرة الهيدروجين.

وإذا مرّ ضوء الشمس خلال غاز عنصر معين، فإنّ ذرات الغاز تُمتصّ أطوالاً موجيّةً معينةً فقط، وتحليل الطيف النافذ لوحظ وجود خطوط معتمة منفصلة على خلفية مضيئة على نحو ما هو موضح في الشكل (14/أ)، ويُسمى هذا الطيف **طيف الامتصاص الخطّي** **Absorption line spectrum**، والخطوط المعتمة ناتجة عن فقدان أطوال موجيّة معينة امتصّتها ذرات الغاز، وهي تقابل تماماً الخطوط المضيئة التي ظهرت في طيف الانبعاث الخطّي لذرات العنصر نفسه، ألا حظ الشكل (14/ب)؛ لأنّ الأطوال الموجيّة المحدّدة من الطيف التي تمتصّها ذرات عنصر معين هي الأطوال الموجيّة نفسها التي تشعّها. لذا، يُعد طيف العنصر مزيّةٌ خاصّةٌ به كالبصمة للإنسان، ولا يمكن لعناصرٍ أن يكون لهما الطيف الخطّي نفسه.

نموذج بور وطيف ذرة الهيدروجين

Bohr's model and the hydrogen spectrum

طيف ذرة الهيدروجين من أبسط الأطيف؛ لأنّها تحتوي على إلكترون واحد فقط، ويوضح الشكل (15) الأطوال الموجيّة لطيف الانبعاث الخطّي لذرة الهيدروجين في منطقة الضوء المرئي.

لقد نجح نموذج بور في حساب الأطوال الموجيّة لطيف ذرة الهيدروجين. فعند انتقال الإلكترون من مستوى الطاقة (n_i) إلى مستوى الطاقة (n_f)، فإنّ طاقة

الفوتون (hf) بوحدة الجول، هي:

$$hf = |E_f - E_i| = 13.6 e \left| \frac{1}{n_f^2} - \frac{1}{n_i^2} \right|$$



أتحقق: ما الفرق بين الطيف الناتج عن أشعة الشمس المرئية (ضوء الشمس) والطيف الناتج عن غاز عنصر ما عند عبور ضوء الشمس خلاله؟ ✓

الشكل (15): الأطوال الموجيّة لطيف الانبعاث الخطّي لذرة الهيدروجين.

حيث e هي القيمة المطلقة لشحنة الإلكترون، وبالتعويض عن التردد $f = c/\lambda$ ، وقسمة المعادلة على hc نحصل على:

$$\frac{1}{\lambda} = \frac{13.6 e}{hc} \left| \frac{1}{n_f^2} - \frac{1}{n_i^2} \right|$$

المقدار $\frac{13.6 e}{hc}$ يساوي $1.097 \times 10^7 \text{ m}^{-1}$ ، قيمة ثابت يُسمى ثابت ريدبيرغ (R_H)، لذا فإنّ:

$$\frac{1}{\lambda} = R_H \left| \frac{1}{n_f^2} - \frac{1}{n_i^2} \right|$$

حيث (λ) الطول الموجي للفوتون المنبعث. وعلى الرغم من اتفاق نتائج نموذج بور مع النتائج التجريبية لطيف ذرة الهيدروجين والأيونات ذات الإلكترون الواحد، فإنّه فشل في تفسير أطيف الذرات عديدة الإلكترونات.

أتحقق: هل نجح نموذج بور في التنبؤ بالأطوال الموجية، لطيف انبعاث ذرة الهيدروجين؟ ✓

المثال ١٤

أجد طول موجة الفوتون المنبعث عند انتقال إلكترون ذرة الهيدروجين من مستوى الطاقة الثاني إلى مستوى الطاقة الأول.

المعطيات: $R_H = 1.097 \times 10^7 \text{ m}^{-1}$, $n_f = 1$, $n_i = 2$

المطلوب: $\lambda = ?$

الحلّ:

$$\frac{1}{\lambda} = R_H \left| \frac{1}{n_f^2} - \frac{1}{n_i^2} \right| = 1.097 \times 10^7 \left| \frac{1}{1^2} - \frac{1}{2^2} \right|$$

$$\frac{1}{\lambda} = 1.097 \times 10^7 \times \frac{3}{4} = 8.23 \times 10^6 \text{ m}^{-1}$$

$$\lambda = 1.215 \times 10^{-7} \text{ m} = 121.5 \text{ nm}$$

المثال ١٥

أجد الأطوال الموجية للفوتونات المنبعثة عند انتقال إلكترون ذرة الهيدروجين من مستويات الطاقة: الثالث، والرابع، والخامس، والسادس إلى مستوى الطاقة الثاني. وأقارن الأطوال الموجية التي حصلت عليها بتلك الموجودة في الشكل (١٥)، وفي ضوء ذلك أناقش أفراد مجتمعتي في صحة نموذج بور.

$$R_H = 1.097 \times 10^7 \text{ m}^{-1}, n_f = 2, n_i = 3, 4, 5, 6$$

المطلوب: $\lambda = ?$

الحل :

أحسب طول موجة الفوتون المنبعث عند انتقال الإلكترون من مستوى الطاقة الثالث إلى مستوى الطاقة الثاني من العلاقة:

$$\frac{1}{\lambda} = R_H \left| \frac{1}{n_f^2} - \frac{1}{n_i^2} \right| = 1.097 \times 10^7 \left| \frac{1}{2^2} - \frac{1}{3^2} \right|$$

$$\frac{1}{\lambda} = 1.523 \times 10^6 \text{ m}^{-1}$$

$$\lambda = 6.563 \times 10^{-7} \text{ m} = 656.3 \text{ nm}$$

نكرر العملية عندما $n_i = 4, 5, 6$

6	5	4	3	n_i
410.2 nm	434.1 nm	486.2 nm	656.3 nm	λ القيم المحسوبة
410.1 nm	434.0 nm	486.1 nm	656.2 nm	λ القيم التجريبية

نلاحظ أن الأطوال الموجية تقع كلها ضمن الأطوال الموجية للطيف المرئي، وأن القيم المحسوبة من علاقة بور قريبة جدًا من القيم التجريبية، ما يدل على صحة نموذج بور لذرة الهيدروجين.

لـمهله

انتقل إلكترون ذرة الهيدروجين من مستوى الطاقة الرابع إلى مستوى الطاقة الأول، حسب نموذج بور. أحسب طول موجة الفوتون المنبعث وتردداته وطاقته وزخمه الخطبي.

الطبيعة الموجية-الجسيمية Wave-Particle Duality

لقد تعلّمتُ أنَّ بعض الظواهر المتعلقة بالضوء مثل، الحيود والتداخل لا يمكن تفسيرها إلَّا على افتراض أنَّ الضوء موجاتٌ كهرومغناطيسية. وبالمقابل، توجد ظواهر أخرى مثل، إشعاع الجسم الأسود، والظاهرة الكهربائية، وظاهرة كومبتون، والأطياف الذرية لا يمكن تفسيرها إلَّا على افتراض أنَّ الضوء يتكون من جُسيمات (فوتونات) تمتلك زخمًا خطًّيا يُحسب مقداره من العلاقة: $p = \frac{h}{\lambda}$

فافتراض العلماء أنَّ للإشعاع الكهرومغناطيسي طبيعة موجية-جسيمية مزدوجة **Wave-particle duality of light**. وعلى غرار الطبيعة الموجية-الجسيمية للإشعاع، اقترح العالم دي برووي de Broglie عام 1923 أنَّ للأجسام المادية طبيعة موجية. واستخدم العلاقة السابقة في حساب طول موجيٍّ للجسم على النحو الآتي:

$$\lambda = \frac{h}{p} = \frac{h}{mv}$$

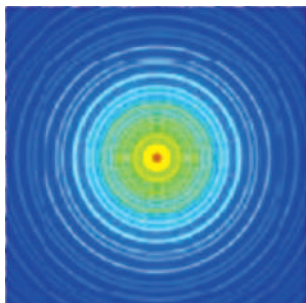
حيث λ : طول موجة دي برووي، ويُطلق عليها اسم الموجة المصاحبة للجسم.

h : ثابت بلاك

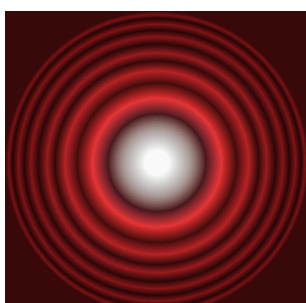
p : مقدار الزخم الخطّي للجسم.

m : كتلة الجسم

v : سرعة الجسم



(أ)



(ب)

- الشكل (16): نمط حيود
(أ) إلكترونات أُسقطت على بلورة من النيكل،
(ب) حزمة ضوئية أُسقطت على فتحة دائريّة.

ومن الجدير بالذكر أنَّ الموجات المصاحبة للأجسام ليست موجات ميكانيكية أو كهرومغناطيسية، وهي ذات أهميّة كبيرة في مجال فيزياء الكم. وعند حساب طول موجة دي برووي المصاحبة لجسم كبير (جاوري)، نجد أنَّها صغيرة جدًّا بل أصغر بكثير من أبعاد الجسم. وفي المقابل، فإنَّ طول موجة دي برووي المصاحبة لجسيم صغير مثل الإلكترون قريب من قيمة المسافة الفاصلة بين الذرات في المواد الصلبة، لذلك تمكّن العالمان دافسون Davisson وجيرمر Germer بعد ثلث سنوات من وضع دي برووي لفرضيته من الكشف تجريبيًّا عن الطبيعة الموجية للإلكترونات عند إسقاط حزمة من الإلكترونات على بلورة من النيكل، حيث المسافة بين ذرات النيكل مُقاربة لطول موجة دي برووي المصاحبة للإلكترونات. وقد أظهرت نتائج التجربة وجود نمط حيود للإلكترونات على نحو ما هو مبيَّن في الشكل (16/أ) الذي يشبه نمط حيود الضوء المبيَّن في الشكل (16/ب).

✓ **أتحقق:** أذكِّر فرضيّة دي برووي.



بعد اكتشاف الطبيعة الموجية للإلكترون استُخلِّصت في ميكروسكوب من نوع خاص الإلكترونيات بدلاً من الضوء، يُسمى ميكروسكوب إلكترونياً. يمكنه إظهار تفاصيل أدق للأجسام من الميكروسكوبات الضوئية ما مكّن العلماء من رؤية الفيروسات والتفاصيل الدقيقة للخلية. أتأمل الشكل.



المثال ١٦

أجد طول موجة دي بروي المصاحبة لـ

أ . إلكترون سرعته $1.00 \times 10^6 \text{ m/s}$

ب . رصاصة كتلتها 50.0 g تتحرك بسرعة $v_b = 400 \text{ m/s}$

المعطيات: $h = 6.63 \times 10^{-34} \text{ J.s}$, $m_e = 9.11 \times 10^{-31} \text{ kg}$, $v_e = 1.00 \times 10^6 \text{ m/s}$

$m_b = 50.0 \times 10^{-3} \text{ kg}$, $v_b = 400 \text{ m/s}$

المطلوب: $\lambda_e = ?$, $\lambda_b = ?$

الحل:

$$\lambda_e = \frac{h}{p} = \frac{h}{mv} = \frac{6.63 \times 10^{-34}}{9.11 \times 10^{-31} \times 1.00 \times 10^6} = 7.27 \times 10^{-10} \text{ m} = 0.727 \text{ nm} \quad \text{أ.}$$

اللحوظ أن طول موجة دي بروي المصاحبة للإلكترون تقارب المسافة الفاصلة بين الذرات في البلورات، لذلك يمكن ملاحظة نمط الحيوذ للإلكترونات على نحو ما جاء في تجربة دافسون وجيرمن.

$$\lambda_b = \frac{h}{p} = \frac{h}{mv} = \frac{6.63 \times 10^{-34}}{50.0 \times 10^{-3} \times 400} = 3.32 \times 10^{-35} \text{ m} = 3.32 \times 10^{-26} \text{ nm} \quad \text{ب.}$$

من الواضح أن طول موجة دي بروي المصاحبة للرصاصة صغير جداً حتى مع المقارنة بالمسافات الفاصلة بين الذرات في البلورات، لذلك لا يمكن مشاهدة نمط حيود للأجسام الظاهرة.

المثال ١٧

تسارع إلكترون من السكون بفرق جهد مقداره (2.7 V) ، أجد طول موجة دي بروي المصاحبة له عند نهاية مدة تسارعه.

المعطيات: $v_i = 0$, $h = 6.63 \times 10^{-34}$ J.s, $m_e = 9.11 \times 10^{-31}$ kg, $\Delta V = 2.7$ V

المطلوب: $\lambda_e = ?$

الحل:

نجد أولاً مقدار السرعة النهاية للإلكترون من العلاقة:

$$KE = \frac{1}{2} m_e v^2 = e \Delta V$$

$$\frac{1}{2} \times 9.11 \times 10^{-31} \times v^2 = 1.6 \times 10^{-19} \times 2.7$$

$$v = 0.97 \times 10^6 \text{ m/s}$$

ثم نجد طول موجة دي بروي المصاحبة له:

$$\lambda_e = \frac{h}{p} = \frac{h}{mv} = \frac{6.63 \times 10^{-34}}{9.11 \times 10^{-31} \times 0.97 \times 10^6} = 7.5 \times 10^{-10} \text{ m} = 0.75 \text{ nm}$$

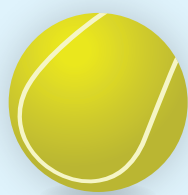
للمزيد

١. قاس سعيد طول موجة دي بروي لحزمة من الإلكترونات فوجدها (2.24×10^{-10} m). أجد فرق الجهد المستخدم في تسريع الإلكترونات.

٢. ضربت مريم كرة تنس كتلتها (60 g) وقطرها (6.5 cm)، فتحركت بسرعة (25 m/s).

أ . أجد طول موجة دي بروي المصاحبة لها.

ب. أقارن بين طول موجة دي بروي وقطر كرة التنس.

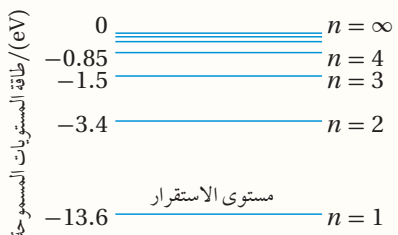


مراجعة الدرس

1. **الفكرة الرئيسية:** أوضح المقصود بكل من: طيف الامتصاص الخطّي، طيف الانبعاث الخطّي.

2. **اذكر حدود نموذج بور.**

3. **استخدم الأرقام:** أجد الزخم الزاوي وطاقة الإلكترون في المدار الرابع لذرة الهيدروجين.

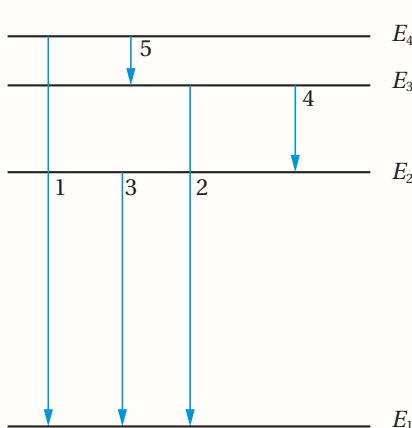


4. **أحلل الشكل:** إلكترون موجود في مستوى الاستقرار لذرة الهيدروجين. بالاعتماد على الشكل المجاور، أجد أصغر ثالث قيم للطاقة يمكن لهذا الإلكترون أن يمتّصها.

5. **أصنّف** الكميّات الفيزيائيّة الآتية (الطول الموجيّ، التردد، الطاقة، الزخم الخطّي) من حيث ارتباطها بالطبيعة الموجيّة أو الجسيميّة للمادّة.

6. **استنتج:** إلكترون في مستوى الطاقة الرابع لذرة الهيدروجين، ما الانتقالات التي يمكن أن يفقد بها الإلكترون طاقته، أوضح ذلك على رسم لمستويات الطاقة.

7. **احسب** طول موجة الإشعاع اللازم لنقل إلكترون من مستوى الاستقرار لذرة الهيدروجين إلى مستوى الطاقة الثالث.



8. **أحلل الشكل:** يمثّل الشكل المجاور مستويات الطاقة المسموحة للإلكترون لذرّة ما، والانتقالات بين مستويات الطاقة (الأرقام من 1 إلى 5).

أ. أي الانتقالات يتّجّع عنها انبعاث فوتون بأكْبر طول موجيّ؟

ب. أي الانتقالات يتّجّع عنها انبعاث فوتون بأكْبر طاقة؟

ج. أي الانتقالات يتّجّع عنها انبعاث فوتون بأقْل تردد؟

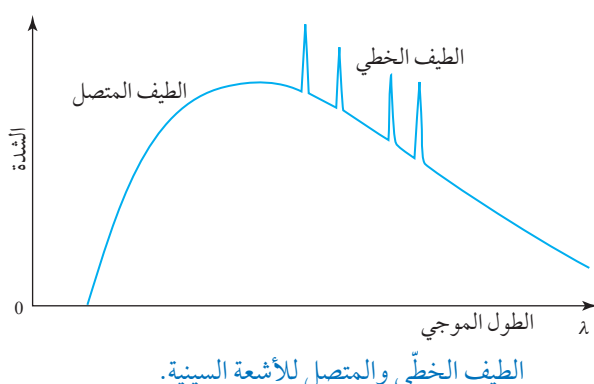
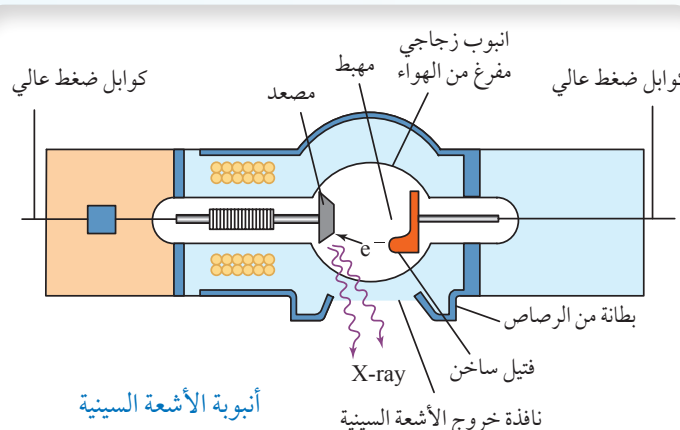
9. **استخدم الأرقام:** بروتون طاقته (10 MeV)، أجد طول موجة دي برووي المصاحبة له حيث كتلة البروتون $(1.67 \times 10^{-27} \text{ kg})$.

الفيزياء والطب: الأشعة السينية

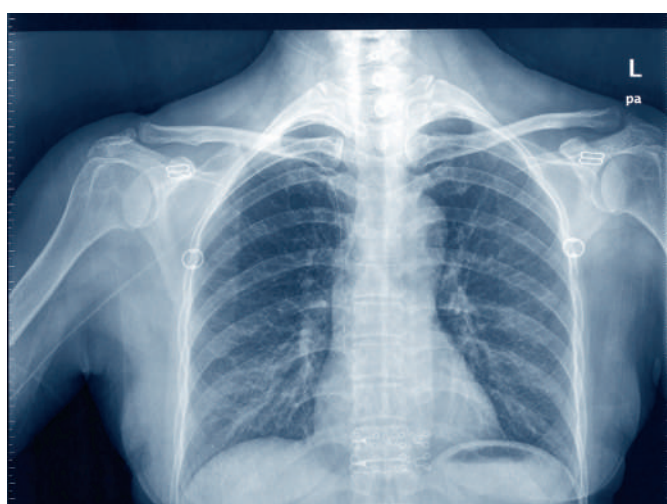
الإثراء والتوضّع

لاحظ العالم رونتغن أنّ أشعة ذات طاقة كبيرة (أطوال موجية قصيرة $m^{-8} - m^{-11} = \lambda = 10^{-8} - 10^{-11}$) تُنبع من سطح فلزٍ عند اصطدام إلكترونات ذات طاقة عالية به، أطلق عليها اسم الأشعة السينية X-ray.

ويتكون أنبوب الأشعة السينية المبيّن في الشكل المجاور من أنبوب مفرغٍ من الهواء يحتوي على فتيل



الطيف الخطى والمتصّل للأشعة السينية.



صورة مأخوذة عن طريق الأشعة السينية للفقس الصدري.

فلزيٌّ تُنبع منه إلكترونات عند تسخينه. تُسرّع الإلكترونات المنبعثة من الفتيل باستخدام فرق جهد كهربائي كبير لتصطدم بعدها بالمصعد، وهو عبارة عن مادة فلزية فتُنبع منها الأشعة السينية. وقد وجد أنّ طيف الأشعة السينية يتكون من طيف متصل وطيف خطّي على نحو ما هو مبيّن في الشكل المجاور. عند اقتراب الإلكترونات المُسرّعة من ذرات المصعد تباطأً بظواهرًا بفعل القوّة الكهربائية، وتفقد جزءاً من طاقتها الحركية التي تظهر على شكل أشعة كهرمغناطيسية ذات طاقة متصلة. وقد يصطدم أحد الإلكترونات المُسرّعة بأحد الإلكترونات في مستويات الطاقة الداخلية للذرة المصعد فيحرّرها، ونتيجة لذلك، ينتقل إلكترون من المستويات الخارجية للطاقة لملء الفراغ الداخلي، ويصاحب ذلك انبعاث فوتون بطاقة محدّدة تساوي فرق الطاقة بين المستويين، ويظهر ذلك على شكل طيف خطّي في طيف الأشعة السينية.

تمتاز الأشعة السينية بقدرتها على النفاذ في الأوساط المادّية، ويعتمد ذلك على الوسط؛ فمتلاً قدرتها على النفاذ خلال الكتلة العضلية تكون أكبر من قدرتها على النفاذ خلال العظام. ولهذا السبب، استُخدمت الأشعة السينية في الطب لتصوير العظام داخل جسم الإنسان، على نحو ما هو مبيّن في الشكل المجاور، والتحقّق من وجود كسور فيها.

مراجعة الوحدة

1. أضع دائرة حول رمز الإجابة الصحيحة لكل جملة مما يأتي:

1. أيٌ مما يأتي يؤدي إلى زيادة الطاقة الحركية العظمى للإلكترونات المتحركة من سطح فلز؟

ب. تقليل شدة الضوء الساقط على الفلز

أ. زيادة شدة الضوء الساقط على الفلز

د. تقليل تردد الضوء الساقط على الفلز

ج. زيادة تردد الضوء الساقط على الفلز

2. وفقاً لتصور الفيزياء الكلاسيكية للظاهرة الكهرومغناطيسية:

أ. تتحرّر الإلكترونات تحرّراً فوريّاً.

ب. تزداد الطاقة الحركية العظمى للإلكترونات المتحركة بزيادة تردد الضوء الساقط.

ج. يستغرق تحرّر الإلكترونات بعض الوقت حتى تتمكن من اكتساب الطاقة اللازمّة للتتحرّر.

د. لا تتحرّر الإلكترونات من سطح الفلز عند الترددات العالية للضوء.

3. طبقاً لظاهرة كومبتون، فإنّ:

أ. سرعة الفوتونات الساقطة وترددّها أكبر من سرعة وتردد الفوتونات المشتّتة.

ب. تردد الفوتونات المشتّتة أكبر من تردد الفوتونات الساقطة.

ج. طول موجة الفوتونات المشتّتة أكبر من طول موجة الفوتونات الساقطة.

د. طاقة الفوتونات المشتّتة أكبر من طاقة الفوتونات الساقطة.

4. إذا تضاعف الطول الموجي للفوتون مرتين فإنّ:

ب. طاقته تبقى ثابتة ويقلّ زخمه إلى النصف.

أ. طاقته تقلّ إلى النصف، وكذلك زخمه الخطّي.

د. طاقته تبقى ثابتة ويبيّن زخمه ثابتاً الخطّي.

ج. طاقته تتضاعف مرتين ويبيّن زخمه ثابتاً الخطّي.

5. يُحسب الزخم الخطّي للفوتون من العلاقة:

$$\frac{h}{f}$$

$$\frac{E}{c}$$

$$Ec$$

$$mv$$

6. شدّة الطاقة المنبعثة من جسم أسود درجة حرارته مقاربة لدرجة حرارة الشمس تكون:

أ. أكبر ما يمكن عند الأطوال الموجية الكبيرة جداً للإشعاع.

ب. أكبر ما يمكن عند الأطوال الموجية القصيرة جداً للإشعاع.

ج. أكبر ما يمكن في منطقة الأطوال الموجية للضوء المرئي.

د. متساوية عند جميع الأطوال الموجية للإشعاع.

7. لم يتطابق نموذج رايلي-جيذر مع النتائج التجريبية لإشعاع الجسم الأسود في منطقة:

ب. الأطوال الموجية القصيرة.

أ. الأطوال الموجية الكبيرة.

د. الأطوال الموجية جميعها للإشعاع.

ج. الترددات الصغيرة.

مراجعة الوحدة

8. إذا انتقل إلكترون من مستوى الطاقة الرابع إلى مستوى الطاقة الثاني في ذرة الهيدروجين، فإن الفرق في الزخم الزاوي للإلكترون حسب نموذج بور، هو:

د. $4\hbar$

ج. \hbar

ب. $3\hbar$

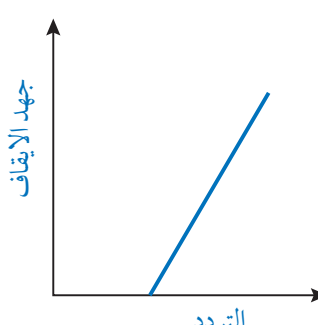
أ. $2\hbar$

9. يزداد طول موجة دي بروي المصاحبة لجسيم إذا:
أ. زادت طاقته الحركية.
ب. زادت كتلته.
ج. زادت سرعته.
د. قلل زخمه الخطّي.

10. يزداد عدد الإلكترونات المتحركة من سطح فلز عند سقوط ضوء عليه بزيادة:
أ. شدة الضوء
ب. تردد الضوء
ج. طول موجة الضوء
د. طاقة الضوء

11. عندما تتفاعل الفوتونات مع الإلكترونات على نحو ما هو في الظاهر الكهرضوئية، فأي العبارات الآتية صحيحة؟
أ. يفقد الفوتون جزءاً من طاقته، ويزداد ترددده.
ب. يفقد الفوتون جزءاً من طاقته، ويقل طول موجته.
ج. يمتّص الإلكترون طاقة الفوتون كلّها.
د. يفقد الفوتون جزءاً من طاقته، ويبقى ترددده ثابتاً.

12. أُسقط فوتونان مختلفان في التردد على الفلز نفسه، فانطلق إلكترونان متساويان في الطاقة الحركية. فإن ذلك يعود إلى:
أ. أن الإلكترونين انطلقا من عمقين مختلفين من الفلز.
ب. اختلاف اقتران الشغل.
ج. اختلاف شدة الضوء.
د. اختلاف طاقة الفوتونين.



13. يمثل الرسم البياني المجاور العلاقة بين جهد الإيقاف وتردد الضوء الساقط في الخلية الكهرضوئية، ميل هذه العلاقة هو:

ب. $\frac{e}{h}$

أ. h

د. $\frac{\Phi}{h}$

ج. $\frac{h}{e}$

2. **استخدم المتغيرات:** إلكترون ذرة الهيدروجين زخمه الزاوي $3\hbar$ ، أجد طاقته.

3. **استخدم المتغيرات:** سقط ضوء طول موجته (300 nm) على سطح فلز اقتران الشغل له (2.2 eV)، أجد ما يأتي:
أ. تردد العتبة للفلز.
ب. الطاقة الحركية العظمى للإلكترونات المتحركة.

4. **أصدر حكماً:** سقط ضوء على سطح فلز فتحرّرت منه إلكترونات، أُبّين ما يحدث لعدد الإلكترونات المتحركة وطاقتها إذا:

أ. زادت شدة الضوء مع بقاء ترددده ثابتاً.

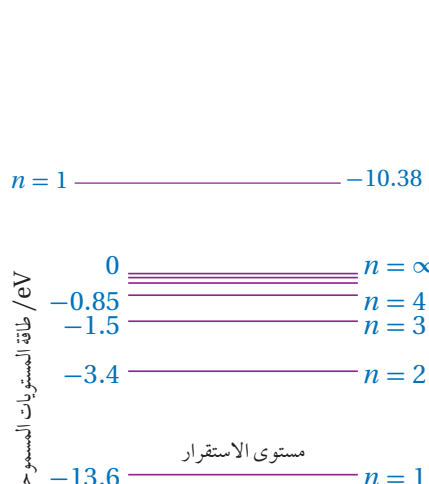
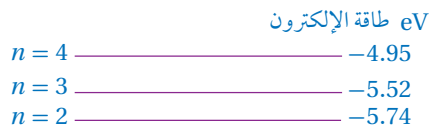
ب. زاد تردد الضوء مع بقاء شدّته ثابتة.

مراجعة الوحدة

5. **أناقش:** إلكترون في مستوى الاستقرار لذرة الهيدروجين، أناقش ما يحدث للإلكترون إذا:

- سقط عليه فوتون طاقته (7.0 eV).
- سقط عليه فوتون طاقته (12.1 eV).
- سقط عليه فوتون طاقته (20.0 eV).

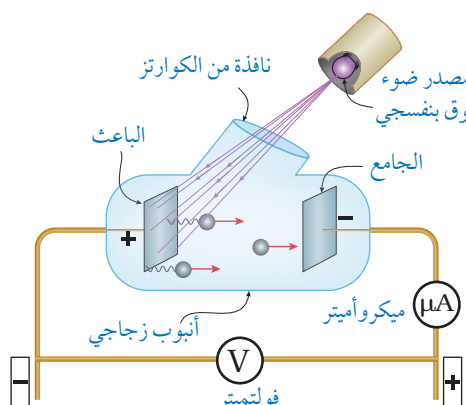
6. **أتوقع:** إلكترون في مستوى الطاقة الثالث لذرة الهيدروجين، أتنبأ بقيم الطاقة التي يمكن أن يخسرها الإلكترون.



9. **استخدم المتغيرات:** سُرّع إلكترون بفرق جهد (ΔV)، أثبت أن طول موجة دي بروي المصاحبة له يساوي

10. **التفكير الناقد** يمثل الشكل المجاور تجربة لدراسة الظاهرة الكهرضوئية قام بها العالم لينارد، وكان تردد الضوء الساقط ($10^{14} \text{ Hz} \times 8$). اعتماداً على ذلك، أجب عمّا يأتي:

أ. أبين ماذا يحدث لقراءة الأميتر عند زيادة فرق الجهد، وأناقش أفراد مجموعتي في سبب ذلك.



ب. عند فرق جهد (2 V) أصبحت قراءة الأميتر (صفر). فماذا

يسمى فرق الجهد في هذه الحالة؟

ج. أناقش أفراد مجموعتي في تأثير زيادة شدة الضوء في قراءة الأميتر عندما تكون قراءته صفرًا.

د. أناقش أفراد مجموعتي في تأثير زيادة تردد الضوء في قراءة الأميتر عندما تكون قراءته صفرًا.

هـ. كيف تعارضت النتائج في (ج) و(د) مع الفيزياء الكلاسيكية؟

وـ. أحسب تردد العتبة لفلز الباعث.

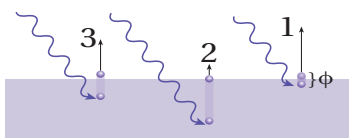
مراجعة الوحدة

11. يظهر في طيف امتصاص غاز الهيليوم (12) خطٌ مُعتمٍ في منطقة الضوء المرئي:
أ. **أفسّر** سبب ظهور هذه الخطوط.

ب. **أحسب:** أحد الخطوط يقابل الطول الموجي (686.7 nm)، أحسب الطاقة التي امتصها الإلكترون ليتتج هذا الخط بوحدة (eV).

12. **أحسب:** سقط ضوء على سطح فلز، فكانت الطاقة الحركيّة العظمى للإلكترونات المنبعثة (2 eV)، وكان أكبر طول موجي يتطلّبه تحرير إلكترونات من سطح الفلز يساوي (682 nm). أحسب ما يأتي:
أ. اقتران الشغل للفلز. ب. فرق جهد القطع (الإيقاف)

13. **أفسّر:** بيّن الشكل المجاور توضيحاً بسيطاً للتصرّف الذي وضعه أينشتين للظاهرة الكهرومغناطيسية.



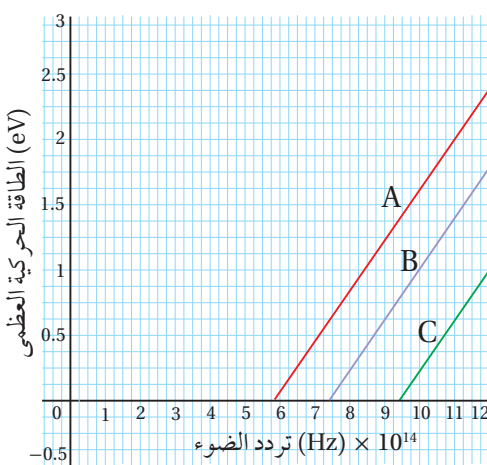
أ. ما فرضيته فيما يتعلق بالضوء؟

ب. ما علاقة عدد الإلكترونات المتحرّرة بشدة الضوء الساقط على الفلز؟

ج. رتب الطاقة الحركيّة للإلكترونات المتحرّرة (1, 2, 3) من الأصغر إلى الأكبر.

د. كيف فسّر أينشتين التفاوت في الطاقة الحركيّة للإلكترونات المتحرّرة؟

14. **أحلّ رسماً بيانياً:** يمثل الشكل المجاور رسماً بيانياً لتغيير الطاقة الحركيّة العظمى مع تردد الضوء الساقط لثلاثة فلزات مختلفة، اعتماداً على الشكل أجيبي عما يأتي:



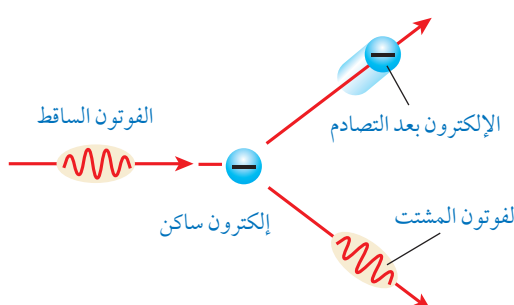
أ. أفسّر توالي المنحنيات الثلاثة.

ب. أجد مقدار ثابت بلانك بوحدة (eV.s) وبوحدة (J.s).
(استخدم الخط A).

ج. أجد اقتران الشغل للفلز (A).

د. إذا سقط ضوء تردد (8 $\times 10^{14}$ Hz)، أُحدّد أيّ الفلزات الثلاثة تنطلق منه إلكترونات ضوئية. وأيها تنطلق منه الإلكترونات بطاقة حركيّة عظمى أكبر.

هـ. أرتّب اقتران الشغل للفلزات تصاعدياً من الأصغر إلى الأكبر.



15. **أحلّ:** أسقط كومبتون أشعة سينية على هدف من الغرافيت على

نحو ما هو مبيّن في الشكل المجاور:

أ. أقارن بين الأشعة المشتّتة والأشعة الساقطة من حيث التردد والطول الموجيّ والسرعة.

ب. ماذا تساوي طاقة الإلكترون بعد التصادم؟

16. **أستخدام المتغيرات:** أجد النسبة بين الزخم الخطّي لفوتون طاقته (E)، والزخم الخطّي لإلكترون حرّ يملك الطاقة نفسها.

17. **أذكر:** للضوء طبيعة مزدوجة موجيّة-جُسيمية، أذكر ظواهر فيزيائية تدلّ على أنّ للضوء طبيعة موجيّة، وظواهر أخرى تدلّ على أنّ له طبيعة جُسيمية.

18. **أستنتج:** الأجسام كلّها في الغرفة تبعث أشعة كهرمغناطيسية، فلماذا لا نستطيع رؤية هذه الأجسام في غرفة مُعتمة؟

19. **أستخدم المتغيرات:** إذا كان الطول الموجي لفوتون قبل الاصطدام بإلكترون حرّ ساكن (10^{-9} m)، وبعد

الاصطدام به صار ($10^{-9} \text{ m} \times 80$)، أحسب مقدار ما يأتي :

أ. الزخم الخطّي للفوتون قبل التصادم.

ب. الطاقة التي اكتسبها الإلكترون في أثناء عملية التصادم.

20. **أفسّر** اعتماداً على النموذج الجُسيمي للضوء:

أ. زيادة شدّة الضوء الساقط تؤدي إلى زيادة التيار الكهربائيّ دون زيادة الطاقة الحركيّة العظمى للإلكترونات المتحركة.

ب. الانبعاث الفوري للإلكترونات من سطح الفلز عند سقوط إشعاع كهرمغناطيسيّ بتردد مناسب على سطحه.

21. **أفسّر:** سقطت حزمتان ضوئيتان بترددتين مختلفتين (f_1, f_2) على سطحي فلزّين مختلفين على الترتيب (X, Y)، اقترا

الشغل لهما ($\Phi_Y > \Phi_X$)، فتحرّرت إلكترونات لها الطاقة الحركيّة العظمى نفسها من سطحي الفلزّين، فأيُّ الحزمتين تردد़ها أكبر؟ أفسّر إجابتي.

22. **أستخدم المتغيرات:** في الخلية الكهربائيّة، إذا كانت الطاقة الحركيّة العظمى للإلكترونات الضوئيّة المنطلقة من

سطح فلزّ الباعث ($1.6 \times 10^{-19} \text{ J}$) جول عند سقوط ضوء طول موجته (380 nm)، أحسب ما يأتي :

أ. اقتران الشغل لفلزّ الباعث. ب. تردد العتبة للفلزّ ج. جهد الإيقاف.

الوحدة

7

الفيزياء النووية

Nuclear Physics

أتأمل الصورة

الفيزياء والطاقة

توضح الصورة أعلاه مفاعلاً نورياً يحول الطاقة النووية إلى طاقة كهربائية، إذ تُعدّ الطاقة النووية من مصادر الطاقة طويلة الأمد.

فما الشروط الواجب توافرها في المناطق التي تُبني فيها المفاعلات النووية؟ وما القوانين والأسس الفيزيائية التي ترتبط بهذه التكنولوجيا؟

الفكرة العامة:

للفيزياء النووية تطبيقات كثيرة في حياتنا تشمل توليد الطاقة الكهربائية، وتشخيص الأمراض وعلاجها، وتدخل في كثير من التطبيقات الصناعية.

الدرس الأول: تركيب النواة وخصائصها

Nucleus Structure and its Properties

الفكرة الرئيسية: تتكون النواة من بروتونات ونيوترونات. وفي الطبيعة بعض النوى تكون مستقرة، وبعضها الآخر يكون مُشعّاً.

الدرس الثاني: الإشعاع النووي الطبيعي

Natural Nuclear Radiation

الفكرة الرئيسية: تبعث النوى غير المستقرة إشعاعات بطيقات مختلفة، ولهذه الإشعاعات مزايا ولها أيضًا أخطار.

الدرس الثالث: التفاعلات النووية

Nuclear Reactions

الفكرة الرئيسية: للتفاعلات النووية تطبيقات مهمة في الحياة مثل توليد الطاقة، وإنتاج النظائر المُشعة التي تُستخدم في تشخيص الأمراض وعلاجها، وفي كثير من التطبيقات الصناعية.



تجربة استهلاكية

استقصاء التفاعل المتسلسل



(أ)



(ب)

المواد والأدوات: 15 قطعة من قطع الدومينو، ساعة توقيت ، قفازان، نظارة واقية.

إرشادات السلامة: ارتداء القفازين والنظارة الواقية.

خطوات العمل:

بالتعاون مع أفراد مجموعتي أُنفّذ الخطوات الآتية:

النموذج الأول:

- أرتّب قطع الدومينو على نحو ما هو مبيّن في الشكل (أ)، على أن تكون كل قطعة مواجّهة لقطعتين من الدومينو.

أقيس: أضرب بسبابتي الطرف العلوي للقطعة الأولى على أن تسقط نحو القطعتين المقابلتين لها، وأقيس الزمن اللازم لسقوط القطع جميعها، وأسجل الزمن في الجدول.

- أكرّر الخطوتين السابقتين ثلاث مرات، وأحسب متوسط الزمن.

النموذج الثاني:

أقيس: أرتّب قطع الدومينو مرة أخرى على نحو ما هو مبيّن في الشكل (ب) على أن تُسقط القطعة الأولى قطعتي الدومينو في الصنف الثاني، وتُسقط قطعة واحدة من الصنف الثاني قطعتي الدومينو في الصنف الثالث، وهكذا دواليك. ثم أقيس الزمن اللازم لسقوط القطع جميعها، وأسجل الزمن في الجدول.

- أكرّر الخطوة السابقة ثلاث مرات لحساب متوسط الزمن اللازم لسقوط القطع جميعها.

التحليل والاستنتاج:

- قارن** بين المتوسط الزمني لسقوط القطع جميعها في النماذجين.
- استنتاج:** أفترض أن كل قطعة دومينو تنتج طاقة عند سقوطها. فبأي النماذجين تكون كمية الطاقة الناتجة في وحدة الزمن أكبر؟
- أحلل:** أتخيل أن كل قطعة دومينو تسقط تمثّل انشطار نواة، فأي النماذجين يمثل تفاعلاً يمكن السيطرة عليه؟

تركيب النواة وخصائصها

Nucleus Structure and its Properties

1

الدرس

بنية النواة Structure of the Nucleus

تتكون الذرة من نواة موجبة الشحنة تتحرّك حولها إلكترونات سالبة الشحنة، ونظرًا إلى أنَّ الذرة متعادلة كهربائيًا، فإنَّ شحنة النواة الموجبة تساوي عدديًّا شحنة الإلكترونات السالبة. وعلى الرغم من أنَّ حجم النواة صغير جدًّا مقارنة بحجم الذرة، فإنَّ معظم كتلة الذرة تتركز في النواة على نحو ما بيَّنت نتائج تجربة رذرفورد.

تتكون النواة من نوعين من الجُسيمات؛ بروتونات موجبة الشحنة ونيوترونات متعادلة الشحنة، وكتلة النيوترون مقاربة لكتلة البروتون، ويُطلق اسم **نيوكليون Nucleon** على كُلِّ من البروتون والنيوترون.

يُطلق على عدد البروتونات داخل النواة اسم **العدد الذري Atomic number** ويرمز إليه بالرمز Z ، في حين يُسمى مجموع عدد البروتونات والنيوترونات داخل النواة **العدد الكتلي Mass number** ويرمز إليه بالرمز A . والعدد الذري يعبر عن شحنة النواة، ويتساوِي عدد الإلكترونات في الذرة المتعادلة. ويُعبر عن نواة أيّ عنصر برموزه الكيميائي، إضافة إلى عددها الذري وعددها الكتلي على النحو الآتي:



حيث X تمثل الرمز الكيميائي للعنصر.

وتتساوِي نوى عنصر معين في عددها الذري، ولكنَّها قد تختلف في عددها الكتلي؛ بسبب اختلاف عدد النيوترونات فيها، وتُسمى **نظائر Isotopes**. ومثال ذلك C_{6}^{12} و C_{6}^{14} ، وهي ذرات للعنصر (الكربون) نفسها كونها تمتلك العدد الذري نفسه.

ونظرًا إلى صغر كتل النوى، فإنَّ وحدة الكيلوغرام (kg) غير مناسبة للتعبير عن كتلتها، لذا عُرِفت وحدة كتلة جديدة تناسب مع كتل النوى **وحدة الكتلة الذرية (amu)**، وتساوِي $\frac{1}{12}$ من كتلة نظير الكربون $^{12}_{6}C$:

$$1 \text{ amu} = 1.660539 \times 10^{-27} \text{ kg}$$

ويوضِّح الجدول (1) كتلة كل من البروتون والنيوترون والإلكترون، بوحدة الكيلوغرام ووحدة الكتلة الذرية (amu) حيث أضيف الإلكترون من أجل المقارنة.

أتحقق: أُعرِّف العدد الكتلي والعدد الذري للنواة. ✓

الفكرة الرئيسية:

تتكوَّن النواة من بروتونات ونيوترونات. وفي الطبيعة بعض النوى تكون مستقرة، وبعضها الآخر يكون مشعًا.

تَاجُّنَ التَّعْلِمَ :

- أميِّز بين العدد الذري والعدد الكتلي لعنصر ما.
- أنقذ استقصاءً باستخدام رسوم توضيحية لتحديد مكوَّنات النواة الأساسية، محدداً خصائص كُلِّ منها من حيث الكتلة والشحنة وعدد كُلِّ منها.
- أحلل منحنى الاستقرار النووي.
- أحسب متوسط طاقة الربط النووية لنواة عنصر بدلالة النقص في كتلة مكوَّنات النواة.

المفاهيم والمصطلحات:

Nucleon	نيوكليون
Atomic Number	العدد الذري
Mass Number	العدد الكتلي
Isotopes	النظائر
Atomic Mass Unit	وحدة الكتلة الذرية
Stability Valley	نطاق الاستقرار
	طاقة الربط النووية
Nuclear Binding Energy	
Strong Nuclear Force	قوة نووية قوية

الجدول (1):

كتلة كُلِّ من البروتون والنيوترون والإلكترون.

الجُسيم	الكتلة (kg)	الكتلة (amu)
إلكترون	9.1094×10^{-31}	0.000549
بروتون	1.672619×10^{-27}	1.007276
نيوترون	1.674929×10^{-27}	1.008665

100

كثافة النواة Density of the Nucleus

معظم النوى تأخذ شكلاً كرويًّا تقريباً، وقد أثبتت التجارب العملية أنَّ نصف قطر النواة (r) يتناسب مع الجذر التكعيبي لعدد其 الكتلي:

$$r = r_0 A^{\frac{1}{3}}$$

حيث r_0 : ثابت يساوي تقريباً $1.2 \times 10^{-15} \text{ m}$

وعليه، فإنَّ حجم النواة (V) يتناسب طرديًّا مع عدد其 الكتلي:

$$V = \frac{4\pi}{3} r^3 = \frac{4\pi}{3} r_0^3 A$$

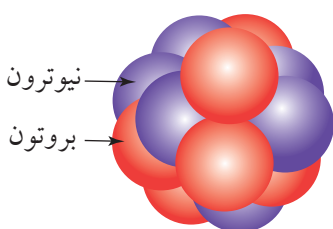
ونظراً إلى أنَّ النواة تتكون من نيوكليونات (بروتونات ونيوترونات) كتلها متقاربة، فإنه يمكن التعبير عن كتلة النواة بدلاً من كتلة النيوكليون على النحو الآتي:

$$m = m_{\text{nuc}} A$$

حيث m_{nuc} : متوسط كتلة النيوكليون وتساوي تقريباً $(1.66 \times 10^{-27} \text{ kg})$.

وبقسمة كتلة النواة على حجمها أجد أنَّ كثافة النواة لا تعتمد على عدد其 الكتلي، ما يعني أنَّ كثافة المادة النووية متساوية في النوى جميعها، وهي تساوي تقريباً $(2.3 \times 10^{17} \text{ kg/m}^3)$ وهي كثافة كبيرة جدًا، فلو افترضنا أنَّ الأرض مصنوعة من مادة نووية فقط (نيوكليونات)، لكانت كرة نصف قطرها تقريباً 180 m فقط.

المثال ١



الشكل (١): نواة الكربون.

يمثل الشكل (١) نواة عنصر الكربون ورمزه C ، حيث تمثل الكرة الحمراء البروتونات، والكرات الزرقاء النيوترونات. باستخدام الشكل المجاور أجد ما يأتي: العدد الذري، الشحنة الكهربائية للنواة، عدد النيوترونات، العدد الكتلي، عدد النيوكليونات.

المعطيات: الشكل

المطلوب: $Z = ?$, $A = ?$, $N = ?$, $q = ?$

الحلّ:

العدد الذري يساوي عدد البروتونات وهو: $Z = 6$

الشحنة الكهربائية للنواة: $q = Ze = 6 \times 1.6 \times 10^{-19} = 9.6 \times 10^{-19} C$

عدد النيوترونات: $N = 6$

العدد الكتلي للنواة: $A = Z + N = 6 + 6 = 12$ ، وهو يساوي عدد النيوكليونات.

لذا تكتب النواة على الشكل: $^{12}_6 C$

المثال 2

أجد لكل من النوى الآتية العدد الذري والعدد الكتلي، وعدد النيوكليونات والنيوترونات، وأضعها في جدول:



المعطيات: $^{16}_8 O, \quad ^{17}_8 O, \quad ^{206}_{82} Pb, \quad ^{208}_{82} Pb$

المطلوب: Z, A, N

الحلّ:	النواة	Z	N	A	عدد النيوكليونات
	$^{16}_8 O$	8	8	16	16
	$^{17}_8 O$	8	9	17	17
	$^{206}_{82} Pb$	82	124	206	206
	$^{208}_{82} Pb$	82	126	208	208

المثال 3

أجد كتلة البروتون بوحدة الكتلة الذرية.

المعطيات: كتلة البروتون $m_p = 1.672622 \times 10^{-27} \text{ kg}$ من جدول (1).

المطلوب: $m_p = ?$ بوحدة amu

الحلّ:

$$m_p = 1.672622 \times 10^{-27} \text{ kg} \times \frac{1 \text{ amu}}{1.660522 \times 10^{-27} \text{ kg}} = 1.007276 \text{ amu}$$

المثال 4

أجد نسبة نصف قطر النواة $X_{Z=8}^A$ إلى نصف قطر النواة $Y_{Z=1}^A$.

المعطيات: $A_X = A, A_Y = 8A$

المطلوب: $\frac{r_X}{r_Y}$

الحلّ:

$$\frac{r_X}{r_Y} = \frac{r_0 \sqrt[3]{A_X}}{r_0 \sqrt[3]{A_Y}} = \frac{\sqrt[3]{A}}{\sqrt[3]{8A}} = \frac{1}{\sqrt[3]{8}} = \frac{1}{2}$$

نطاق الاستقرار Stability Valley

تتكون النواة من نيوترونات متعادلة الشحنة، وبروتونات موجبة الشحنة محصورة في حيز صغير جدًا، وتؤثر البروتونات بعضها في بعض بقوة تنافر كهربائية. ولو كانت قوة التنافر الكهربائية هي القوة الوحيدة التي تؤثر في البروتونات، لانفصلت وابتعدت بعضها عن بعض، فما الذي يمنع النواة من التفكك؟ لا بد من وجود قوة تجاذب بين البروتونات لتنقلب على قوة التنافر الكهربائية، وهذه القوة هي **القوة النووية القوية** Strong nuclear force. وسنكتفي في هذا الكتاب بتسميتها قوة نووية، وهي قوة تجاذب كبيرة بين النيوكليونات، ولا تعتمد على الشحنة الكهربائية؛ أي إنّها تكون قوة تجاذب بين: بروتون وبروتون، بروتون ونيوترون، نيوترون ونيوترون. والقوة النووية قصيرة المدى لا يظهر تأثيرها إلا إذا كانت النيوكليونات قريبة جدًا بعضها من بعض. فإذا زادت المسافة بين نيوكليون وآخر عن 3 fermi تقريبًا، فإنّ القوة النووية تendum بينهما، علماً أنّ ($1 \text{ fermi} = 10^{-15} \text{ m}$)، حيث تُستخدم هذه الوحدة في الفيزياء النووية نظرًا إلى أنّ المسافات متناهية في الصغر على مستوى الأبعاد النووية. يوجد في الطبيعة العديد من النوى المستقرة التي تبقى على حالها بمرور الزمن، ويوجد أيضًا نوى أخرى غير مستقرة قد تفقد طاقة أو تشع جسيمات نووية، وتتحول إلى نوى أخرى أكثر استقراراً، على نحو ما سأتعلّم لاحقًا. فما الذي يجعل بعض النوى مستقرًا، وبعضها الآخر غير مستقر؟ إن استقرار النواة يخضع لعوامل عدّة؛ أحدها نسبة عدد النيوترونات إلى عدد البروتونات في النواة، فلا يمكن لنواة تحتوي على البروتونات فقط (باستثناء ذرة الهيدروجين التي تتكون نواتها من بروتون واحد فقط) أن تكون مستقرة؛ لأنّ قوة التنافر الكهربائية بين البروتونات ستؤدي إلى عدم استقرار النواة. لذا حتى تكون النواة مستقرة فلا بد من أن تحتوي على عدد مناسب من النيوترونات. والنيوترونات متعادلة كهربائيًا؛ لذا، فإنها تسهم في إضافة قوة تجاذب نووية دون أن تزيد من قوة التنافر الكهربائية داخل النواة. ما يعني أن نسبة عدد النيوترونات إلى عدد البروتونات عامل مهم في استقرار النواة. ولمعرفة المزيد عن هذا العامل، أتأمل نسبة عدد النيوترونات إلى عدد البروتونات $\frac{N}{Z}$ لبعض النوى المستقرة المبينة في جدول (2)، وأستقصي هذه النسبة.

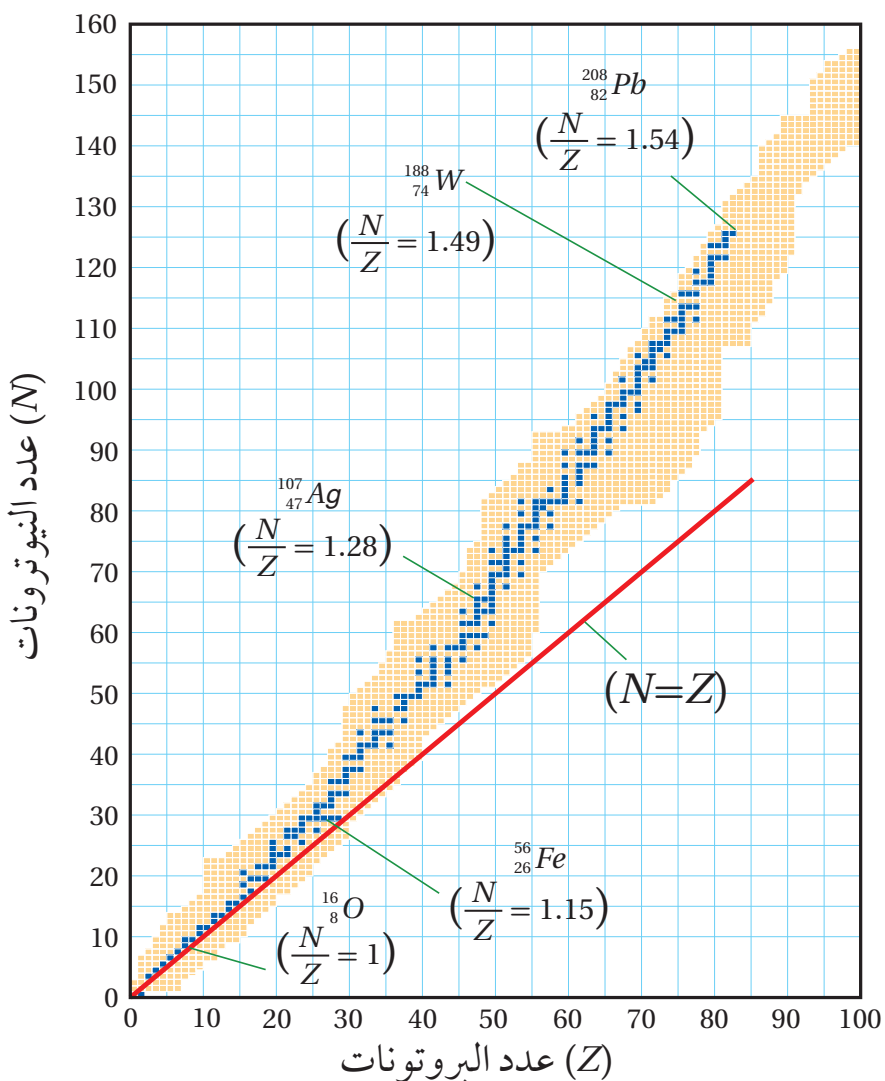
الجدول (2): نسبة عدد النيوترونات إلى عدد البروتونات لبعض النوى المستقرة.

النسبة $\frac{N}{Z}$	عدد النيوترونات (N)	عدد البروتونات (Z)	النواة
1	6	6	$^{12}_6 C$
1	8	8	$^{16}_8 O$
1	20	20	$^{40}_{20} Ca$
1.15	30	26	$^{56}_{26} Fe$
1.4	70	50	$^{120}_{50} Sn$
1.54	126	82	$^{208}_{82} Pb$

الألاحظ من الجدول (2) ما يأتي:

1. النوى المستقرة التي يقلّ عددها الذري عن 20 أو يساويه ($Z \leq 20$) معظمها تمتلك العدد نفسه من البروتونات والنيوترونات.
2. النوى المستقرة التي عددها الذري أكبر من 20 وأقل من 83 تحوي عدداً من النيوترونات أكبر من عدد البروتونات.
3. تزداد نسبة $\frac{N}{Z}$ مع زيادة العدد الذري للنوى المستقرة التي يقع عددها الذري بين 20 و 83.

وعند تمثيل العلاقة بين عدد البروتونات وعدد النيوترونات للنوى ببيانياً، نحصل على منحنى يُسمى منحنى ($N-Z$). أتأمل الشكل (2)، حيث مثّلت النوى المستقرة بنقاط زرقاء في حين تمثل النقاط البرتقالية النوى غير المستقرة، ويلاحظ من الشكل (2) أنَّ النوى المستقرة تقع ضمن نطاق ضيق يُسمى **نطاق الاستقرار** ممثلاً بالنقاط الزرقاء. **Stability valley**



الشكل (2): توزيع النوى حسب عدد البروتونات والنيوترونات ونطاق الاستقرار.

أَفْكَرْ أيهما أكبر القوة النووية المؤثرة في نيوكليليون موجود على سطح النواة أم المؤثرة في نيوكليليون موجود داخل النواة؟ أفسّر ذلك.

الاحظ من الرسم أنّ معظم النوى المستقرة التي لها ($Z \leq 20$) تكون نسبة ($N/Z=1$)، بينما هذه النسبة تقريباً تساوي 1 لنواة $^{12}_6 Li$ مثل $^{16}_8 O$ ، $^{12}_6 C$ و $^{40}_{20} Ca$ بينما بعضها مثل $^{7}_3 Li$ لا تتطبق وبزيادة عدد البروتونات تزداد قوة التنافر بينها، فييتطلب ذلك عدداً أكبر من النيوترونات لجعل القوة النووية هي القوة السائدة في النواة ما يؤدي إلى استقرارها. وتزداد النسبة $\frac{N}{Z}$ بزيادة عدد البروتونات لتصل إلى 1.54 تقريباً لنواة الرصاص $^{208}_{82} Pb$. إن امتلاك نواة الرصاص 126 نيوترونًا مقابل 82 بروتونًا يسهم في زيادة القوة النووية؛ كي تتغلب على قوى التنافر الكهربائية المتبادلة بين البروتونات، ما يؤدي إلى استقرار النواة.

ولا يوجد نوى مستقرة عددها الذري أكبر من 82 ($Z > 82$)؛ لأنّ عدد البروتونات يصبح كبيراً، فتزداد قوة التنافر الكهربائية إلى حدٍ تغلب فيه على قوة التجاذب النووية، ما يؤدي إلى عدم استقرار النواة. فزيادة بروتون واحد يؤدي إلى زيادة كبيرة في مقدار قوة التنافر الكهربائي؛ لأنّه يتنافر مع ما يزيد على 82 بروتوناً، أمّا إضافة نيوترون واحد فلا يضيف إلا قليلاً من قوة التجاذب النووية؛ لأنّها قوة قصيرة المدى، والنيوترون الإضافي يتفاعل مع النيوكليليونات القريبة منه فقط، ولا يؤثر في النيوكليليونات البعيدة عنه.

أَتَحَقَّقُ: ما نسبة $\frac{N}{Z}$ التي تستقرّ عندها النوى التي يقلّ عددها الذري عن 20 ؟ ✓

طاقة الربط النووية Nuclear Binding Energy

بين العالم أينشتين عام 1905 أن الطاقة (E) ترتبط بالكتلة (m) بالعلاقة الآتية:

$$E = mc^2$$

حيث c : سرعة الضوء في الفراغ $c = 3 \times 10^8 \text{ m/s}$
و E : الطاقة المكافئة للكتلة بوحدة الجول (J)
و m : كتلة الجسم بوحدة (kg)
و تُسمى العلاقة السابقة تكافؤ (الكتلة - الطاقة).

خلص أينشتين إلى أن كتلة الجسم هي مقياس لمحتوى الجسم من الطاقة وتحوّل الكتلة إلى طاقة أو العكس حسب العلاقة $E = \Delta mc^2$, حيث Δm تمثل التغيير في كتلة الجسم. وهذه التغييرات يمكن ملاحظتها على مستوى الأجرام الذرية أو دون الذرية (دون الجاهريّة) على نحو ما هو موجود في التفاعلات النووية. وعليه، فإنّه عند دراسة التغييرات على المستوى دون الجاهري لا بدّ من تطبيق مبدأ حفظ (الكتلة - الطاقة) بدلاً من مبدأ حفظ الطاقة.

ونظرًا إلى أن سرعة الضوء كبيرة جدًا، فإنّ تغييرًا صغيرًا جدًا في الكتلة يتبع عنه مقدار هائل من الطاقة. فتغيّر الكتلة بمقدار ($1 \text{ amu} = 1.660539 \times 10^{-27} \text{ kg}$) ينتج عنه طاقة بمقدارها ($1.494449 \times 10^{-10} \text{ J}$), وهذا يساوي (931.5 MeV) تقريبًا، أي أنّ:

$$1 \text{ amu} = 931.5 \text{ MeV}$$

وبذلك عند استخدام الكتلة بوحدة (amu)، يمكن كتابة معادلة تكافؤ (الكتلة - الطاقة) على الصورة:

$$E = \Delta m \times 931.5 \text{ MeV}$$

ومن الناحية العملية، فهذه الصورة لمعادلة تكافؤ (الكتلة-الطاقة) هي المستخدمة في الحسابات النووية.

أتحقق: أكتب بالرموز علاقة تكافؤ (الكتلة - الطاقة).

ترتبط النيوكليونات داخل النواة بعضها بعض بقوة التجاذب النووية القوية. ولفصل النيوكليونات بعضها عن بعض يجب تزويدها بطاقة تمكّنها من التغلب على قوة التجاذب النووية. وتُعرف طاقة الربط النووية **Nuclear binding energy (BE)** بأنّها الطاقة التي يجب تزويدها للنواة لفصل مكوناتها (النيوكليونات) بعضها عن بعض نهائياً.

ووفقاً لأينشتين، فإن تزويد النواة بطاقة لفصل مكوناتها سيؤدي إلى زيادة كتلة مكوناتها. إن فرق الكتلة بين كتلة النواة ومجموع كتل مكوناتها يساوي المكافئ الكتلي لطاقة الرابط النووية، ويُحسب فرق الكتلة من العلاقة الآتية:

$$\Delta m = (Z m_p + N m_n - M)$$

حيث M : كتلة النواة

و m_p : كتلة البروتون

و m_n : كتلة النيوترون

ويتبين من العلاقة السابقة أن مجموع كتل مكونات النواة دائمًا أكبر من كتلة النواة.

وتحسب طاقة الرابط النووية (BE) بوحدة (MeV) لأي نواة من العلاقة الآتية:

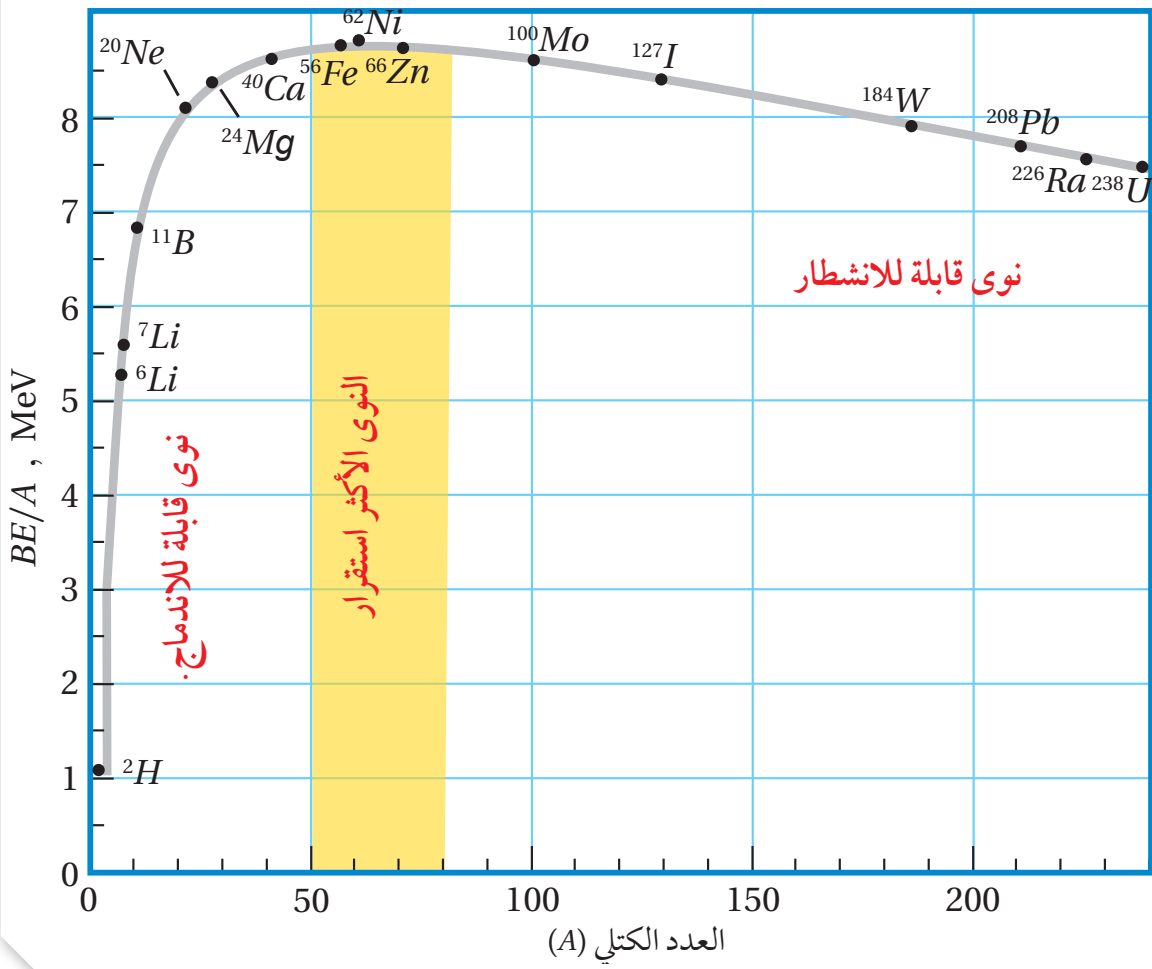
$$BE = \Delta m \times 931.5 = (Z m_p + N m_n - M) \times 931.5$$

ويبيّن الجدول (3) طاقة الرابط النووية لبعض النوى، وعلى نحو ما هو متوقع، كلما زاد عدد النيوكليليونات زادت الطاقة اللازمة لفصلها، أي زادت طاقة الرابط النووية.

عند تزويد النواة بطاقة (تساوي طاقة الرابط النووية) لفصل مكوناتها كلها، فإن هذه الطاقة تتوزع على النيوكليليونات. ويمكن حساب متوسط الطاقة التي حصل عليها كل نيوكليليون بقسمة طاقة الرابط النووية للنواة (BE) على عدد النيوكليليونات التي تحتويها (A). وتسمى (BE/A) طاقة الرابط النووية لكل نيوكليليون التي تُعد مؤشرًا على استقرار النواة. فنواة ($^{62}_{28}Ni$) لها أكبر طاقة ربط نووية لكل نيوكليليون (8.795 MeV)، لذا فهي أكثر استقراراً من النوى الثلاث الأخرى المُبيّنة في الجدول (3). فكلما زادت طاقة الرابط النووية لكل نيوكليليون زاد استقرار النواة.

الجدول (3): طاقة الرابط النووية وطاقة الرابط لكل نيوكليليون لبعض النوى.

BE/A (MeV)	BE (MeV)	A	النواة
5.606	39.24	7	لithium (7_3Li)
8.795	545.26	62	Nickel ($^{62}_{28}Ni$)
8.554	915.26	107	فضة ($^{107}_{47}Ag$)
7.875	1622.32	206	رصاص ($^{206}_{82}Pb$)

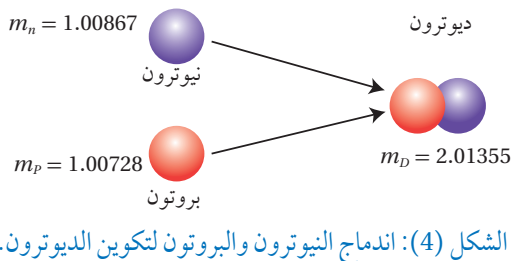


الشكل (3) يمثل العلاقة بين طاقة الربط النووية لـ كل نيوكليون والعدد الكتلي. الألاحظ أن طاقة الربط النووية لـ كل نيوكليون تصل إلى قيمة عظمى عند نواة النيكل (^{62}Ni) يليها نواة الحديد (^{56}Fe) ما يعني أنهما أكثر استقراراً من غيرهما. لذلك فإن النوى الخفيفة تميل إلى الاندماج لتكون نواة أثقل ذات طاقة ربط نووية لكل نيوكليون أكبر. وكذلك فإن انشطار نواة ثقيلة ينتج عنه نوى ذات طاقة ربط نووية لكل نيوكليون أكبر على نحو ما سأدرس لاحقاً في هذه الوحدة. إن طاقة الربط النووية لـ كل نيوكليون تتغير بمقدار قليل مع زيادة العدد الكتلي للنوى التي عددها الكتلي ($A > 50$). ويعزى ذلك إلى صغر مدى القوة النووية القوية، بمعنى أن النيوكليون داخل النواة يتجاذب مع النيوكليونات المحيطة به فقط، ولا يتأثر ببقية النيوكليونات وهذا ما يعرف بإشباع القوة النووية القوية.

الشكل (3): طاقة الربط النووية لـ كل نيوكليون بالعدد الكتلي. اندماج نواتين خفيفتين أو انشطار نواة ثقيلة يحرر طاقة؛ لأن النوى الناتجة ذات طاقة ربط نووية لـ كل نيوكليون أكبر.

أتحقّق: أي النوى أكثر استقراراً؟ ✓

المثال 5



تُسمى نواة الديتيريوم بالديوترون ($D \equiv {}^2H$)، وتتكوّن من بروتون ونيوترون على نحو ما يوضح الشكل (4)، أحسب فرق الكتلة بين كتلة الديوترون ومجموع كتلتي البروتون والنيوترون، ثم أحسب الطاقة المكافئة لها، معتمداً على الجدول الآتي:

الكتلة (amu)	الجسيم أو النواة
1.00728	m_p
1.00867	m_n
2.01355	m_D

المعطيات: الكتل في الجدول

المطلوب: $\Delta m = ?$, $BE = ?$

الحلّ:

$$\Delta m = m_n + m_p - m_D = 2.01595 - 2.01355 = 0.00240 \text{ amu}$$

$$BE = \Delta m \times 931.5 = 0.00240 \times 931.5 = 2.2356 \text{ MeV}$$

ألاحظ أنّ مجموع كتلتي البروتون والنيوترون منفردين أكبر من كتلة الديوترون، فأين ذهب فرق الكتلة؟ لقد تحول فرق الكتلة إلى طاقة. ولفصل الديوترون إلى مكوناته يجب تزويده بطاقة مقدارها يساوي مقدار الطاقة المتحرّرة عند إندماج البروتون والنيوترون لتكونين الديوترون، وتساوي طاقة الرابط النووي للديوترون.

المثال 6

إذا كان فرق الكتلة بين كتلة نواة (${}^{208}_{82}Pb$) وكتلة مكوناتها يساوي ($2.90 \times 10^{-27} \text{ kg}$)، أحسب طاقة الرابط النووية للنواة بوحدة J وبوحدة MeV.

المعطيات:

$$\Delta m = 2.90 \times 10^{-27} \text{ kg}, c = 3 \times 10^8 \text{ m/s}, 1 \text{ amu} = 931.5 \text{ MeV}$$

المطلوب: BE بوحدة J وبوحدة MeV

الحلّ:

بوحدة الجول

$$BE = \Delta m c^2 = 2.90 \times 10^{-27} \times (3 \times 10^8)^2 = 2.61 \times 10^{-10} \text{ J}$$

لحساب الطاقة بوحدة (MeV)، أحول الطاقة من وحدة (J) إلى وحدة (MeV) على النحو الآتي:

$$BE = 2.61 \times 10^{-10} J \times \frac{1 \text{ eV}}{1.6 \times 10^{-19} \text{ J}} = 1.631 \times 10^9 \text{ eV} = 1631 \text{ MeV}$$

أو يمكن تحويل الكتلة من (kg) إلى وحدة (amu).

$$\Delta m = 2.90 \times 10^{-27} \text{ kg} \times \frac{1 \text{ amu}}{1.66 \times 10^{-27} \text{ kg}} = 1.75 \text{ amu}$$

ثم أستخدم العلاقة

$$BE = \Delta m \times 931.5 = 1.75 \times 931.5 = 1630 \text{ MeV}$$

المثال 7

أجد طاقة الربط النووية وطاقة الربط النووية لكُل نيوكليون لنواة كُل من (الرصاص $^{206}_{82}Pb$ والليثيوم 7_3Li)، علمًا أنَّ كتل النوى مرفقة في الجدول الآتي:

$m_{^{206}_{82}Pb}$	$m_{^7_3Li}$	m_n	m_p	الجسيم أو النواة
205.92945	7.01436	1.00867	1.00728	الكتلة (amu)

المعطيات: الجدول، المطلوب:

$BE=?$, $BE/A=?$

الحل:

$$\begin{aligned} BE(Pb) &= (Z m_p + N m_n - M) \times 931.5 \\ &= (82 \times 1.00728 + 124 \times 1.00867 - 205.92945) \times 931.5 \\ &= 1.7426 \times 931.5 = 1623 \text{ MeV} \end{aligned}$$

$$\frac{BE(Pb)}{A} = \frac{1623}{206} = 7.878 \text{ MeV}$$

$$\begin{aligned} BE(Li) &= (Z m_p + N m_n - M) \times 931.5 \\ &= (3 \times 1.00728 + 4 \times 1.00867 - 7.01436) \times 931.5 \\ &= 0.04216 \times 931.5 = 39.27 \text{ MeV} \end{aligned}$$

$$\frac{BE(Li)}{A} = \frac{39.27}{7} = 5.61 \text{ MeV}$$

مراجعة الدرس

1. **الفكرة الرئيسية:** أوضح المقصود بما يأتي: العدد الذري، العدد الكتلي، النيوكليون، طاقة الربط النووية، نطاق الاستقرار.

2. **استخدم المتغيرات:** النواة (X) لها ثمانية أضعاف العدد الكتلي للنواة (Y). أجد نسبة:
أ . نصف قطر النواة (X) إلى نصف قطر النواة (Y).
ب . حجم النواة (X) إلى حجم النواة (Y).
ج. كثافة النواة (X) إلى كثافة النواة (Y).
3. أجد للنواة (${}^7_3 Li$)، عدد البروتونات وعدد النيوترونات وعدد النيوكليونات.

4. **أناقش:** للنيوترون دور مهم في استقرار النواة، أناقش صحة هذه العبارة.

5. **توقع** أي النوى الآتية مستقر، وأيها غير مستقر، مع بيان السبب:
 ${}^{24}_{12} Mg$ ، ${}^{238}_{92} U$

6. **أحسب** طاقة الربط النووية وطاقة الربط النووية لكل نيوكليون لنواتي (النيكل ${}^{62}_{28} Ni$ ، والحديد ${}^{56}_{26} Fe$)، حيث:

$m_{^{56}_{26} Fe}$	$m_{^{62}_{28} Ni}$	m_n	m_p	الجسيم أو النواة الكتلة (amu)
55.92066	61.91297	1.00867	1.00728	(amu)

7. **استنتاج:** يمثل الجدول الآتي: طاقة الربط النووية والعدد الكتلي لبعض النوى، فأى النوى أكثر استقراراً؟
أفسّر إجابتي.

العدد الكتلي	طاقة الربط النووية	النواة
200	1600 MeV	X
56	492 MeV	Y
4	28 MeV	Z

8. **التفكير الناقد:** يلاحظ من منحنى طاقة الربط النووية لكل نيوكليون مع العدد الكتلي أن طاقة الربط النووية لكل نيوكليون لا تتغير كثيراً بعد العدد الكتلي (60). فهل لذلك علاقة بأن القوة النووية قصيرة المدى؟ أفسّر إجابتي.

الاضمحلال الإشعاعي Radioactivity Decay

اكتشف العالم بيكرل عام 1896 أنَّ أملاح اليورانيوم تؤثُّر في الألواح الفوتوجرافية، بالرغم من تغليفها لحمايتها من الضوء ومنعه من التأثير فيها، وخلص إلى أنَّ أملاح اليورانيوم تبعث تلقائياً، دون الحاجة إلى تحفيز خارجيٍّ، نوعاً جديداً من الإشعاع. وفي نهاية القرن التاسع عشر، اكتشفت ماري كوري وزوجها بيير كوري عنصرين جديدين يُصدران نوعاً مماثلاً للإشعاع الصادر عن أملاح اليورانيوم، وأطلقَا عليهما اسمِي البولونيوم والراديوم.

وبيَّنت التجارب أنَّ هناك ثلاثة أنواع من الإشعاعات؛ أطلق عليها أسماء ألفا (α) وبيتا (β) وغاما (γ). وجسيمات ألفا عبارة عن نوى الهيليوم (${}^4_2He^{+2}$)، أمّا جسيمات بيتا فقد تكون بيتا السالبة (${}^{-}\beta$) وهي عبارة عن إلكترونات (${}^{-}e$)، أو بيتا الموجبة وهي عبارة عن بوزيترونات (${}^{+}e$). والبوزيترون جسيم له كتلة إلكترون نفسها، لكنَّه يحمل شحنة موجبة مساوية لشحنة الإلكترون ($C = 1.6 \times 10^{-19}$). أمّا أشعة غاما، فهي أشعة كهرمغناطيسية (فوتونات) ذات تردد عاليٍّ ليس لها كتلة أو شحنة.

والاضمحلال الإشعاعي Radioactive decay هو التحول التلقائي لنوءة غير مستقرة إلى نواة أكثر استقراراً عن طريق انبعاث جسيمات مثل جسيم ألفا أو جسيم بيتا، وغالباً ما يصاحب ذلك انبعاث أشعة غاما.

الإشعاعات النووية الثلاثة؛ ألفا وبيتا وغاما، تُعدُّ جميعها من الإشعاعات النووية المؤينة بسبب قدرتها على تأين ذرات الوسط الذي تمرُّ فيه. ولهذه الأشعة خصائص مميزة مثل، قدرتها على التأين، وقدرتها على النفاذ. إنَّ كتلة جسيمات ألفا نحو أربعة أضعاف كتلة البروتون تقريباً، وشحتها ضعفاً شحنة البروتون، ما يجعل تفاعلاً مع ذرات الوسط الذي تمرُّ فيه كبيراً مقارنة بتفاعل جسيمات بيتا وأشعة غاما، فتفقد طاقتها بسرعة؛ لذا فإنَّ قدرتها على تأين ذرات الوسط الذي تمرُّ فيه أكبر من قدرة جسيمات بيتا وأشعة غاما، في حين أنَّ قدرتها على النفاذ أصغر. وفي المتوسط، تعبِّر جسيمات ألفا في الهواء مسافة (3.7 cm) تقريباً قبل أن

الفكرة الرئيسية:

تبعد النوى غير المستقرة إشعاعات بطاقة مختلفة، وهذه الإشعاعات مزايياً ولها أيضاً أخطاراً.

نتائجُ التعلم:

- أقارن بين جسيمات ألفا وبيتا وأشعة غاما اعتماداً على تفاعلاتها مع الأوساط المادية.

- أستقصي التغييرات التي تطرأ على خصائص النواة عند انبعاث أحد الإشعاعات النووية منها (ألفا أو بيتا أو غاما).

- أحلل رسوماً بيانياً لتوضيح المقصود بمعدل الاضمحلال النووي لعينة من نوى نظير مشع، وأربط ذلك بعمر النصف للنظير المشع.

المفاهيم والمصطلحات:

الاضمحلال الإشعاعي

Radioactive Decay

عمر النصف

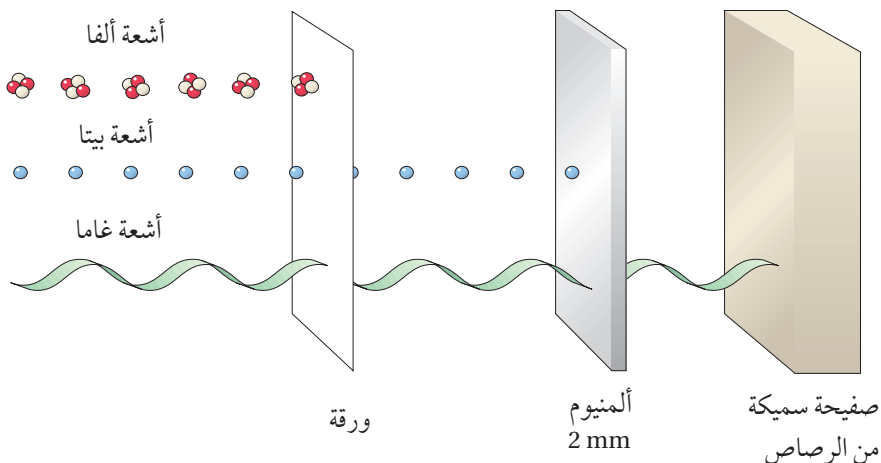
Half-Life الشاطئية الإشعاعية

Activity سلاسل الاضمحلال الإشعاعي الطبيعي

Natural Radioactive Decay Series

الشكل (5): قدرة الأشعة النووية ألفا وبيتا وغاما على النفاذ.

لماذا اخترقت أشعة غاما الورقة والألمنيوم في حين لم تخترق ألفا الورقة؟



تُمتصَّ طاقتها كاملة. ويمكن أيضًا امتصاص طاقة جسيم ألفا كاملة باستخدام حاجز رقيق من الورق. أمّا أشعة غاما، فهي الأقل قدرة على التأين والأكثر قدرة على الاختراق؛ لأنّها لا تحمل شحنة كهربائية، وليس لها كتلة. ولمقارنة قدرة أنواع الإشعاعات النووية الثلاثة على اختراق الأوساط المادّية أتمّل الشكل (5). ويمثّل الجدول (4) مقارنة بين خصائص الإشعاعات النووية.

يُطلق على ابتعاث جسيمات ألفا أو ابتعاث جسيمات بيتا أو ابتعاث أشعة غاما اضمحلالًا. وفيما يأتي سأعرّف المزيد عن هذه الأوضاع الحالات الثلاثة.

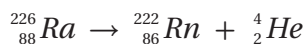
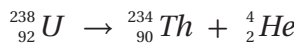
الجدول (4): خصائص الإشعاعات النووية.

غاما	بيتا	الفلا	نوع الأشعة
ليس لها شحنة	$-e$ أو $+e$	$+2e$	الشحنة
صفر	0.0005 amu	4.0015 amu	الكتلة
كبيرة (ستمتراط عدّة من الرصاص)	متوسطة (بعض ملّمترات من الألمنيوم)	قليله (تمتصّ باستخدام حاجز رقيق من الورق)	القدرة على النفاذ
قليله	متوسطة	كبيرة	القدرة على التأين

أتحقق: أقارن بين الإشعاعات النووية ألفا وبيتا وغاما من حيث قدرة كل منها على التأين، وقدرتها على الاختراق. ✓

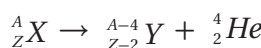
اضمحلال ألفا Alpha Decay

جسيمات ألفا (α) تباعث في الغالب من النوى الثقيلة ($Z > 82$) غير المستقرة، ويترتب نواة جديدة تختلف في عددها الذري وعدها الكتلي عن النواة الأم، على نحو ما هو موضح فيما يأتي:



فجسيم ألفا انباع من نواة نظير البيرانيوم ($^{238}_{92}U$) غير المستقر (النواة الأم) ليترتب عن ذلك نواة نظير الثوريوم ($^{234}_{90}Th$). وعندما يغادر جسيم ألفا النواة، فإنها تخسر بروتونين ونيوترونين؛ لذا فإن العدد الذري للنواة الناتجة يقلّ 2، في حين يقلّ عددها الكتلي بمقدار 4 مقارنة بالنواة الأم، على نحو ما هو واضح في المعادلين السابقتين.

ويمكن التعبير عن معادلة اضمحلال ألفا بالمعادلة الآتية:



اللاحظ أن مجموع العدد الذري للنوى والجسيمات الناتجة من الأضمحلال يساوي العدد الذري للنواة المضمحلة، وكذلك مجموع العدد الكتلي للنوى والجسيمات الناتجة من الأضمحلال يساوي العدد الكتلي للنواة المضمحلة.

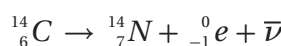
أتحقق: أبين ما التغيير الذي يطرأ على كلّ من العدد الذري والعدد الكتلي للنواة الأم عند انبعاث جسيم ألفا منها.

تحوي أجهزة إنذار الدخان مصدرًا إشعاعيًّا صغيرًا يُطلق جسيمات ألفا، وعادةً ما يكون نظير الأمريسيوم -241. حيث تعمل جسيمات ألفا على تأمين جزيئات الهواء داخل جهاز الإنذار، ما يؤدي إلى مرور تيار كهربائي. وعندما يتمتصّ الدخان بعض جسيمات ألفا، فإنه يقلّل من عدد الأيونات في الهواء ويقلّ التيار الكهربائي، فينطلق جهاز إنذار الحريق، أتمّل الشكل.



اضمحلال بيتا Beta Decay

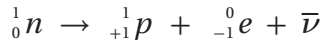
إن النوى التي تقع فوق نطاق الاستقرار تمتلك فائضًا من النيوترونات، ويلزمها تقليل عدد النيوترونات وزيادة عدد البروتونات لتقترب نسبة ($\frac{N}{Z}$) فيها من نسبة الاستقرار، ويتم ذلك عن طريق إشعاع جسيم بيتا السالبة (β^-)، وهو عبارة عن إلكترون (e^-) ومثال ذلك التفاعل الآتي:



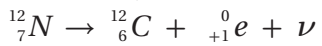
اللاحظ أن العدد الذري للنواة الناتجة قد زاد بمقدار (1)، في حين بقي العدد الكتلي ثابتاً مقارنة بالنواة الأم. والرمز ($\bar{\nu}$) يمثل جسيماً يُسمى ضديد النيوتريون، وهو جسيم متوازن الشحنة، وكتلته متناهية في الصغر.

أفكّر: تُستخدم أشعة بيتا في ضبط سُمك الورق، فهل تصلح أشعة غاما أو ألفا لذلك؟

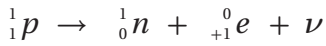
ويتتج جسيم بيتا السالبة من تحلل أحد نيوترونات النواة (وهي نواة الكربون $^{14}_6 C$) في هذا المثال) وتحوله إلى بروتون، وجسيم بيتا السالبة، وضديد النيوترينو ($\bar{\nu}$) على نحو ما في المعادلة الآتية:



أما النوى التي تقع أسفل نطاق الاستقرار، فإنها تمتلك فائضاً من البروتونات، ولكي تصل إلى حالة الاستقرار يتطلب ذلك تقليل عدد البروتونات وزيادة عدد النيوترونات، ويتحقق ذلك بإشعاع جسيم بيتا الموجبة (β^+) وهو عبارة عن بوزترون ($^{0}_{+1} e$). ومثال ذلك التفاعل الآتي:

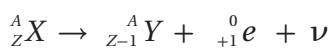
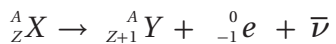


الاحظ أن العدد الذري للنواة الناتجة يقل بمقدار (1) عن النواة الأم، في حين بقي العدد الكتلي ثابتاً. ويطلق على الجسيم (ν) اسم النيوترينو، وهو جسيم متعادل الشحنة ذو كتلة متناهية في الصغر مثل، ضديد النيوترينو. ويتج جسيم بيتا الموجبة من تحلل أحد بروتونات النواة الأم (وهي $^{12}_7 N$) في هذا المثال) وتحوله إلى نيوترون وجسيم بيتا الموجبة ونيوترينو على نحو ما في المعادلة الآتية:



وتتجدر الإشارة إلى أن النواة لا تحتوي على إلكترونات أو بوزترونات، وهذه الجسيمات تنشأ لحظة تحول بروتون إلى نيوترون، أو العكس عند حدوث أضمحلال بيتا، وتغادر النواة مباشرة.

ويمكن التعبير عن معادلتي أضمحلال بيتا السالبة وبيتا الموجبة بالمعادلتين الآتيتين:



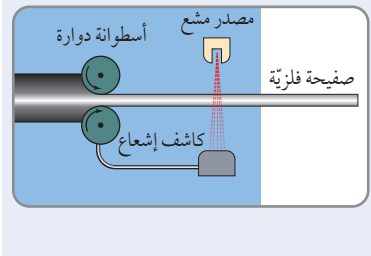
أتحقق: أبین ما التغيير الذي يطرأ على كل من العدد الذري والعدد الكتلي للنواة عند انبعاث جسيم β^+ أو جسيم β^- منها.

اضمحلال غاما Gamma Decay

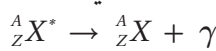
تعلّمتُ أن الإلكترونات تتوزّع في مستويات طاقة في الذرة، كذلك تتوزّع النيوكليونات في مستويات طاقة داخل النواة تبدأ من مستوى الاستقرار Ground state؛ وهو المستوى الأقل طاقة للنواة. وعند إشعاع النواة لجسيمات

الربط بالเทคโนโลยيا

يُستخدم أشعة بيتا في التكنولوجيا لضبط سمك الورق والصفائح الفلزية على نحو ما هو مبين في الشكل أدناه، فعند زيادة سمك الصفيحة أو نقصه يتغير عدد جسيمات بيتا التي تصل إلى الكاشف؛ ليصل على شكل تغير، إلى التيار في جهاز التحكم الذي يقوم بدوره بضبط الجهاز مرة أخرى.

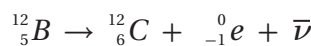


بيتا أو جسيمات ألفا، قد تكون النواة الناتجة في مستوى الاستقرار أو في مستوى إثارة (مستوى طاقة أعلى من مستوى الاستقرار). فإذا كانت النواة الناتجة في مستوى إثارة، فإنها تنتقل إلى مستوى الاستقرار عن طريق إطلاق أشعة غاما، وهي أشعة كهرومغناطيسية (فوتونات) ذات تردد كبير جداً، وليس لها شحنة أو كتلة؛ لذلك لا يتغير العدد الذري أو العدد الكتلي للنواة عند انبعاثها. ويمكن التعبير عن اضمحلال غاما بالمعادلة الآتية:



حيث $^{A_Z}X^*$: النواة في مستوى إثارة.
 ^{A_Z}X : النواة في مستوى الاستقرار.
 γ : أشعة غاما المنبعثة.

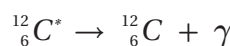
وطاقة أشعة غاما المنبعثة تساوي فرق الطاقة بين مستوى الإثارة ومستوى الاستقرار للنواة الناتجة. ومن الأمثلة على ذلك، نواة البورون $^{12}_5B$ ، حيث تُعد نواة البورون من باعثات بيتا السالبة؛ لأنّها تمتلك عدداً من النيوترونات أكبر من عدد البروتونات، وعدد其 الكتلي أقل من 20، لذا فهي تقع فوق نطاق الاستقرار. ويبيّن الشكل (6) رسمياً تخطيطياً للتغييرات الطاقة عند اضمحلال نواة البورون $(^{12}_5B)$ بطريقتين؛ الطريقة الأولى تنتج نواة الكربون -12 في مستوى الاستقرار حسب المعادلة الآتية:



حيث يتحرّر 13.4 MeV من الطاقة نتيجة لهذا الأضمحلال. والطريقة الثانية ينتج عنها نواة الكربون -12 في مستوى إثارة طاقتها 4.4 MeV ، على نحو ما هو مبيّن في المعادلة الآتية:

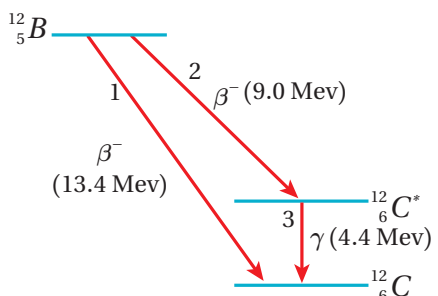


حيث $^{12}_6C^*$ نواة الكربون المثار، ويتحرّر مقداراً من الطاقة يساوي 9.0 MeV نتيجة لهذا الأضمحلال. وتخلص ذرة الكربون المثار ($^{12}_6C^*$) من الطاقة الفائضة بإطلاق أشعة غاما طاقتها تساوي 4.4 MeV لتصل إلى مستوى الاستقرار، حسب المعادلة الآتية:



أنا حقّ: أبين ما يحدث لكّل من العدد الذري والعدد الكتلي للنواة عند انبعاث أشعة غاما منها.

تُستخدم أشعة غاما في الصناعة للكشف عن الشقوق في لحم المعدن، حيث يوضع مصدر غاما على أحد جانبي اللحم، وتتوسّع لوحة فوتوغرافية على الجانب الآخر. وسوف تظهر نقاط الضعف في اللحم على اللوحة الفوتوغرافية بطريقة مشابهة لصورة الأشعة السينية للعظم المكسور.



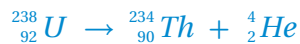
الشكل (6): اضمحلال نواة البورون -12 بطريقتين.



أصمّ باستخدام برنامج عرضًّا ثلاث مستويات (Scratch) من الطاقة، أوضّح فيه نوى تشع ألفا وبيتا وغاما موضحاً فيه التغييرات التي تطرأ على العدد الذري والعدد الكتلي للنواة الأم. ثم أعرضه على زملائي / زميلاتي في الصف.

المثال 8

أدرس المعادلة الآتية، ثم أقارن بين كلٍّ من: العدد الذري، والعدد الكتلي للنواة الناتجة والنواة الأم، وأفسّر سبب هذا التغيير.



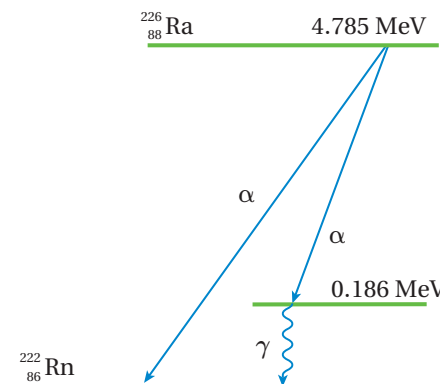
المعطيات: المعادلة

المطلوب: المقارنة بين كلٍّ من: العدد الذري، والعدد الكتلي للنواة الناتجة والنواة الأم، وتفسير سبب هذا التغيير.

الحل:

يتكون جسيم ألفا من بروتونين ونيوترونين، وعند انبعاث جسيم ألفا من النواة الأم فإنّها تخسر بروتونين ونيوترونين؛ لذا يقلّ عددها الذري بمقدار (2)، وعدها الكتلي بمقدار (4).

المثال 9



الشكل (7): اضمحلال نواة

الراديوم - 226

يمثّل الشكل (7) اضمحلال نواة الراديوم ($^{226}_{88}\text{Ra}$) إلى نواة الرادون ($^{222}_{86}\text{Rn}$). عند الكشف عن جسيمات ألفا، وجد أنّها توجد بطاقيتين مختلفتين.

أ. ما مقدار طاقتى جُسيم ألفا؟

ب. ما مقدار طاقة أشعة غاما؟

ج. أكتب معادلة اضمحلال أشعة غاما.

د. أكتب معادلة اضمحلال ألفا الذي ينتج عنه طاقة أكبر.

المعطيات: الشكل (7).

المطلوب: معادلة اضمحلال غاما، معادلة اضمحلال ألفا الذي يُنتج جسيم ألفا بطاقة أكبر.

الحل:

أ. طاقتى جُسيم ألفا هما:

ب. طاقة أشعة غاما

ج. معادلة اضمحلال غاما

د. معادلة اضمحلال ألفا الذي يُنتج عنه طاقة أكبر

المثال ١٠

أدرس التفاعلين النوويين الآتيين، ثم أبين التغيرات التي طرأت على كل من العدد الذري والعدد الكتلي للنواة التي تشع جسيمات بيتا السالبة أو بيتا الموجبة.



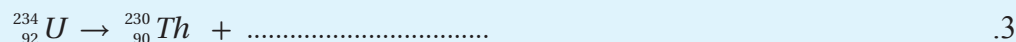
الحلّ:

عند انبعاث جسيم بيتا السالبة، فإن العدد الذري للنواة الأم يزداد بمقدار (1)، في حين لا يتأثر العدد الكتلي.

أما عند انبعاث جسيم بيتا الموجبة، فإن العدد الذري للنواة الأم يقلّ بمقدار (1)، في حين يبقى العدد الكتلي ثابتاً.

لتمرين

أكمل المعادلات النووية الآتية:



البداية ١

استقصاء الأضمحلال الإشعاعي

المواد والأدوات: 50 قطعة نقد معدنية، قفازان، نظارة واقية.

إرشادات السلامة: ارتداء النظارة الواقية والقفازين.

خطوات العمل:

بالتعاون مع أفراد مجموعتي أُنفذ الخطوات الآتية:

- أ. الذي يقطع النقد معًا على سطح الطاولة، ثم أحصي عدد القطع التي ظهرت فيها الصورة للأعلى، وأرمز إليه بالرمز (N)، وأدّونه في الجدول.

(تُعدُّ القطعةُ التي ظهرت فيها الكتابةُ إلى الأعلى نواةً أضمحلات، والقطعة التي ظهرت فيها الصورة إلى الأعلى نواةً مشعةً).

- أجمع القطع التي ظهرت فيها الصورة للأعلى (المشعة) ثم أقيها مرة أخرى، وأحصي عدد القطع التي ظهرت فيها الصورة للأعلى، وأدّونه في الجدول.

- أكرر الخطوة السابقة حتى يصبح عدد القطع التي ظهرت فيها الصورة للأعلى أقلً من أربع قطع.
ثم أدون النتائج في الجدول.

التحليل والاستنتاج:

- ما العلاقة بين مقدار النقص في عدد القطع النقدية التي ظهرت فيها الصورة للأعلى (ΔN) وعدد القطع النقدية التي أقيت في كل محاولة.

- أمثل بيانياً النتائج المرصودة في الجدول بوضع عدد القطع التي ظهرت فيها الصورة للأعلى على محور z ، وعدد المحاولات على محور x .

- أستنتاج: أقسم عدد الصور في كل محاولة على عدد الصور في المحاولة التي تسبقها. هل يمكن استنتاج نمط رياضي يربط $(\frac{N}{N_0})$ بعدد المحاولات (n)؟

- أستنتاج: إن احتمال الحصول على صورة أو كتابة في رمي قطع النقد يساوي $(\frac{1}{2})$ ، ما يعني توقيع الحصول على نصف العدد من الصور في كل محاولة، وهذا يشبه عمر النصف في الأضمحلال الإشعاعي ($t_{1/2}$)،
أستنتاج العلاقة بين عدد المحاولات وعمر النصف وزمن الأضمحلال.

- أتوقع: إذا بدأت بعدد قطع يساوي (1000)، فما عدد القطع المتبقى لدى بعد محاولتين؟

النشاطية الإشعاعية Activity

إن انبعاث جسيمات بيتا أو ألفا من نواة عنصر مشع يؤدي إلى تحول النواة الأم إلى نواة جديدة تسمى النواة الناتجة. وبمرور الزمن يقل عدد النوى المشعة، ويقل عدد النوى التي تضمحل، على نحو ما تناقص عدد الصور مع كل محاولة جديدة في التجربة (1). ويتناصف عدد النوى المضمحلة في الثانية الواحدة طرديًا مع عدد النوى المشعة عند لحظة زمنية معينة على نحو تناصف عدد الصور الظاهرة مع عدد القطع النقدية الملقاة في التجربة السابقة، ويمكن التعبير رياضيًّا عن عدد النوى المشعة المتبقية بدلالة الزمن بالمعادلة الآتية:

$$N(t) = N_0 e^{-\lambda t} \quad (\text{للاطلاع})$$

حيث (λ) : ثابت التناصف، ويُسمى ثابت الأضمحلال Decay constant.

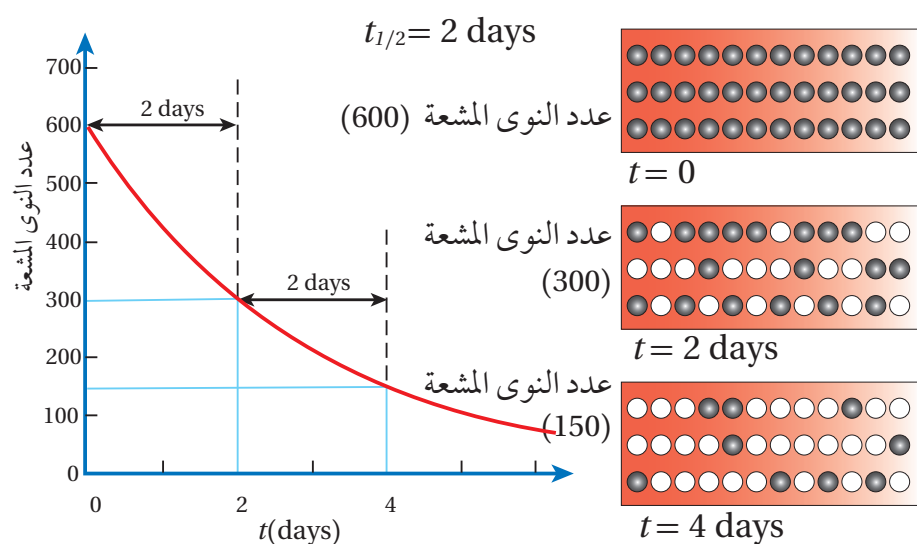
N_0 : عدد النوى المشعة عند الزمن ($t = 0$).

و ($N(t)$) : عدد النوى المشعة المتبقية عند الزمن (t).

أظهرت التجارب أن بعض النظائر المشعة تضمحل خلال مدد زمنية صغيرة، وبعضاها الآخر يضمحل خلال مدد زمنية كبيرة. إن الزمن اللازم لاضمحلال نصف عدد النوى المشعة يُسمى عمر النصف Half-life ($t_{1/2}$). ففي التجربة السابقة يمكن معاملة المحاولة الواحدة معاملة عمر نصف واحد، وبعد كل محاولة يقل عدد القطع التي ظهرت الصورة فيها للأعلى إلى النصف تقريبًا. فلو بدأنا بعينة عدد النوى المشعة فيها (600) مثلاً، وعمر النصف لها يومان ($t_{1/2} = 2 \text{ days}$)، فإن عدد النوى المتبقية منها بعد يومين (300)، وبعد يومين آخرين يصبح (150) وهكذا، على نحو ما يوضح الشكل (8).

الربط بالرياضيات

لقد استُخدم التكامل لحل هذه المسألة ما يوثق الصلة بين الفيزياء والرياضيات.



الشكل (8): تناصف عدد النوى المشعة مع الزمن.

الجدول (5): عمر النصف لبعض النظائر المشعة.

العنصر	عمر النصف
$^{238}_{92} U$	4.47×10^9 y
$^{235}_{92} U$	7.04×10^8 y
$^{232}_{90} Th$	1.41×10^{10} y
$^{137}_{55} Cs$	30.08 y
$^{60}_{27} Co$	5.27 y
$^{191}_{76} Os$	15.4 days
$^{211}_{83} Bi$	2.14 min
$^{144}_{56} Ba$	11.9 s

ويبيّن الجدول (5) بعض النظائر المشعة وعمر النصف لها.

ويمكن ربط عمر النصف وعدد النوى المشعة المتبقية على النحو الآتي:

$$N_0 \xrightarrow{t_{1/2}} \frac{N_0}{2} \xrightarrow{2t_{1/2}} \frac{N_0}{4} \xrightarrow{3t_{1/2}} \frac{N_0}{8} \xrightarrow{4t_{1/2}} \frac{N_0}{16} \dots \dots$$

حيث يمكن التوصل إلى العلاقة الرياضية الآتية:

$$\frac{N}{N_0} = \left(\frac{1}{2}\right)^{\frac{t}{t_{1/2}}}$$

يسهل استخدام هذه العلاقة عندما يكون (t) عدداً صحيحاً من مضاعفات عمر النصف.

ويرتبط عمر النصف ($t_{1/2}$) بثابت التحلل (λ) بالعلاقة الآتية:

$$t_{1/2} = \frac{\ln(2)}{\lambda} = \frac{0.693}{\lambda}$$

ويلاحظ من العلاقة السابقة أن عمر النصف يتناسب عكسيًا مع ثابت الأضمحلال، فعندما يكون ثابت الأضمحلال كبيراً يكون عمر النصف صغيراً.

وبمرور الزمن يتناقص عدد النوى المشعة، ما يؤدي إلى تناقص معدل الأضمحلال وهو ما يعرف باسم النشاطية الإشعاعية Activity وهي تعبر عن عدد الأضمحلالات في الثانية الواحدة، ويرمز إليها بالرمز (A)، وتحسب بالعلاقة الآتية:

$$A = \lambda N$$

وعند ($t = 0$) فإن $N_0 = A_0$ وهي النشاطية الإشعاعية الابتدائية.

تقاس (A) بوحدة بيكريل (Bq)، وهي تساوي أضمحلالاً واحداً في الثانية الواحدة، أو بوحدة كوري (Ci) curie، حيث $(1 \text{ Ci} = 3.7 \times 10^{10} \text{ Bq})$.
وعند مرور زمن يساوي عمر النصف على العينة المشعة، فإن النشاطية الإشعاعية لها تقليل إلى النصف. لذلك يمكن ربط بينهما على النحو الآتي:

$$A_0 \xrightarrow{t_{1/2}} \frac{A_0}{2} \xrightarrow{2t_{1/2}} \frac{A_0}{4} \xrightarrow{3t_{1/2}} \frac{A_0}{8} \xrightarrow{4t_{1/2}} \frac{A_0}{16} \dots \dots$$

وعليه يمكن التوصل إلى العلاقة الرياضية الآتية:

$$\frac{A}{A_0} = \left(\frac{1}{2}\right)^{\frac{t}{t_{1/2}}}$$

أتحقق: أُعْرِف النشاطية الإشعاعية وعمر النصف. ✓

المثال ١١

يُستخدم الغاليوم - 67 في التسخیص الطبی. إذا علّمت أن ثابت الأضمحلال له ($2.4 \times 10^{-6} \text{ s}^{-1}$)، وقىست النشاطية الإشعاعية لعينة منه فكانت (4680 Bq)، فأجد الزمن اللازم حتى تصبح النشاطية الإشعاعية (1170 Bq).

المُعطيات: $A_0 = 4680 \text{ Bq}$, $\lambda = 2.4 \times 10^{-6} \text{ s}^{-1}$, $A = 1170 \text{ Bq}$

المطلوب: $t = ?$

الحل:

$$\frac{A}{A_0} = \left(\frac{1}{2}\right)^{\frac{t}{t_{1/2}}} \Rightarrow \frac{1170}{4680} = \left(\frac{1}{2}\right)^{\frac{t}{t_{1/2}}}$$

$$\frac{1}{4} = \left(\frac{1}{2}\right)^{\frac{t}{t_{1/2}}} \Rightarrow \left(\frac{1}{2}\right)^2 = \left(\frac{1}{2}\right)^{\frac{t}{t_{1/2}}}$$

$$\frac{t}{t_{1/2}} = 2 \Rightarrow t = 2t_{1/2} = \frac{2 \times 0.693}{\lambda} = \frac{1.39}{2.4 \times 10^{-6}} = 5.8 \times 10^5 \text{ s}$$

وهذا يعني أن

المثال ١٢

يُستخدم نظير الكوبالت - 60 في تعقيم الأجهزة الطبية وفي علاج مرض السرطان. عمر النصف لنظير الكوبالت ($^{60}_{27} \text{Co}$) يساوي (5.27 y)، قىست النشاطية الإشعاعية لعينة منه عند لحظة زمنية معينة فوجدها ($0.200 \mu\text{Ci}$). أجد ما يأتي:

أ. عدد النوى المشعة في العينة.

ب. النشاطية الإشعاعية بعد زمن يساوي ثلاثة أضعاف عمر النصف.

المُعطيات: $A_0 = 0.200 \mu\text{Ci}$, $t_{1/2} = 5.27 \text{ y}$

المطلوب: $N_0 = ?$, $A(t = 3t_{1/2}) = ?$

الحل:

أ. أولاً نحوّل النشاطية الإشعاعية من وحدة μCi إلى وحدة Bq

$$A_0 = 0.200 \mu\text{Ci} = 0.200 \times 3.7 \times 10^{10} \times 10^{-6} = 7.40 \times 10^3 \text{ Bq}$$

أحوّل عمر النصف إلى وحدة (s)

$$t_{1/2} = 5.27 \text{ y} = 5.27 \times 365 \times 24 \times 60 \times 60 = 166 \times 10^6 \text{ s}$$

وأجد λ من العلاقة

$$\lambda = \frac{0.693}{t_{1/2}} = \frac{0.693}{166 \times 10^6} = 4.18 \times 10^{-9} \text{ s}^{-1}$$

ثم أعرض في العلاقة

$$A_0 = \lambda N_0$$

$$7.4 \times 10^6 = 4.18 \times 10^{-9} N_0$$

$$N_0 = 1.8 \times 10^{15} \text{ atoms}$$

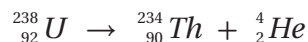
بـ. بعد مرور زمن بمقدار عمر نصف واحد تقل النشاطية الإشعاعية للنصف، وتصبح ($0.100 \mu\text{Ci}$)، وبعد مرور عمر نصف ثانٍ تصبح النشاطية الإشعاعية ($0.050 \mu\text{Ci}$)، وبعد عمر نصف ثالث تصبح النشاطية الإشعاعية ($0.025 \mu\text{Ci}$) .

للمزيد

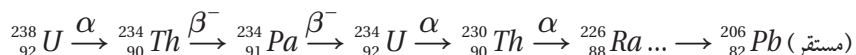
يُستخدم اليود المشع في علاج سرطان الغدة الدرقية، فإذا كان عمر النصف له (8 days) تقريرًا، أجد الزمن اللازم حتى يضمحل (75%) منه.

سلسلة الأضمحلال الإشعاعي الطبيعي Natural Radioactive Decay Series

اليورانيوم ($^{238}_{92}\text{U}$) عنصر مشع يضمحل ليتتج عنه نظير الثوريوم ($^{234}_{90}\text{Th}$)، حسب التفاعل الآتي:

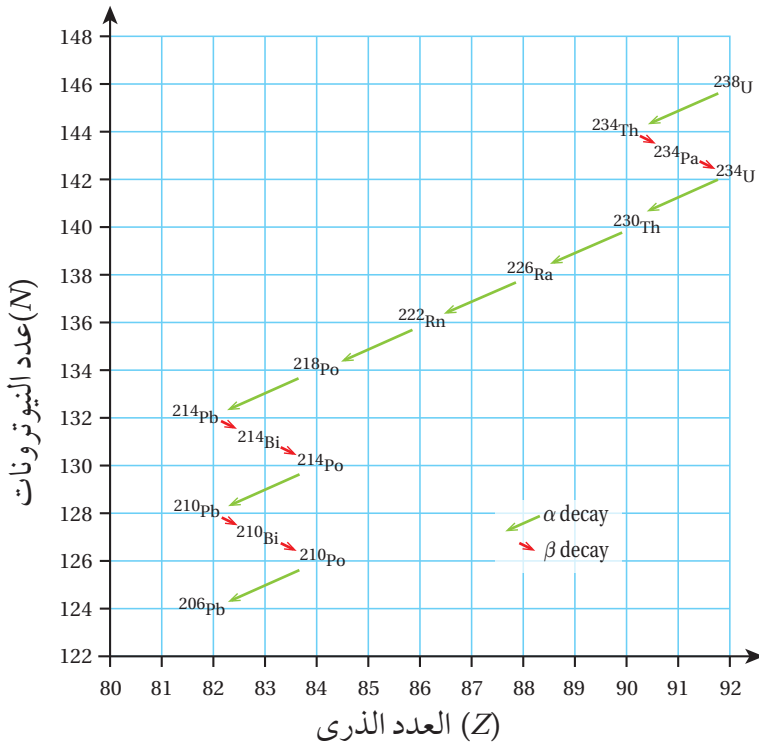


لكن نظير الثوريوم ($^{234}_{90}\text{Th}$) مشع أيضًا، ويضمحل ليتتج عنه نظير مشع جديد $^{234}_{91}\text{Pa}$ ، وتنتمي سلسلة الأضمحلالات عن طريق إشعاع جسيمات ألفا أو بيتا حتى تنتهي بعنصر مستقر على النحو الآتي:



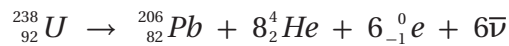
تسمى مجموعة الأضمحلالات التلقائية التي تبدأ بعنصر مشع ثقيل (موجود في الطبيعة)، وتنتهي بعنصر مستقر من خلال أضمحلالات عدّة لألفا وبيتا **سلسلة الأضمحلال الإشعاعي الطبيعي** Natural radioactive decay chains

وسلسلة الأضمحلال الإشعاعي الطبيعي المشهورة ثلاثة سلاسل، هي: سلسلة اليورانيوم وتبدأ بنظير اليورانيوم $^{238}_{92}\text{U}$ ، وسلسلة الثوريوم وتبدأ بنظير الثوريوم $^{232}_{90}\text{Th}$ ، وسلسلة الأكتينيوم وتبدأ بنظير اليورانيوم $^{235}_{92}\text{U}$. وجميع هذه



الشكل (9): سلسلة اضمحلال اليورانيوم.

السلسل تبدأ بنظير ثقيل مشعّ عمر النصف له كبير، وتنتهي بأحد نظائر الرصاص المستقر. وتُسمّى كل سلسة باسم النظير المشعّ الذي له أطول عمر نصف فيها. ونظرًا إلى أنَّ اليورانيوم $^{238}_{92} U$ له أكبر عمر نصف (4.47×10^9 y) بين النظائر المشعة في سلسلة اليورانيوم، فقد سُمِّيت باسمه. ويمكن التعبير عن هذه السلسلة بيانياً على منحنى ($N-Z$) على نحو ما هو مبين في الشكل (9). ويمكن التعبير عن هذه السلسلة أيضًا بالمعادلة الآتية:



الألاحظ من المعادلة السابقة أنَّ العدد الذريّ والعدد الكتلي محفوظان.

أتحقّق: ما المقصود بـسلسل الأضمحلال الإشعاعي الطبيعي؟ ✓

الربط بعلوم الأرض

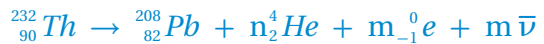
غاز الرادون المشع أحد النظائر في سلسلة اليورانيوم. يستقصي الجيولوجيون نسبة الرادون في المياه الجوفية والتربة للتنبؤ بالنشاط الزلزالي. فزيادة تركيزه قد تكون علامات على وقوع زلزال قريب. ويستطيع الجيولوجيون تقدير عمر الصخور من معرفة نسبة الرصاص إلى اليورانيوم -238 في الصخور.

الربط بعلم الآثار

تحتوي أجسام الكائنات الحية على نظير الكربون المشع ($^{14}_6 C$)، ونسبة لنظير الكربون المستقر ($^{12}_6 C$) ثابتة في أجسام الكائنات الحية خلال وجودها على قيد الحياة. وب مجرد موت الكائن الحي تقل هذه النسبة. وبمعرفة هذه النسبة يستطيع علماء الآثار حساب زمن وفاة الكائن الحي.

المثال 13

يمكن التعبير عن سلسلة اضمحلال الثوريوم بالمعادلة:



أجد عدد جسيمات بيتا السالبة (m)، وعدد جسيمات ألفا (n) في المعادلة السابقة.

المعطيات: المعادلة النووية.

المطلوب: $n = ?$, $m = ?$

الحل:

أطبق أولاً مبدأ حفظ العدد الكتلي لحساب (n)

$$\sum A_{before} = \sum A_{after}$$

$$232 = 208 + 4n + 0(m)$$

$$n = \frac{232 - 208}{4} = 6$$

ثم أطبق مبدأ حفظ العدد الذري لحساب (m)

$$\sum Z_{before} = \sum Z_{after}$$

$$90 = 82 + 2 \times 6 - m$$

$$m = 4$$

تمرين

تمثل المعادلة الآتية جزءاً من سلسلة اليورانيوم:



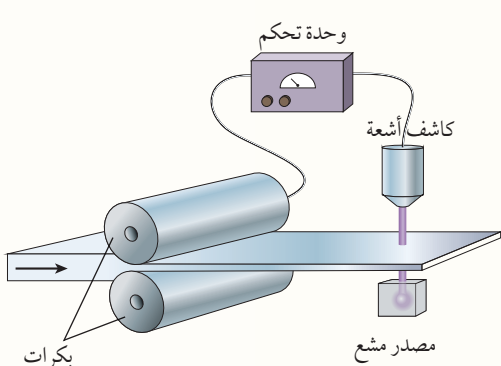
أ. ما اسم الجسيمين (g) و (h)؟

ب. إذا انبعث 6 جسيمات ألفا وجسيما بيتا السالبة للوصول إلى النواة (${}_Z^A X$)، أجد Z و A .

مراجعة الدرس

- الفكرة الرئيسية:** أوضح المقصود بالاضمحلال الإشعاعي وعمر النصف والنشاطية الإشعاعية.
- أفسر** انبعاث أشعة غاما من النواة.
- استخدم المتغيرات:** يقوم أسامة بدراسة نظير مشع في مختبر الإشعاع في جامعته. قاس نشاطيته الإشعاعية فوجدها (400) اضمحلال لكل دقيقة، وبعد ثلاث ساعات أصبحت (100) اضمحلال لكل دقيقة. أجد عمر النصف للنظير المشع بالدقيقة.
- أحسب:** نظير مشع نشاطيته الإشعاعية الآن (800 Bq), وثابت الاضمحلال له ($4 \ln(2) \text{ days}^{-1}$), فما المدة الزمنية اللازمة حتى تصبح نشاطيته الإشعاعية (100 Bq)؟
- ستخدم المتغيرات:** عينة من نظير الثوريوم ($^{228}_{90} \text{Th}$) تحتوي على ($2.53 \times 10^{21} \text{ atoms}$) وثابت الاضمحلال له يساوي ($1.15 \times 10^{-8} \text{ s}^{-1}$), أجد:
 - عمر النصف للثوريوم ($^{228}_{90} \text{Th}$).
 - النشاطية الإشعاعية لهذه العينة.
- أحلل:** الفلور - $^{18}_{9} \text{F}$ نظير مشع معدّ صناعيًّا، عمر النصف له (110 min)، يستخدم في التصوير الطبي حيث يضمحلّ ليعطي أحد نظائر الأكسجين وبوزيترون. أعدّت سارة عينة منه تحتوي على ($2.1 \times 10^{16} \text{ atoms}$) لتصوير أحد المرضى.
 - أكتب معادلة موزونة لاضمحلال الفلور.
 - أحسب ثابت الاضمحلال له.
 - ما عدد النوى المشعّ بعد مضي (220 min)؟

7. **أفسر:** انبعاث جسيمات بيتا السالبة من النواة بالرغم من عدم احتواء النواة على إلكترونات.

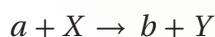


- التفكير الناقد:** تُستخدم الأشعة النووية في التحكم في سمك المواد المصنّعة على نحو ما هو مبيّن في الشكل. حيث يوضع أسفل الشريط مصدر مشعّ، وتُستقبل الأشعة بعد نفاذها من الشريط عن طريق كاشف يُرسل بدوره إشارة إلى جهاز التحكم عن مقدار الأشعة التي وصلت إليه. فأيّ الأشعة النووية أفضل في هذا الاستخدام؟ ولماذا؟

التفاعل النووي Nuclear Reaction

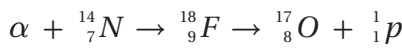
يحدث تفاعل نووي Nuclear reaction عند اصطدام نواة ذرتين، أو اصطدام جسيم نووي مثل، البروتون أو النيترون بنواة ذرة أخرى، وقد ينتج عن ذلك نواة جديدة أو أكثر.

ولإحداث تفاعل نووي بين جسيم ونواة، تندف النواة بذلك الجسيم وعندما يقترب منها مسافة كافية، يبدأ عندها تأثير القوة النووية. ويمكن التعبير عن التفاعل النووي بالصورة الآتية:



حيث يسمى الجسيم (a) القذيفة Projectile في حين تسمى (X) النواة الهدف Target، و (b) الجسيم الناتج من التفاعل النووي، و (Y) النواة الناتجة.

في بعض التفاعلات النووية، تمتضي النواة الهدف القذيفة لتشكل نواة مركبة Compound nucleus والتي لا تثبت أن تضمحل لتعطي نوى وجسيمات من الممكن أن تختلف عن تلك الداخلة في التفاعل. ومن الأمثلة على ذلك، ما قام به رذرфорد عام 1919 عندما قذف نواة النيتروجين (N_7^{14}) بجسيمات ألفا (α)، ونتج عن ذلك تحرر بروتون على النحو الآتي:



لقد بدأ هذا التفاعل بنواة النيتروجين (N_7^{14}) المستقرة مع جسيم ألفا (α) لتكوين نواة مركبة وهي نظير الفلور (F_9^{18}) غير المستقر، والتي لا تثبت أن تضمحل لينتاج عنها نواة مستقرة (O_8^{17}) وبروتون (p_1^1). ومن الأمثلة الأخرى على القذائف النووية، البروتونات (p_1^1) ونواة الديتيريوم (H_1^2)، والنيترونات (n_0^1). إن شحنة جسيمات ألفا والبروتونات موجبة، لذا تُسرع حتى تمتلك طاقة حرارية كافية تُمكّنها من التغلب على قوة التنافر الكهربائية مع النواة الهدف. أمّا النيترونات لكونها متعادلة كهربائياً، فلا تتأثر بقوة تنافر كهربائية؛ لذا تُعد من القذائف المهمة في إنتاج النظائر المشعة، التي تُستخدم في العديد من مجالات الحياة على نحو ما تعلّمت سابقاً.

الفلدة الرئيسية:

للتفاعلات النووية تطبيقات مهمة في الحياة مثل توليد الطاقة، وإنتاج النظائر المشعة التي تستخدم في تشخيص الأمراض وعلاجها، وفي كثير من التطبيقات الصناعية.

نتائج التعلم:

- أفسر إمكانية حدوث الاندماج النووي بين النوى الخفيفة فقط، وإمكانية حدوث الانشطار للنوى الثقيلة.
- استخدم رسوماً توضيحية لأشرح كيف يولّد المفاعل النووي الطاقة الكهربائية.
- أذكر استخدامات النظائر المشعة في مجالات الحياة المختلفة، وفوائدها ومضارها.
- أبين الآثار الإيجابية والسلبية الناجمة عن استخدام الطاقة النووية.
- أذكر أن الطاقة النووية واستخداماتها السلمية أحد مصادر الطاقة البديلة.
- أحسب الطاقة الناتجة عن تفاعل نووي انشطاري أو اندماجي.

المفاهيم والمصطلحات:

Nuclear Reaction	التفاعل النووي
Compound Nucleus	النواة المركبة
Chain Reaction	التفاعل المتسلسل
Enrichment	التخصيب
Critical Mass	الكتلة الحرجة
Nuclear Fission	الانشطار النووي
Nuclear Fusion	الاندماج النووي



أحسب الطاقة الممتصة أو المتحرّرة من التفاعل (Q) من الفرق في الكتلة بين كتل النوى والجسيمات الداخلة في التفاعل وتلك الناتجة عنه، والتي تحسّب باستخدام العلاقة الآتية:

$$Q = [m_a + m_X - (m_b + m_Y)] \times 931.5$$

حيث الكتل بوحدة (amu) و Q بوحدة (MeV).

إذا كانت قيمة (Q) موجبة يكون التفاعل منتّجاً للطاقة Exoergic، وإذا كانت قيمة (Q) سالبة يكون التفاعل ماصاً للطاقة Endoergic.

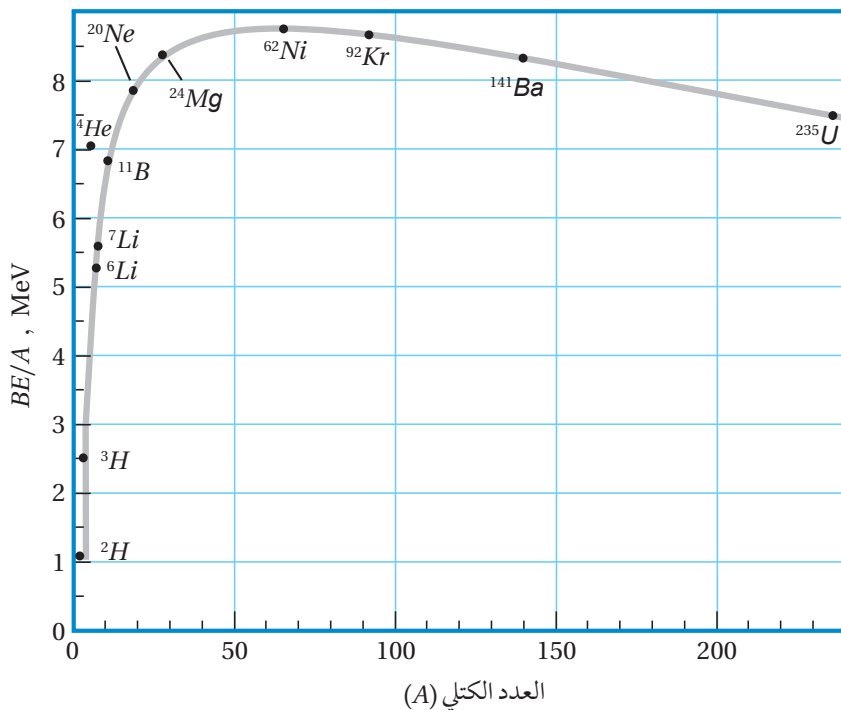
أنا حقّ: أوضّح المقصود بالتفاعل النووي. ✓

أفخ: في التفاعلات النووية يتم تسريع القذيفة وتوجيهها نحو النواة الهدف. فما المجالات المستخدمة في تسريع القذيفة وتوجيهها نحو النواة الهدف؟ وما دور كل منها؟

الانشطار النووي Nuclear Fission

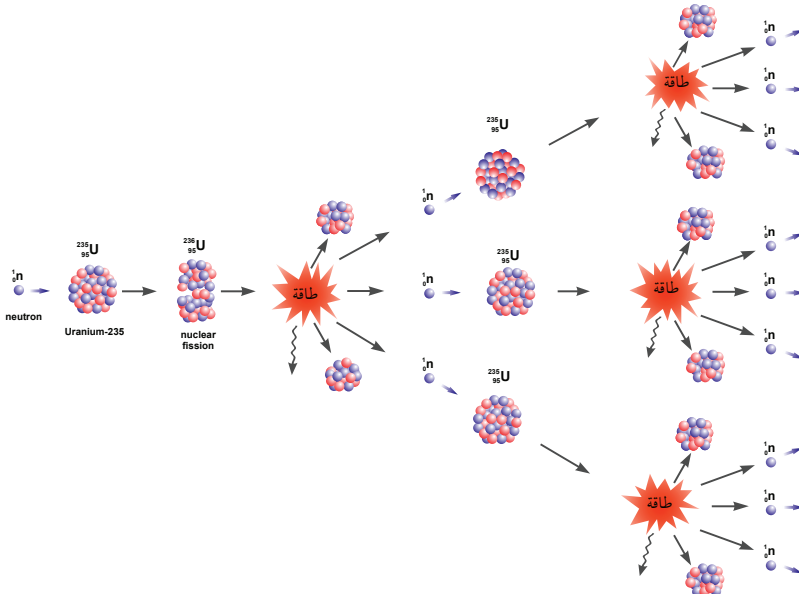
الانشطار النووي Nuclear fission عبارة عن انقسام نواة ثقيلة لنوتين أو

أكثـر، أصغر منها في الكتلة. والنوى الأكثـر قابلية للانشطار هي النوى الثقيلة التي تقع على يمين المنحنى الموضّح في الشكل (10). فمثلاً، عند قذف نواة ($^{235}_{92}U$) بنيوترون بطيء تنشطر إلى نوتين، هما: ($^{92}_{36}Kr$) و ($^{141}_{56}Ba$)، ويُتـجـزـعـ 3 نيوترونات، وتمتـلـكـ النـوىـ النـاتـجـةـ منـ هـذـاـ اـلـانـشـطـارـ طـاقـاتـ رـبـطـ نـوـويـةـ لـكـلـ نـيـوكـلـيـونـ أـكـبـرـ



الشكل (10): تغيير طاقة الرابط النووية لكل نيوكليليون مع العدد الكتلي. اندماج نوتين خفيفتين أو انشطار نواة ثقيلة يحرّر طاقة؛ لأنّ النوى الناتجة ذات طاقة ربط نووية لكل نيوكليليون أعلى.

الشكل (11): التفاعل المتسلسل.



الجدول (6) : طاقة الرابط النووية لكل نيوكلين.

$\frac{BE}{A}$ (MeV)	النواة
7.5909	$^{235}_{92} U$
8.3261	$^{141}_{56} Ba$
8.5127	$^{92}_{36} Kr$

أَفْكِر: لماذا يحتاج البروتون إلى طاقة أكبر من النيترون ليقترب من النواة و يحدث تفاعلاً نووياً؟

على نحو ما هو مبين في الجدول (6)، ويصاحب ذلك نقص في الكتلة يتحول إلى طاقة. ويمكن التعبير عن هذا الانشطار بالمعادلة النووية الآتية:



حيث نواة (${}_{92}^{236} U^*$) المثاراة تمثل النواة المركبة في هذا التفاعل.

وتكون أهمية هذا التفاعل في الطاقة الكبيرة المتحرّرة منه، حيث إنّ انشطار كلّ نواة ينتج عنه طاقة تساوي (200 MeV) تقريباً، أو ما يعادل ($(3.2 \times 10^{-11} J)$ ، أمّا الطاقة الناتجة عن انشطار (1 kg)، فتساوي ($(82 \times 10^{12} J)$). وهذه الطاقة تكفي لتزويد نحو (45) ألف منزل تقريباً مدة شهر، يستهلك كُلّ منها طاقة كهربائية بمقدار (500 kWh).

تبعد نيوترونات نتيجة انشطار نواة نظير اليورانيوم (${}_{92}^{235} U$)، وهذه النيوترونات قد تتصدّرها نواة (${}_{92}^{235} U$) أخرى التي بدورها تنشطر، وتُنبع نيوترونات جديدة قد تتصدّرها نوى يورانيوم آخر، وهذا ما يُسمّى **تفاعلًا متسلسلاً** على نحو ما يظهر في الشكل (11).

وكي يكون التفاعل المتسلسل ممكناً من الناحية العملية يجب توافر أمور عدّة أهمّها، توافر اليورانيوم المخصّب Enriched uranium. حيث يحتوي اليورانيوم الخام على (0.71%) تقريباً من اليورانيوم (${}_{92}^{235} U$) المستخدم في التفاعل المتسلسل، ونحو (99.27%) تقريباً من اليورانيوم (${}_{92}^{238} U$)، ونسبة قليلة جدّاً من

نظائر أخرى. ونظرًا إلى أنّ نسبة ($^{235}_{92}U$) قليلة، لذا يجب معالجة اليورانيوم الخام لزيادة نسبة النظير ($^{235}_{92}U$) الذي يستخدم في الوقود النووي. إن العمليّة التي تُراد فيها نسبة اليورانيوم ($^{235}_{92}U$) تُسمى التخصيب Enrichment. إضافةً إلى ذلك، يجب توفير الحد الأدنى من الكتلة التي تضمن استمرار حدوث التفاعل، وتُسمى الكتلة الحرجة Critical mass وهي أقل كتلة من الوقود النووي تضمن استمرار حدوث التفاعل المتسلسل، وتضمن عدم تسرب النيوترونات خارجه.

أحقّ: أوضح المقصود بتفاعل الانشطار النووي. ✓



أصمّ باستخدام برنامج السكراتش (Scratch) عرضاً يوضح التفاعل المتسلسل، وأوضح فيه تأثير زيادة عدد نوى اليورانيوم -235 على عدد الانشطارات التي تحدث في وحدة الزمن، ثم أعرضه على زملائي / زميلاتي في الصف.

المثال ١٤

أحسب الطاقة Q الناتجة من تفاعل الانشطار الآتي:



حيث كتل النوى مُعطاة في الجدول الآتي:

${}^{235}_{92} U$	${}^{141}_{56} Ba$	${}^{92}_{36} Kr$	${}^1_0 n$
234.9934	140.8840	91.9064	1.0087

المُعطيات : الكتل في الجدول

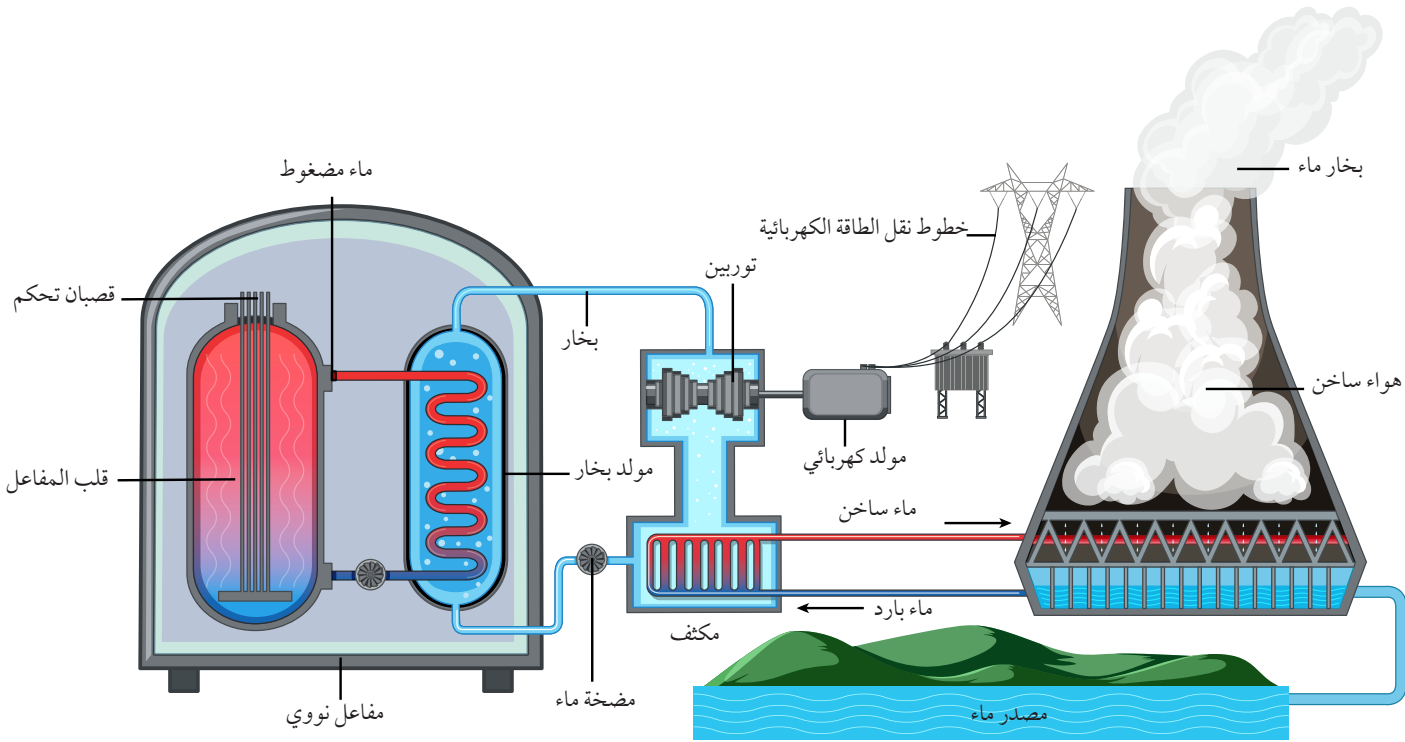
المطلوب: $Q = ?$

الحل:

$$Q = [m_a + m_b - (m_c + m_d)] \times 931.5$$

$$= (1.0087 + 234.9934 - (140.8840 + 91.9064 + 3 \times 1.0087)) \times 931.5$$

$$= 0.1856 \times 931.5 = 172.9 \text{ MeV}$$



الشكل (12): محطة طاقة نووية تستخدم مفاعلاً ماء مضغوط.

المفاعل النووي Nuclear Reactors



الشكل (13): قضبان الوقود النووي.

يُسمى النظام الذي يهيئ الظروف المناسبة لاستمرار حدوث التفاعل المتسلسل والسيطرة عليه بالمفاعل النووي. والشكل (12) يبيّن الأجزاء الرئيسية لمفاعل نووي يُستخدم الماء في عملية التبريد، يُسمى مفاعلاً ماء مضغوط .

Pressurized water reactor

ويتكون المفاعل النووي الموضّح في الشكل من الأجزاء الأساسية الآتية:

1. **الوقود النووي Nuclear fuel:** تكون مادة الوقود النووي على الغالب من اليورانيوم المخصّب، حيث تُعدّ على شكل أقراص يوضع بعضها فوق بعض في أنابيب طويلة لتشكيل قضبان الوقود النووي، على نحو ما يوضح الشكل (13).

2. **قضبان التحكم Control rods:** تُصنع من مواد لديها مقدرة عالية على امتصاص النيوترونات مثل، الكادميوم – 113، والبورون – 10. فعدّ إدخال عدد مناسب منها بين حزم الوقود النووي تمتّص بعضاً من النيوترونات ما يؤدي إلى إبطاء التفاعل المتسلسل، وبذلك يتم التحكم في الطاقة الناتجة من المفاعل.

3. **المواد المهدّئة Moderators:** وهي مواد ذات أعداد كتيلية صغيرة، مثل: الماء الثقيل، والماء العادي، والغرافيت. وتبطئ المواد المهدّئة النيوترونات الناتجة من الانشطار؛ لتمكن من إحداث تفاعلات انشطارية جديدة. علماً أنّ احتمالية انشطار نواة اليورانيوم ($^{235}_{92}U$) تزداد كلما كانت الطاقة الحركية للنيوترونات الممتّزة أقل.

الربط بالفضاء

مكّنت التكنولوجيا النووية في إنتاج الطاقة العلماء من استكشاف الفضاء بدقة، إذ تُستخدم الطاقة الناتجة عن البلوتونيوم لتوليد الكهرباء في مولّدات المركبات الفضائية، مثل المركبة الفضائية فوياجر 1 التي أطلقت عام 1977 لدراسة النظام الشمسي الخارجي والتي ما زالت ترسل بيانات إلى يومنا هذا.



الشكل (14): أبراج التبريد يتصاعد منها بخار الماء.

4. نظام التبريد **Cooling system**: تُستخدم أبراج تبريد تُرُد المفاعل والمكثّف بالماء البارد باستمرار؛ لتبديد المفاعل النووي، أتأمل الشكل (14).

5. مولّد بخار الماء **Steam generator**: يُحول الماء الساخن والمضغوط القادم من قلب المفاعل إلى بخار ماء يُستخدم في إدارة توربينات متصلة بمولّدات كهربائية لتوليد الطاقة الكهربائية.

أَتَحَقّق: أُعدّ أجزاء المفاعل النووي الرئيسية. ✓



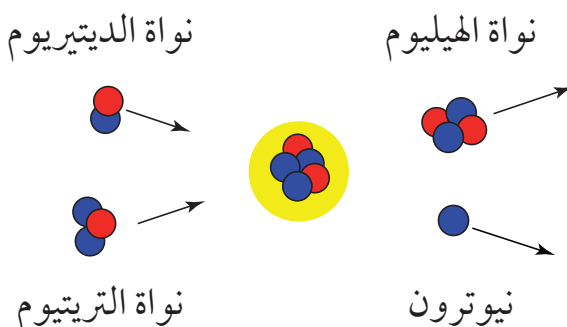
استخدم برمجية movie maker لإنشاء فيلم قصير عن أجزاء المفاعل النووي، ثم أعرضه على زملائي / زميلاتي في الصف.

الاندماج النووي: Nuclear Fusion

يُسمّى التفاعل الذي تندمج فيه نوافر خفيفاتان لتكوين نواة كتلتها أقلّ من مجموع كتلتي النوافر المندمجتين، ولها طاقة ربط نووية لكل نيوكليلون أكبر مما لهما، بتفاعل **الاندماج النووي Nuclear fusion**. يحدث الاندماج النووي للنووي الخفيفة (المنطقة اليسرى من المنحنى) في الشكل (10). فمثلاً قد تندمج نوافر نظيري الهيدروجين؛ الديتيريوم (2_1H) والтриتيوم (3_1H) لتكوين نواة الهيليوم (4_2He) ونيوترون على نحو ما هو مُبيّن في الشكل (15). ويوضح الجدول (7) طاقة الرابط النووية لكل نيوكليلون لكل منها. حيث يلاحظ من الجدول أنَّ اندماج نوافر الديتيريوم (2_1H) والтриتيوم (3_1H) نتج عنه نواة الهيليوم (4_2He) ذات طاقة ربط نووية لكل نيوكليلون أكبر منها لنوافر الديتيريوم والтриتيوم. ويصاحب

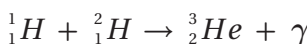
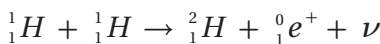
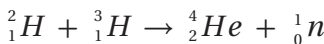
الجدول (7): طاقة الرابط النووية لكل نيوكليلون.

$\frac{BE}{A} (MeV)$	النواة
1.11	2_1H
2.83	3_1H
7.07	4_2He



الشكل (15): اندماج نوافر الديتيريوم والтриتيوم لتشكيل نواة الهيليوم.

عملية الاندماج نقص في الكتلة يتبع عنه تحرّر طاقة كبيرة. ومن الأمثلة على تفاعلات الاندماج النوويّ:



يمكن أيضًا استخدام التّعّقب الإشعاعيّ في مراقبة تدفق السوائل والغازات خلال الأنابيب لتحديد أماكن التسرب. وترصد أدوات التّعّقب الزراعية تدفق المُغذيّات عبر النباتات.

مثل هذه التفاعلات النووية هي مصدر الطاقة التي تصلنا من الشمس، وتحتاج إلى درجات حرارة عالية جدًا حتى تحدث؛ لذا تُسمى هذه التفاعلات **التفاعلات النووية الحراريّة** Thermonuclear fusion reactions. إنّ درجة الحرارة العالية تزود النواتين بطاقة حركيّة كبيرة للتغلب على قوة التّنافر الكهربائيّة بين النواتين عند اقترابهما بعضهما من بعض لمسافة تبدأ عندها القوة النوويّة بالتأثير. وعلى الرغم من صعوبة إجراء تفاعل الاندماج النووي، فهناك أبحاث جارية للتغلب على تلك الصعوبات، وذلك للاستفادة من الطاقة الكبيرة التي يمكن الحصول عليها دون إنتاج نوى مشعة على نحو ما يحدث في مفاعلات الانشطار النووي.

أتحقق: أوضح المقصود بتفاعل الاندماج النووي.

المثال 15

أجد طاقة التفاعل Q لتفاعل الاندماج الآتي:



1_1H	3_2He	2_1H
1.0073	3.0149	2.0136

حيث كتل النوى بوحدة (amu)

المعطيات: الكتل في الجدول

المطلوب: $Q = ?$

الحل:

$$Q = [m_a + m_x - (m_b + m_y)] \times 931.5$$

$$= (1.0073 + 2.0136 - 3.0149) \times 931.5$$

$$= 0.0060 \times 931.5 = 5.6 \text{ MeV}$$

تطبيقات على الفيزياء النووية

للفيزياء النووية تطبيقات عدّة في مختلف نواحي الحياة منها:

التعقب

ت تكون المُتعقبات من نظائر مشعة تُحقن في الجسم للكشف عن خلل وظيفي في أحد أعضائه. فمثلاً يستخدم اليود -131 المشع للكشف عن خلل في عمل الغدة الدرقية، حيث يشرب المريض كمية قليلة من محلول يوديد الصوديوم المشع، ويتم تشخيص الخلل في عمل الغدة الدرقية بمعرفة كمية اليود المشع المتبقية فيها مع مرور الزمن. ومن التطبيقات الطبية الأخرى حقن وريد في القدم بسائل يحتوي على الصوديوم المشع، وقياس الزمن اللازم حتى يصل السائل المشع إلى عضو معين في الجسم، وذلك باستخدام جهاز للكشف عن الإشعاع. والזמן المقاس يمكن من معرفة ما إذا كان هناك تضيق أو انسداد في الأوردة أو الشرايين. وفي التطبيقات الطبية يتم تعريض المريض لجرعات إشعاعية متدرجة ومحسوسة بدقة بحيث لا تؤثر سلباً فيه.

Radiation Therapy

تنقسم الخلايا السرطانية بسرعة كبيرة، والإشعاعات الناتجة عن النظائر المشعة فعالة في قتل هذا النوع من الخلايا. فمثلاً يستخدم نظير اليود -131 المشع في علاج سرطان الغدة الدرقية، كما يستخدم الكوبالت -60 في علاج سرطان الحنجرة.

الربط بالتقنيات

افتتح المفاعل النووي الأردني للبحوث والتدريب برعاية ملكية سامية عام 2016م في جامعة العلوم والتكنولوجيا في مدينة إربد، حيث يعمل بقدرة (5 MW) قابلة للزيادة إلى (10 MW). ويُستخدم هذا المفاعل في أغراض عدّة، منها:

البحث العلمي، وإنتاج النظائر المشعة للاستخدامات الطبية، إضافة إلى التدريب والتأهيل على التكنولوجيا الإشعاعية والنوية.



تحليل المواد

يمكن تحديد العناصر التي تكون عينة معينة بطرق كيميائية، وهذا عادة يتطلب استخدام كمية كبيرة نسبياً من تلك العينة. يمكن التغلب على ذلك بقذف كمية قليلة من العينة المراد معرفة تركيبها بالنيوترونات، ما يؤدي إلى تحول العناصر التي امتصت النيوترونات إلى عناصر مشعة، ويتم تحديد هوية تلك العناصر بالكشف عن نوع الإشعاعات الصادرة عن العينة المشعة وقياس طاقتها.

حفظ المواد الغذائية

تطبيقات الفيزياء النووية في مجال الأطعمة تشهد اهتماماً متزايداً لقدرة الإشعاعات النووية على تعطيل عمل البكتيريا وقتلها. لذلك يتم تعريض المواد الغذائية المراد تخزينها فترات طويلة لأشعة غاما أو حزم من الإلكترونات ذات طاقة مرتفعة لقتل البكتيريا، ومن ثم تُحفظ في عبوات مغلقة لمنع وصول بكتيريا جديدة إليها.

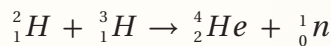


الشكل (16): صورة لجهاز كاميرا غاما (Gamma Camera).

مراجعة الدرس

1. **الفكرة الرئيسية:** أوضح المقصود بتفاعل الانشطار النووي وتفاعل الاندماج النووي.

2. لتفاعلين النوويين الآتيين، أجب عن ما يأتي:



علمًا أن كتل النوى بوحدة (amu) موضحة في الجدول الآتي:

${}_{92}^{235}U$	${}_{56}^{144}Ba$	${}_{36}^{89}Kr$	${}_0^1n$	${}_2^4He$	${}_1^3H$	${}_1^2H$
234.9934	143.8922	88.8979	1.0087	4.0015	3.0155	2.0136

أ. أي التفاعلين تفاعل اندماج نووي؟ وأيهما تفاعل انشطار نووي؟

ب. **أتوقع:** لكلا التفاعلين، أيهما يمتلك طاقة ربط نووية لكل نيوكليلون أكبر: المواد الناتجة من التفاعل أم المواد الداخلة فيه؟

ج. **استخدم المتغيرات:** أحسب الطاقة الناتجة من التفاعل لكلا التفاعلين.

د. **استخدم المتغيرات:** أحسب الطاقة الناتجة لكل نيوكليلون لكلا التفاعلين. أيهما أكبر؟

ه. **أتوقع:** أي التفاعلين يُتَّسِّع طاقة أكبر للكتلة نفسها من المواد الداخلة في التفاعل؟

3. **أقارن:** أعدد أوجه التشابه وأوجه الاختلاف بين تفاعل الاندماج وتفاعل الانشطار.

4. **أفسّر:** ما أهمية استخدام كلٍّ مما يأتي في المفاعل النووي؟

أ. القضبان التي تحتوي على الكادميوم.

ب. مهدّئات النيوترونات.

5. **أفسّر** أهمية درجة الحرارة العالية لتفاعل النووي الاندماجي.

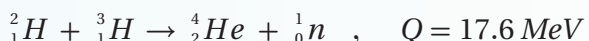
6. **أفسّر:** هل يصلح اليورانيوم الخام للاستخدام في المفاعلات النووية؟ أفسّر إجابتي.

7. **التفكير الناقد:** لماذا يُعد استخدام تفاعلات الاندماج النووي، إن أمكن في توليد الطاقة، أقل خطراً على البيئة من استخدام تفاعلات الانشطار النووي؟

المفاعل النووي الاندماجي Nuclear Fusion Reactor

تُعد كمية الطاقة الهائلة المتولدة من الاندماج النووي محفزاً أمام العلماء لتسخير هذه الطاقة لأغراض مفيدة، ويعزز كثيرون من الجهود حالياً لتطوير مفاعل نووي اندماجي مستدام يمكن التحكم فيه. ومن مزاياه: توافر الوقود النووي؛ الديتيريوم (H_2^1) والтриتيوم (H_3^2)، وإنتاج طاقة هائلة مقارنة بتفاعلات الانشطار النووي، وتكون عدد قليل نسبياً من المنتجات الثانوية المشعة مقارنة بتفاعلات الانشطار النووي. فوقود اليورانيوم بعد انشطاره يحتوي على نسبة عالية من المواد المشعة التي يجب التخلص منها، وتتطلب إجراءات صارمة عند نقل اليورانيوم المخصب لتلزم عند نقل الوقود المستخدم في الاندماج النووي.

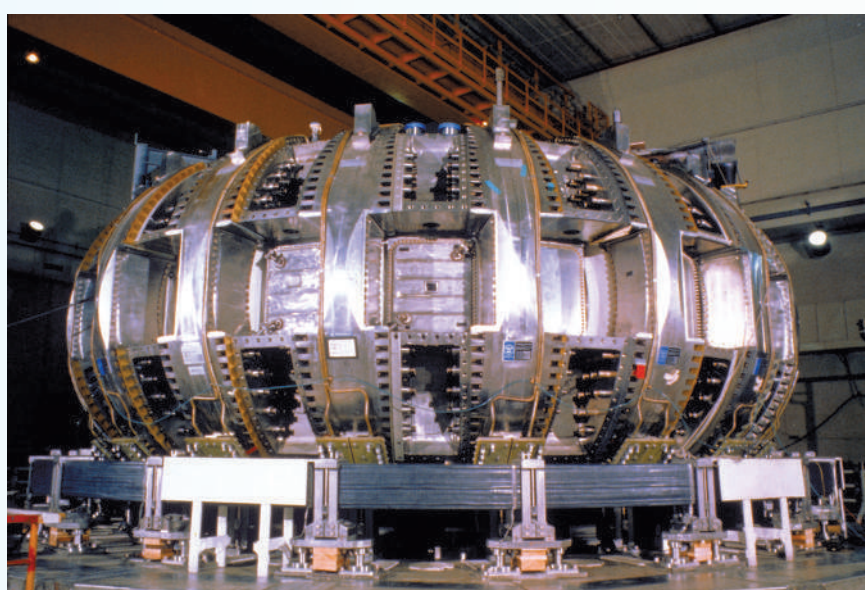
وتُنتج النجوم طاقتها من تفاعلات الاندماج النووي بدورة تسمى دورة البروتون-بروتون، وتحدث هذه التفاعلات عند درجة حرارة عالية جداً وكثافة عالية جداً للبروتونات. لكن تفاعل بروتون-بروتون لا يمكن تحقيقه في مفاعل اندماج لعدم القدرة على توفير الظروف المناسبة له، وتجرى حالياً أبحاث لتحقيق ذلك من خلال تفاعلات اندماج أخرى، ووجد أن التفاعل الأنسب للاستخدام في مفاعلات الاندماج، هو تفاعل الديتيريوم (H_2^1) والтриتيوم (H_3^2).



ويتوافر الديتيريوم بكثير في البحيرات والمحيطات وهو غير مكلف. أما التريتيوم، فإنه مشع ($t_{1/2} = 12.3 \text{ y}$) حيث يخضع لاضمحلال بيتا السالبة ليتتج (3_2He). ولهذا السبب لا يوجد التريتيوم طبيعياً بكثير، ويجب إنتاجه صناعياً.

تمثل إحدى المشكلات الرئيسية في الحصول على الطاقة من الاندماج النووي في توافر درجات الحرارة العالية (نحو K^{10^8} تقريباً) اللازمة لحدوث التفاعل. وعند درجات الحرارة العالية هذه، تتأين الذرات ويتكوين النظام من مجموعة من الإلكترونات والنووي يُسمى بلازما. وبالإضافة إلى درجات الحرارة العالية، يجب التأثير

بضغط كبير للحصول على كثافة عالية من الأيونات. وقد استطاع العلماء تحقيق تفاعل اندماج الديتيريوم (H_2^1) والтриتيوم (H_3^2) مدة زمنية قصيرة جداً باستخدام مفاعل اندماجي، يُعرف باسم توکاماك (tokamak). حيث تحفظ البلازما داخل مجال مغناطيسي على نحو ما تعلمت في الوحدة الرابعة.



مراجعة الوحدة

1. أضع دائرة حول رمز الإجابة الصحيحة لكل جملة مما يأتي:

أ. النيوترونو جسيم يَتَحْلَّ عن عملية:

أ. تحلل البروتون إلى نيوترون وبوزيترون.

ب. تحلل النيوترون إلى بروتون وإلكترون.

ج. اضمحلال غاما.

د. خروج جسيم ألفا من النواة.

2. النواة غير المستقرة تتحوّل تلقائياً إلى نواة ذات كتلة:

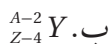
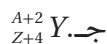
أ. أقلّ وطاقة ربط أعلى لكل نيكليون.

ب. أكبر وطاقة ربط أقلّ لكل نيكليون.

ج. أكبر وطاقة ربط أعلى لكل نيكليون.

د. أقلّ وطاقة ربط أقلّ لكل نيكليون.

3. X_Z^A نواة نظير غير مستقرّ، تقع ضمن سلسلة اضمحلال. بعد سلسلة من التحوّلات أُطلقت أربعة جسيمات بيتا السالبة وجسيم ألفا واحداً، فإن النواة الناتجة تكون:



4. عدد جسيمات ألفا وبيتا السالبة المتبعة من سلسلة تحولات تضم حل خالها نواة (U_{92}^{238}) إلى نواة (X_{88}^{226}) على الترتيب هي:

د. 3 ألفا ، 2 بيتا

ج. 2 ألفا ، 2 بيتا

ب. 3 ألفا ، 4 بيتا

أ. 2 ألفا ، 3 بيتا

5. عدد النيوترونات في النوى المستقرة الثقيلة يكون:

ب. أقلّ من عدد البروتونات

أ. مساوياً لعدد البروتونات

د. أكبر من عدد البروتونات

ج. أقلّ بكثير من عدد البروتونات

6. طاقة الرابط النووية هي الطاقة اللازمة لـ:

أ. فصل مكونات النواة لتكون بعيدة بعضها عن بعض.

ب. فصل الإلكترونات عن النواة.

ج. فصل بروتون واحد عن النواة.

د. فصل نيوترون واحد عن النواة.

7. إن حجم النواة يتنااسب:

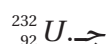
أ. طردياً مع عددها الكتلي.

ج. طردياً مع مكعب عددها الكتلي.

ب. عكسياً مع عددها الكتلي.

د. طردياً مع الجذر التكعيبي لعددها الكتلي.

8. تهدف عملية تخصيب اليورانيوم إلى إنتاج وقود نووي يحتوي على نسبة عالية من:



مراجعة الوحدة

9. نسبة نصف قطر النواة ($^{27}_{13}Al$) إلى نصف قطر النواة ($^{64}_{29}Cu$) تساوي:

$$\frac{64}{27} \text{ د. } \frac{8}{3} \text{ ج. } \frac{27}{64} \text{ ب. } \frac{3}{4} \text{ أ.}$$

10. نسبة حجم النواة ($^{27}_{13}Al$) إلى حجم النواة ($^{64}_{29}Cu$) تساوي:

$$\frac{64}{27} \text{ د. } \frac{8}{3} \text{ ج. } \frac{27}{64} \text{ ب. } \frac{3}{8} \text{ أ.}$$

11. تُبَطِّأُ النيوترونات في المفاعل النووي بـ:

- د. الهيدروجين ج. اليورانيوم ب. الكادميوم أ. الماء الثقيل

12. إذا كانت كتلة نواة نظير الليثيوم ($^{7}_3Li$) تقلّ بمقدار (0.0042 amu) عن مجموع كتل مكوّناتها، فإنّ متوسط طاقة الرابط النووية لكل نيوكليلون (MeV) لها تساوي:

$$7.12 \text{ د. } 0.014 \text{ ج. } 0.559 \text{ ب. } 3.91 \text{ أ.}$$

2. **استخدم المتغيرات:** عينة من البولونيوم ($^{210}_{84}Po$) تحتوي على ($2.8 \times 10^{18} atoms$) ثابت الأضمحلال للبولونيوم.

يساوي ($2.8 \times 10^{-8} s^{-1}$)، أجد:

أ. عمر النصف للبولونيوم ($^{210}_{84}Po$).

ب. النشاطية الإشعاعية.

ج. عدد النوى المتبقية من البولونيوم ($^{210}_{84}Po$) بعد مرور مدة زمنية مقدارها أربعة أمثال عمر النصف.

3. عينة من الأمريسيوم ($^{241}_{95}Am$) تحتوي على ($1.25 \times 10^{15} atoms$) ونشاطيتها الإشعاعية ($1.70 \mu Ci$)، أجد ثابت الأضمحلال للأمريسيوم ($^{241}_{95}Am$).



4. يمثّل الشكل المجاور عينة من الكوبالت ($^{60}_{27}Co$) تُستخدم في المختبرات لدراسة

طبيعة إشعاع غاما، بالاستعانة بالمعلومات المثبتة على الشكل، أجد:

أ. عمر النصف.

ب. النشاطية الإشعاعية للعينة.

ج. تاريخ تصنيع العينة.

د. النشاطية الإشعاعية في (JUL 2019)، أيّ بعد مرور زمن يساوي ضعفي عمر النصف.

5. **استخدم المتغيرات:** أحسب الطاقة اللازمة لفصل نواة النيكل ($^{60}_{28}Ni$) إلى مكوّناتها، علمًا بأنّ كتلة نواة النيكل ($^{60}_{28}Ni$) تساوي (59.91541 amu).

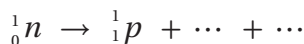
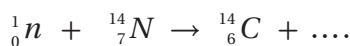
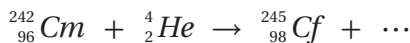
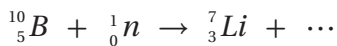
6. إذا كانت طاقة الرابط النووية لنواة ($^{23}_{11}Na$) تساوي (186.66 MeV)، ولنواة ($^{23}_{12}Mg$) تساوي 181.82 MeV،

أ. استخدم المتغيرات: أحسب طاقة الرابط النووية لكل نيوكليلون للنواتين.

ب. أصدر حكمًا: أي النواتين أكثر استقراراً؟ أفسّر إجابتي.

مراجعة الوحدة

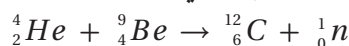
7. أكمل المعادلات النووية الآتية:



8. أكمل الجدول الآتي:

غاما	بيتا	ألفا	نوع الإشعاع	
			وجه المقارنة	طبيعة الإشعاع
			نوع الشحنة	
			الكتلة	
			القدرة على النفاذ	
			القدرة على التأين	

9. قذفت نواة $^{9}_4Be$ بجسيم ألفا، وفقاً لتفاعل النووي الآتي:



فإذا علمت أن كتل النوى الداخلية في التفاعل تزيد بمقدار (0.00612 amu) على كتل المواد الناتجة عن التفاعل.

واعتماداً على كتل النوى والجسيمات في الجدول الآتي أجيبي عما يأتي:

1_0n	1_1P	$^{4}_2He$	$^{12}_6C$	النواة أو الجسيم
				الكتلة (amu)
1.0087	1.0073	4.0015	11.9967	

أ. هل التفاعل النووي متوج للطاقة أم ماض لها؟

ب. أحسب كتلة نواة ($^{9}_4Be$).

ج. أحسب طاقة الرابط النووية لكل نيوكليلون لنواة ($^{12}_6C$)، بوحدة (MeV).

10. **استخدم المتغيرات:** في التفاعل النووي الآتي:



أحسب الطاقة الناتجة عن التفاعل بوحدة الإلكترون فولت. علمًا أن كتل الجسيمات والنوى مُبيّنة في الجدول الآتي:

1_0n	$^{10}_5B$	$^{4}_2He$	$^{7}_3Li$	النواة أو الجسيم
				الكتلة (amu)
1.0087	10.0103	4.0015	7.0144	

مراجعة الوحدة

11. **أقارن** بين تفاعل الاندماج النووي وتفاعل الانشطار النووي من حيث:

أ . مجموع كتل النوى الناتجة من التفاعل مقارنة بمجموع كتل النوى الداخلة فيه.

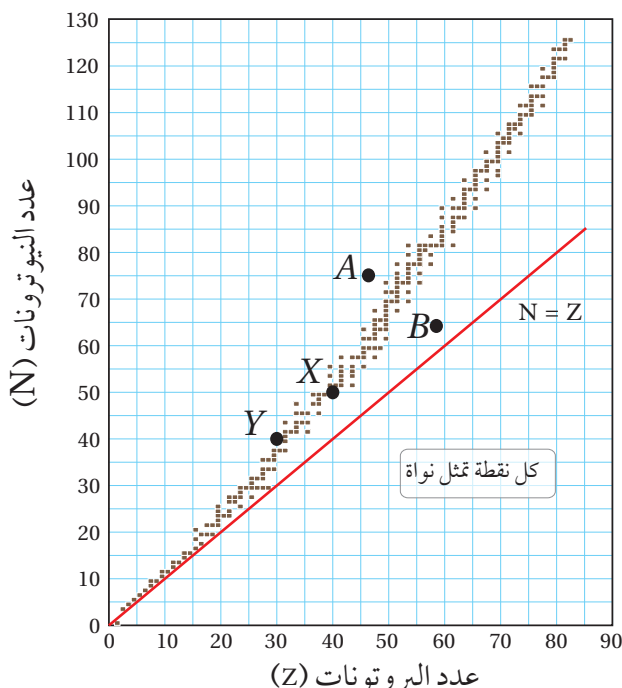
ب. مجموع طاقة الرابط النووية للنوى الناتجة من التفاعل مقارنة بمجموع طاقة الرابط النووية للنوى الداخلة فيه.

ج. الفرق في طاقة الرابط النووية لكل نيوكليلون بين النوى الداخلة في التفاعل والنوى الناتجة من التفاعل.

12. **استخدم المتغيرات:** إذا كانت طاقة الرابط النووية لكل نيوكليلون لنواة الفوسفور P_{30}^{31} تساوي (8.35 MeV)، أجد ما يأتي:

أ . طاقة الرابط النووية لنواة الفسفور P_{30}^{31} .
ب. كتلة نواة الفسفور P_{30}^{31} .

13. **استخدم المتغيرات:** إذا كان الفرق بين كتلة نواة ومجموع كتل مكوناتها يساوي (1.64×10^{-28} kg)، أجد طاقة الرابط النووية لنواة بوحدة جول.



14. **أحلل:** يمثل الرسم البياني المبين في الشكل منحنى الاستقرار النووي.

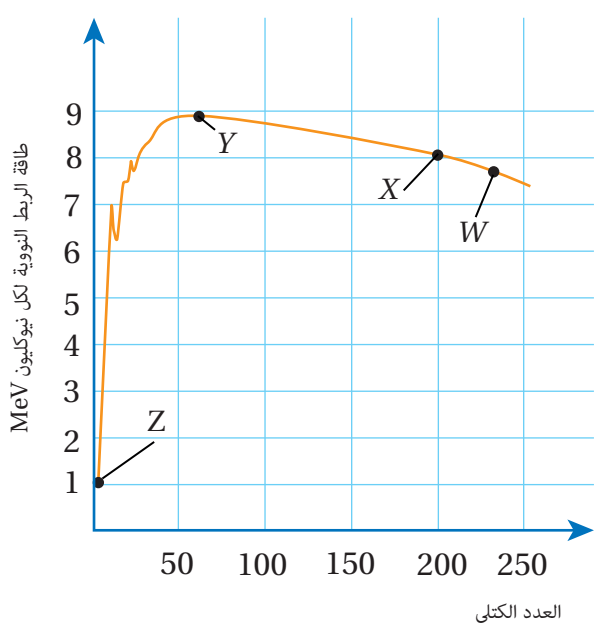
أ . أحسب نصف قطر النواة (X).

ب. أحسب طاقة الرابط النووية للنواة (Y)، علماً أن كتلتها تساوي (70.0012 amu).

ج. أيهما يملك طاقة ربط نووية لكل نيوكليلون أعلى (X) أم (Y)، ولماذا؟

د . كيف أفسّر أن عدد النيوترونات أكبر من عدد البروتونات للنواة (X).

هـ. أسمّي من الشكل نوتين مستقرتين ونوتين غير مستقرتين.



15. **أحلل:** يمثل المنحنى المجاور العلاقة بين طاقة الرابط النووية لكل نيوكليلون والعدد الكتلي لنوى العناصر (Z, Y, X, W).

اعتماداً على المنحنى ، أجب عن الأسئلة الآتية:

أ . أيّ هذه العناصر أكثر استقراراً؟ ولماذا؟

ب. أيّ هذه العناصر أكثر قابلية للانشطار، وأيها أكثر قابلية للاندماج عند إحداث تفاعل نووي؟

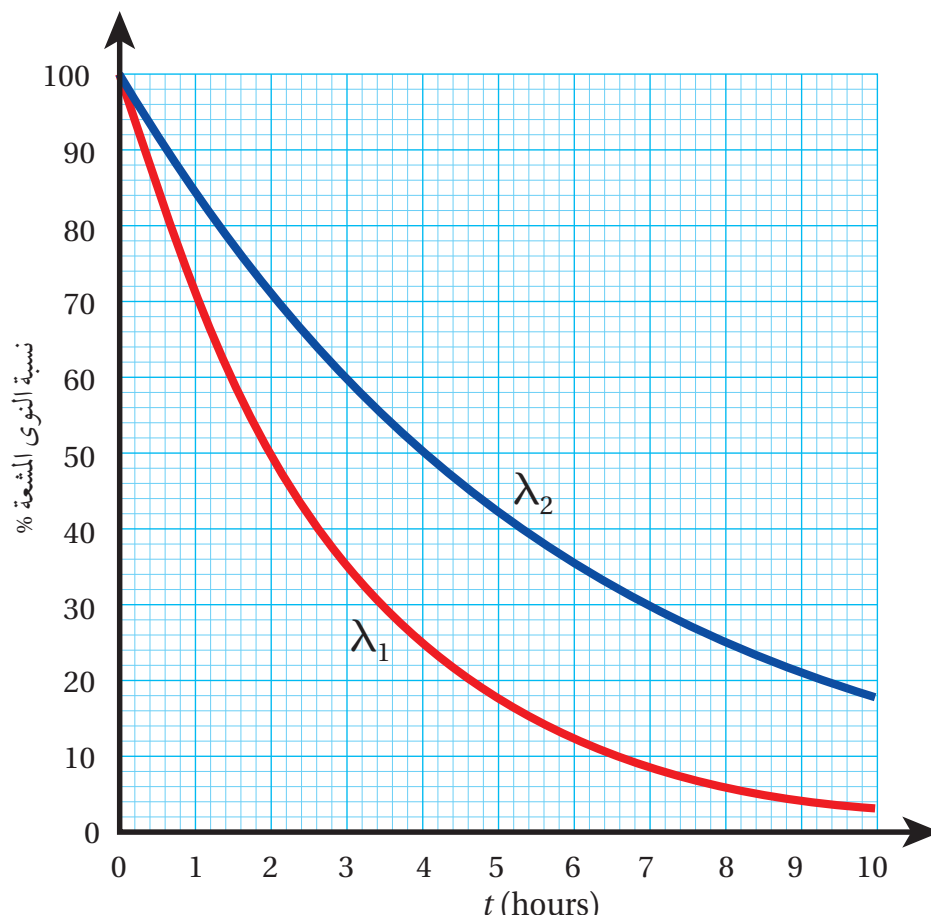
ج. أحسب طاقة الرابط النووية لنواة العنصر (X).

16. **أحلّ رسمًا بيانيًّا:** يمثل الشكل رسمًا بيانيًّا يوضح العلاقة بين النسبة $\times 100\% \times \frac{N}{N_0}$ مع الزمن لنظريري عنصرين مشعَّين، ثابتُ الأضمحلال لكُلِّ منها (λ_1, λ_2) .

أ . ما عمر النصف لكُلِّ منها؟

ب . ما نسبة عدد النوى المشعَّة المتبقية بعد مرور 10 ساعات لكُلِّ من النظيرين؟

ج. أيهما أكبر (λ_2) أم (λ_1) ؟



مسرد المصطلحات

- الإشابة **Doping**: زيادة الموصلية الكهربائية لأشباه الموصلات، بالإضافة بعض المواد إليها تُسمى **شوائب impurities**.
- اقتران الشغل للفلز **Work Function**: أقل طاقة للأشعة الكهرومغناطيسية تكفي لتحرير الإلكترونات من سطح الفلز دون إكسابها طاقة حرKitية.
- الأضمحلال الإشعاعي **Radioactive Decay**: التحول التلقائي لنوى غير مستقرة إلى نوى أكثر استقراراً عن طريق انبعاث جسيمات مثل جسيم ألفا أو جسيم بيتا، غالباً ما يصاحب ذلك انبعاث أشعة غاما.
- الإلكترونات التكافؤ **Valance Electrons**: الإلكترونات الموجودة في آخر مستوى طاقة للذرّة، وهي المسؤولة عن تحديد كثيّرٍ من خصائص المادة مثل، التوصيل الكهربائي والتوصيل الحراري.
- الإلكترونات الضوئية **Photoelectrons**: الإلكترونات المنبعثة من سطح فلز عند سقوط إشعاع كهرمغناطيسي بتردد مناسب عليه.
- الاندماج النووي **Nuclear Fusion**: التفاعل الذي يتم فيه اندماج نواتين خفيفتين لتكوين نواة كتلتها أقل من مجموع كتلتيهما.
- الانشطار النووي **Nuclear Fission**: التفاعل الذي يتم فيه انقسام نواة ثقيلة لنواتين أو أكثر، أصغر منها في الكتلة.
- التخصيب **Enrichment**: عملية يتم فيها زيادة نسبة اليورانيوم ($^{238}_{92}\text{U}$) إلى اليورانيوم ($^{235}_{92}\text{U}$).
- التدفق المغناطيسي **Magnetic Flux**: يُعبر عنه رياضياً بأنه ناتج الضرب القياسي لمتجه المجال المغناطيسي (B) ومتجه المساحة (A)، رمزه (Φ_B).
- تردد الرنين **Resonance Frequency**: تردد مصدر فرق الجهد في دارة (RLC)، الذي يحدث عنده الرنين، وتكون قيمة التيار الفعال أكبر ما يمكن.
- تردد العتبة **Threshold Frequency**: أقل تردد للأشعة الساقطة يتطلب تحرير الإلكترونات ضوئية من سطح فلز دون إكسابها طاقة حرKitية.

- التفاعل المتسلسل **Chain Reaction**: تتبع نيوترونات نتیجة انشطار النواة في تفاعل الانشطار النووي، وهذه النيوترونات قد تمتّصها نواة أخرى التي بدورها تتشطر، وتُنتج نيوترونات جديدة قد تمتّصها نوى أخرى.
- التفاعل النووي **Nuclear Reaction**: اصطدام نواتي ذرتين، أو اصطدام جسيم نووي مثل، البروتون أو النيutron بنواة ذرة أخرى، وقد ينتج عن ذلك نواة جديدة أو أكثر.
- التيار المتردّد **Alternating Current**: تيار يسري في دارة كهربائية مغلقة يتغيّر مقداره واتجاهه بالنسبة إلى الزمن وفقاً لعلاقة جيبية.
- الجسم الأسود **Black Body**: جسم مثالي يمتص الأطوال الموجية للأشعة الكهرومغناطيسية جميعها ويشعّها، ويعتمد انبعاث الأشعة منه على درجة حرارته فقط.
- جهد الإيقاف **Stopping Potential**: فرق الجهد الذي تكون عنده قراءة التيار الكهربائي صفرأً.
- الحث الذاتي **Self Induction**: يُعرَف بأنه تولّد قوّة دافعة كهربائية حتّية ذاتية في دارة مغلقة نتيجة تغيّر التدفق المغناطيسي، بسبب تغيّر مقدار تيار الدارة نفسها.
- سلسلة الأضمحلال الإشعاعي الطبيعي **Natural Radioactive Decay Series**: مجموعة الأضمحلالات التلقائية التي تبدأ بعنصر مشع ثقيل، وتنتهي بعنصر مستقر من خلال اضمحلال ألفا أو بيتا.
- طاقة التأين **Ionization Energy**: أقل طاقة يتطلّبها تحرير إلكترون من الذرة دون إكسابه طاقة حركية.
- طاقة الربط النووي **Nuclear Binding Energy**: الطاقة التي يجب تزويدها للنواة لفصل مكوناتها (النيوكليليونات) بعضها عن بعض نهائياً.
- طيف الامتصاص الخطّي **Absorption Line Spectrum**: ظهور خطوط معتمة منفصلة على خلفية مضيئة بعد إمرار ضوء الشمس خلال غاز عنصر معين.
- طيف الانبعاث الخطّي **Emission Line Spectrum**: ظهور خطوط مضيئة على خلفية معتمة بعد تحليل الضوء المنبعث من ذرات العناصر المثار.
- الظاهرة الكهربائية **Photoelectric Effect**: ظاهرة انبعاث إلكترونات من سطح فلز عند سقوط إشعاع كهرومغناطيسي بتردد مناسب عليه.

- العدد الذري **Atomic Number**: عدد البروتونات في النواة ويساوي شحنتها بدلالة شحنة الإلكترون.
- العدد الكتلي **Mass Number**: عدد البروتونات والنيوترونات في النواة.
- عمر النصف ($t_{1/2}$): الزمن اللازم لاضمحلال نصف عدد النوى المشعة.
- فرق الجهد المتردد **Alternating Potential Difference**: فرق جهد يتغير في المقدار والاتجاه بالنسبة إلى الزمن وفقاً لعلاقة جيبية.
- قانون فارادي في الحث **Faraday's Law of Induction**: ينص على أن: "مقدار القوة الدافعة الكهربائية الحثية المتولدة في دارة كهربائية يتناسب طردياً مع المعدل الزمني لتغير التدفق المغناطيسي الذي يخترقها".
- قانون لenz **Lenz's Law**: ينص على أن: "التيار الكهربائي الحثي المتولد في ملف أو حلقة يكون في الاتجاه الذي ينشأ عنه مجال مغناطيسي يقاوم التغير في التدفق المغناطيسي المؤدي إلى توليده".
- القوة الدافعة الكهربائية الحثية **Induced Electromotive Force**: فرق الجهد الكهربائي المتولد بين طرفي سلك أو ملف، عند تغير التدفق المغناطيسي الذي يخترقه.
- القوة النووية القوية **Strong Nuclear Force**: هي قوة التجاذب بين النيوكليونات في النواة.
- القيمة الفعالة لفرق الجهد المتردد **Effective Potential Value**: ناتج قسمة القيمة العظمى لفرق الجهد على $(\sqrt{2})$.
- القيمة الفعالة للتيار المتردد **Effective Current Value**: ناتج قسمة القيمة العظمى للتيار المتردد على $(\sqrt{2})$.
- الكتلة الحرجة **Critical Mass**: أقل كتلة من الوقود النووي تضمن استمرار حدوث التفاعل المتسلسل، وتتضمن عدم تسرب النيوترونات خارجه.
- معامل الحث الذاتي **Coefficient of Self Induction** (محاثة Inductane المحت): نسبة القوة الدافعة الكهربائية الحثية الذاتية المتولدة بين طرفي محث إلى المعدل الزمني للتغير في مقدار التيار الكهربائي المار فيه، وهو مقياس لممانعة المحث لتغير مقدار التيار الكهربائي المار فيه، ووحدة قياسه هي $(V.s/A)$ ، وتسمى هنري H بحسب النظام الدولي للوحدات.
- المعاوقة المحثية **Inductive Reactance**: المقاومة الكهربائية التي يواجهها التيار المتردد عند مروره بين طرفي محث، وتساوي حاصل ضرب محاثة المحث في التردد الزاوي لفرق الجهد.

- **المعاوقة المواسعة Capacitive Reactance**: المقاومة الكهربائية التي يواجهها التيار المتردد عند مروره بين طرفي مواسع، وتساوي مقلوب حاصل ضرب المواسعة في التردد الزاوي لفرق الجهد.
- **المواذ العازلة Insulators**: مواد لا توصيل التيار الكهربائي، حيث ترتبط إلكترونات التكافؤ لها بالذرات بقوة كبيرة، لذلك لديها عدد قليل من الإلكترونات الحرّة؛ ما يجعلها مادة عازلة للكهرباء.
- **المواذ الموصلة Conductors**: مواد توصيل التيار الكهربائي، ولا ترتبط إلكترونات التكافؤ بذراتها بقوة كبيرة؛ وبذلك تحوي المواد الموصلة كثيراً من الإلكترونات الحرّة؛ ما يجعلها موصلات جيدة للتيار الكهربائي.
- **المواذ شبه الموصلة Semiconductors**: مواد تقع بين المواد الموصلة للكهرباء والمواد العازلة من حيث قدرتها على توصيل الكهرباء.
- **النشاطية الإشعاعية Activity**: عدد الأضمحلالات في الثانية الواحدة لعينة مشعة.
- **نطاق الاستقرار Stability Valley**: النطاق الذي تقع عليه النوى المستقرة في منحنى ($N-Z$).
- **النظائر Isotopes**: نوى تتساوى في عددها الذري، وتختلف في عددها الكتلي بسبب اختلاف عدد النيوترونات، وهي ذرات للعنصر نفسه تختلف أنوبيتها في عددها الكتلي.
- **النواة المركبة Compound Nucleus**: النواة التي تتشكل من امتصاص النواة الهدف للقذيفة في التفاعلات النووية، التي وما تثبت أن تض محل لتعطي نواة أو أكثر.
- **نيوكليون Nucleon**: تسمية تطلق على كلّ من البروتون أو النيوترون.
- **وحدة الكتلة الذرية Atomic Mass Unit**: تساوي $\frac{1}{12}$ من كتلة نظير الكربون ($^{12}_6 C$).

قائمة المراجع (References)

1. Smyth, M., Pharaoh, L., Grimmer, R., Bishop, C., Davenport, C. (2020). **Cambridge International AS & A Level Physics**. London: Harper Collins Publishers Limited.
2. Lahiri A. (2018). **Basic Physics: Principles and Concepts**. Kolkata: Avijit Lahiri.
3. Halliday, D., Resnick, R., Walker, J. (2018). **Fundamentals of Physics** (11th ed.). New York: Jon Wiley & Sons.
4. Giancoli, D. (2014). **Physics: Principles with Applications** (7th ed.). London: Person Education.
5. Chadha ,G. (2015). **A Level Physics a for OCR**, <https://www.ocr.org.uk/Images/171726-specification-accredited-a-level-gce-physics-a-h556.pdf>.
6. Young, H., Freedman, R. (2015). **University Physics with Modern Physics** (14th ed.), London: Pearson Education.
7. Paul, A., Tipler P., Mosca G. (2007). **Physics for Scientists and Engineers** (6th ed.). New York: Freeman, W. H. & Company.
8. Hewitt, P. (2015). **Conceptual Physics** (14th Ed). London: Pearson Education.
9. Raymond, A. Serway, John W. Jewett, Jr. (2013). **Physics for Scientists and Engineers with Modern Physics** (9th Ed). Boston: Physical Sciences: Mary Finch.
10. Serway, R., Faughn, J. (2006). **Holt Physics**. USA. Holt, Rinehart and Winston.
11. Serway, R., Vuille, C. (2017). **College Physics** (11th ed). Boston: Cengage Learning.
12. Muncaster, R. (2014). **A Level Physics** (4th ed). New York: Oxford University Press.
13. Adams, S. (2013). **Advanced Physics** (2nd ed). New York: Oxford University Press, USA.
14. Duncan, T. (2000). **Advanced Physics** (5th ed). London: Hodder Education.
15. Andrews, T., Kent, M. (2018). **Cambridge International AS & A Level Mathematics, Mechanics**. London: Harper Collins Publishers Limited.
16. Wilbraham, A. (2006). **Prentice Hall Chemistry**. London: Pearson Education.
17. Serway, R., Moses, C., Moyer, C. (2005). **Modern Physics** (3rd ed). Toronto: Thomson Learning, Inc.

18. Beiser, A. (2003). **Concepts of Modern Physics** (6th ed). New York: McGraw-Hill.
19. Krane, K. (1998). **Introductory Nuclear Physics** (3rd ed). New York: Jon Wiley & Sons.
20. Floyd, F. (2012). **Electronic Devices (Conventional Current Version)** (9th ed). London: Pearson Education.
21. Boylestad, R., Nashelsky, L. (2013). **Electronic Devices and Circuit Theory** (11th ed). London: Pearson Education.

بِسْمِ اللّٰهِ الرَّحْمٰنِ الرَّحِيْمِ
جَلَّ جَلَّ
تَعَالٰى